



دانشکده هنرهای زیباد

دانشکده علوم زمین

پایان نامه کارشناسی ارشد
گرایش پترولوزی

عنوان:

تأثیر ویژگیهای پترولوزیکی بر دوام داری و مقاومت سنگهای آذرین
(مطالعه موردنی سواحل جنوب ایران)

نگارش:

مهدى امانیان

اساتید راهنما:

دکتر حسین مهدیزاده شهری دکتر ناصر حافظی مقدس

استاد مشاور:

دکتر محمدرضا نیکودل

تیرماه ۱۳۸۴

بِسْمِ اللّٰهِ الرَّحْمٰنِ الرَّحِيْمِ

شکریست گم چیار
به پاس رحماتشان

شکریم به :

پر پرگوار

مادر مهرپا

۶

خواهان عزیزم

تقدیر و تشکر:

حمد و سپاس پروردگار یکتا را که لطف و کرم بی کرانش اینجانب را نیز در بر گرفت تا به وسعت و اندیشه خود گامی کوچک در گستره پهناور علم و معرفت بردارم و میسر گشت تا از خرمن دانش و تجربه بزرگان و نیک اندیشان خوش چینی کرده و مبیوه ای از باغ علم در دامان پرورش دهم.

اکنون که با یاری خدامند متعال، دوران پرخاطره این مقطع از تحصیل را به پایان رسانده ام، هرچند واژه ها را یارای آن نیست که لطف، محبت و بزرگواری کسانی را که در تمام دوران زندگیم جرمه نوش دریای بیکران مهر و محبتانش بوده ام را به تصویر بکشند، اما به رسم ادب و احترام بوسه بر دستانشان زده و برخود واجب می دانم زحمات و راهنمایی های کلیه معلمان و استادی و دوستان دوران تحصیلم را ارج نهاده و مراتب تشکر قلبی و باطنی خویش را از الطاف و مهربانیهای آنها ابراز دارم. ابتدا بر خود لازم می داشم که از زحمات استادان فرزانه و بزرگوارم آقایان دکتر ناصر حافظی مقدس و دکتر حسین مهدیزاده شهری که با راهنمایی ها و نظرات ارزنده و گهربارشان نقش مهمی در به ثمر رسیدن این تحقیق داشته اند صمیمانه تقدیر و تشکر نمایم. همچنین از استاد بزرگوارم آقای دکتر محمد رضا نیکودل بخاطر نظرات و راهنمایی های ارزشمندانه و مساعدتهای زیادی که در انجام آزمایشات داشته اند بسیار سپاسگزاری می نمایم، بی تردید انجام بسیاری از مراحل این پایان نامه بدون همکاری ایشان ممکن نبود. همچنین از استادی گرامی و خوبم آقایان دکتر حبیب الله فاسمی، دکتر محمود صادقیان، دکتر پرویز امیدی که همواره همکاری و همدلی و نظرات شیوای آنها در طول دوران تحصیلم راهگشای من بوده است، تقدیر و تشکر می نمایم.

از مدیریت محترم شرکت مهندسین مشاور سازه پردازی ایران، بخصوص جناب آقای مهندس حسینیان که در بازدید های صحرایی از حمایتهای مادی و معنویشان برخوردار بوده ام کمال تشکر و قدردانی را دارم. همچنین از مدیریت محترم اداره شیلات بخصوص مساعدتهای آقایان مهندس نیلی و مهندس جلیلوند و مدیریت اداره بنادر و کشتیرانی نیز کمال تشکر را دارم.

برخود لازم می داشم که از زحمات پرسنل آزمایشگاه زمین شناسی مهندسی دانشگاه تربیت مدرس تهران و دوستان بسیار عزیزم آقایان مهندس سید رضا میر باقری کارشناس آزمایشگاه اپتیک، دکتر مهدی تلخابلو، مهندس حمید رضا حسنی، مهندس میثم حداد فر و علیرضا خانلی زاده که هر کدام به نوعی در پیشرفت کارم نقش داشته اند، تقدیر و تشکر نمایم.

این پایان نامه با همکاری و مساعدت مرکز سنجش از دور ایران انجام شده است.

چکیده :

از جمله پارامترهای مهم در انتخاب نوع سنگ جهت احداث موج شکن و سازه های حفاظتی، مقاومت و دوام داری سنگ می باشد. در سنگهای آذرین دوام داری تابعی از محتوى کانی شناسی، بافت، نوع و شدت هوازدگی آن می باشد. اقتصادی ترین روش جهت ساخت سازه های مزبور، استفاده از سنگهایی با کیفیت مناسب می باشد که نسبت به فرآیندهای مخبر فیزیکی و شیمیایی در سواحل مقاومت کافی داشته باشند. در این مطالعه تاثیر ترکیب کانی شناسی و شیمیایی، بافت سنگهای آذرین، نقش شکستگی ها و درز شکاف ها، فرآیندهای بعد از تشکیل از جمله هوازدگی و دگر شکلی در مقاومت و دوام داری سنگهای آذرین مورد بررسی قرار گرفته است. منطقه مورد مطالعه در طول سواحل جنوبی کشور و استان هرمزگان و در حدفاصل بندر عباس تا بندر عسلویه قرار دارد. این مطالعه بر روی سنگهای آذرین موج شکن های بندر شهید رجائی و بندر شهید باهنر در بندر عباس، موج شکن بندر کنگ، موج شکن بندر لنگه، موج شکن بندر شناس، موج شکن بندر بستانه و موج شکن بندر حسینیه انجام شد. طیف ترکیبی سنگ های آذرین بکار رفته در این موج شکنها شامل ریولیت، توف ریولیت، بازالت، گرانیت، گابرو، داسیت و سینیت می باشد که از گنبدهای نمکی استخراج شده اند. تعداد ۶۰ نمونه از موج شکنها و معادن سنگ برداشت شد و جهت انجام آزمایشات مقاومت و دوام داری به آزمایشگاه منتقل گردید و مجموعاً ۳۱۷ آزمایش شامل آزمایشات سلامت سنگ، تعیین خصوصیات فیزیکی، تعیین ارزش ضربه ای، مقاومت تک محوری، تعیین سرعت صوت، مطالعات پتروگرافیک و آنالیز XRD و XRF جهت بررسی و تعیین خصوصیات فیزیکی و مکانیکی بر روی نمونه ها انجام شد.

مطالعات انجام شده نشان می دهند که از لحاظ ویژگیهای مقاومتی و دوام داری، گابروها به دلیل بافت گرانولار و ریزدانه تر بودن و درهم فرورفتگی و پیوند خوب بین دانه هایشان بهترین سنگها بوده و بهترین شاخصهای مقاومتی و دوام را دارند و بعد از آن به ترتیب داسیت، ریولیت، گرانودیوریت، سینیت، توف و بازالت قرار دارند. از نظر ویژگیهای بافتی، سنگهای میکرو گرانولار بهترین مقاومت و دوام را داشته و بعد از آن به ترتیب بافت‌های گرانولار، پورفیری و میکروکریستالین قرار دارند.

اندازه دانه تاثیر زیادی بر روی ویژگیهای مقاومتی و دوام سنگها داشته و یکی از مهمترین شاخص ها جهت ارزیابی مقاومت و دوام سنگ می باشد. بطوریکه با کاهش اندازه دانه، مقاومت و دوام سنگ افزایش می یابد. ترکیب کانی شناسی یکی دیگر از خواص اصلی کنترل کننده مقاومت سنگ می باشد و کانی های مختلف تاثیرات مختلفی را بر روی مقاومت سنگها دارند. بر اساس ویژگیهای کانی شناسی، کوارتز و کانی های فرومینزین تاثیر زیادی بر روی مقاومت و دوام سنگ دارند و با افزایش این کانی ها میزان مقاومت و دوام سنگها افزایش می یابد و افزایش کانی های رسی و ثانویه نیز باعث کاهش مقاومت و دوام سنگها می شود.

از بین شاخص های هوازدگی و سنگ شناسی مختلف، شاخص MI میورا و شاخص PI و WPI و P ایرفان و پارکر رابطه بهتری را با ویژگیهای مقاومتی نشان می دهند و با توجه به شاخص های هوازدگی، سنگهای ریز دانه نسبت به سنگهای درشت دانه کمتر هوازده شده اند و با افزایش اندازه دانه، استعداد سنگ برای هوازدگی بیشتر می باشد. بطور کلی در بین پارامترهای بررسی شده سرعت موج، تخلخل، وزن مخصوص و میانگین اندازه دانه بهترین روابط را با پارامترهای مقاومتی و دوام دارند و با اندازه گیری و تعیین آنها می توان تا حدود زیادی به میزان مقاومت و دوام سنگ پی برد.

کلمات کلیدی: دوام، مقاومت، سنگ آذرین، موج شکن، بافت، میانگین اندازه دانه

فهرست مطالب

عنوان	
صفحة	
یک.....	تشکر و قدردانی.....
دو.....	چکیده.....
سه.....	فهرست مطالب.....
 فهرست جداول.....
 فهرست اشکال و تابلوها.....

فصل اول - کلیات

۱	۱-۱ موقعیت جغرافیایی منطقه مورد مطالعه.....
۲	۲-۱ ژئومورفو لوژی و ریخت شناسی منطقه.....
۶	۳-۱ مطالعات قبلی.....
۷	۴-۱ هدف انجام مطالعه.....
۷	۵-۱ روش انجام تحقیق.....
۷	۱-۵-۱ فعالیتهای صحرایی و منطقه ای.....

فصل دوم- زمین شناسی عمومی منطقه

۱۶	۱-۲ مقدمه.....
۱۶	۲-۲ پیکره های سنگی منطقه.....
۱۶	۱-۲-۲ پیکره های رسوبی منطقه.....
۱۶	۱-۱-۲-۲ سازند هرمز.....
۲۰	۲-۲-۲ پیکره های آذربین.....
۲۱	۱-۲-۲-۲ توفاهای ریولیتی.....
۲۱	۲-۲-۲-۲ گنبدهای ریولیتی.....
۲۱	۳-۲-۲-۲ توده های نفوذی گرانیتوئیدی.....
۲۳	۴-۲-۲-۲ گدازه های بازالتی.....
۲۳	۵-۲-۲-۲ گدازه های تراکیتی.....
۲۳	۶-۲-۲-۲ گابروها.....
۲۳	۳-۲-۲ گنبدهای نمکی منطقه.....
۲۶	۱-۳-۲-۲ گند نمکی گچین.....
۲۶	۲-۳-۲-۲ گند نمکی بندر معلم (کنگ).....

عنوان	صفحة
۲-۳-۲-۲ گنبد نمکی بستانه ۲-۲ ته نشست سازند هرمز و تشکیل گنبدها و سنگهای آذرین منطقه	۲۷..... ۲۷.....
فصل سوم - پارامترهای موثر بر مقاومت و دوام داری سنگها	
۱-۳ مقدمه	۳۲.....
۲-۳ مقاومت و دوام داری سنگها در موج شکن	۳۲.....
۱-۲-۳ موج شکن و خصوصیات سازه ای آن	۳۲.....
۲-۲-۲ ساختمان موج شکن	۳۳.....
۳-۲-۳ مکانیسم های تخریب در سازه های دریایی و اثرات آنها بر پایداری سازه	۳۵.....
۴-۲-۳ عوامل موثر در کنترل فرسایش و دوام سنگها در موج شکن ها	۳۹.....
۵-۲-۳ جریانات دریایی و جذر ومدی خلیج فارس و تاثیرات آنها بر سازه های دریایی	۴۲.....
۳-۳ فاکتورهای زمین شناسی کنترل کننده رفتار مکانیکی سنگها	۴۳.....
۱-۳-۳ ترکیب و بافت و ساخت	۴۴.....
۲-۳-۳ ترکیب کانی شناسی	۴۶.....
۳-۳-۳ شکل بلوری	۴۷.....
۴-۳-۳ اندازه کانی ها و میانگین دانه های سازنده سنگ	۴۷.....
۵-۳-۳ شکل دانه ها	۴۹.....
۶-۳-۳ درهم شدگی و نوع مرز	۴۹.....
۷-۳-۳ جهت یابی دانه	۵۰.....
۸-۳-۳ شرایط حرارت و فشار	۵۰.....
۹-۳-۳ ناپیوستگی های سنگ	۵۱.....
۴-۳ هوازدگی سنگها و توده های سنگی	۵۳.....
۱-۴-۳ هوازدگی مکانیکی	۵۴.....
۲-۴-۳ هوازدگی شیمیایی و بیولوژیکی	۵۶.....
۳-۳ طبقه بندی سنگهای هوازد	۶۱.....
۱-۵-۳ طبقه بندی هوازدگی بر اساس شاخص های شیمیایی و پتروگرافی	۶۲.....
۲-۵-۳ طبقه بندی هوازدگی بر اساس شاخص های مهندسی و خصوصیات سنگها	۶۶.....
۳-۶ طبقه بندی مهندسی سنگها	۶۷.....
۱-۶-۳ طبقه بندی از نظر دوام	۶۷.....
۲-۶-۳ طبقه بندی از نظر مقاومت	۶۹.....
۳-۷ خواص مهندسی سنگهای آذرین	۷۰.....
۴-۷-۳ گرانیت ها و سنگهای پلوتونیک	۷۰.....
۵-۷-۳ سنگهای ولکانیک	۷۱.....
۶-۸-۳ نهشته های پیروکلاستیک	۷۲.....

عنوان

صفحة

۹-۳ معیارها و آزمایشات اندازه گیری دوام سنگها	۷۳
۱-۹-۳ آزمایش‌های پیشنهادی جهت سنجش زوال پذیری و دوام سنگها	۷۳
- آزمایشات فیزیکی	۷۴
- آزمایشات مکانیکی	۷۵
- آزمونهای مشابه سازی	۷۷
- بررسی‌های سنگ شناسی	۷۸

فصل چهارم - پتروگرافی

۱-۴ مقدمه	۸۳
۲-۴ طبقه بندی مودال سنگهای آذرین	۸۳
۱-۲-۴ طبقه بندی مودال اشتريکایزن	۸۳
۳-۴ ریولیت‌ها	۹۰
۴-۴ ایگنیمبریت‌ها	۹۵
۵-۴ گنبدهای ریولیتی	۹۶
۶-۴ توف‌های ریولیتی	۱۰۱
۷-۴ بازالت‌ها	۱۰۵
۸-۴ سنگ‌های گلبرویی و دیابازی	۱۰۷
۹-۴ گرانیت‌ها و گرانودیبوریت‌ها	۱۱۱
۱۰-۴ داسیت‌ها	۱۱۴
۱۱-۴ سینیت‌ها	۱۱۵
۱۲-۴ نتایج حاصل از مطالعه پتروگرافی	۱۱۹

فصل پنجم - آزمایشات مقاومتی و دوام داری بر روی نمونه‌ها

۱-۵ مقدمه	۱۲۱
۳-۵ بررسی آزمایشات انجام شده و نتایج آنها	۱۲۴
۱-۳-۵ آزمایش‌های تعیین خصوصیات فیزیکی	۱۲۴
۲-۳-۵ تعیین سرعت صوت	۱۲۸
۳-۳-۵ آزمایش سلامت سنگ	۱۲۹
۴-۳-۵ شاخص دوام وارفتگی	۱۳۰
۵-۳-۵ مقاومت فشاری تک محوری	۱۳۲
۶-۳-۵ تعیین ارزش ضربه ای سنگها	۱۳۳

عنوان	صفحه
-------	------

۷-۳-۵ تعیین میانگین اندازه دانه.....	۱۳۴.....
۸-۳-۵ آنالیز شیمیایی نمونه ها.....	۱۳۵.....

فصل ششم- بررسی روابط بین ویژگیهای سنگ شناسی و خصوصیات مهندسی

۱-۶ مقدمه.....	۱۳۹.....
۲-۶ بررسی خصوصیات مقاومتی و دوام داری بر اساس نام سنگ.....	۱۳۹.....
۳-۶ ارزیابی خصوصیات مقاومتی و دوام داری بر اساس بافت سنگ.....	۱۴۲.....
۴-۶ ارزیابی خصوصیات مقاومتی و دوام داری بر اساس اندازه دانه.....	۱۴۶.....
۵-۶ ارزیابی خصوصیات مقاومتی و دوام داری بر اساس شاخصهای هوازدگی.....	۱۵۰.....
۶-۶ ارزیابی خصوصیات مقاومتی و دوام داری بر اساس درصد کانیهای ناپایدار.....	۱۶۱.....
۷-۶ ارزیابی خصوصیات مقاومتی و دوام داری بر اساس ترکیب کانی شناسی.....	۱۶۳.....
۸-۶ ارزیابی ارتباط خصوصیات فیزیکی، مکانیکی و دوام داری.....	۱۶۷.....
۹-۶ ژئوشیمی سنگها.....	۱۷۲.....
۱-۹-۶ نمودارهای عنکبوتی.....	۱۷۷.....

فصل هفتم- نتیجه گیری

۱-۷ نتیجه گیری.....	۱۸۰.....
---------------------	----------

فهرست منابع

الف- منابع فارسی.....	۱۸۳.....
ب- منابع انگلیسی.....	۱۸۵.....

فهرست جداول

صفحه	عنوان
٤	جدول ۱-۱- مشخصات بنادر و موج شکن‌های مطالعه شده
۲۰	جدول ۲-۱- خلاصه واحدها و سنگ‌های سازند هرمز
۳۸	جدول ۳-۱- انواع فرایندهای موثر در تخریب سنگ‌های موج شکن ها (CIRIA/CUR(1990)
۴۳	جدول ۳-۲- ترکیب آب خلیج فارس (بونلی و همکاران ۲۰۰۴)
۴۴	جدول ۳-۳- طبقه بندی خصوصیات سنگ‌ها (اروسی و والر، ۱۹۹۵)
۴۴	جدول ۳-۴- عوامل موثر در رفتار سنگ‌ها، (بینیاواسکی، ۱۹۸۴)
۴۵	جدول ۳-۵- تقسیم بندی سنگ‌ها بر اساس رنگ و بافت (هوک، ۱۹۹۴)
۴۸	جدول ۳-۶- توصیف اندازه دانه (آنون، ۱۹۷۹)
۶۶	جدول ۳-۷- درجه هوازدگی بر اساس سرعت امواج صوتی (ایلبو، ۱۹۶۶)
۶۸	جدول ۳-۸- طبقه بندی سنگ‌ها بر اساس افت وزنی در برابر نمک (بناآونته و همکاران، ۲۰۰۱)
۶۸	جدول ۳-۹- رده بندی سنگ‌ها بر اساس شاخص دوام دومین مرحله (گمبیل، ۱۹۷۱)
۶۸	جدول ۳-۱۰- رده بندی سنگ‌ها بر اساس شاخص دوام اولین مرحله (فرانکلین و چاندر، ۱۹۷۲)
۶۹	جدول ۳-۱۱- طبقه بندی های مقاومتی مختلف ارائه شده برای سنگ‌ها (بل، ۲۰۰۰)
۷۰	جدول ۳-۱۲- ویژگیهای عمومی سنگ‌های آذرین (هانت، ۱۹۸۴)
۷۱	جدول ۳-۱۳- محدوده برخی از ویژگیهای مهندسی سنگ‌های آذرین (هانت، ۱۹۸۴).
۷۳	جدول ۳-۱۴- پارامتر های مهم مورد استفاده در ارزیابی خصوصیات سنگ‌ها (نیکودل، ۱۳۶۹)
۷۴	جدول ۳-۱۵- طبقه بندی آزمایش‌های مهندسی دوام (فوکس و همکاران، ۱۹۸۸).
۷۵	جدول ۳-۱۶- چگالی نسبی برخی از کانی ها
۷۵	جدول ۳-۱۷- چگالی برخی از سنگ‌های متداول (gr/cm^3)
۸۰	جدول ۳-۱۸- سرعت امواج طولی در برخی کانی ها
۸۰	جدول ۳-۱۹- سرعت امواج طولی در برخی سنگها
۸۴	جدول ۴-۱- نتایج آنالیز مودال سنگ‌های منطقه
۸۵	جدول ۴-۲- اسامی نمونه های برداشت شده و محل برداشت آنها
۱۲۱	جدول ۵-۱- فعالیتهای آزمایشگاهی انجام شده
۱۲۲	جدول ۵-۲- شرح مختصری از آزمایشات انجام شده (ASTM, ISRM)
۱۲۴	جدول ۵-۳- نتایج حاصل از انجام آزمایش تعیین خصوصیات فیزیکی سنگ ها
۱۲۸	جدول ۵-۴- نتایج آزمایشات سرعت صوت
۱۲۹	جدول ۵-۵- نتایج آزمایشات سلامت سنگ
۱۳۱	جدول ۵-۶- نتایج حاصل از انجام آزمایش دوام سنگ ها
۱۳۲	جدول ۵-۷- نتایج آزمایشات مقاومت تک محوری سنگها
۱۳۳	جدول ۵-۸- نتایج آزمایشات ارزش ضربه ای نمونه ها
۱۳۴	جدول ۵-۹- میانگین اندازه دانه های نمونه ها
۱۳۵	جدول ۵-۱۰- نتایج آنالیز XRF نمونه ها
۱۳۶	جدول ۵-۱۱- انواع ضرایب هوازدگی محاسبه شده برای نمونه ها
۱۳۷	جدول ۵-۱۲- محاسبه نورم نمونه ها

فهرست اشکال و تابلوها

عنوان	صفحة
شکل ۱-۱- موقعیت و راههای ارتباطی منطقه مورد مطالعه	۳
شکل ۱-۲- بازوی شرقی موج شکن شهید رجایی	۹
شکل ۱-۳- موج شکن بخش ترافیک ساحلی بندر شهید رجایی	۹
تابلو ۱-۱- شکل الف : موج شکن بندر شهید باهنر	۱۰
تابلو ۱-۱- شکل ب : موج شکن بندر گنگ	۱۰
تابلو ۱-۱- شکل ج : موج شکن بندر بستانه	۱۰
تابلو ۱-۱- شکل د : موج شکن بندر لنگه	۱۰
تابلو ۱-۱- شکل ه : موج شکن بندر لنگه	۱۰
تابلو ۱-۱- شکل و : موج شکن بندر حسینه	۱۰
تابلو ۱-۲- شکل الف : حفرات انحلالی نمک(گند گچین)	۱۱
تابلو ۱-۲- شکل ب : نمک متببور شده در بستر رودخانه های جاری در گند نمکی گچین	۱۱
تابلو ۱-۲- شکل ج : یکی از معادن تهیه سنگ(توده رویلیتی، گند گچین)	۱۱
تابلو ۱-۲- شکل د: روش نمونه برداری از موج شکن ها	۱۱
شکل ۱-۴- تصویر ماهواره ای جنوب ایران (مقیاس ۱/۱۰۰۰۰۰)	۱۲
شکل ۱-۵- تصویر ماهواره ای گند نمکی گچین(مقیاس ۱/۱۰۰۰۰۰)	۱۳
شکل ۱-۶- تصویر ماهواره ای گند نمکی بندر معلم(کنگ)،(مقیاس ۱/۱۰۰۰۰۰)	۱۳
شکل ۱-۷- تصویر ماهواره ای گند نمکی بستانه (مقیاس ۱/۱۰۰۰۰۰)	۱۴
شکل ۱-۸- تصویر ماهواره ای گند نمکی حسینه (مقیاس ۱/۱۰۰۰۰۰)	۱۴
شکل ۱-۹- نقشه واحدهای ساختاری - رسوبی ایران و موقعیت منطقه مورد مطالعه بر روی آن	۱۷
شکل ۲-۱- نقشه زمین شناسی منطقه مورد مطالعه (مقیاس ۱/۱۰۰۰۰۰)	۱۸
تابلو ۲-۱- شکل الف : لایه های لیمونیت و شیل و ماسه سنگ در واحد H1 سازند هرمز(گچین)	۲۲
تابلو ۲-۱- شکل ب : طبقات گچ که حاوی قطعات دیبازی می باشند (گچین)	۲۲
تابلو ۲-۱- شکل ج : حاشیه برشی شده گند رویلیتی	۲۲
تابلو ۲-۱- شکل د : رگه های یژیست در گند رویلیتی(گچین)	۲۲
تابلو ۲-۱- شکل ه : رگه های یژیست در بین لایه های ماسه سنگی(گچین)	۲۲
تابلو ۲-۱- شکل و : سطح گنبد های رویلیتی که شدیداً دچار شکستگی شده است(گچین)	۲۲
تابلو ۲-۲- شکل الف : گدازه های بازالتی که بیشتر در ارتفاعات قرار دارند	۲۴
تابلو ۲-۲- شکل ب : واحد گابرویی در گچین که در قله کوه قرار دارد(گچین)	۲۴
تابلو ۲-۲- شکل ج : گند نمکی بستانه شکل الف،	۲۴
شکل ۴-۲- پراکندگی جغرافیایی گنبد های نمکی در جنوب شرق زاگرس(مرادی، ۱۳۸۲)	۲۵
شکل ۶-۲- بخش میانی گند نمکی گچین بیشتر ارتفاعات از دولومیت می باشند.	۲۹
شکل ۷-۲- نوار شرقی گند نمکی گچین.	۲۹
شکل ۸-۲- گند نمکی بندر معلم(کنگ)	۳۰
شکل ۳-۱- الف: انواع مختلف موج شکنها، ب: مقطع عرضی موج شکن توپه سنگی	۳۳

عنوان

صفحه

۳۴	شکل ۲-۳- رابطه بین ارتفاع موج و درصد خطر تخریب موج شکن با افزایش تخلخل
۳۷	تابلو ۳-۱- شکل الف : مراحل ساخت موج شکن در بندر عسلویه
۳۷	تابلو ۳-۱- شکل ب : نیروی حاصل از برخورد امواج با سطوح موج شکن که سبب تخریب آن می شود
۳۷	تابلو ۲-۱- شکل ج: قرار گیری صحیح سنگهای لایه آرمور(موج شکن بندر صیادی بستانه)
۳۷	تابلو ۳-۱- شکل د: عدم قرار گیری صحیح سنگهای لایه آرمور(موج شکن بندر شهید باهنر)
۳۷	تابلو ۳-۱- شکل ه: رشد گیاهان و صدفها بر روی سنگهای لایه آرمور که سبب افزایش پایداری و عملکرد بهتر سنگها شده اند.
۳۷	تابلو ۳-۱- شکل و : در هم رفتگی سنگهای لایه آرمور در اثر انحلال که باعث قفل شدن سنگهای این لایه شده است.
۴۱	تابلو ۲-۳- شکل الف : انحلال سنگهای لایه آرمور در اثر برخورد امواج و اثر انحلالی آب دریا
۴۱	تابلو ۲-۳- شکل ب : شکستگی های ناشی از انحلال مواد داخل درزه ها که در نتیجه آن سنگ لایه حفاظت به قطعات کوچکتر تقسیم می شود
۴۱	تابلو ۳-۲- شکل ج : یک رگه آمفیبیول در داخل رویلیتهای برشی شده این رگه ها در اثر تاثیر آب دریا سریعتر از سایر بخشهای سنگ حل شده و باعث شکسته شدن سنگها به قطعات کوچکتر می شوند.
۴۱	تابلو ۲-۳- شکل د : فرایند پوسته پوسته شدن در سنگهای لایه حفاظت(توف).
۴۱	تابلو ۲-۳- شکل ه: انحلال رگه های آمفیبیولی در سنگ که باعث خرد شدن و قلوه قلوه شدن سنگ خواهد شد.
۴۱	تابلو ۲-۳- شکل و: رگه الیزیستی در داخل یک بلوك سنگی که باعث شکسته شده سنگ در امتداد آن شده است.
۴۴	شکل ۲-۳- خصوصیات کنترل کننده رفتار سنگ(کوهنل، ۱۹۹۰)
۴۵	شکل ۳-۳- رابطه بین مقاومت تک محوری و زاویه β در رویلیت، (ماتسوکورا و همکاران، ۲۰۰۲)
۴۶	شکل ۴-۳- رابطه بین درصد کانی های رسی و شاخخص دواوم(گوکسه افلو و همکاران، ۲۰۰۰)
۴۶	شکل ۳-۵- رابطه بین نسبت کوارتز به فلدسپات و مقاومت تک محوری (توگرول و ظریف، ۱۹۹۹)
۴۷	شکل ۳-۶- رابطه بین سازنده های ثانویه سنگ و پارامترهای مقاومتی(سوسا و همکاران، ۲۰۰۴)
۴۷	شکل ۷-۳-الف- رابطه بین اندازه دانه و مقاومت فشاری تک محوری
۴۷	شکل ۷-۳- ب- رابطه بین درصد کانی و مقاومت تک محوری، (توگرول و ظریف، ۱۹۹۹)
۴۸	شکل ۸-۳- رابطه بین نوع و اندازه کانی های مختلف و مقاومت فشاری تک محوری
۴۹	شکل ۳-۹- انواع مرزهای بین دانه ها (اولوسای و همکاران، ۱۹۹۴)
۵۰	شکل ۳-۱۰-الف- رابطه بین نوع مرزهای دانه ها و مقاومت فشاری تک محوری.
۵۰	شکل ۳-۱۰- ب- رابطه بین نوع مرزهای دانه ها و مدول یانگ(اولوسای و همکاران، ۱۹۹۴).
۵۰	شکل ۱۱-۳- رابطه بین مقاومت و دوام و نوع فابریک سنگ(هاپرت، ۱۹۸۸)
۵۲	شکل ۱۲-۳- مدلهای تشکیل و گسترش شکستگی ها در سنگها(یوشیدا و همکاران، ۲۰۰۵)
۵۳	شکل ۱۳-۳- رابطه بین تخلخل، مقاومت تک محوری، سرعت موج با دانسیته ترکها
۵۸	شکل ۱۴-۳- تغییرات حجم بعضی از کانی ها در واکنش با آب(کوهنل و همکاران، ۲۰۰۴)
۵۹	شکل ۱۵-۳- تغییرات حجم بعضی از کانی ها در واکنش با آب(کوهنل و همکاران، ۲۰۰۴)
	MIS عناصر اصلی سنگهای گرانیتی با افزایش عمق(گوان و همکاران، ۲۰۰۱)

صفحه	عنوان
٦٠	شكل ۳-۱۶-۳- تغییرات در تمرکز عناصر کمیاب بازالت با افزایش عمق(مون و همکاران، ۲۰۰۴)
٦٤	شكل ۳-۱۷-۳- رابطه شاخص میора و مقاومت تک محوری(هودر، ۱۹۸۴)
٦٧	شكل ۳-۱۸-۳- تغییرات K_c و σ_c در سنگهای مختلف(گوپتا و همکاران، ۲۰۰۱)
٦٧	شكل ۳-۱۹-۳- تغییرات K_c و R_s در سنگهای مختلف(گوپتا و همکاران، ۲۰۰۱)
٦٩	شكل ۳-۲۰-۳- تقسیم بندی مقاومتی سنگهای اساس درصد هریک از اجزاء سازنده سنگ
٧٠	شكل ۳-۲۱-۳- مقایسه انواع تقسیم بندی ها مختلف بر اساس مقاومت تک محوری
٧٨	شكل ۳-۲۲-۳- روش اندازه گیری دانسیته فشردنگی
٧٩	شكل ۳-۲۳-۳- روش اندازه گیری پارامتر مرزدانه
٨٤	شكل ۴-۱- دیاگرام QAP مودال اشتريکایزن (۱۹۷۶) موقعیت نمونه های مورد مطالعه بر روی آن
٩٢	شكل ۴-۲- خلاصه بافت‌های ایجاد شده بوسیله واکنش بین پلازیوکلаз S_0 و مذاب L_0 .
٩٨	تابلو ۴-۱- شکل الف : ناپایداری بلورهای کوارتز در ریولیت
٩٨	تابلو ۴-۱- شکل ب : پرشدگی خفره بوسیله کوارتزهای کوچک ثانویه در ریولیت
٩٨	تابلو ۴-۱- شکل ج : بلور درشت پلازیوکلاز در ریولیت های پورفیری که دارای بافت غربالی می باشد
٩٨	تابلو ۴-۱- شکل د : سریستیزاسیون پلازیوکلازها در ریولیت
٩٨	تابلو ۴-۱- شکل ه : جانشینی کامل پلازیوکلاز توسط اپیدوت، کلریت و کلسیت در ریولیت ها
٩٨	تابلو ۴-۱- شکل و : قطعات بلور و شیشه در ایگنیمیریتها. حالت جریانی نیز کمی مشخص می باشد
٩٨	تابلو ۴-۱- شکل ز : حفرات پر شده بوسیله کوارتز ثانویه در ایگنیمیریتها. شیشه در حاشیه حفرات در حال کلریتی شدن می باشد
٩٨	تابلو ۴-۱- شکل ح : بافت غربالی در بلورهای پلازیوکلاز ایگنیمیریت ها(وشیشه)
١٠٤	تابلو ۴-۲- شکل الف : بافت گلومروپورفیری و تجمعات بلورهای کوارتز و پلازیوکلاز در ریولیت
١٠٤	تابلو ۴-۲- شکل ب: بافت پورفیری و بلورهای درشت پلازیوکلاز در ریولیت ها
١٠٤	تابلو ۴-۲- شکل ج : اپیدوتی شدن پلازیوکلاز ها در ریولیت ها
١٠٤	تابلو ۴-۲- شکل د: بلورهای روتیل در داخل بیوتیت ها در ریولیت
١٠٤	تابلو ۴-۲- شکل ه : حالت shard در توفهای ریولیتی
١٠٤	تابلو ۴-۲- شکل و: بلور کلسیت در مرکز و بلورهای زیپس در حاشیه حفرات در توفهای ریولیتی
١١٠	تابلو ۴-۳- شکل الف : اپیدوتی شدن شدید بازالتها
١١٠	تابلو ۴-۳- شکل ب : بلور پرهنیت در بازالتها
١١٠	تابلو ۴-۳- شکل ج : نمایی از دیاباز و بلورهای کانی های اپک(الیژیست)
١١٠	تابلو ۴-۳- شکل د : بافت افیتیک و تجزیه شدید در دیابازها
١١٠	تابلو ۴-۳- شکل ه : تیغه های پلازیوکلاز در دیاباز که در حال تجزیه به کلریت واپیدوت می باشند و بلورهای مگنتیت در بین آنها
١١٠	تابلو ۴-۳- شکل و : بلورهای پیرکسن در دیاباز که در حال بیوتیتی شدن می باشند
١١٣	تابلو ۴-۴- شکل الف : بافت افیتیک در گرانوڈیوریت
١١٣	تابلو ۴-۴- شکل ب : تجزیه فلدسپات آلکالن و پلازیوکلاز به کلریت و کلسیت

عنوان

صفحه

تabelo ۴-۴- شکل ج : بلورهای تیتانومگنتیت در گرانودیوریت ها	۱۱۳
تabelo ۴-۴- شکل د : بلور طویل آپاتیت در کوارتز مونزونیت	۱۱۳
تabelo ۴-۴- شکل ه : زوناسیون پیریت در گرانودیوریت	۱۱۳
تabelo ۴-۵- شکل الف : تجزیه پلازیوکلاز به کلریت، اپیدوت و کلسیت در داسیت ها	۱۱۸
تabelo ۴-۵- شکل ب: جانشینی کلریت و کلسیت بجای بیوتیت	۱۱۸
تabelo ۴-۵- شکل ج : بافت غربالی در پلازیوکلاز و تجزیه این بلورها به کلسیت	۱۱۸
تabelo ۴-۵- شکل د : پلازیوکلاز در حال تجزیه به سریسیت در داسیت	۱۱۸
تabelo ۴-۵- شکل ه : بافت افیتیک ناشی از درهم رشدی بلورهای ارتوز در سینیت ها	۱۱۸
تabelo ۴-۵- شکل و : تجزیه کلی سینیت ها و رشد کانی های اپک در بین بلورهای ارتوز	۱۱۸
شکل ۱-۱- هیستوگرام مربوط به مقادیر درصد جذب آب نمونه ها	۱۲۶
شکل ۱-۲- هیستوگرام مربوط به مقادیر تخلخل نمونه ها	۱۲۶
شکل ۱-۳- هیستوگرام مربوط به مقادیر وزن مخصوص نمونه ها	۱۲۷
شکل ۱-۴- هیستوگرام مربوط به مقادیر چگالی خشک نمونه ها	۱۲۷
شکل ۱-۵- هیستوگرام مربوط به مقادیر سرعت موج در نمونه ها	۱۲۹
شکل ۱-۶- هیستوگرام مربوط به مقادیر افت وزنی نمونه ها در آزمایش سلامت سنگ	۱۳۰
شکل ۱-۷- هیستوگرام مربوط به مقادیر افت وزنی نمونه ها در آزمایش دوام	۱۳۰
شکل ۱-۸- هیستوگرام مربوط به مقادیر مقاومت تک محوری نمونه ها	۱۳۳
شکل ۱-۹- هیستوگرام مربوط به مقادیر ارزش ضربه ای نمونه ها	۱۳۴
شکل ۱-۱۰- محدوده ارزش ضربه سنگهای مختلف	۱۴۰
شکل ۱-۱۱- محدوده درصد افت وزنی سنگهای مختلف در آزمایش سلامت سنگ	۱۴۱
شکل ۱-۱۲- محدوده سرعت صوت در سنگهای مختلف و در حالت خشک و اشباع	۱۴۱
شکل ۱-۱۳- محدوده شاخص دوام در سنگهای مختلف	۱۴۱
شکل ۱-۱۴- محدوده مقاومت تک محوری در سنگهای مختلف و در حالت خشک و اشباع	۱۴۱
شکل ۱-۱۵- محدوده تخلخل در سنگهای مختلف	۱۴۲
شکل ۱-۱۶- میزان جذب آب در سنگهای مختلف	۱۴۲
شکل ۱-۱۷- محدوده شاخص دوام بر اساس بافت‌های مختلف	۱۴۳
شکل ۱-۱۸- محدوده جذب آب برای بافت‌های مختلف	۱۴۴
شکل ۱-۱۹- محدوده تغییرات تخلخل برای بافت‌های مختلف	۱۴۴
شکل ۱-۲۰- محدوده تغییرات مقاومت تک محوری برای سنگهای مختلف در حالت اشباع	۱۴۴
شکل ۱-۲۱- محدوده تغییرات مقاومت تک محوری در حالت خشک برای بافت‌های مختلف	۱۴۵
شکل ۱-۲۲- محدوده تغییرات سرعت صوت در حالت اشباع برای بافت‌های مختلف	۱۴۵
شکل ۱-۲۳- محدوده تغییرات سرعت صوت در حالت خشک برای بافت‌های مختلف	۱۴۵
شکل ۱-۲۴- محدوده تغییرات سرعت صوت در حالت خشک برای بافت‌های مختلف	۱۴۶
شکل ۱-۲۵- محدوده تغییرات شاخص سلامت بر اساس بافت‌های مختلف	۱۴۶
شکل ۱-۲۶- محدوده تغییرات ارزش ضربه برای بافت‌های مختلف	۱۴۶
شکل ۱-۲۷- رابطه بین مدول الاستیسیته و میانگین اندازه دانه	۱۴۸

عنوان

صفحه

- شکل ۱۸-۶- رابطه بین مقاومت تک محوری در حالت خشک و اشباع و میانگین اندازه دانه ها ۱۴۸
- شکل ۱۹-۶- رابطه بین سرعت موج در حالت خشک و اشباع و میانگین اندازه دانه ها ۱۴۸
- شکل ۲۰-۶- رابطه بین شاخص دوام و میانگین اندازه دانه ها ۱۴۸
- شکل ۲۱-۶- رابطه بین تخلخل و میانگین اندازه دانه ۱۴۹
- شکل ۲۲-۶- رابطه بین میزان جذب آب و میانگین اندازه دانه ها ۱۴۹
- شکل ۲۳-۶- رابطه بین درصد افت وزنی در آزمایش سلامت سنگ و میانگین اندازه دانه ها ۱۴۹
- شکل ۲۴-۶- رابطه ارزش ضربه ای سنگها و میانگین اندازه دانه ها ۱۴۹
- شکل ۲۵-۶- رابطه بین شاخص MI و میانگین اندازه دانه ۱۵۲
- شکل ۲۶-۶- رابطه بین شاخص MI و شاخص دوام ۱۵۳
- شکل ۲۷-۶- رابطه بین شاخص MI و مقاومت تک محوری در حالت خشک و اشباع ۱۵۳
- شکل ۲۸-۶- رابطه بین شاخص MI و سرعت صوت در حالت خشک و اشباع ۱۵۳
- شکل ۲۹-۶- رابطه بین شاخص MI و درصد افت وزنی در آزمایش سلامت سنگ ۱۵۳
- شکل ۳۰-۶- رابطه بین شاخص MI و میزان جذب آب ۱۵۴
- شکل ۳۱-۶- رابطه بین شاخص MI و تخلخل ۱۵۴
- شکل ۳۲-۶- رابطه بین شاخص MI و ارزش ضربه ۱۵۴
- شکل ۳۳-۶- رابطه بین شاخص پارکر و میانگین اندازه دانه ها ۱۵۴
- شکل ۳۴-۶- رابطه بین شاخص پارکر و شاخص دوام ۱۵۵
- شکل ۳۵-۶- رابطه بین شاخص پارکر و مقاومت فشاری تک محوری در حالت خشک و اشباع ۱۵۵
- شکل ۳۶-۶- رابطه بین شاخص پارکر و سرعت صوت در حالت خشک و اشباع ۱۵۵
- شکل ۳۷-۶- رابطه بین شاخص PI و میانگین اندازه دانه ۱۵۵
- شکل ۳۸-۶- رابطه بین شاخص PI و میزان جذب آب ۱۵۶
- شکل ۳۹-۶- رابطه بین شاخص PI و تخلخل ۱۵۶
- شکل ۴۰-۶- رابطه بین شاخص PI و ارزش ضربه ۱۵۶
- شکل ۴۱-۶- رابطه بین شاخص PI و مقاومت فشاری تک محوری در حالت خشک و اشباع ۱۵۷
- شکل ۴۲-۶- رابطه بین شاخص PI و سرعت صوت در حالت خشک و اشباع ۱۵۷
- شکل ۴۳-۶- رابطه بین شاخص WPI و میانگین اندازه دانه ها ۱۵۷
- شکل ۴۴-۶- رابطه بین شاخص WPI و مقاومت تک محوری در حالت خشک و اشباع ۱۵۷
- شکل ۴۵-۶- رابطه بین شاخص WPI و سرعت صوت در حالت خشک و اشباع ۱۵۸
- شکل ۴۶-۶- رابطه بین شاخص WPI و میزان جذب آب ۱۵۸
- شکل ۴۷-۶- رابطه بین شاخص WPI و ارزش ضربه ۱۵۸
- شکل ۴۸-۶- رابطه بین شاخص WPI و تخلخل ۱۵۹
- شکل ۴۹-۶- رابطه بین شاخص WPI و افت وزنی در آزمایش سلامت سنگ ۱۵۹
- شکل ۵۰-۶- رابطه بین میانگین اندازه دانه ها و شاخص IP ۱۵۹
- شکل ۵۱-۶- رابطه بین شاخص IP و شاخص دوام ۱۵۹

صفحه	عنوان
۱۶۰	شكل ۶-۵۲- رابطه بين شاخص IP و مقاومت تک محوري در حالت خشك و اشبع
۱۶۰	شكل ۶-۵۳- رابطه بين شاخص IP و ميزان جذب آب
۱۶۰	شكل ۶-۵۴- رابطه بين شاخص IP و تخلخل
۱۶۰	شكل ۶-۵۵- رابطه بين شاخص IP و افت وزني در آزمایش سلامت سنگ
۱۶۲	شكل ۶-۵۶- رابطه بين سازنده های ناپايدار و شاخص دوام
۱۶۲	شكل ۶-۵۷- رابطه بين سازنده های ناپايدار و مقاومت تک محوري در حالت خشك و اشبع
۱۶۲	شكل ۶-۵۸- رابطه بين سازنده های ناپايدار و سرعت صوت در حالت خشك و اشبع
۱۶۳	شكل ۶-۵۹- رابطه بين سازنده های ناپايدار و ميزان جذب آب
۱۶۳	شكل ۶-۶۰- رابطه بين سازنده های ناپايدار و ميزان تخلخل
۱۶۳	شكل ۶-۶۱- رابطه بين سازنده های ناپايدار و سلامت سنگ
۱۶۵	شكل ۶-۶۲- رابطه بين درصد کاني هاي فرومنيزين و تخلخل
۱۶۵	شكل ۶-۶۳- رابطه بين درصد کاني هاي فرومنيزين و ميزان جذب آب
۱۶۵	شكل ۶-۶۴- رابطه بين درصد کاني هاي فرومنيزين و وزن مخصوص
۱۶۶	شكل ۶-۶۵- رابطه بين درصد کاني هاي فرومنيزين و سرعت صوت در حالت خشك و اشبع
۱۶۶	شكل ۶-۶۶- رابطه بين نسبت F/Q و شاخص دوام
۱۶۶	شكل ۶-۶۷- رابطه بين نسبت F/Q و ارزش ضربه
۱۶۶	شكل ۶-۶۸- رابطه بين درصد کوارتر و شاخص دوام
۱۶۷	شكل ۶-۶۹- رابطه بين درصد کوارتر و ارزش ضربه
۱۶۷	شكل ۶-۷۰- رابطه بين درصد کوارتر و درصدسلامت سنگ
۱۷۰	شكل ۶-۷۱- رابطه بين مقاومت تک محوري در حالت خشك و اشبع و وزن مخصوص
۱۷۰	شكل ۶-۷۲- رابطه وزن مخصوص و سرعت موج در حالتهاي خشك و اشبع
۱۷۰	شكل ۶-۷۳- رابطه بين و تخلخل و سرعت صوت در حالت خشك و اشبع
۱۷۱	شكل ۶-۷۴- رابطه بين تخلخل و مقاومت تک محوري در حالت خشك و اشبع
۱۷۱	شكل ۶-۷۵- رابطه بين چگالي و تخلخل
۱۷۱	شكل ۶-۷۶- رابطه بين درصد جذب آب و مقاومت فشاری تک محوري و در حالتهاي خشك و اشبع
۱۷۱	شكل ۶-۷۷- رابطه بين سرعت موج و مقاومت تک محوري در حالتهاي خشك و اشبع
۱۷۲	شكل ۶-۷۸- رابطه بين ارزش ضربه و شاخص دوام
۱۷۲	شكل ۶-۷۹- رابطه بين شاخص دوام و مقاومت فشاری تک محوري در حالت خشك و اشبع
۱۷۳	شكل ۶-۸۰- تغييرات عناصر اصلی بین نمونه های دانستی
۱۷۳	شكل ۶-۸۱- تغييرات عناصر اصلی بین نمونه های توف ریولیتی
۱۷۴	شكل ۶-۸۲- تغييرات عناصر اصلی بین نمونه های گرانیتی
۱۷۴	شكل ۶-۸۳- تغييرات عناصر اصلی بین نمونه های ریولیتی
۱۷۵	شكل ۶-۸۴- تغييرات عناصر اصلی بین نمونه های سینیتی
۱۷۵	شكل ۶-۸۵- تغييرات عناصر اصلی بین نمونه های گابروی
۱۷۶	شكل ۶-۸۶- تغييرات عناصر اصلی بین نمونه های بازالتی

فصل اول

کلیات

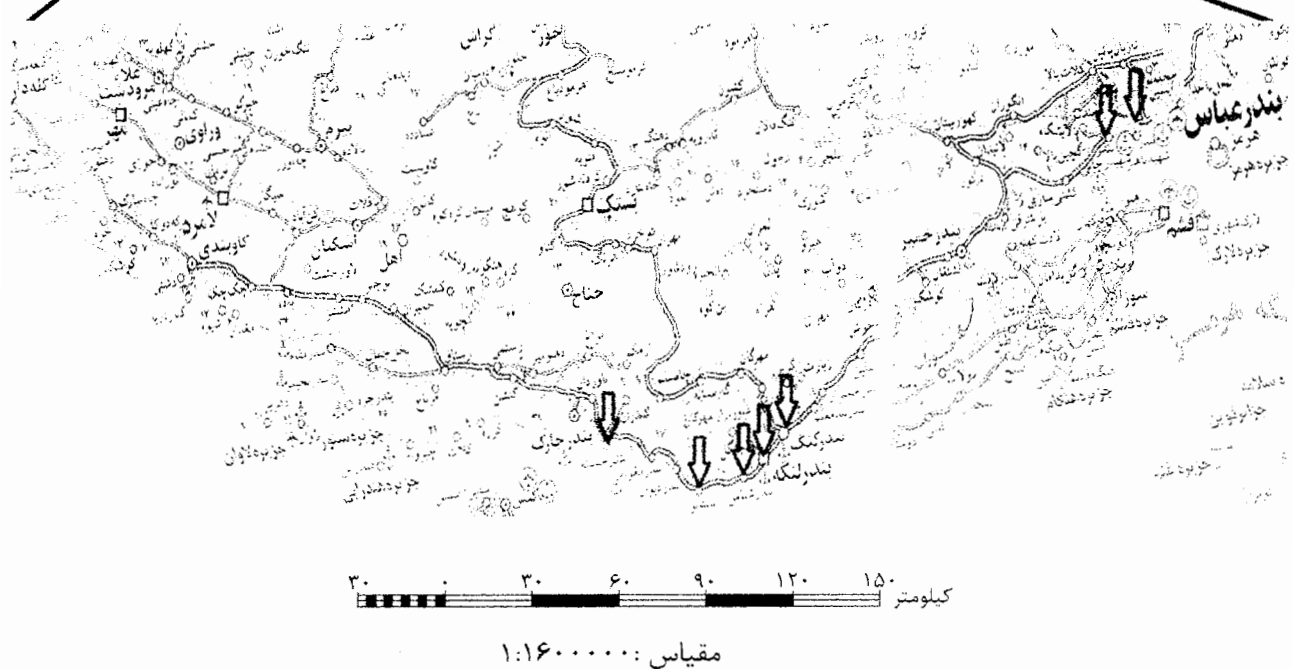
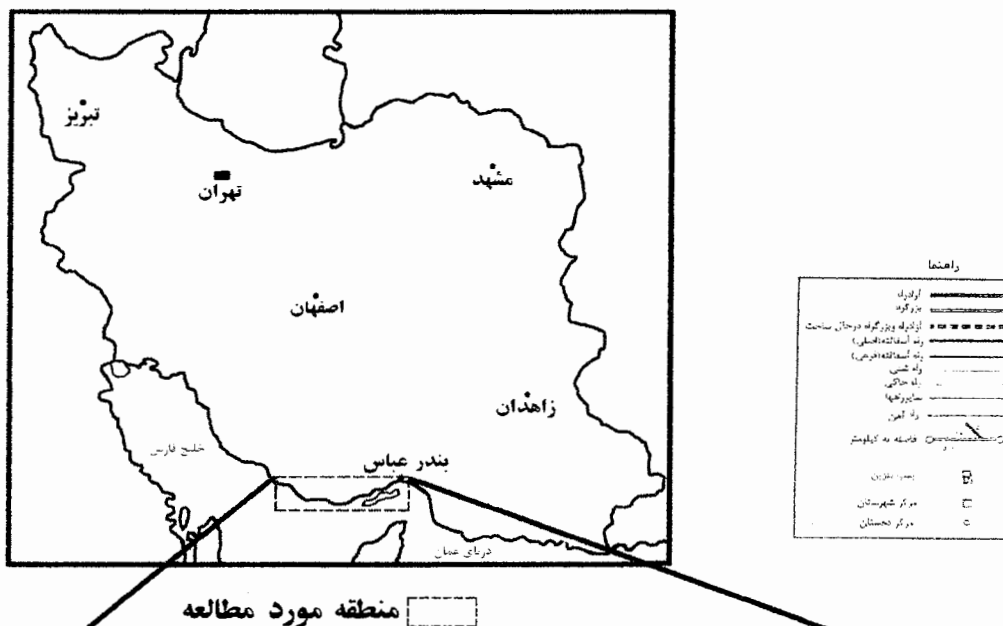
۱- موقعیت جغرافیایی منطقه مورد مطالعه :

منطقه مورد مطالعه در طول سواحل جنوبی کشور در حد فاصل بندر عباس تا بندر عسلویه و در بین مختصات جغرافیایی $23^{\circ}25' \text{ تا } 28^{\circ}57'$ عرض شمالی و $51^{\circ}15' \text{ تا } 52^{\circ}41'$ طول شرقی واقع شده است(شکل ۱-۱).

بخش عمده ای از منطقه مطالعاتی در استان هرمزگان قرار دارد. استان هرمزگان از مناطق گرم و خشک ایران است و اقلیم آن تحت تأثیر آب و هوای نیمه بیابانی و بیابانی قرار دارد و دمای متوسط سالانه این منطقه حدود 27°C می باشد . بارش های جوی در این استان بسیار کم بوده و معمولاً به صورت باران های بهاری سیل آسا می باشد و باعث خساراتی می شود . میزان رطوبت نسبی در سواحل خلیج فارس بین ۲۰ تا ۱۰۰ درصد نوسان دارد. بنادر و موج شکنها مطالعه شده به طور خلاصه در شکل (۱-۱) و جدول (۱-۱) و نشان داده شده اند .

۲- زمین ریخت شناسی منطقه :

کوههای این منطقه ادامه رشته کوههای زاگرس است و بتدریج از شمال غرب به سمت جنوب شرق کشیده شده اند. براساس سنگ شناسی و ساختار ناحیه، چند واحد زمین ریخت شناسی شناسایی شده اند ، که عبارتند از کوههای طاقدیسی ،ناهمواری های پست ناودیسی، گنبدهای نمکی،دشت‌های آبرفتی و ناحیه پست ساحلی و جلگه ای (جعفری صدر ،۱۳۷۰).



شکل (۱-۱)، موقعیت و راههای ارتباطی منطقه مورد مطالعه

جدول ۱-۱- مشخصات بنادر و موج شنکن‌های مطالعه شده

سال ساخت	نوع مسکنا	مشخصات موج شنکن	مشخصات بارگردانی (mm)	مقدار معطر (c)	موقوفه جریان‌گرفتار	مقدار نیتر
۱۳۵	دوبلت سنگ	شانه شرقی: ۹۰۰ متر شانه غربی: ۷۶۷ متر	۱۳۳	۲۵	۱. کیلومتری غرب بندر عباس و ۱۱۰ عرض شمالی و ۱۱۰ طول شرقی	۲۷۸
۱۳۶	آهک	شانه شرقی: ۱۵۲ متر و ارتفاع ۵ متر	۲۱۶	۲۸	۲. کیلومتری غرب بندر عباس	۴۰
۱۳۷	دوبلت داسیت توپ، گرانیت	شانه شرقی: ۲۵۷ متر و ارتفاع ۵ متر	۲۱۶	۲۸	۴۰ عد طول شرقی و ۱۱۰ عرض شمالی	۴۰
۱۳۸	دوبلت داسیت توپ، گرانیت	یک شانه اصلی به طول ۱۲۵ متر دوشانه فرعی به طول ۲۰۰ متر یک شانه رسوبگیر به طول ۱۸۰ متر	۲۱۶	۲۸	کیلومتری غرب بندر عباس ۴۰ عد طول شرقی و ۱۱۰ عرض شمالی	۴۰
۱۳۹	گرانودیورت و لوماشل	شانه غربی: ۱۴۰ متر و ارتفاع ۷ متر شانه شرقی: ۹۰ متر و ارتفاع ۷ متر	۲۱۰	۲۶	۲۶ کیلومتری جنوب غربی بندر عباس ۱۱۰ طول شرقی و ۱۱۰ عرض شمالی	۲۶
۱۴۰	گابرو آهک	شانه غربی (بازوی اصلی): ۳۰۶ متر و ارتفاع ۱۵۵ متر- شانه شرقی (بازوی فرعی): ۱۹۱ متر و ارتفاع ۱۷۱ متر	۱۳۳	۲۵	۲۷ کیلومتری جنوب غربی بندر عباس ۱۱۰ عرض شمالی و ۱۱۰ طول شرقی	۲۶
۱۴۱	سبزیت آهک	شانه غربی (بازوی اصلی): ۳۰۶ متر و ارتفاع ۱۷۵ متر- شانه شرقی (بازوی فرعی): ۱۹۱ متر و ارتفاع ۱۷۱ متر	۱۶۳	۲۶	۲۸ کیلومتری غرب بندر لرگه	۲۶
۱۴۲	گابرو داسیت	شانه غربی (بازوی اصلی): ۳۰۳ متر و ارتفاع ۱۷۵ متر- شانه شرقی (بازوی فرعی): ۱۹۱ متر و ارتفاع ۱۷۱ متر	۲۲	۲۸	۲۹ کیلومتری جنوب غربی بندر لرگه ۱۱۰ عرض شمالی	۴۰
۱۴۳	توپ بازار	شانه غربی (بازوی اصلی): ۳۰۵ متر و ارتفاع ۱۷۹ متر شانه شرقی (بازوی اصلی): ۳۰۵ متر و ارتفاع ۱۷۹ متر	۳۰	۲۷	۳۰ کیلومتری جنوب غربی بندر لرگه	۴۰

الف: کوههای طاقدیسی

این کوهها از طاقدیس های کوه گیشو، خانه سرخ، خمیر، معلم و بستانه با روندهای مختلف تشکیل شده است.

ب: ناهمواری های پست ناودیسی :

این ناهمواری ها در بین طاقدیس ها شکل گرفته اند و کلوت هایی ایجاد کرده اند که نشانه اثر نیروی آب در زمینهای رسی و مارنی در مناطق بدون پوشش گیاهی است.

ج: گنبدهای نمکی :

ویژگی های مورفولوژیکی گنبدهای نمکی از جمله خصوصیات بارز آنهاست که می تواند اثرات حرکات آنها را نشان دهد. اشکال مورفولوژیکی گنبدهای نمکی واقعی تکتونیکی و دوره تکاملی آنها را ثبت کرده است. در گنبدهای نمکی بررسی شده اشکال فرسایشی متفاوتی دیده شده است. این اشکال فرسایشی از انواع پیشرفته تا انواع اشکال انحلالی اولیه در تغییر می باشند. اشکال انحلالی موجود در نمکها و دیگر خصوصیات مورفولوژیکی گنبدها نظیر سیستم درزه ها، حضور رخمنون های سنگهای غیر تبخیری، ساختارهای ریزشی، اشکال آبراهه ها و حضور قلل گنبدی در گنبدها در نتیجه تحولات تکتونیکی منطقه حاصل شده اند. و بدین لحاظ می توانند الگویی از خصوصیات دینامیکی آنها باشند. اختلاف زیاد در جنس رسوبات درون گنبد ها، همبودی واضح با محیط اطراف، ناهمگونی بسیار مشخص خطوط تراز، رنگ آمیزی متنوع در گنبدها و حفرات انحلالی از خصوصیات ویژه گنبد های نمکی جنوب ایران است (تابلو ۱-۲، شکل الف و ب). در ادامه به طور تفضیلی به بررسی گنبدهای نمکی خواهیم پرداخت.

د: دشتهای آبرفتی :

در میان کوه های تاقدیسی دشتهایی به وجود آمده که آبرفت‌های کنونی ناحیه در آنها گسترده شده اند.

و: ناحیه پست ساحلی و جلگه ای :

در کرانه ساحلی خلیج فارس بعلت موازی بودن محورچین خوردگی ها با خطوط ساحلی، سواحلی با شیب ملایم دیده می شوند و به همین دلیل در این جلگه ها گاه جزر و مد آب کیلومترها

پیش روی و پسروی دارد که این فاصله از رسوبات بسیار نرم ماسه ریز دانه پوشیده شده است . در این قسمت ریپل مارک های ساحلی و جنگل حرا و نیزارهای آب شور نیز مشاهده می شود .

۱-۳ مطالعات قبلی

تاکنون مطالعات متعددی در قالب پایان نامه های کارشناسی ارشد و دکتری و طرحهای پژوهشی بر روی تاثیر ویژگی های سنگ شناسی بر روی مقاومت و دوام داری سنگهای رسوبی و معیارهای شناخت زوال پذیری سنگها و معیارهای انتخاب سنگ مناسب برای احداث موج شکن ها صورت پذیرفته است . که از آن جمله می توان به موارد زیر اشاره نمود:

- ۱- محمد رضا نیکودل (۱۳۶۹)، تعیین معیارهای زوال پذیری و دوام سنگ(پایان نامه کارشناسی ارشد زمین شناسی مهندسی دانشکده علوم دانشگاه تربیت مدرس).
- ۲- محسن توکلی (۱۳۶۶)، انتخاب و استخراج سنگ مناسب برای احداث موج شکن بندر جاسک (پایان نامه کارشناسی ارشد معدن دانشکده فنی دانشگاه تهران).
- ۳- سید علیرضا ناصحی (۱۳۷۶)، تعیین معیارهای مناسب برای کار سنگ در احداث سازه های دریایی جنوب ایران (چابهار)،(پایان نامه کارشناسی ارشد زمین شناسی مهندسی دانشکده علوم دانشگاه تربیت مدرس).
- ۴- مهدی تلخابلو (۱۳۷۶)، بررسی شاخص های مهندسی سنگهای کربناته منطقه سد لار(پایان نامه کارشناسی ارشد زمین شناسی مهندسی دانشکده علوم دانشگاه تربیت مدرس).
- ۵- دکتر جلالی و همکاران(۱۳۶۷)، بررسی پایابی و پایداری موج شکن ها و شیب های حفاظتی بندر کشتی سازی بندر عباس.

مطالعات زیادی نیز در مورد پترولوزی و ژئوشیمی سنگها و همچنین گنبدهای نمکی جنوب ایران انجام پذیرفته است که از آن جمله می توان به موارد زیر اشاره کرد :

- ۱- سید عبدالرضا جعفری صدر (۱۳۷۰)، زمین شناسی و پترولوزی مجموعه سنگهای آذرین و دگرگونی گنبد نمکی گچین(پایان نامه کارشناسی ارشد پترولوزی دانشکده علوم دانشگاه تهران).
- ۲- مسعود مرادی(۱۳۸۲)، تحولات پترولوزیکی واحدهای آذرین گنبدهای نمکی سواحل و جزایر خلیج فارس (پایان نامه دکتری پترولوزی دانشکده علوم دانشگاه تهران).

ولی در زمینه پیشنهادی این پایان نامه، هنوز کار منسجمی صورت نگرفته است. لذا در قالب یک کار پایان نامه ای با اهداف ذیل ارائه شده است.

۴-۱ هدف انجام این مطالعه

هدف کلی این مطالعه ارزیابی تاثیر ترکیب کانی شناسی و شیمیایی و بافت سنگهای آذرین، نوع و شدت هوازدگی، نقش شکستگی ها و درز شکاف ها در مقاومت و دوام داری سنگهای آذرین منطقه مورد مطالعه می باشد. همچنین بررسی تاثیر محیط تشکیل سنگ و فرآیندهای بعد از تشکیل از جمله هوازدگی و دگر شکلی بر رفتار سنگ در لایه حفاظ موج شکن ها از دیگر اهداف این مطالعه می باشد.

۱-۵ روش انجام تحقیق

مطالعات و بررسی های انجام شده به دو بخش قابل است. یک بخش شامل فعالیتهای صحرایی و منطقه ای و شامل بررسی های صحرایی، نمونه برداری از موج شکنها و معادن سنگ استفاده شده در ساخت آنها و بخش دوم با عنوان فعالیتهای آزمایشگاهی شامل مغزه گیری از بلوکهای سنگی و آماده سازی نمونه ها و انجام آزمایشهای مختلف فیزیکی و مکانیکی بر روی آنها، تهیه مقطع نازک از تمام نمونه های برداشت شده و مطالعات پتروگرافی بر روی آنها و انجام آزمایشات تجزیه شیمیایی XRF و XRD بر روی نمونه های منتخب می باشد. در انتهای بر اساس مشاهدات صحرایی و نتایج آزمایشگاهی و مطالعات گسترده ای که صورت گرفته است، جمعبندی و نتیجه گیری صورت گرفته است.

۱-۵-۱ فعالیتهای صحرایی و منطقه ای:

به منظور انجام این مطالعه موج شکن های بندر شهید رجائی (شکل ۱-۲ و ۳-۱) و بندر شهید باهنر در بندر عباس، موج شکن بندر کنگ، موج شکن بندر لنگه، موج شکن بندر شناس، موج شکن بندر بستانه و موج شکن بندر حسینیه در جنوب کشور انتخاب گردیدند (تابلو ۱-۱). بعد از انتخاب موج شکن ها، نمونه گیری از سنگهای استفاده شده در موج شکن ها و همچنین از معادن تامین کننده این سنگها بعمل آمد و در نمونه برداری از موج شکنها سعی شد تنوع سنگهای استفاده شده در موج شکن در نظر گرفته شود و از هر موج شکن به طور متوسط ۱۲ نمونه به ابعاد حداقل $20\text{ cm} \times 20\text{ cm}$ در چهار منطقه سازه ای از موج شکن شامل منطقه زیر آب، منطقه جزر و مدي،

منطقه بالای جزر و مدی و منطقه تاج و همچنین از مقاطع طولی مختلف موج شکن نظیر : ابتدای موج شکن ، منطقه قوسی و هد موج شکن برداشت گردد تا عملکرد واقعی و طبیعی هر یک از این نمونه ها در شرایط محیطی از جنبه های مختلف مورد بررسی قرار گیرند و بطور کلی حدود ۵۰ نمونه از موج شکنها برداشت گردید. همچنین در معادن سنگ سعی شده است که از بخش های مختلف معدن نمونه برداری شود (تابلو ۲-۱، شکل ج و د). برای همه نمونه های برداشت شده فرم و شناسنامه فنی تهیه گردید.

بعد از انتقال نمونه ها به آزمایشگاه، بر روی نمونه های برداشت شده از موج شکنها و معادن اقدامات زیر انجام شده است:

۱- تهیه مقطع نازک جهت مطالعات پتروگرافی (۶۰ عدد)

۲- آزمایشات مکانیکی و دوام داری و تعیین خصوصیات فیزیکی (۲۰۰ عدد)

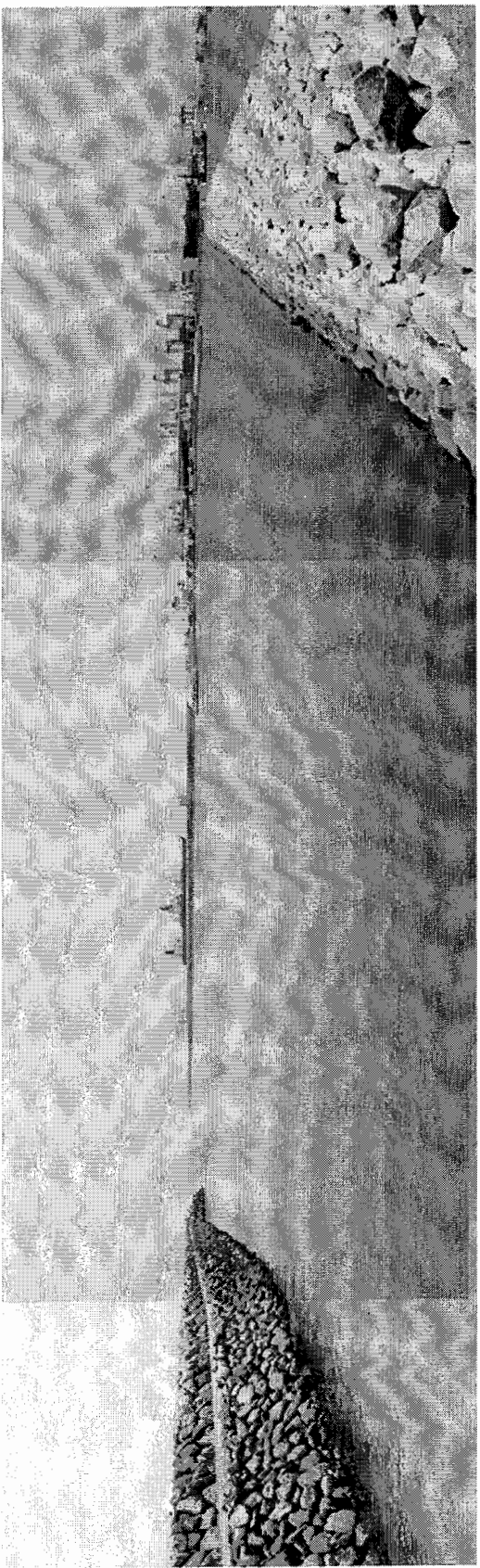
۳- آزمایشات تجزیه شیمیایی XRF و XRD بر روی نمونه های منتخب (۲۶ عدد)

۴- آزمایش تعیین سرعت موج بر روی نمونه های منتخب (۲۶ عدد)

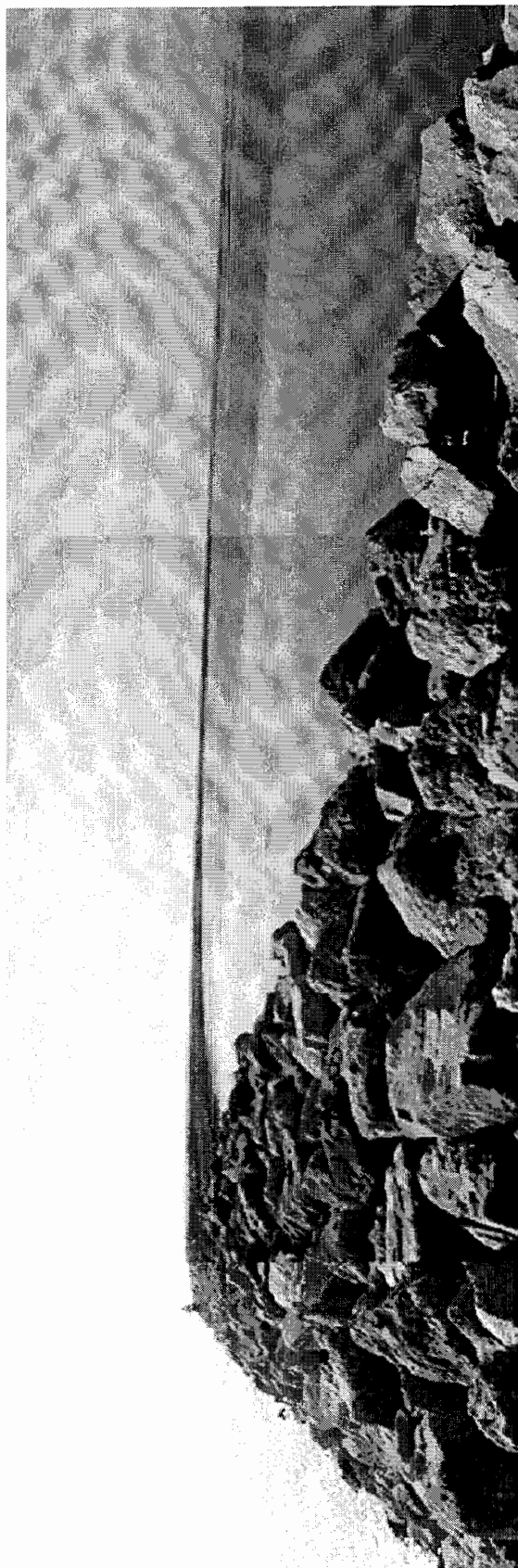
همچنین داده های دورسنجی منطقه هم توسط نرم افزارهای Geomatica 8.2, Ermapper 6.2, Minitab 16 و pR با مقیاس ۱/۱۰۰۰۰۰ از جنوب ایران (شکل ۱-۴) تهیه شد که روند عمومی چین ها و گنبد های نمکی و موقعیت بعضی جزایر و برش ایجاد شده در آن کاملاً مشخص می باشد و همچنین تصویری از گنبد های نمکی گچین، بندر معلم، بستانه و حسینه در مقیاس ۱/۱۰۰۰۰ تهیه گردید که شکل و تنوع سنگها در گنبد ها کاملاً مشخص می باشد (شکل ۱-۵، ۶-۱، ۷-۱، ۸-۱).

سپس با ارزیابی و جمع بندی نتایج آزمایشات مهندسی و مطالعات پتروگرافی و پترولوزیی نقش و تأثیر ویژگی های پترولوزی بر دوام داری سنگ های آذرین بررسی گردید.

شکل (۱-۳) موج شکن پوش ترافقی ساحلی بندر شهید رجایی

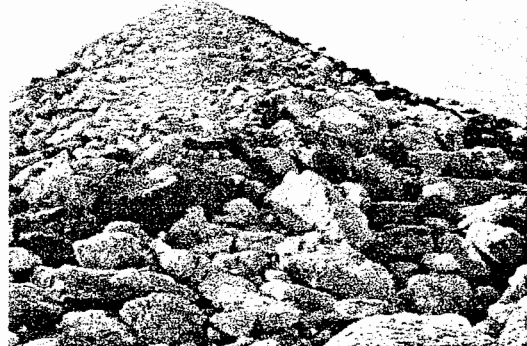


شکل (۱-۲) بازوی شرقی موج شکن شهید رجایی





شكل ب : موج شکن بندر گنگ



شكل الف : موج شکن بندر شهید باهنر



شكل د : موج شکن بندر لنگه



شكل ج : موج شکن بندر بستانه

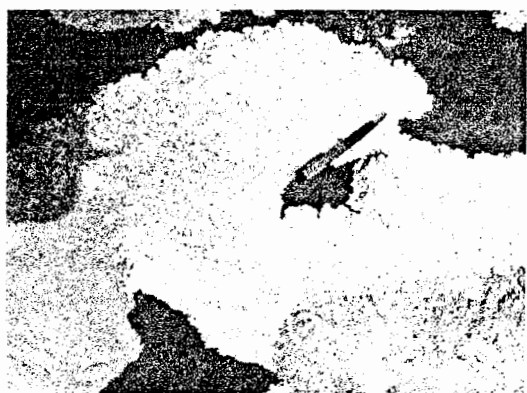


شكل و : موج شکن بندر حسینه



شكل ه : موج شکن بندر لنگه

تابلو (۱-۱)



شكل ب



شكل الف



شكل د



شكل ج

تabelo (۲-۱)

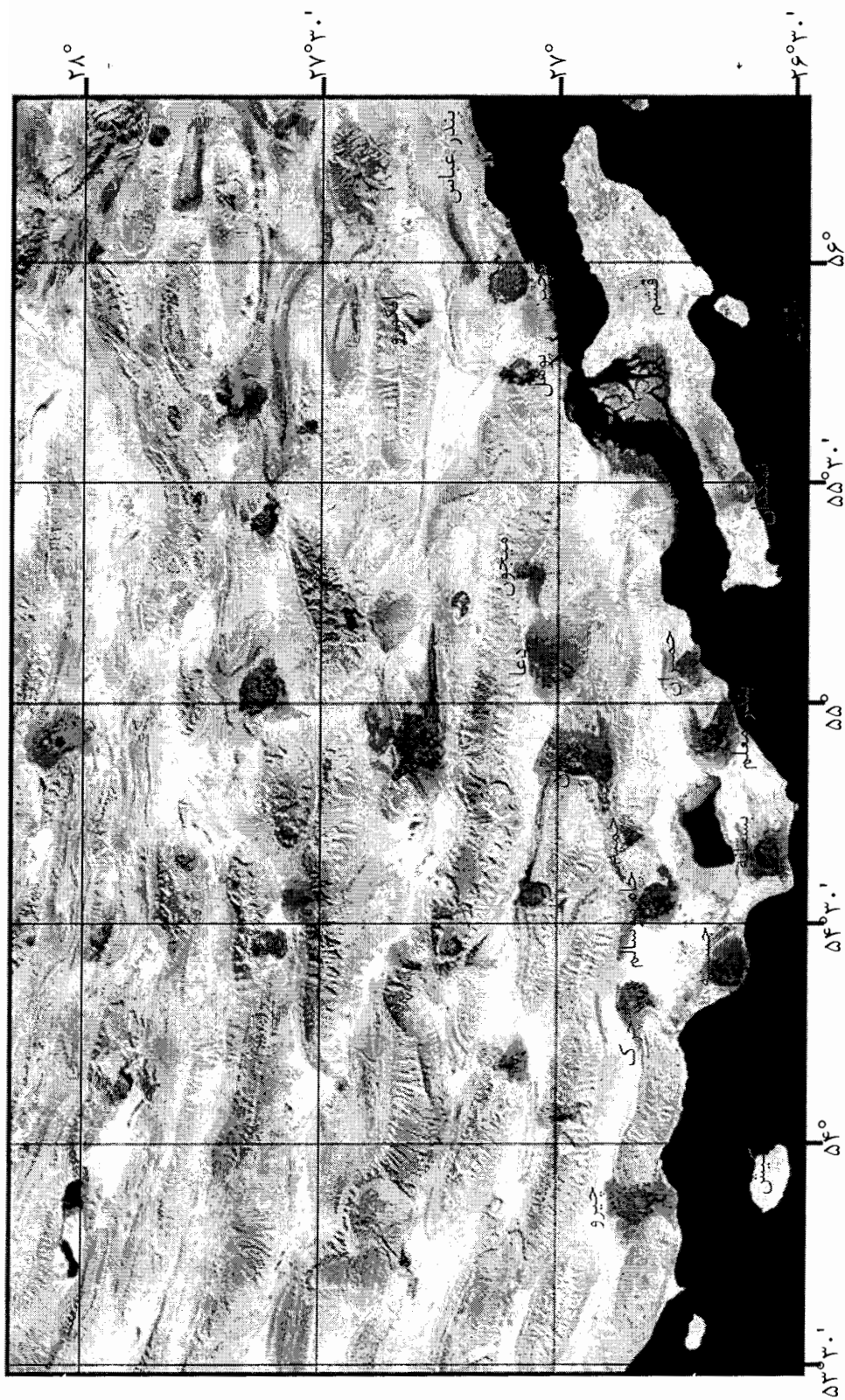
شكل الف : حفرات اتحالی نمک(گنبد گچین)

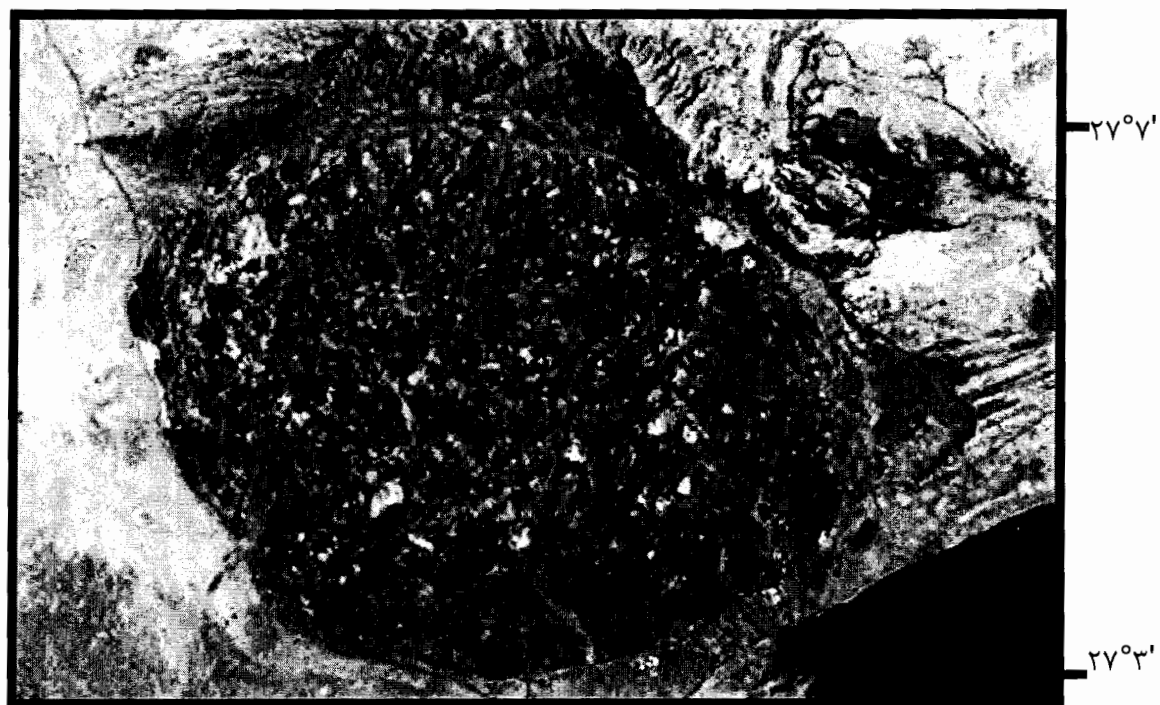
شكل ب : نمک متبلور شده در بستر رودخانه های جاری در گنبد نمکی گچین

شكل ج : یکی از معادن تهیه سنگ(توده ریولیتی، گنبد گچین)

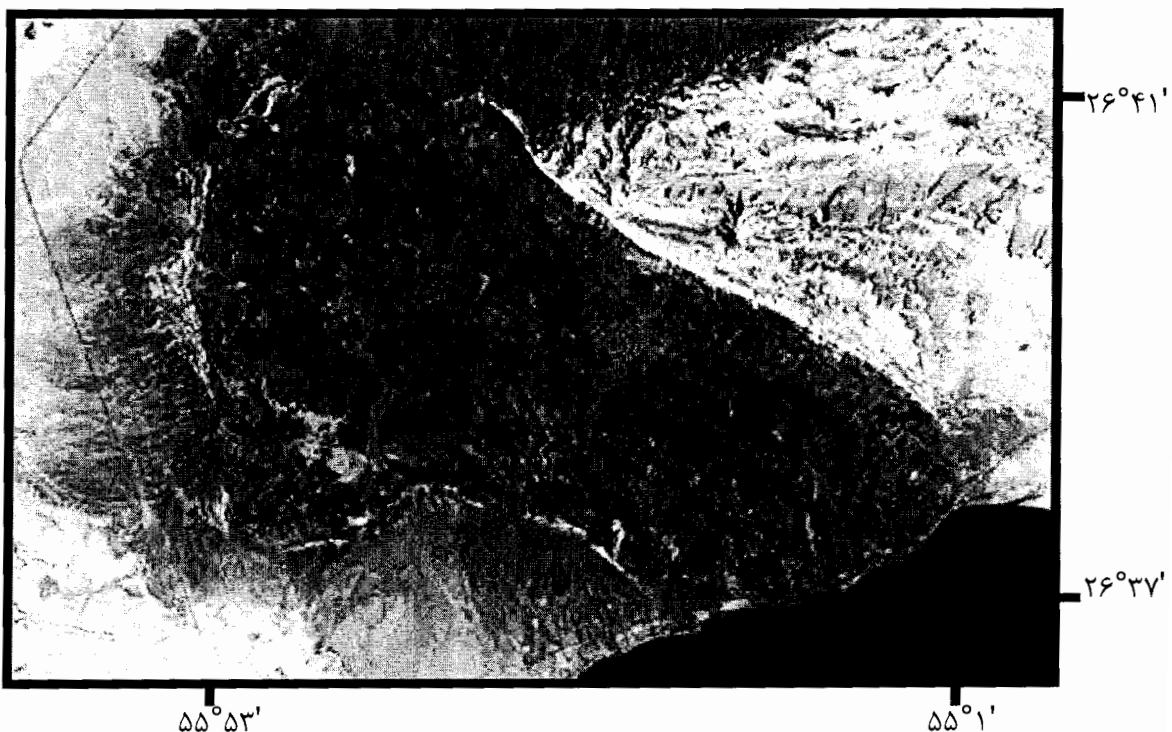
شكل د: روش نمونه برداری از موج شکن ها

شکل ۱-۴ - تصویر ماهواره‌ای جنوب ایران (مقیاس : ۱/۱۰۰۰۰۰)

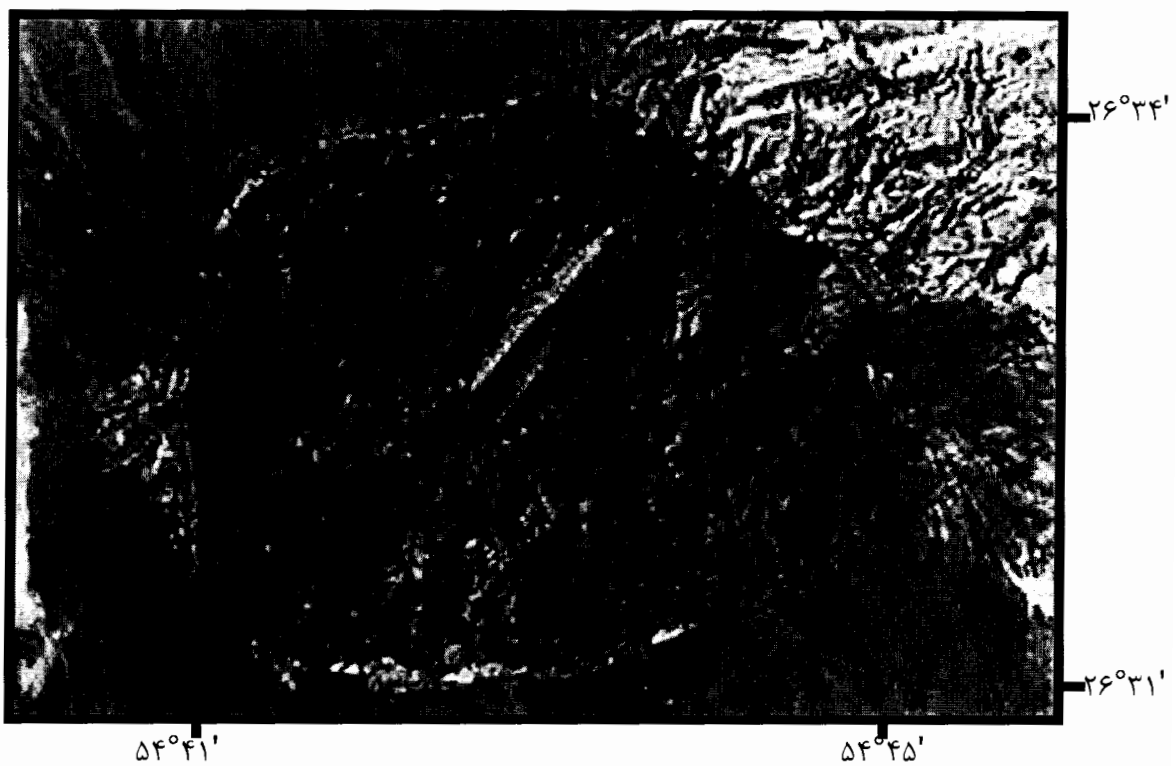




شکل ۱-۵- تصویر ماهواره ای گنبد نمکی گچین (مقیاس: ۱/۱۰۰۰۰۰)



شکل ۱-۶- تصویر ماهواره ای گنبد نمکی بندر معلم (کنگ)، (مقیاس: ۱/۱۰۰۰۰۰)



شکل ۱-۷- تصویر ماهواره ای گنبد نمکی بستانه (مقیاس : ۱/۱۰۰۰۰۰)



شکل ۱-۸- تصویر ماهواره ای گنبد نمکی حسینه (مقیاس : ۱/۱۰۰۰۰۰)

۱-۲ مقدمه

منطقه مورد مطالعه در سواحل جنوبی ایران و متعلق به استان هرمزگان می باشد در تقسیم بندی واحدهای ساختاری ایران زمین (آقاباتی، ۱۳۸۳)، این ناحیه متعلق به زون چین خورده زاگرس می باشد(شکل ۱-۲) . کمربند چین خورده زاگرس مجموعه ای از یک رشته تاقدیس های نزدیک به هم و فشرده با سطح محور معمولاً قائم و روند شمال غربی-جنوب شرقی تا شرقی غربی می باشد . رسوبات چین خورده این منطقه به طور متناوب از آهک یا دولومیت همراه با مارن و مارنهای آهکی تشکیل شده اند و با چینه بندی کم و بیش ظریفی مشخص می شوند(شکل ۲-۲). فعالیت های آتشفسانی در منطقه چین خورده زاگرس مشاهده نمی شود و تنها در گنبدهای نمکی آثاری از سنگهای نفوذی دیده می شود که سن آنها به اوخر پرکامبرین نسبت داده می شود . فعالیت دگرگونی هم فقط در گنبدهای نمکی مشاهده می شود (خسرو تهرانی، ۱۳۷۶).

۲-۲ پیکره های سنگی منطقه :

در منطقه پیکره های متنوعی از سنگهای آذرین و رسوبی به سن پرکامبرین تا میوسن رخنمون دارند (شکل ۲-۲) .

۱-۲-۲ پیکره های رسوبی منطقه :

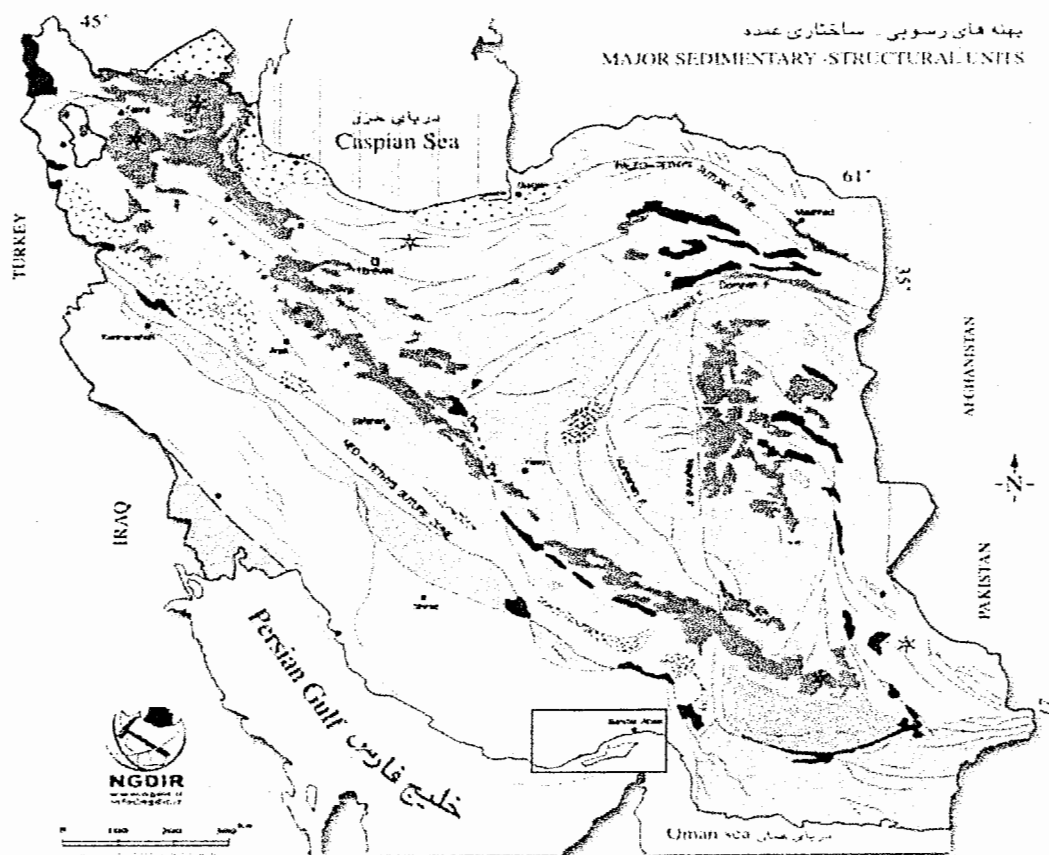
در منطقه سازند های هرمز، میشان، آغازاری و بختیاری رخنمون دارند که در اینجا بدليل اهمیت و نقش سازند هرمز در تشکیل گنبدهای نمکی، فقط به بررسی این سازند می پردازیم.

۱-۲-۱ سازند هرمز:

اولین ردیف رسوبی شناخته شده در زاگرس مربوط به نهشته های سازند هرمز می باشد. سازند هرمز در جنوب و جنوب غرب ایران صرفاً در گنبدهای نمکی رخنمون دارند و ضخامت اولیه آن حدود ۱۰۰۰ متر تخمین زده می شود (کنت، ۱۹۷۹). تا سال ۱۹۹۰ اکثرأ تصور بر این بود که ردیف

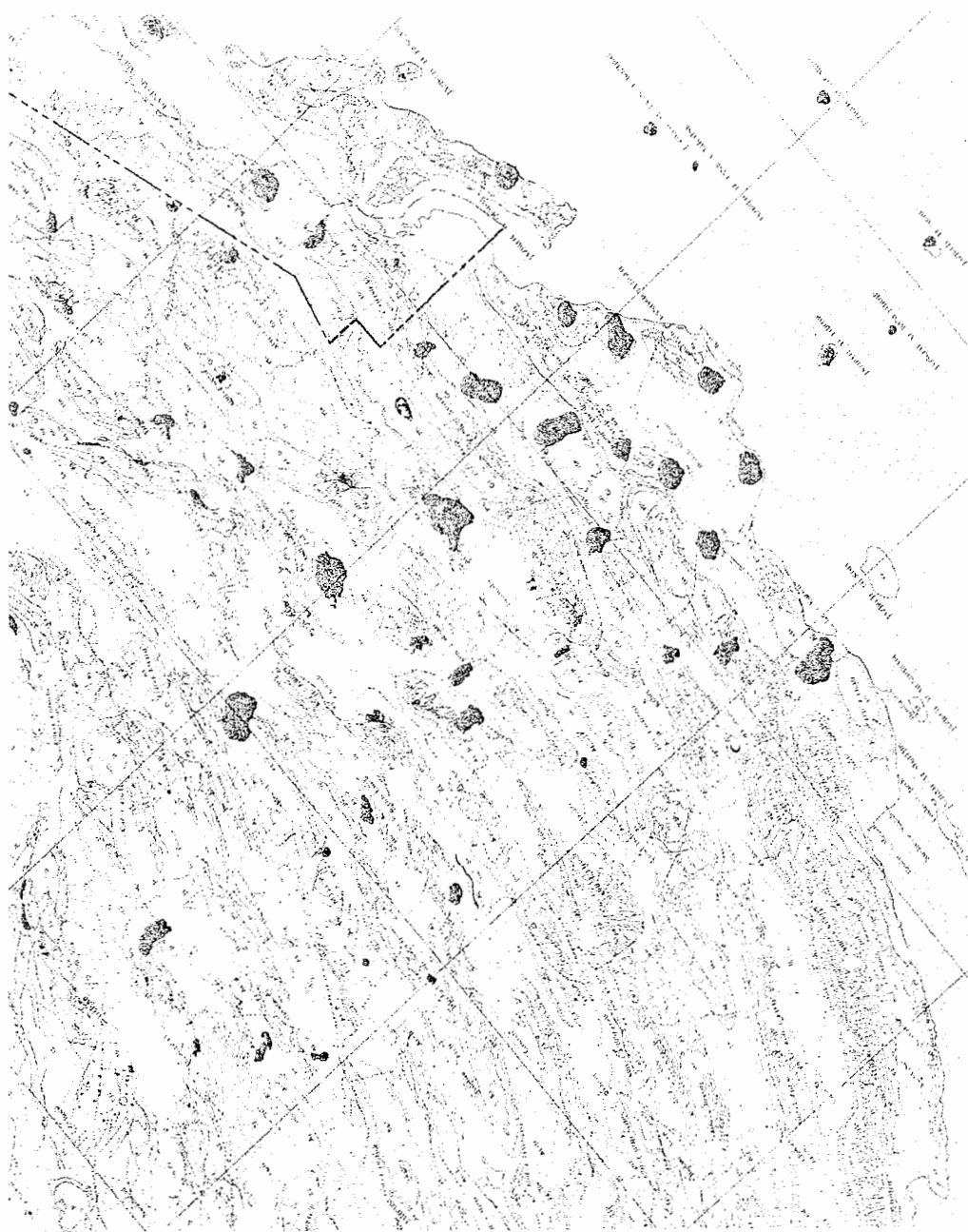
سنگهای هرمز در گنبدهای نمکی جنوب ایران درهم ریخته بوده و هیچ نظمی در آنها نمی توان پیدا کرد . احمد زاده و همکاران (۱۹۹۰) سن نمکهای سری هرمز را کامبرین زیرین - میانی ذکر میکند و علی رغم درهم ریختگی شدید نام سازند را به آن اطلاق کرده و آن را به چهار واحد H_2, H_1, H_3, H_4 تقسیم بندی کرده اند . (جدول ۱-۲)، خصوصیات این چهار واحد عبارتند از :

واحد H_1 : مشکل از طبقات و لایه های نمک با ضخامت متفاوت است . قاعده آن نامعلوم بوده و دارای میان لایه هایی از توف ، مارن و آهک تیغه ای است . دارای ادخالهایی از اکسیدها بویژه اکسید آهن ، سولفورها و ندرتاً ترکیبات مس می باشد و بدین لحاظ رنگارنگ بنظر می رسد . معمولترین سولفیدهای موجود در لایه های نمکی پیریت و کالکوپیریت است . هماتیت فراوانترین اکسید موجود در لایه های نمکی است و معمولاً لیمونیت و گوتیت نیز دیده می شود . در بعضی لایه ها مگنتیت نیز به مقدار کم دیده شده است (تابلو ۱-۲، شکل الف و ب).

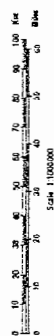


شکل ۱-۲، نقشه واحدهای ساختاری - رسوبی ایران و موقعیت منطقه مورد مطالعه بر روی آن (آقا نباتی، ۱۳۸۳)

GEOLOGICAL MAP OF SOUTH IRAN



GEOLOGICAL LEGEND	
TIME UNITS	LITHOSTRAT
QUATERNARY	Fluvio-Eolian facies
MIOCENE	Deltaic facies
OLOCENE	Deltaic facies
OLIGOCENE	Deltaic facies
PALEOCENE	Deltaic facies
PALEOZOIC	Marine facies
NEOPALAEZOIC	Marine facies
PROTEROZOIC	Marine facies
ARCHEAN	Marine facies
TRIASSIC	Marine facies
PERMIAN-CARBONIFERUS	Marine facies
DEVONIAN	Marine facies
SILURIAN	Marine facies
CAMBRIAN	Marine facies



شکل (۲-۳) نقشه زمین شناسی منطقه مورد مطالعه (مقیاس ۱:۱,۰۰۰,۰۰۰) (شرکت ملی نفت ایران، ۱۹۹۱)

در بین لایه های نمک ادخالهایی از کربناتها و سولفاتها نیز دیده می شوند. ادخالهای کربناتی عمدتاً کلسیت و دولومیت می باشند. سولفاتها بیشتر از دیگر ادخالها دیده می شوند و عمدتاً انیدریت و ژپس هستند. انیدریت و ژپس معمولاً شکل دار و اندھرال تا ساب هدرال هستند. سیلیکاتها نیز در بین لایه های نمک یافت شده اند که عمدتاً کوارتز و فلدسپات می باشند. در بین لایه های نمک قطعاتی از سنگهای ماقمایی و توف وجود دارد.

واحد H_2 : این واحد عمدتاً از مجموعه های قرمز رنگ اخرا تشکیل شده است و مستیماً روی واحد H_1 قرار دارد. دیگر مشکلین آن عبارتند از مارنهای سفید تا زرد کم رنگ، انیدریت، ایگنیمیریت، توف، آهک نازک لایه سیاه رنگ و اکسیدهای بی آب و آبدار آهن. ایگنیمیریت های یافت شده معمولاً از نوع ریولیتی و داسیتی هستند و گرایش قلیایی دارند. توفها و ایگنیمیریتهای موجود در این واحد معمولاً شورمزه و دارای حفرات پر از نمک هستند که در حفرات بزرگ آنها بلورهای گچ و نمک یافت می شود. توفها بسیار ریز دانه و سفید رنگ هستند و بشدت به نمک و گچ آتشته اند.

واحد H_3 : این واحد یک آهک سیاه رنگ جلبکی است. این آهک بدبو و نازک لایه است و در آنها فسیل جلبکهایی به شکل دمبلی، استوانه ای، کروی و حلقوی یافت می شوند. در بعضی مناطق با ژپس همراه هستند. دارای مقادیری گوگرد و دی اکسید های آهن نیز هستند. در مجموع سن این واحد کامبرین زیرین تا میانی در نظر گرفته شده است. بررسی محیط رسوبی این کربناتها نشان داده است که در محیط دریایی کم عمق نزدیک به ساحل درناحیه جزر و مد تشکیل شده اند(احمدزاده و همکاران، ۱۳۶۹).

واحد H_4 : این واحد تناوبی از توف ریولیتی خاکستری رنگ و مواد آذر آواری است که گاهی همراه با ماسه سنگ، شیل، مارن و آهکهای صورتی رنگ می باشد. در این واحد گنبدهای ریولیتی، توده های نفوذی گرانیتی و مواد آذر آواری نیز دیده می شوند.

این سازند تشکیل دهنده اصلی حجم گنبدهای نمکی منطقه است و نمک این سازند عامل اصلی رسیدن گنبدها و مواد غیر تبخیری به سطح زمین بوده است. مواد غیر تبخیری موجود در سازند هرمز از گروه وسیعی از سنگهای آذرین و رسوبی تشکیل می شوند و ابعاد آنها از قطعات کوچک تا بسیار بزرگ (با قطر بیش ۳ کیلومتر) متغیر می باشند که در زمینه ای از تبخیریهای سازند

هرمز قرار دارند. بلوکهای آذرین عمدتاً گرانیت، ریولیت، ایگنیمیریت، توف، گابرو، دلریت و تراکیت می باشند. سنگهای غیر تبخیری بصورت همزمان با رسوبگذاری و متناوب با لایه های تبخیری در یک حوضه رسوبی کم عمق تشکیل شده اند. با حرکت رو به بالای سکانس چند طبقه نمک که بصورت متناوب با غیر تبخیری ها وجود داشته اند، لایه ها و توده های سنگهای غیر تبخیری در نمک متحرك پلاستیک محصور شده اند. با افزایش مواد غیر تبخیری بر روی نمکها، فشار ناشی از وزن آنها بر روی لایه های نمک تدریجیاً افزایش یافته و سرانجام ضخامت لایه های فوقانی نمک به حدی می رسد که نیروی محرکه ای را بوجود می آورد که در نتیجه آن جریان افقی حاصل می شود و به طرف مناطق کم فشار متمایل می شود و بلوکها از موقعیت اصلی خود کنده شده و همراه با نمک به سمت سطح حرکت کرده اند. (داودزاده، ۱۹۹۰).

جدول (۱-۲)، خلاصه واحدها و سنگهای سازند هرمز

شماره واحد	نوع سنگها و رسوبات	سنگهای قابل استفاده در موج شکن
H_1	لایه های نمک و میان لایه های توف، مارن و آهک تیغه ای به همراه اکسید آهن و هماتیت، پیریت، کالکوپیریت، لیمونیت، گوتیت و مگنتیت	توف
H_2	آخر ا به همراه مارن، انیدریت، توف، ایگنیمیریت، آهک، اکسید آهن	ایگنیمیریت، توف
H_3	آهک، زیپس	
H_4	توف ریولیتی، مواد آذرآواری، ماسه سنگ، شیل، مارن، آهک، ریولیت، گرانیت	گنبدهای ریولیتی، توده های گرانیتی

۲-۲-۲ پیکره های آذرین :

در گنبدهای نمکی ، بخش‌های مختلف سازند هرمز همراه با توده های آذرین مختلف رخنمون دارند . پراکندگی توده های آذرین در گنبدهای نمکی از هیچ نظم خاصی تبعیت نمی کند . واحدهای آذرین موجود در گنبدهای نمکی شامل انواع سنگهای آتشفسانی و توفهای ریولیتی ، ریوداسیتی ، و بازالتی و گابرو ، دولریت، گرانیت ، گرانودیوریت و ... می باشند . اکثر سنگهای آذرین اثرات آلتراسیون و تشکیل کانی های ثانویه ای مثل کلریت ، اپیدوت و کلسیت را نشان می دهند .

به طور کلی سنگهای آذرین موجود در گنبدهای نمکی را می توان به دو گروه کلی تقسیم کرد .

گروه اول سنگهایی هستند که در واحدهای ۲ و ۴ سازند هرمز در تناوب با دیگر متشکلین آن قرار دارند و بیشتر اسیدی تا حد واسط و از نوع ریولیت، داسیت و تراکیت است . گروه دوم سنگهای آذرین

و متابوسوماتیک هستند که در واحدهای مختلف سازند هرمز نفوذ کرده اند و تنوع سنگ شناسی زیادی دارند و بیشتر شامل گابرو، دیاباز، گرانیت می باشند.

۱-۲-۲ توفهای ریولیتی

توفهای ریولیتی معمولاً به صورت بین لایه ای و موازی با بخش‌های مختلف سازند هرمز دیده می شوند. این توف‌ها عموماً به صورت طبقات سفید رنگ می باشند. این طبقات توفی در گچین در بین شیلها و ماسه سنگهای واحد ۲ و ۳ سازند هرمز و در بندر معلم در بین بخش‌های ۲ و ۴ سازند هرمز قرار دارند. این توفیت‌ها کاملاً خرد شده و همراه با درزه‌ها و شکستگی‌های فراوان می باشد.

۲-۲-۲ گنبدهای ریولیتی

توده‌های ریولیتی معمولاً به شکل تپه‌های پست و کم ارتفاع از میان رسوبات ماسه سنگی، شیلی و نمکی واحد ۴ سازند هرمز سر بیرون آورده اند. ترکیب آنها ریولیت تا ریوداسیت بوده و ارتفاع متوسط آنها حدود ۱۴۰ متر از سطح دریا می باشد. هم بری آنها با لایه‌های مجاور شدیداً برهم خورده و برشی است (تابلو ۱-۲، اشکال ج و و). این گنبدها دارای درزه‌ها و شکستگی‌های فراوان می باشند که این شکستگی‌ها بوسیله کانی‌های ثانویه مثل کلریت، اپیدوت، الیژیست پرشده اند. از مشخصات بارز گنبدهای ریولیتی اثرات جریان یافته‌گی در آنهاست (تابلو ۱-۲، شکل د). این سنگها می توانند با توجه به وسعت و پراکندگی زیاد آنها در گنبد‌ها و بلوك‌دهی خوب، منابع قرضه مناسبی جهت تامین مصالح سنگی باشند.

۳-۲-۲ توده‌های نفوذی گرانیتیوئیدی

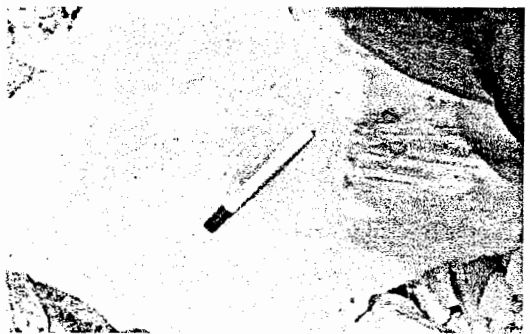
توده‌های گرانیتیوئیدی در بخش‌های مختلف این گنبد‌ها پراکنده هستند و الگوی خاصی در پراکندگی آنها دیده نمی شود و در بخش ۴ سازند هرمز رخنمون دارند. ترکیب آنها از گرانیت تا گرانیودیوریت و کوارتزمنزونیت متغیر است. ابعاد توده‌های گرانیتی بسیار متغیر و از چند متر تا چند صد متر متفاوت می باشند. سنگهای حاشیه این توده‌های گرانیتی عمدتاً ماسه سنگ و شیل هستند و دگرگونی ضعیفی را نشان می دهند که در نقاط مجاور توده حداکثر به رخساره شیست سبز می رسد. تقریباً در تمامی حواشی توده‌ها، شیب لایه‌های مجاور به سمت بیرون می باشدو حلقه‌ای را در اطراف این توده‌ها تشکیل می دهند.



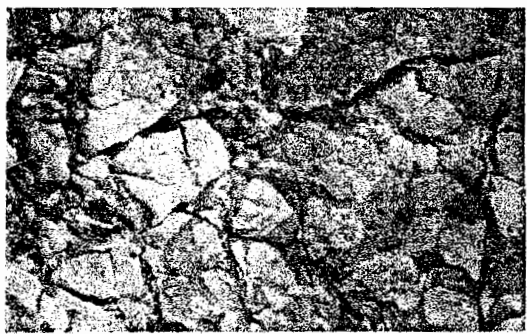
شکل ب



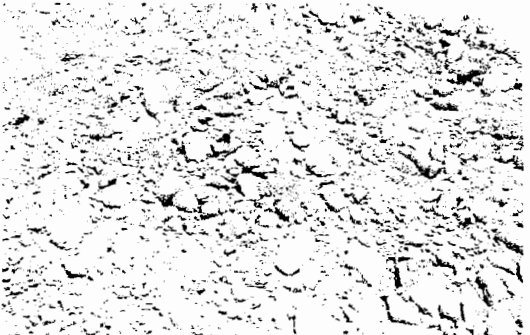
شکل الف



شکل د



شکل ج



شکل و



شکل ه

تabelo (۱-۲)

شکل الف : لایه های لیمونیت و شیل و ماسه سنگ در واحد H1 سازند هرمز(گچین)

شکل ب : طبقات گچ که حاوی قطعات دیابازی می باشند (گچین)

شکل ج : حاشیه برشی شده گنبد ریولیتی

شکل د : رگه های ابیریست در گنبد ریولیتی (گچین)

شکل ه : رگه های ابیریست در بین لایه های ماسه سنگی (گچین)

شکل و : سطح گنبدهای ریولیتی که شدیداً دچار شکستگی شده است(گچین)

۴-۲-۲-۲ گدازه های بازالتی

بازالتهای موجود در این گنبدها عمدتاً در واحد ۴ سازند هرمز رخمنون دارند و در دیگر واحدهای آن دیده نشده اند. پراکندگی بازالتها بسیار محدود بوده و معمولاً بصورت توده های کوچک و در قلل ارتفاعات دیده می شوند. این بازالتها شدیداً آلترا هستند و کانی شناسی آنها شدیداً تغییر کرده است(تابلو ۲-۲،شکل الف).

۵-۲-۲-۲ گدازه های تراکیتی

تراکیت های موجود در این گنبدها حجم کمی داشته و در اکثر موارد در مجاورت دیگر توده های آذربین و یا به صورت بلوك های کوچک در درون توده های نمکی یافت می شوند. پراکندگی تراکیتها در بخش ۲ و ۴ سازند هرمز می باشد. این تراکیتها ظاهری سبز رنگ دارند و دارای درزه و شکستگی فراوان می باشند.

۶-۲-۲-۲ گابروها :

گابرو گروه دیگری از سنگ های بازیک هستند که درون واحدهای مختلف سازند هرمز نفوذ کرده اند. توده های گابرویی حجم کوچکی داشته و به شکل بلوك های با اندازه های کوچک دیده می شوند ، این توده ها در لایه های شیلی - ماسه سنگی نفوذ کرده اند و هم بری آنها با سنگهای اطراف بسیار به هم ریخته می باشند و عمدتاً باعث جابه جایی و خردشدنگی واحدهای رسوبی اطراف خود شده اند. سنگهای گابرویی شدیداً آلترا بود و رنگ سبز آنها ناشی از حضور کانی های ثانویه ای نظیر اپیدوت، کلریت و آمفیبول می باشد. این گروه از سنگ ها دارای درزه ها و شکستگی های فراوانی هستند و مملو از کانی های ثانویه به ویژه اپیدوت می باشند(تابلو ۲-۲،شکل الف)

۳-۲-۲ گنبدهای نمکی منطقه :

از جمله پدیده های مهم در زاگرس، وجود گنبدهای نمکی می باشد که نقش مهمی در تأمین منابع قرضه مناسب در سواحل و جزایر جنوبی ایران دارند و این رو در اینجا به طور خلاصه مورد بررسی قرار می گیرند. بیشترین تجمع گنبدهای نمکی در بخش های جنوب شرقی و میانی زاگرس است و بیشتر جزایر خلیج فارس هم در واقع گنبدهای نمکی هستند که بالاتر از سطح آب قرار گرفته اند. بیش از ۱۸۰ گنبد نمکی در زون چین خورده زاگرس رخمنون دارند (شکل ۴-۲).



شكل ب



شكل الف



شكل ج

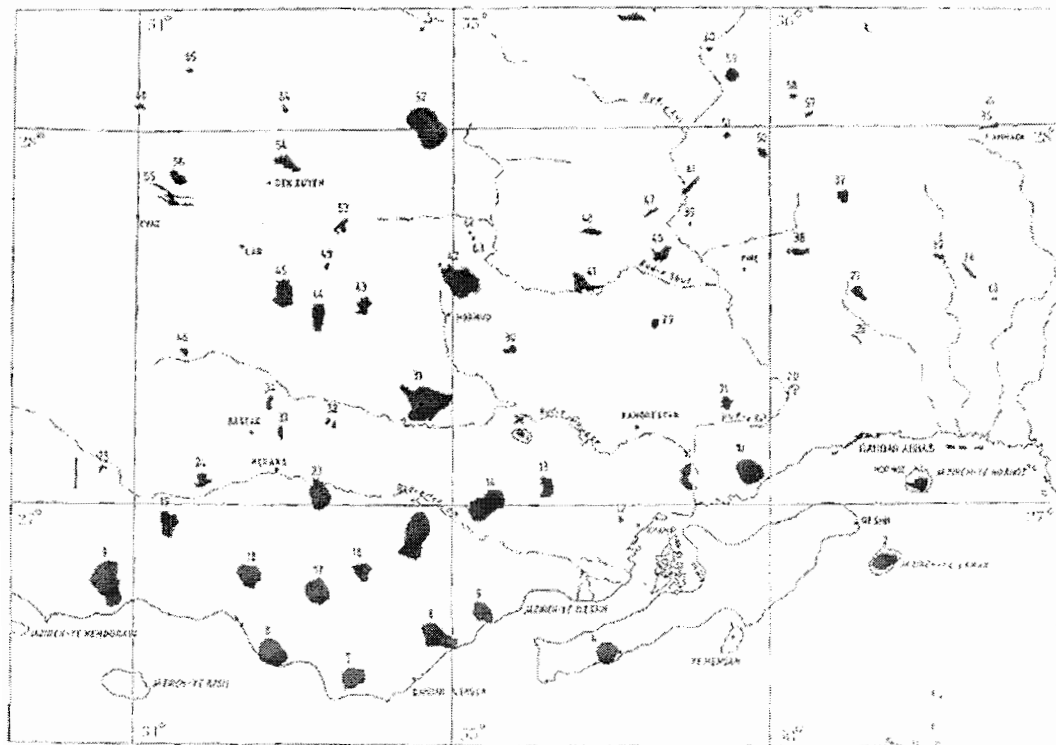
تابلو (۲-۲)

شکل الف : گدازه های پازالتی که بیشتر در ارتفاعات قرار دارند

شکل ب : واحد گلبرویی در گچین که در قله کوه قرار دارد(گچین)

شکل ج : گند نمکی بستانه

پراکندگی گنبدهای نمکی جنوب-جنوب غرب ایران یکنواخت نیست و در دو منطقه بندرعباس - سروستان و جنوب کازرون پراکنده اند و در فاصله میان این دو منطقه تاکنون گند آشکاری در سطح گزارش نشده است (احمدزاده، ۱۹۹۰). به نظر کنت (۱۹۷۰) پراکندگی گنبدهای نمکی جنوب ایران از هیچ نظمی تبعیت نمی کند ولیکن عده ای دیگر (پلیر، ۱۹۶۹؛ اسفندیاری و بروگر، ۱۳۵۸؛ اشتولکلین و نبوی، ۱۹۷۵) پراکندگی گنبدهای نمکی جنوب ایران را تابع گسله ها و خط واره های پی سنگ دانسته اند، ولی فقط ۲۵ گند را توانسته اند در روی سیستم خط واره ها تصویر کنند. بدليل پراکندگی و تعداد گنبدهای نمکی، روندهای متفاوتی برای آنها ترسیم شده است که گهگاه با یکدیگر تضاد دارند. و در بعضی موارد نیز اصولاً ارتباطی با عناصر ساختاری منطقه دیده نمی شود. گنبدهای نمکی نهشته های سازند هرمز را همراه با سنگهای آذرین مختلف به سطح آورده اند و در زون چین خورده زاگرس تنها اثرات تظاهر سازند هرمز در گنبدهای نمکی است. سنگهای آذرین همراه این گنبدها دارای ترکیب بسیار متنوعی می باشند و در بین آنها انواع سنگهای آذرین درونی و خروجی دیده می شوند. این سنگها دچار متاسوماتیسم و دگرگونی نیز شده اند و بدین لحاظ ترکیب کانی شناسی و شیمیایی آنها دستخوش تغییر شده است.



شکل (۴-۲)، پراکندگی جغرافیایی گنبدهای نمکی در جنوب شرق زاگرس (مرادی، ۱۳۸۲)

هرمز در آن کمتر رخنمون دارد. سازندهای میشان ، آگاجاری ، بختیاری و رسوبات آبرفتی کواترنر سازندهای جوان اطراف این گنبد نمکی را تشکیل می دهند. واحد H_1 سازند هرمز در چند مقطع کوچک و واحد H_2 نیز به صورت لکه های پراکنده در نقاط مختلف گنبد نمکی به ویژه در مرکز آن رخنمون دارد . بخش عمدۀ گنبد نمکی را واحد H_4 سازند هرمز تشکیل می دهد ، ماسه سنگهای خاکستری و قهوه ای رنگ و لایه های ژیپسی متعلق به واحد H_4 در راس اکثر ارتفاعات گنبد نمکی بندر معلم دیده می شوند (مرادی، ۱۳۸۲). لایه های توفی همراه با میان لایه های رسوبات شیل و ماسه سنگ نیز مشکلین واحد H_4 سازند هرمز می باشند که تقریباً به فراوانی در اکثر نقاط این گنبد نمکی رخنمون دارند..

سنگهای آذرین موجود در این گنبد نمکی شامل ، ریولیت ، تراکیت ، گرانو دیوریت ، گرانیت ، کوارتز مونزونیت ، بازالت ، دولریت و گابرو می باشند . بیشترین رخنمونهای بلوکهای آذرین مربوط به بخشهاي جنوبی و جنوب غربی گنبد می باشند (شکل ۲-۲).

۳-۳-۲-۲ گنبد نمکی بستانه :

این گنبد در شمال بندر بستانه قرار داشته و مساحت آن در حدود ۳۲ کیلومتر مربع می باشد. این گنبد در انتهای غربی طاقدیس بوستانه رخنمون دارد . این گنبد کاملاً شبیه گنبد بندر معلم می باشد و مشکل از گچ و نمک ، قطعات آهک دولومیتی سیاهرنگ، ماسه سنگ ، شیلهای آهکی ، گدازه های آتشفشاری (بازالت و ریولیت) و نفوذی ها می باشد(تابلو ۲-۲، شکل ج) .

۳-۲ ته نشست سازند هرمز و تشکیل گنبدها و سنگهای آذرین منطقه

محیط تشکیل رسوبات تبخیری هرمز در درون فرورفتگیهای گرابنی حاصل از ریفتینگ بوده است. در این حوضه رسوبی فورانهای آتشفشاری اسیدی و بازیک در بین رسوبات تبخیری وجود داشته است که خود از نشانه های گسترش ریفت در این مناطق است. سازند هرمز بعنوان رسوبات همزمان با ریفت در نظر گرفته می شود (حسینی، ۱۹۹۸). حوضه تبخیریهای هرمز بعنوان یک حوضه درون قاره ای در نظر گرفته شده است. نمک سازند هرمز سپس با رسوبات پالئوزوئیک و کربناتهای تریاس تا میوسن پوشیده شده است. نمکهای هرمز از اواخر ژوراسیک تا اویل کرتاسه به آهستگی شروع به حرکت کرده و بالشتکهای کوچکی را در امتداد شمال- شمال شرقی تشکیل داده اند (ادگل، ۱۹۹۶). بالشتک های

بالشتک های نمک در نتیجه موج ناپایداری یک رژیم فشاری که از شرق در طول حاشیه شمالی گندوانا در حرکت بوده و باعث گسلش پی سنگ شده است، گسترش یافته اند(تالبوت و علوی، ۱۹۹۶). گسلهای متعددی در پی سنگ مجدداً فعال شده اند که دو تا از آنها، در غرب(گسل کازرون) و در شرق(خط وارده عمان) حوضه ته نشست نمکهای هرمز را بوجود آورده‌اند. در این محدوده، رسوبات بعدی با ضخامت زیاد ته نشین شده و بالشتکهای نمک گسترش بیشتر یافته اند.

برخورد پلیت عربی با پلیت ایران در کرتاسه پایانی باعث چین خوردگی رسوبات پوشش پلیت عربی شده است. در این زمان نمک نقش ویژه‌ای در فرایند چین خوردگی بازی می‌کند. نمک به عنوان یک ماده غیر قابل تراکم لغزنه بین سنگ کریستالین پی سنگ و رسوبات فوقانی حرکت می‌کند (داودزاده، ۱۹۹۰). در مناطق تاقدیسی و ناویدیسی که فشار لیتواستاتیک متفاوت می‌باشد و نمک به سمت مرکز تاقدیسها حرکت کرده و در زیر راس چین خوردگی‌ها تجمع پیدا می‌کند(تالبوت، ۱۹۹۸). بدین ترتیب نتیجه گرفته می‌شود که ژنز دیاپیرهای نمک در ارتباط با حرکت نمک در طی فرایند چین خوردگی نیست بلکه بواسطه فشرده شدن نمک توسط رسوبات ناویدیسی فوقانی است که باعث افزایش فشار و تشکیل بالشتکهای نمک می‌شود(تالبوت، ۱۹۹۸). دیاپیرهای نمک هرمز از بالشتکهای نمک در سه فاز اصلی حاصل شده اند که عبارتند از: کرتاسه زیرین، ائوسن تا میوسن و عهد حاضر (ادگل، ۱۹۹۶).

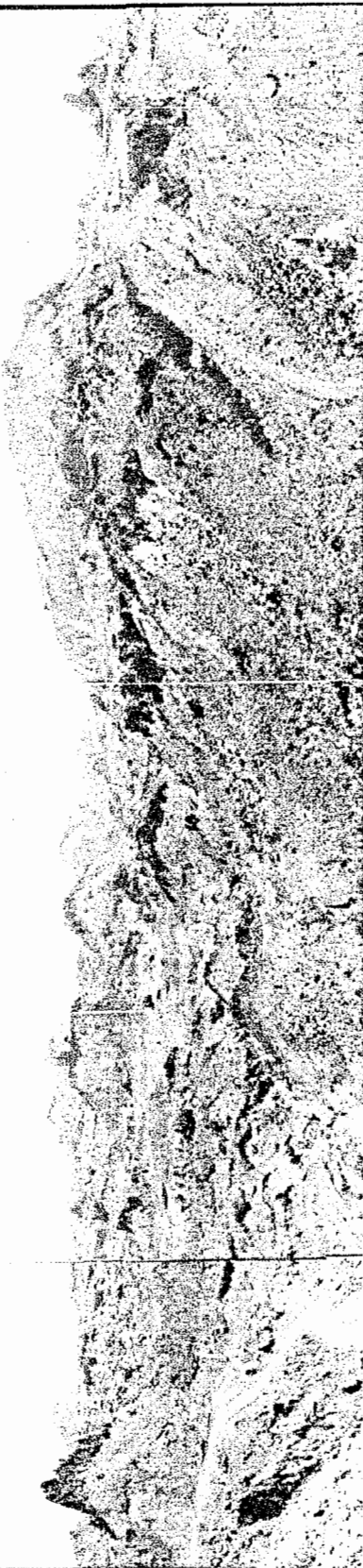
بطور کلی گفته می‌شود که در بخش‌های مختلف سیستم ریفتی نجد، ماجماتیسم اسیدی و بازیک وجود داشته است که از نظر ترکیبی کالکوآلکالن تا انتقالی همراه با بازالت‌های تولوئیتی می‌باشد و در بخش‌هایی نیز ماجماتیسم آلکالن وجود داشته است. بدین ترتیب می‌توان گفت که شرایط ماجماتیسم در این سیستم ریفتی در زمانها و بخش‌های مختلف، متفاوت بوده است و مانند آنچه در مورد تمامی ریفت‌های قاره‌ای که تا مراحل اولیه اقیانوس زایی پیشرفت کرده اند، ماجماتیسم آلکالن در مجاورت انواع تولوئیتی و کالکوآلکالن وجود داشته است(مرادی، ۱۳۸۲).

از این رو تشکیل سنگهای آذرین درونی و بیرونی کالکوآلکالن، انتقالی و تولوئیتی که در گنبدهای نمکی حضور دارند، از خصوصیات بارز سیستم ریفتی نجد بوده و تقریباً در تمامی نواحی مطالعه شده این سیستم وجود دارند و تشکیل آنها عملاً در ارتباط با سیستم کششی پوسته در این منطقه در طی اینفراتکامبرین - کامبرین بوده است.

شکل (۲-۷) نوار شرقی گندید نمکی گچین.



شکل (۲-۶) بخش میانی گندید نمکی گچین پیشتر از تفاوتات از دولومیت می باشدند.





شکل (۲-۸) گندم نمکی بندار مسلم (کنگ)

فصل سوم

پارامترهای موثر بر
متروحت و دردامدی
سنگما

۱-۳ مقدمه:

مصالح سنگی از جمله مصالح مطلوب طبیعی محسوب می شوند که در ساختمان بدنه راه ها، موج شکن هاوسمدهای سنگریزه ای و سایر مقاصد مهندسی بکار برده می شوند. یکی از مهمترین ساختمانهای مهندسی که با این مصالح ساخته می شوند، موج شکن هامی باشند. شناخت رفتار مصالح سنگی در رابطه با جریان آب و اثرات تخریبی محیط مورد استفاده بر روی آنها همواره مورد توجه مهندسان طراح بوده است. دوام سنگ و مقاومت آن در برابر عوامل مخرب و مهاجم حاکم بر محیط‌های دریایی از مهمترین خصوصیاتی است که مصالح مورد استفاده در ساخت سازه های دریایی خصوصاً موج شکنها باید از آن بر خوردار باشند. دوام سنگ عبارتست از توانایی سنگ در حفظ ویژگیهای فیزیکی و مکانیکی و سنگ شناسی خود در مدتی که در یک سازه مهندسی از آن استفاده می شود. دوام سنگ تابع عوامل مختلفی از جمله کانی های سازنده، بافت و ساخت، نوع و شدت هوازدگی سنگ، میزان کانی های رسی و شکستگیهای موجود در توده سنگ می باشد.

۲-۳ مقاومت و دوام داری سنگها در موج شکن

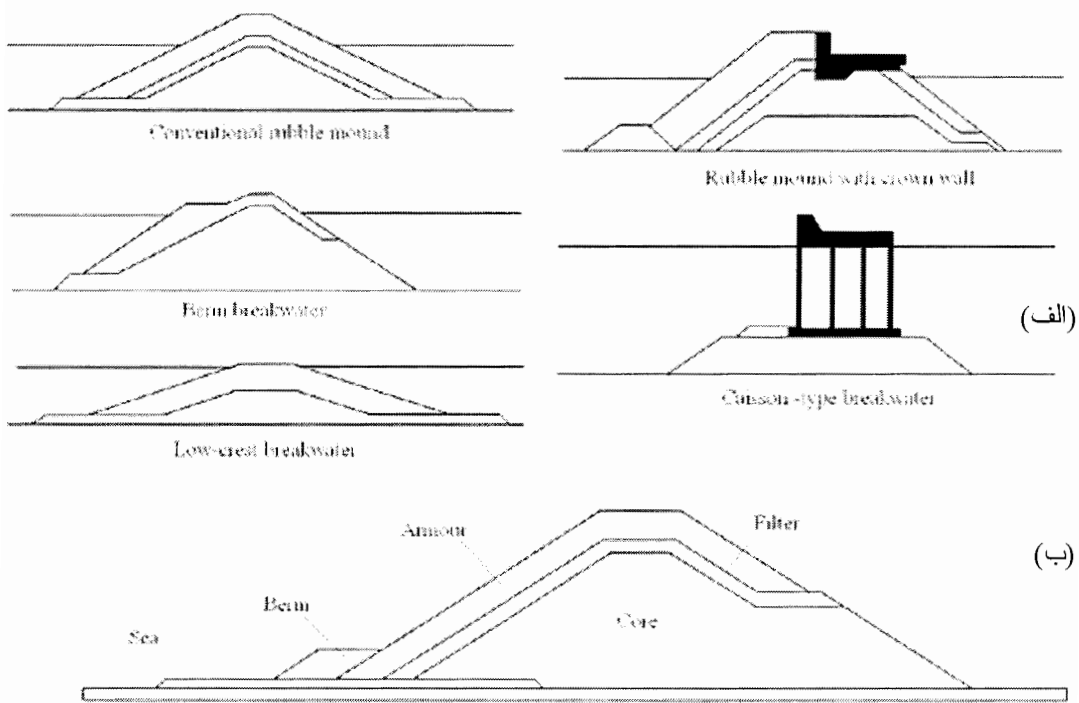
۱-۲-۳ موج شکن و خصوصیات سازه ای آن : موج شکن سازه ای است که جهت حفاظت حوضچه و تاسیسات بندری در برابر نیروی امواج، برای تامین ورود مطمئن کشته ها، تامین فعالیت بندری در تمام طول سال ، ایجاد حوضچه های اختصاصی و جلوگیری از ته نشست گل و لای در محدوده بندرگاه ساخته می شود .

موج شکن ها یکی از پیچیده ترین ساختار های دریایی می باشند و باید در طراحی و ساخت آنها دقت زیادی بکار رود تا در طول مدت بهره برداری در اثر عوامل هیدرولیکی و شیمیایی تخریب نشده و باز دهی فنی و اقتصادی خود را عرضه نماید(تابلو ۱-۳، شکل الف). انواع مختلف موج شکنها شامل ۱-۲-۳ موج شکنهای توده سنگی معمولی - موج شکنهای توده سنگی با دیواره تاج(crown-wall)

موج شکن با شیب S یا برمی^۴- موج شکن نوع ریفی^۵- موج شکن نوع پایه زیر آبی (caisson) میباشد (شکل ۱-۳-الف).

ایستایی یک موج شکن به عوامل متعددی از جمله شکل ظاهری سنگهای لایه محافظ و وزن مخصوص آنها، نحوه اجرای لایه های بستر و لایه های خود موج شکن، وضعیت هندسی سازه، زاویه شیب، ارتفاع تاج وغیره بستگی دارد.

۲-۲ ساختمان موج شکن: عموماً موج شکنها توده سنگی شامل سه لایه مشخص هستند که به ترتیب بر روی پی قرار می گیرند و مقطع شماتیک آن در شکل (۱-۳-ب) نشان داده شده است:

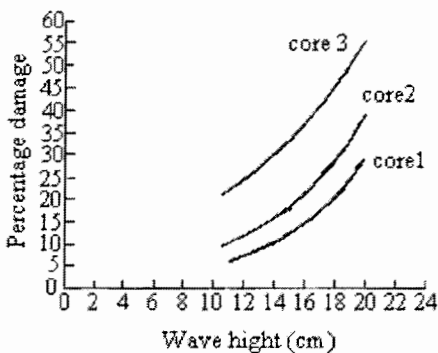


شکل (۱-۳)،الف: انواع مختلف موج شکنها، ب: مقطع عرضی موج شکن توده سنگی

پی یا مترس: این لایه از مصالح ریز دانه تشکیل شده است و چنانچه خاک بستر دریا در محل اجرای موج شکن از جنس خاک ضعیفی مانند لای یا رس باشد برای جلوگیری از نشستهای غیر متجانس، در زیر سازه موج شکن و روی بستر ریخته می شوند و حکم یک بالشتک توزیع بار را بر روی بستر دارد. این لایه در ساختمان موج شکن از اهمیت ویژه ای برخوردار است و محدوده وزنی قطعات آن ۱ تا ۱۰۰ کیلو می باشد.

لایه مغزه : این لایه نقش بدنی اصلی موج شکن را دارد و معمولاً مصالح ریز دانه و خرده سنگ در ساخت این لایه بکار می روند . این مصالح در تماس مستقیم با آب دریا نیستند ولی این مصالح نباید در آب دریا محلول باشند و یا تحت فشار لایه های رویی له شده و یا بصورت پودر در آیند . مغزه باید ضمن دارا بودن فشردگی لازم تا حدودی قابلیت عبور آب را از خود نشان دهد . بنابراین برای دانه های آن باید حد و مرزی قائل شد و بزرگترین بعد سنگهای آن نباید از $2/5$ برابر کوچکترین بعد بیشتر باشد، چرا که افزایش آن ممکن است عامل ایجاد حفره های بزرگ و تخریب بعدی گردد . سنگهای لایه مغزه در محدوده وزنی $5/0$ تا 2 تن می باشند .

تخلخل در هسته اهمیت زیادی دارد زیرا با افزایش تخلخل هسته، پایداری سازه به طور قابل توجهی افزایش خواهد یافت و این امر بواسطه افزایش جریان در داخل هسته و پراکنده سازی بیشتر انرژی در داخل هسته موج شکن می باشد . در صورت تخلخل پایین هسته، انرژی وارد شده به ساختار، در سراسر آن پخش نشده و باعث تخریب سریع لایه آرمور می شود . همچنین میزان run-up موج شکن با افزایش تخلخل، کاهش خواهد یافت (Hegde¹ و همکاران، ۱۹۹۵) .



شکل (۲-۳) رابطه بین ارتفاع موج و درصد خطر تخریب موج شکن با افزایش تخلخل .
ترتیب افزایش تخلخل
 $\text{Core1} > \text{core2} > \text{core3}$
(Hegde و همکاران، ۱۹۹۵)

دوره موج و ارتفاع موج نیز تاثیر زیادی بر پایداری موج شکن دارد (شکل ۲-۳) . موج شکنها پایدار از نظر استاتیکی بوسیله پارامتر ارتفاع موج ($H/\Delta D \leq 3$) و موج شکنها پایدار از نظر دینامیکی بوسیله پارامتر ارتفاع موج ($H/\Delta D \geq 6$) مشخص می شوند (Rao² و همکاران، ۲۰۰۴) .

لایه فیلتر یا لایه میانی : این لایه میان مغزه و آرمور قرار گرفته و دانه بندی آن بگونه ای است که از شستگی لایه مغزه جلوگیری نموده و خود نیز از لایه لایه سنگهای لایه آرمور شسته نمی شود . این لایه

¹ - Hegde

² - Rao

معمولًا در سمت حوضچه بدليل کاهش انرژی امواج آخرين لايه می باشد . سنگهای آن معمولاً باید در محدوده وزنی $1/5$ تا $1/3$ تن باشند .

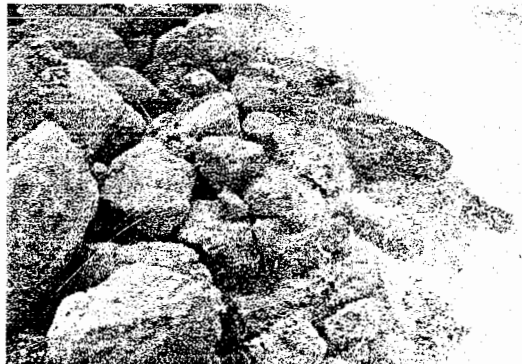
لایه حفاظ يا آرمور: اين لایه نمای بیرونی موج شکن را تشکیل می دهد و نقش آن در سازه بعنوان مستهلك کننده امواج است. سنگهای این لایه بسیار درشت و ابعاد آنها گاهی به چند متر و وزن آنها تا ۲۰ تن هم می رسد($5/5$ تن). در انتخاب سنگهای این لایه باید دقت زیادی بکار برد و سنگهای این لایه باید سخت ودارای بهترین کیفیت ودام باشند . این سنگها باید فاقد تورق وصفحات ضعیف بوده ودر مقابل عواملی نظیر آب و هوا ،تر و خشک شدن مداوم،یخ بستن ذوب شدن و ضربه امواج مقاوم باشند وتوسط این عوامل تجزیه و متلاشی نشوند. بعلاوه این سنگها باید قابل حمل و نقل بوده ودر اثر برداشتن و قرار دادن مجدد آن در روی زمین دچار ترک وشکستگی نشوند .

در استقرار يك لایه باید سنگها بصورت کاملاً منظم و به هم چسبیده مستقر گرددند تا به کمک اصطکاک بین قطعات اثرات ضربه ای امواج را خنثی کنند . هیچ يك از سنگهای بکاررفته در لایه ها نباید گرد شده باشند ، بلکه باید زاویه دار باشند تا کاملاً در هم قفل شوند(تابلو ۳-۱،شکل ج-۵) .

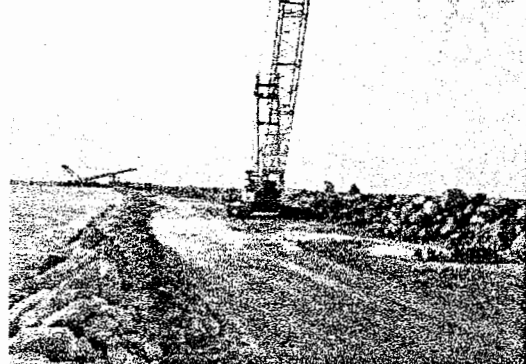
فرایند ها مختلف موثر بر روی دام سنگها و مصالح سنگی در مراحل مختلف ساخت و بهره برداری در موج شکن ها در جدول(۳-۱)خلاصه شده است.

۳-۲-۳ مکانیسم های تخریب در سازه های دریایی و اثرات آنها بر پایداری سازه :

مکانیسم فرسایش تدریجی سنگهای لایه آرمور در موج شکنها اساساً يك پدیده فیزیکی میباشد. تجزیه شیمیایی شامل حل شدن سنگهای کربناتی،انحلال نمکها،اکسیداسیون وھیدراسیون ترکیبات آهندار مانند اکسیدها،سولفیدها نیز می تواند به وقوع بپیوندد ولی از اهمیت کمتری برخوردار است. زوال مصالح سنگی در لایه حفاظ سازه های دریایی و در اثر عوامل فیزیکی عموماً در چهار شکل گرد شدگی، سایش،پوسته شدن ،ایجاد شکستگی های بزرگ،فروپاشی و دگرسانی و یا ترکیبی از آنها ظاهر می شود(نیکودل،۱۳۶۹).به طور کلی این مکانیسم ها به عواملی نظیر محل قرار گرفتن سنگ لایه آرمور در موج شکن،شرایط آب و هوایی محلی،شرایط فیزیکی محل موج شکن و نوع سنگ و درجه زوال پذیری و دگرسانی آن بستگی دارند .



شكل ب



شكل الف



شكل د



شكل ج



شكل و



شكل ه

تابلو (١-٣)

جدول (۳)، انواع فرایندهای موثر در تخریب سنگهای موج شکن ها (CIRIA/CUR(1990))
 (مغزه = C ، لایه حفاظ = U ، لایه فیلتر = A)

فرایند	مکان	فرایند زوال	نوع تاثیر بر مصالح	زمان
زمین شناسی	رخمنون طبیعی	۱- هوازدگی شیمیابی و فیزیکی ۲- دگرسانی هیدرولیکی	۱- کانی های دگرسان شده ۲- کاهش چسبندگی در بافت ۳- کاهش مقاومت در راستای ناپیوستگی ها	ده هاهزار سال یا میلیونها سال
فراوری و حمل و نقل	در معدن	۱- ایجاد ترک و شکاف در نتیجه انفجار(A) ۲- انفجار ثانویه و خرد شدن (A) ۳- حمل و نقل (A,U,C) ۴- بارگذاری (A,U,C) ۵- خرد شدن (A,U,C)	۱- کاهش سلامت و یکپارچگی در نتیجه شکست نوع I ۲- شکست نوع II ۳- سایش ۴- تغییر شکل	روز
ساخت و حمل و نقل	در محل دبو	۱- ترک خوردگی ناشی از آزاد شدن تنش (A) ۲- هوازدگی فیزیکی جزئی (C) ۳- بارگذاری (C)	۱- شکست نوع I ۲- تشکیل ذرات ریز دانه ۳- تغییر در ویژگیهای مکانیکی	زمان مهندسی
بهره برداری	در محل احداث سازه	۱- بارگذاری (A,U,C) ۲- دبوی مصالح (A,U,C) ۳- جاگذاری قطعات (A,U,C) ۴- ضربه (A,U,C)	۱- شکست نوع I و II ۲- سایش	سال
ناحیه ساختاری فوق جذر و مدل ناحیه میانی ناحیه غوطه وری اقلیمی و آب و هوایی یخنیان دما گرم و خشک	ناحیه ساختاری فوق جذر و مدل ناحیه میانی ناحیه غوطه وری اقلیمی و آب و هوایی یخنیان دما گرم و خشک	۱- هوازدگی فیزیکی: تنشهای تناوبی ناشی از انجاماد و ذوب آب، تر و خشک شدن، تورم و انبساط متفاوت کانی ها، هوازدگی ناشی از اثر نمک بر مصالح ۲- سایش: سایش ناشی از برخورد ذرات لایه و ماسه وشن معلق در آب، سایش ناشی از فشار آب و حرکت قطعات روی یکدیگر ۳- شکستگی بزرگ، شکست نوع I و II: توسعه بحرانی ترکها، کاهش سریع اندازه برخورد امواج	۱- لایه لایه شدن و قطعه قطعه شدن سنگهای متورق، پوسته پوسته شدن و ایجاد ترکهای ریز، گرد شدگی، افت تدریجی وزن ۲- گرد گوشه شدن لبه های نوک تیز، ایجاد ترکهای ریز، افت تدریجی وزن ۳- شکستگی بزرگ، شکست نوع I و II: توسعه بحرانی ترکها، کاهش سریع اندازه	

۱- سایش: به عنوان هر پدیده ای که سبب جدا شدن ذرات ریز سنگ از سطح آن توسط عمل خارجی میگردد، تعریف می شود. این عمل شامل سائیدگی در اثر برخورد ذرات معلق ماسه به سطح سنگ، حرکت سنگهای لایه آرمور بر روی هم و اثراً دریا بر روی مصالح نرم یا ضعیف که میتواند از سوراخها یا ترکهای سنگ در اثر فشار هیدرولیکی وارد گردد.

پدیده های فرسایش که موجب گرد شدگی و کاهش تدریجی حجم و وزن سنگهای آرمور میگردند، از یک طرف اصطکاک و اتصال بین این سنگها را کاهش داده واز طرف دیگر رابطه وزنی سنگهای موج

شکن را برهم می زند و نتیجه این دو عامل، از بین رفتن اساسی رابطه ایستایی و کوتاه شدن دوام و عمر موج شکن میباشد(تابلو ۲-۳،شکل ۵) .

۲- پوسته پوسته شدن :این فرایند در سطح لایه های سنگ در اثر عواملی مانند حملات نمکها و تبلور نمکهای آب دریا در منفذهای بزرگ ایجاد می گردد و شاید متداولترین مکانیزم تخریب باشد. همچنین يخ زدن و آب شدن متناوب، متغیر بودن بافت مصالح و یا انبساط مصالح رسی نیز می توانند باعث پوسته پوسته شدن سطحی سنگ می شود(تابلو ۲-۳،شکل ۵) .

۳- شکستگی های بزرگ :به معنی دو یا چند تکه شدن بلوکهای سنگ می باشد. این شکستگی ها در صفحات ضعیف اولیه ایجاد می شوند و این صفحات ممکن است در هنگام استخراج سنگها درمعدن یا نحوه حمل و نقل و یا نصب قطعات در سنگ پیدا شوند. همچنین این ترکها ممکن است در اثر حرکت سنگهای قشر آرمور در موقع طوفانهای دریایی ایجاد شوند .

البته مشخص است که این پدیده ها می توانند به تنها یی و یا توام با یکدیگر عمل نمایند. همچنین آنها می توانند بصورت ادامه اثر یکی بر دیگری عمل کنند و یک پدیده با پدیده دیگر همکاری کند و یا اثرات آنرا تشدید کند و در نتیجه تخریب سازه سریعتر انجام می شود(تابلو ۲-۳،شکل ب) .

۴-۲-۳ عوامل موثر در کنترل فرسایش و دوام سنگها در موج شکن ها:

مکانیزمهای مختلف فرسایش توسط عوامل زیر کنترل می شوند:

۱- محل قرار گرفتن سنگ در موج شکن : محل قرار گیری سنگ در لایه آرمور از این جهت اهمیت دارد که در سطوح مختلف موج شکن میزان انرژی واردہ به موج شکن و نوع فرایندهای مخرب عمل کننده متفاوت می باشد.

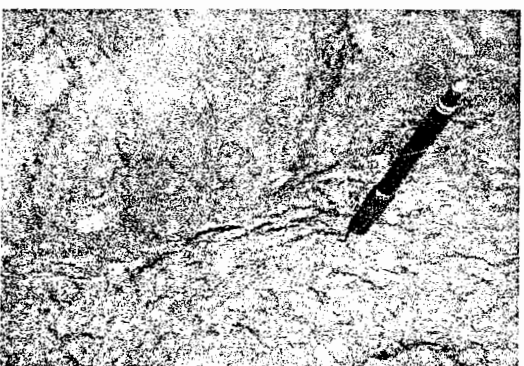
۲- شرایط آب و هوایی محلی: شرایط آب و هوایی از این جهت اهمیت دارند که تاثیر عوامل تخریبی را تغییر می دهند. تخریب در اثر عامل فیزیکی نمک و در شرایط آب و هوایی گرم بسیار قوی میباشد زیرا تبخیر منجر به تبلور نمک در حداکثر اندازه خود شده و این نمکها در سطح سنگ جمع شده و امکان شسته شدن و برگشت آنها به دریا بوسیله باران مقدور نمی باشد. نمک احتمالاً موثرترین عامل فساد می باشد زیرا در ذرات گرد و غبار بین سنگهای لایه آرمور در منطقه فوق جذر و مدی جمع شده



شكل ب



شكل الف



شكل د



شكل ج



شكل و



شكل ه

تابلو (٢-٣)

و به طور متناوب بوسیله آب دریا مرطوب و تبخیر می شوند و باعث پوسته شدن و انبساط حجمی قشر سطحی سنگ و تخریب سنگ می شوند.

۳- محیط فیزیکی محلی : محیط فیزیکی محلی شامل عمق آب، وضع موج، فرکانس طوفانها می باشند و به دقت در هنگام ساخت یک موج شکن مورد بررسی قرار می گیرند. اطلاعات مربوط به امواج اهمیت زیادی دارند زیرا در ارزیابی شدت نسبی مکانیزمهای تخریب موثر می باشند.

۴- نوع سنگ و درجه فرسایش پذیری : مهمترین عامل دوام لایه آرمور، جنس خود سنگ و درجه هوازدگی سنگ میباشد. درجه هوازدگی را میتوان در معادن و با استفاده از مشاهدات کلی تخمین زد. استحکام سنگ تابعی از جنس و بافت و ترکهای موجود در سنگ می باشد و از این رو سنگهای هوازده و دارای شکستگی های میکروسکوپی و چسبندگی ضعیف بین کانی ها از دوام کمتری نسبت به سنگهای فاقد این موارد برخوردارند. ترکهای موبین و عدم پیوستگی در بافت سنگها در طی مدت استفاده از موج شکن به پدیده سایش و خرد شدن کمک می کنند. این ترکها از سطح به عمق نفوذ می نمایند و در محیطهایی مانند خلیج فارس، آبهای حاوی سولفاتها و نمکها به داخل آنها نفوذ میکنند و تجمع بلورها ورشد آنها در اثر تکرار تر و خشک شدن بر اثر جذر و مد باعث افزایش حجم و فشار درونی شده و صفحات شکست را گسترش می دهند و ترکهای موبین به ترکهای باز تبدیل شده و باعث تخریب بیشتر سنگ می شوند.

۵- جریانات دریایی و جذر و مدل خلیج فارس و تاثیرات آنها بر سازه های دریایی:
به طور کلی در خلیج فارس آب در امتداد سواحل شمالی وارد شده و در امتداد سواحل جنوبی خارج میگردد. پهنهای این جریانات در فصول مختلف، متغیر بوده و در تابستان جریان ورودی آب از فصلهای دیگر پهن تر می باشد و این امر به این دلیل است که مقادیر زیادی آب کم نمک وارد خلیج فارس میشود تا جانشین آبی که در اثر گرما در خلیج فارس تبخیر شده گردد و از طرف دیگر می تواند به این دلیل باشد که در این فصل، بادهای موسومی جنوب غربی، آب را بسوی دریای عمان میراند. در زمستان پهنهای جریان ورودی آب بطور قابل ملاحظه ای کاهش می یابد. ترکیب آب خلیج فارس نیز یکی از عوامل تخریب کننده سازه های دریایی بوده و باعث خوردگی سنگها و سازه ها می شود. غلظت

آب خلیج فارس بدلیل تبخیر زیاد آب و حجم کم آب ورودی از ترکیب آبهای آزاد بیشتر می باشد(جدول ۲-۳).

جدول (۲-۳)، ترکیب آب خلیج فارس(بونلی^۱ و همکاران^۴ ۲۰۰۴)

نام عناصر	(mg/lit) مقدار	خصوصیات	average	min	max
Na	477.7	temperature(°c)	32	32	35
K		PH	8.18	8.08	8.26
Mg	115.26	conductivity(ms/cm)	62.7	62.2	63.4
Ca	23.95	turbidity(N.T.U)	0.71	0.48	1.13
SO4	0.1	S.D.I(%/min)	21.7	10	45
Cl	615	total alkalinity(mg/l (mg/l CaCO ₃)	123	122	125
HCO ₃	0.9				
CO ₃	1	total hardness (mg/l CaCO ₃)	8027	8010	8040
PH	8.56				
S.A.R	57.25	TDS(g/l)	44.3	43	45.5
EC	50863	UV	1.3	0.9	2.2
T.D.S	35710	Algae	50	38	76
salinity(p.s.u)	36.8				

۳-۳ فاکتورهای زمین شناسی کنترل کننده رفتار مکانیکی سنگها :

این فاکتورها که خصوصیات دگرگشکلی و شکست و رفتار سنگها را تحت تاثیر قرار می دهند به دو گروه داخلی و خارجی تقسیم می شوند(شکل ۲-۳). فاکتورهای داخلی شامل خواص و ویژگیهای خود سنگ و فاکتورهای خارجی آنها بی هستند که از محیط اطراف سنگ و در یک محدوده از زمان بر روی سنگ تاثیر می گذارند. فاکتورهای داخلی شامل ترکیب کانی شناسی، بافت، صفحات ضعف، شکستگی های داخل سنگ و درجه آلتراسیون کانی ها، اندازه دانه، شکل دانه، درجه فشردگی سنگ، اندازه و میزان و جهت یابی حفرات، درجه درهم شدگی، نوع کنتاكت ها و میزان نوع سیمان یا ماتریس(در صورت موجود بودن) می باشد (اولوسای^۲، ۱۹۹۴). شرایط فشار و میزان رطوبت و حرارت محیط اطراف سنگ هم به عنوان فاکتورهای خارجی رفتار مکانیکی سنگ را تحت تاثیر قرار می دهند. خصوصیات بافتی بیشتر از خصوصیات دیگر در رفتار مکانیکی سنگ تاثیر دارند(اروسی^۳ و والر^۴، ۱۹۹۵)، (جدول ۳-۳ و ۴-۳).

¹ - Bonnelye

² - Ulusay

³ - Erosoy

⁴ - Waller

BEHAVIOUR (long term)	
(short term)	
PHYSICAL PROPERTIES (anisotropic)	CHEMICAL PROPERTIES (anisotropic)
(isotropic)	(isotropic)
PHASE COMPOSITION (quantitative)	FABRICS (quantitative)
(qualitative)	(qualitative)
CHIMICAL COMPOSITION (quantitative)	
	(qualitative)

شکل (۲-۳)، خصوصیات کنترل کننده رفتار سنگ(کوهنل، ۱۹۹۰)

جدول (۳-۳)، طبقه بندی خصوصیات سنگها، (اروسی و والر، ۱۹۹۵)

اندازه دانه، شکل دانه، درجه جهت یابی دانه، دانسیته دانه ها، خواص نسبی دانه ها، ضربه بافتی، میزان و نوع کانی ها، نوع مواد ماتریکس، نوع سیمان و درجه سیمانی شدن، تخلخل، مرزهای دانه ای یا روابط بین دانه ها، ساختار پیوندها	خصوصیات بافتی
مقاومت سختی، سایش، دانسیته،	خصوصیات مکانیکی
درزه ها، شکستگی ها، کلیو، فولیاسیون، گسلها، لایه بندی چین خورده، باند شدگی، شب و امتداد	خصوصیات ساختاری
آلتراسیون و میزان آب	خصوصیات هوازدگی

جدول (۴-۳)، عوامل موثر در رفتار سنگها، (بینیاواسکی^۱، ۱۹۸۴)

سنگ شناسی و چینه شناسی (نوع سنگ، نحوه تشکیل، دانه بندی، رنگ، کانیها) ناهمگنی، تخلخل، ترکها و شکستگی ها، مشخصات شیمیایی، مشخصات فیزیکی و مکانیکی (چگالی، مقاومت، مدولها و نحوه شکست)	سنگ بکر
ساخت (چینه بندی، لامیناسیون، شب و امتداد)، تخلخل، نفوذ پذیری، خرسن، گسترش گیاهها (نوع، جهت یابی)، مشخصات فیزیکی و مکانیکی (چگالی، مقاومت، مدولها و زاویه اصطکاک)	توده سنگ
محیط: فشار، دما، آب (مقدار رطوبت، جریان آب زیرزمینی، فشار آب منفذی) وضعیت تنفس-کرنس: تنفسهایی بر جا (بزرگی، جهت و توزیع) بارهای خارجی (نوع، بزرگی، جهت، توزیع و موقعیت، طبیعت و شدت)، تنفسهای غیر مکانیکی (حرارتی، الکتریکی و مغناطیسی)	عوامل خارجی

۱-۳-۳ ترکیب و بافت و ساخت :

در سنگهای آذرین، ساخت بیانگر خصوصیات و ویژگیهای ماکروسکوپی سنگها مانند اختلاف اندازه بلورها، آرایش کانیهای تیره و روشن، تراکم، تخلخل، استحکام، رنگ وغیره میباشد. منظور از بافت بیان ویژگیهای میکروسکوپی سنگها مانند شکل و اندازه بلورها و رابطه فیزیکی آنها با یکدیگر (فابریک سنگ) و درجه تبلور سنگ می باشد و می توانند مراحل مختلف انجامداد و نحوه تبلور سنگهای آذرین را برای ما مشخص کنند. ترکیب و بافت یک سنگ بوسیله منشا آن کنترل می شوند. برای مثال اولیوین، پیروکسن، آمفیبیول، میکا، فلدسپار و کانی های سیلیسی که به عنوان اجزاء، اصلی در سنگهای آذرین

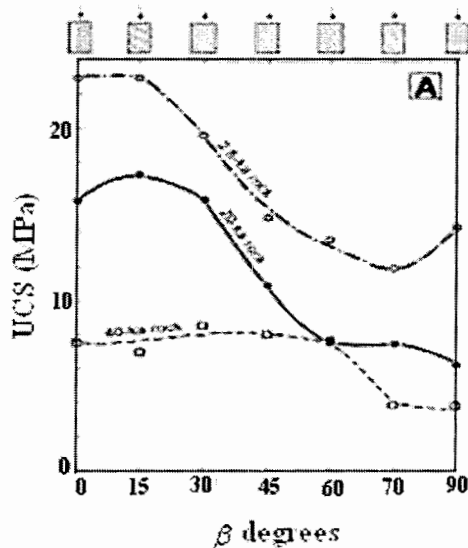
^۱ - Bieniawski

هستند، از انجماد مانع بوجود آمده است که با یک درجه تبلور متغیر انجام شود و هر چه زمان تبلور زیادتر باشد درجه تبلور بیشتر می شود. از این رو این سنگها به انواع درشت دانه، متوسط دانه، ریزدانه، میکروکریستالین و شیشه ای قابل تقسیم هستند (جدول ۳-۵).

جدول (۳-۵)، تقسیم بندی سنگها بر اساس رنگ و بافت (هوک، ۱۹۹۴)

شیشه ای	بافت	درشت	گروه	نوع سنگ
	رنگ	متوسط		
ابسیدین	ریولیت		گرانیت	آذرین
	داسیت		گرانوپوریت	
	آندرزیت		دیوریت	
	باژالت	دیبازار	گلبرو	تیره
			نوریت	
	توف	برش	آگلومرا	پپروکلاستیک

در سنگهایی که ساخت جریانی داشته و انبیزوتropی مقاومتی دارند (ریولیت، آندزیت و....)، مقدار مقاومت فشاری تک محوری در $\beta = 0$ ، ماکزیمم بوده و هنگامی که β بین ۶۰ تا ۹۰ باشد، مقدار مقاومت مینیمم خواهد بود (شکل ۳-۳).



شکل (۳-۳)، رابطه بین مقاومت تک محوری و زاویه β در ریولیت (ماتسوکورا^۱ و همکاران، ۲۰۰۲)

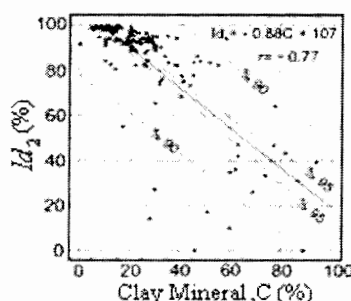
تخلخل نیز بروی خواص مقاومتی سنگ تاثیر می گذارد و با افزایش تخلخل، این خواص کاهش خواهد یافته، زیرا تخلخل در سنگ بصورت شبکه ای از میکروشکنگی های کاهش دهنده استرس عمل می کند (پرایس، ۱۹۶۰).

^۱ - Matsukura

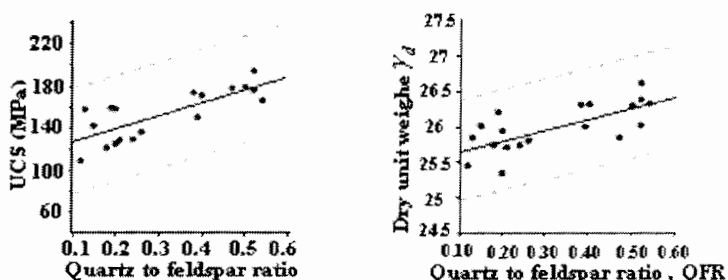
۲-۳-۳ ترکیب کانی شناسی: نوع کانی ها و نسبت آنها تاثیر زیادی بر دوام و مقاومت سنگ

خواهد داشت (شکل ۷-۳-الف). سنگهای حاوی کوارتز (به عنوان کانی پیوند دهنده) دارای بیشترین مقاومت می باشند و بعد از آن کلسیت و کانی های آهن و منیزیم دار قرار دارند، سنگهایی با مواد پیوند دهنده رسی ضعیف ترین سنگها می باشند (شکل ۴-۳ و ۵-۳ و ۵-۴) (واتوکوری^۱ و همکاران، ۱۹۷۴). کانی های آهن و منیزیم دار نقش عمده ای در مقاومت سنگها دارند. این کانی ها مرزهای دانه ای پیچیده یا بافت‌های درهم رشدی خوبی در سنگها ایجاد می کنند، ولی این کانی ها سریع تر نیز اکسیده می شوند و باعث افت مقاومت می شوند (براتلی^۲، ۱۹۹۲).

سنگهای محدودی فقط از یک کانی خاص تشکیل شده اند و حتی در این سنگها هم ممکن است ترکیب و خواص از یک کانی به کانی دیگر کمی تفاوت داشته باشد. بعضی تغییرات در داخل کانی ها ممکن است به خاطر کلیواژ، ماکل، انکلوزیون ها، شکستگی ها، آلتراسیون و همچنین تغییرات جزئی در ترکیب کانی ها باشد که دوام و مقاومت سنگ با افزایش آلتراسیون و افزایش کانی های ثانویه، بشدت کاهش می یابد (شکل ۶-۳).



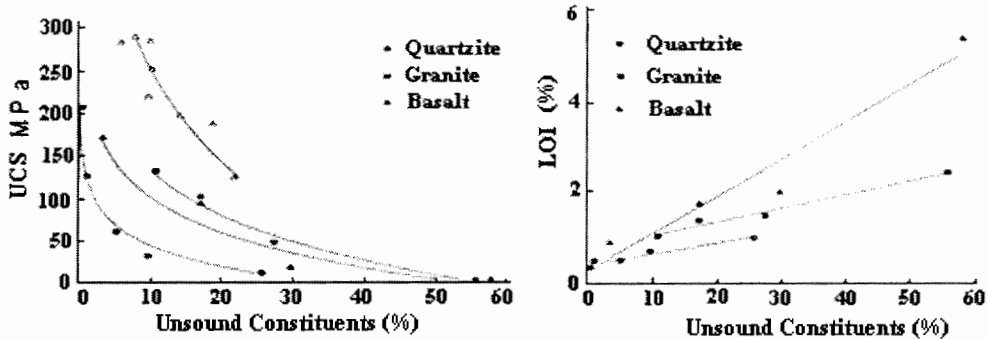
شکل (۴-۳)، رابطه بین درصد کانی های رسی و شاخص دوام (گوکسه اقلو و همکاران، ۲۰۰۰)



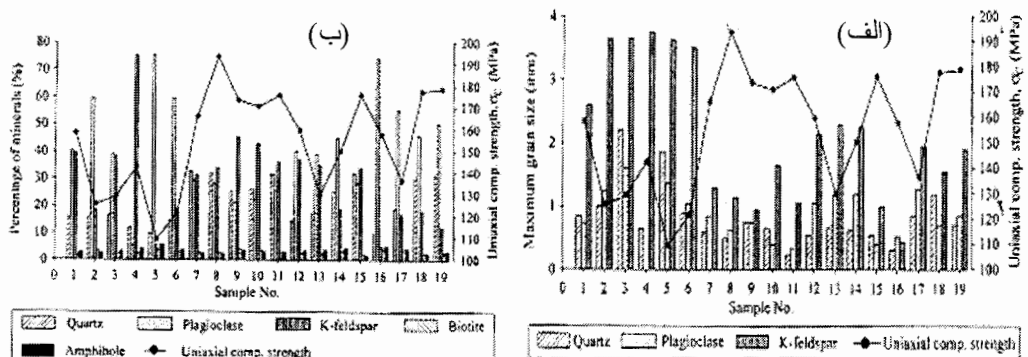
شکل (۵)، رابطه بین نسبت کوارتز به فلدسپات و مقاومت تک محوری در گرانیت (توگرول و ظریف، ۱۹۹۹)

^۱ - Vatukuri

^۲ - Brattli



شکل (۳-۶)، رابطه بین سازنده های ثانویه سنگ و پارامترهای مقاومتی (سوسا^۱ و همکاران، ۲۰۰۴)



شکل (۳-۷)، الف- رابطه بین اندازه دانه و مقاومت فشاری تک محوری، ب- رابطه بین درصد کانی و مقاومت تک محوری، (توگرول وظیری، ۱۹۹۹)

۳-۳-۳ شکل بلوری: شکل کانی های سازنده سنگ نیز می تواند تاثیر زیادی بر پارامترهای مقاومتی سنگ داشته باشد، مقداری بالای کانی های فیبری یا پولکی باعث پوسته شدن سنگها خواهد شد (نالسوند، ۱۹۸۸).

۳-۳-۴ اندازه کانی ها و میانگین دانه های سازنده سنگ :

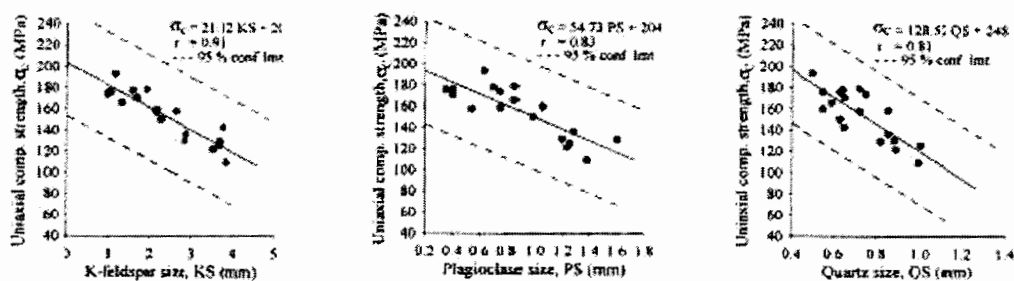
اندازه کانی ها و میانگین دانه های سازنده سنگ نیز به عنوان یک فاکتور زمین شناسی مهم تاثیر زیادی بر روی مقاومت مکانیکی سنگ دارند (جدول ۳-۶). مقاومت تسلیم سنگها با کاهش اندازه دانه ها افزایش می یابد (شکل ۳-۷- ب و ۳-۸). بطور کلی کوچک بودن اندازه دانه باعث زیاد شدن مقاومت سنگ می شود و وقتی میانگین اندازه دانه ها کمتر از ۱ میلی متر باشد، این تاثیر بیشتر خواهد بود (براتلی، ۱۹۹۲)، اگر اندازه دانه کمتر از ۰/۰۲۵ میلیمتر باشد، دانه ها تاثیر کمی در سایش و دوام دارند

^۱ - Sousa

(اروسی و والر، ۱۹۹۵) و کومارا (۱۹۸۰) نشان دادند که بین اندازه دانه و مقاومت سنگهای گرانیتی رابطه خطی وجود دارد که با کاهش اندازه دانه های سنگ، مقاومت سنگ افزایش می یابد.

جدول (۳-۶)، توصیف اندازه دانه (آنون ۱۹۷۹)

اندازه	توصیف
$< 60 \text{ mm}$	خیلی دانه درشت
$2-60 \text{ mm}$	دانه درشت
$0.006-2 \text{ mm}$	دانه متوسط
$0.002-0.6 \text{ mm}$	دانه ریز
$< 0.002 \text{ mm}$	خیلی دانه ریز



شکل (۳-۸)، رابطه بین نوع و اندازه کانی های مختلف و مقاومت فشاری تک محوری

(برای گرانیتهایی در ترکیه، توگرول و ظرفیف، ۱۹۹۹)

تأثیر اندازه کانی ها بر مقاومت سنگ بیشتر به این دلیل است که با کاهش اندازه کانی ها، تعداد مرزهای دانه ها افزایش یافته و نیروهای خارجی بر روی سطوح بیشتری توزیع می شوند و در نتیجه نیروی بیشتری برای شکستن پیوند بین دانه ها لازم می باشد. دلیل دیگر آن می تواند تاثیر درزه ها و شکستگی های داخل سنگ و کانی ها بر مقاومت سنگ باشد، چون در اکثر سنگها درزه ها و میکروشکستگی هایی در داخل سنگ و در بین دانه ها و همچنین در داخل دانه ها دیده می شوند، نقش این ترکها و شکستگی ها را می توان با استفاده از تئوری گریفیس^۱ (۱۹۹۳) توضیح داد. ترکهای داخل کانی ها معمولاً درجهت صفحات کلیواژ و رخ کانی ها و در طول مرزهای دانه ها ایجاد می شوند میزان گسترش این ترکها به نوع کانی هم بستگی داشته و در پلازیوکلاز زیاد بوده و در کوارتز و فلدسپات کمتر می باشند. نسبت طول به عرض ترکها در مقاومت سنگ موثر است و با بزرگ شدن اندازه دانه، نسبت طول به عرض ترک زیاد شده و باعث کاهش مقاومت سنگ می شود، ولی با

^۱ - Griffith

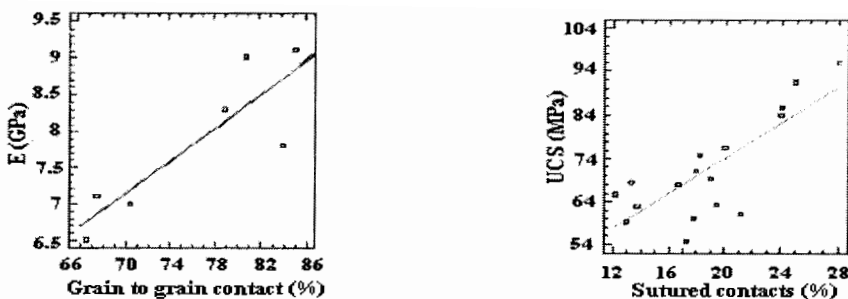
کاهش میانگین اندازه دانه ها، نسبت طول به عرض شکستگی ها کاهش یافته و منجر به افزایش مقاومت خواهد شد (براتلی، ۱۹۹۲).

۵-۳-۳ شکل دانه ها: شکل دانه ها نیز برروی مقاومت سنگ تاثیر زیادی دارد و مقاومت و خواص الاستیک سنگ رابطه مستقیمی با درصد دانه های زاویه دار سنگ دارد (هورات و همکاران، ۱۹۸۶). دانه های زاویه دار باعث ایجاد درهم شدگی بیشتر و افزایش مقاومت خواهند شد ولی سنگهای تشکیل شده از دانه های گرد شده بسیار بی دوام می باشند زیرا بلورها یا دانه ها لبه مشخصی داشته و نیروها نیز در طول آزمایشات دوام و مقاومت معمولاً در طول لبه های دانه ها متتمرکز می شوند و چون سطح تماس و پیوند بین دانه ها صاف می باشد، نیروی کمتری برای شکستن سنگ لازم می باشد و در نتیجه این سنگها شاخص های دوام و مقاومتی کمتری را نشان می دهند.

۳-۳-۶ درهم شدگی و نوع مرز : یکی از ویژگیهای مهم بافتی که در رفتار فیزیکی و بویژه مقاومت سنگ نقش دارد، درجه درهم شدگی دانه ها نوع مرزهای دانه ها و آرایش هندسی (میکروفابریک) اجزاء سنگ است (شکل ۱۱-۳). چون شکستگی ها بیشتر در طول مرزهای دانه ها رخ می دهند (شکستگی های بین دانه ای) و کمتر در میان دانه ها ایجاد می شوند (شکستگی های درون دانه ای)، از این رو مرزهای نامنظم و درهم ایجاد شکستگی را بسیار مشکل می سازند و افزایش تعداد مرز ها باعث افزایش مقاومت سنگ می شود. مرزهای مضرس (sutured) باعث در هم شدگی بهتر و در نتیجه افزایش مقاومت و دوام سنگ خواهند شد (شکل ۹-۳). ویلارد و مک ویلیامز (۱۹۶۹) اظهار کردند که هنگامی که طول نسبی شکستگی های درون دانه ای (T) و شکستگی های بین دانه ای (I) را در طول شکستگی های مرمرهای Tennessee اندازه گیری کردند، نسبت T:I به طور معکوسی با مقاومت شکست تغییر می کند. همچنین اونودرا و کومارا (۱۹۸۰) نشان دادند که در گرانیت یک رابطه خطی بین مدول یانگ و مناطق سطح (طول) مرز دانه ها در هر واحد حجم وجود دارد (شکل ۱۰-۳).

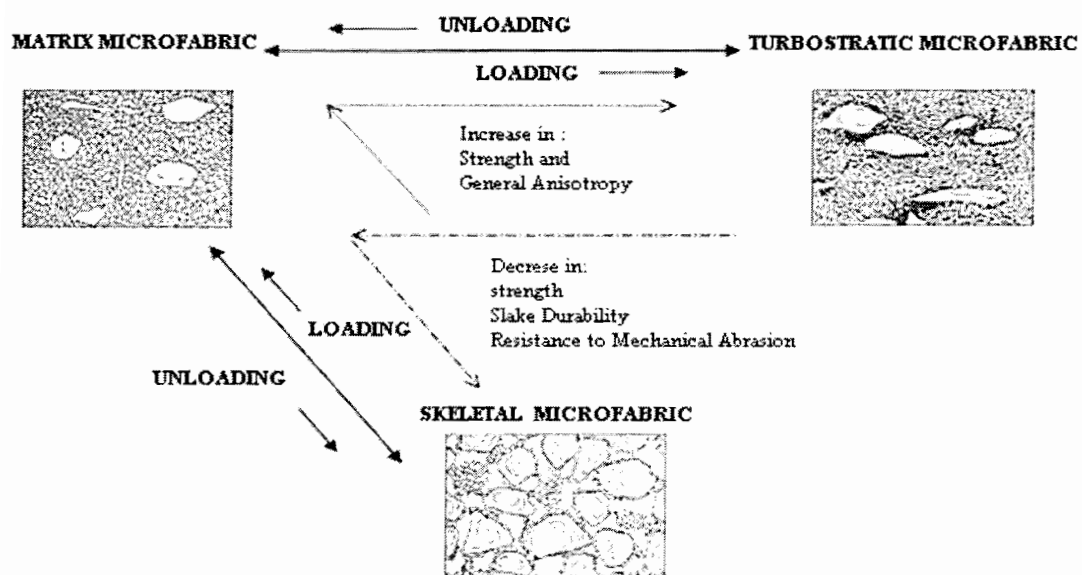


شکل (۹-۳)، انواع مرزهای بین دانه ها (اولوسای و همکاران، ۱۹۹۴)



شکل (۳-۱۰) (الف) - رابطه بین نوع مرزهای دانه ها و مقاومت فشاری تک محوری، (ب) - رابطه بین نوع مرزهای دانه ها و مدول یانگ (اولوسای وهمکاران ۱۹۹۴).

۳-۳-۷-۳ جهت یابی دانه: جهت یابی دانه در یک جهت خاص باعث می شود که شکستگی در طول آن جهت ایجاد شود و این نکته برای بیشتر سنگهایی که در آنها کلیواژ، شیستوزیته، فولیاسیون، لامیناسیون و یا لایه بندی نازک مشاهده می شود، به کار برده می شود.



شکل (۳-۱۱)، رابطه بین مقاومت و دوام و نوع فابریک سنگ (هارتپرت^۱، ۱۹۸۸)

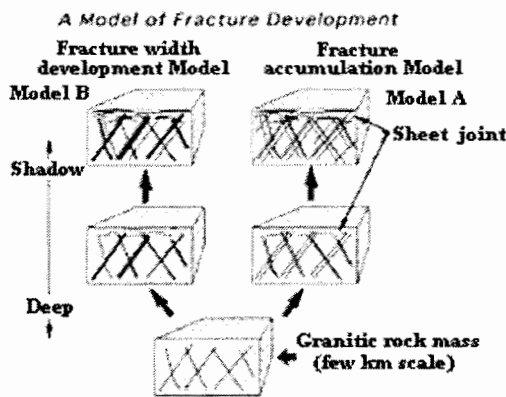
۳-۳-۸ شرایط حرارت و فشار: شرایط حرارت و فشار تشکیل سنگها متفاوت است و هر چه این شرایط با شرایط سطح زمین تفاوت بیشتری داشته باشد، سنگ سریعتر هوازده می شود و این شرایط را می توان از روی سری باون توضیح داد. بطوريکه کانی هایی که شرایط تشکیلشان با شرایط سطحی تفاوت بیشتری دارند و در بالای سری باون قرار می گیرند، زودتر با محیط جدید واکنش انجام داده و

^۱ - Huppert

سریع تر هوازده می شوند . مقاومت نسبی این کانی ها در برابر تخریب شیمیایی ممکن است بازتاب شرایط سطحی و یا شرایط تشکیل این کانی ها باشد .

۹-۳-۳ ناپیوستگی های سنگ : توده های سنگی بصورت پیوسته نیستند و دارای ناپیوستگی هایی می باشند که عنوان صفحات ضعف از آنها یاد می شود. ناپیوستگی ها بصورت خطی یا صفحه ای میکروسکوپی و یا ماکروسکوپی می باشند و شامل میکروشکستگی ها ،مرزهای دانه ها ،کلیواژ کانی ها ،صفحات ماکل ، انکلوزیون ها و... می باشند. همچنان که ذکر شد این سطوح ضعف مقاومت نهایی سنگها را تحت تاثیر قرار می دهند و ممکن است که به عنوان سطوح ضعیفی عمل کنند و جهتی را که در طول آن شکستگی اتفاق می افتد را کنترل می کنند . تناوب و تکرار ناپیوستگی ها با مقاومت شکست رابطه معکوس دارد(ویلارد و مک ویلیامز، ۱۹۶۹).

ناپیوستگی نشان دهنده یک صفحه ضعیف در داخل سنگ است که سنگ در طول آن از نظر ساختمانی می شکند. اندازه ناپیوستگی ها از شکستگی های کوچک در نمونه دستی تا گسلهای بزرگ تغییر می کند. یکی از معمولی ترین ناپیوستگی های سنگها میکروشکستگی ها می باشند. میکرو شکستگی ها در داخل بیشتر سنگها وجود دارند و ممکن است در اثر وارد شدن نیروهای تکتونیکی یا هوازدگی گسترش بیشتری یابند(فرایندهای هوازدگی کانی ها مانند سریسیتیزایسیون که باعث تشکیل میکروشکستگی در داخل کانی هایی مانند فلدسپات می شوند). درزه ها در داخل سنگ معمولاً بواسطه گسیختگی در هنگام کشش ،برش و یا ترکیبی از اینها ایجاد می شوند. همچنین درزه ها در داخل سنگهای آذرین هنگامی که به سرعت سرد می شوند ایجاد می شوند . بالک(۱۹۸۸) اظهار کرد که بیشتر درزه ها در باتولیت ها در نتیجه فعالیت پیوسته نیروهای مسئول جایگزینی توده و در طول بالا آمدگی ایجاد شده اند. مدلهای تشکیل و گسترش شکستگیها در سنگها در شکل(۱۲-۳) نشان داده شده است.



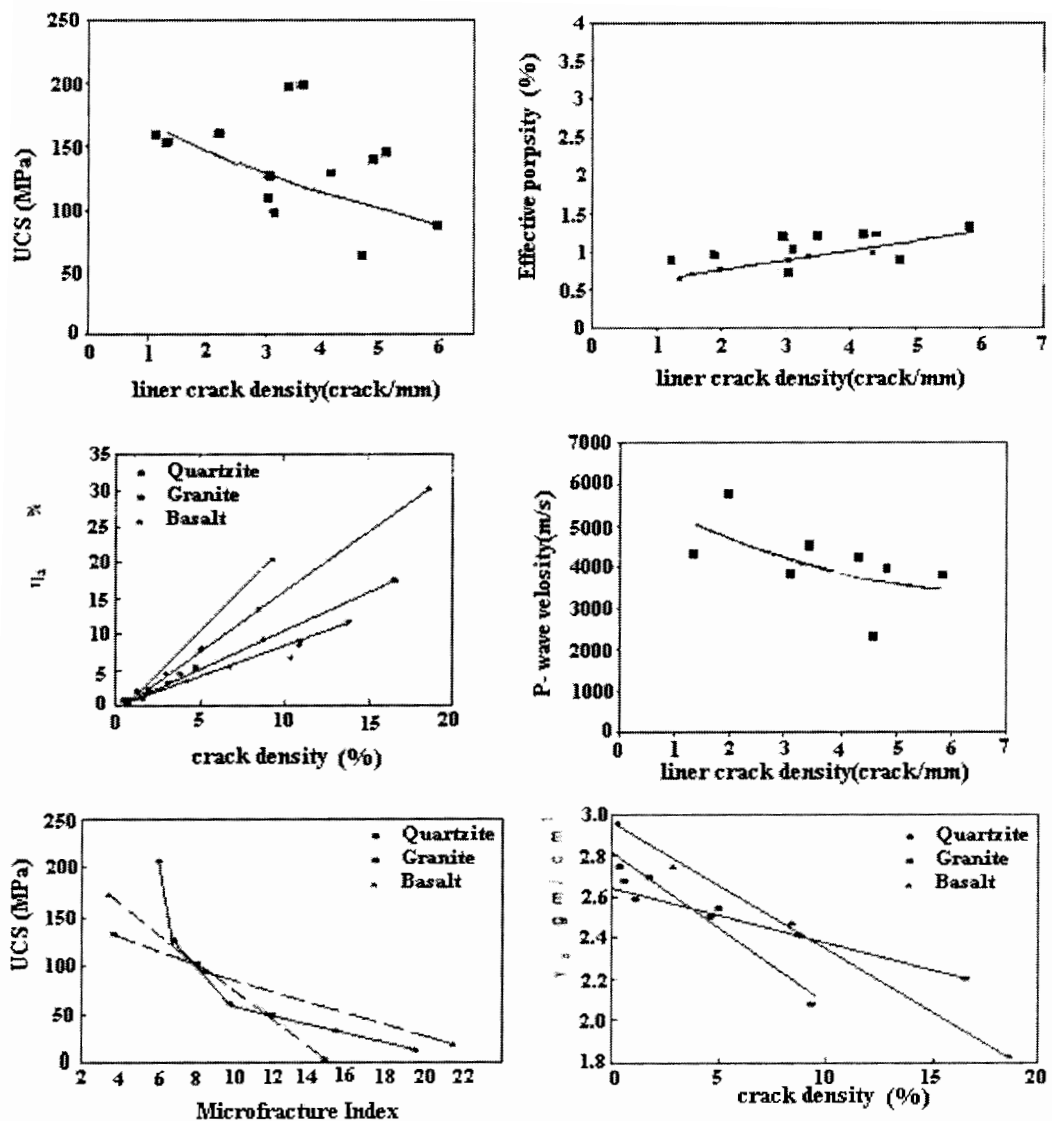
شکل(۱۲-۳)، مدل‌های تشکیل و گسترش شکستگی‌ها در سنگ‌ها (یوشیدا و همکاران، ۲۰۰۵)

در مدل A دانسیته شکستگی‌ها بدلیل تشکیل شکستگی‌های جدید در اثر فعالیتهای تکتونیکی بعد از نفوذ توده‌ها، افزایش می‌یابد. در این مدل، میزان افزایش تعداد شکستگی‌ها از میزان افزایش در عرض شکستگی‌های قبلی و افزایش مواد پر کننده درزه‌ها، بیشتر می‌باشد. در مدل B، شکستگی‌های جدید تقریباً تشکیل نمی‌شوند (حتی تحت تاثیر نیروهای تکتونیکی) و عرض شکستگی‌های ساده بواسطه جابجایی و عریض شدگی شکستگی‌های قبلی و افزایش مواد پر کننده این شکستگی‌ها، افزایش می‌یابد (یوشیدا^۱ و همکاران، ۲۰۰۵).

درزه‌ها ممکن است تحت تاثیر کشش، شسته شدن و حل شدن در آبهای زیرزمینی و یا هوازدگی باز شوند. اگر هوازدگی به طور عمقی سنگ را تحت تاثیر قرار داده باشد، یک بخش ضعیف وسیع در سنگ ایجاد می‌شود. شکستگی‌ها و درزه‌ها رفتار مواد سنگی را کنترل می‌کنند و قابلیت شکستگی و دگرشکلی، میزان پایداری سنگ و جریان سیال در میان سنگ به درجه پیوستگی ترکها و خصوصیات شبکه شکستگی‌های سنگ بستگی دارد (قوش^۲ و همکاران، ۱۹۹۳). شبکه شکستگی، دانسیته شکستگی و دانسیته بلوك از پارامترهای مهم نشان دهنده الگوی شکستگی‌های سنگ می‌باشند و روابط زیادی بین این سه پارامتر وجود دارد. با افزایش دانسیته ترک (تعداد ترکها در واحد سطح)، تعداد بلوكهای سنگ در همان واحد سطح (دانسیته بلوك) افزایش می‌یابد و این خود به درجه پیوستگی بین شکستگی‌ها بستگی دارد (شکل ۱۳-۳). این شکستگی‌ها باعث تسهیل ورود آب و سیالات به درون سنگ و توسعه هوازدگی می‌شوند.

¹-Yoshida

²-Ghosh



شکل (۳-۱)، رابطه بین تخلخل، مقاومت تک محوری، سرعت موج با دانسیته ترکها (سوسا و همکاران، ۲۰۰۴)

۴-۳ هوازدگی سنگها و توده های سنگی :

فرایند هوازدگی سازگاری کانی های تشکیل دهنده سنگ را با شرایط موجود در سطح زمین نشان می دهد. هوازدگی سنگها در اثر فرایندهای فیزیکی، تجزیه شیمیایی و فعالیت بیولوژیکی انجام می شود. هوازدگی باعث ضعیف شدن فابریک سنگ و افزایش ضعفهای ساختمانی سنگها می شود. یک سنگ ممکن است در نتیجه توسعه شکستگی ها در بین ویا داخل کانیها، بسیار شکننده شود (Bell^۱ و

1- Bell

لی روکس،^۱ مواد هوازده ممکن است از خلل و فرج و یا بعضی کانی‌ها خارج شوند و ممکن است که مواد جدید در روزنه‌ها، مرزهای دانه‌ها و یا در طول شکستگی‌ها رسوب کنند. هوازدگی بیشتر بوسیله حضور ناپیوستگی‌ها کنترل می‌شود. نوع و درجه هوازدگی از یک رژیم آب و هوایی به رژیم دیگر تغییر می‌کند. در رژیم مرطوب فرایندهای شیمیایی و بیولوژیکی بیشتر از فرایندهای مکانیکی نقش دارند. درجه و میزان هوازدگی در رژیم مرطوب تابع حرارت و میزان رطوبت موجود است. افزایش حرارت باعث افزایش هوازدگی می‌شود و افزایش حدود 10°C در دما باعث می‌شود که مقدار واکنشهای شیمیایی دو برابر شود (گلدریچ^۲، ۱۹۸۸)، افزایش رطوبت نیز باعث افزایش هوازدگی می‌شود و در هوای خشک سنگها خیلی آرام تخریب می‌شوند. هوازدگی باعث کاهش دانسیته و مقاومت و افزایش خاصیت دگرشکل پذیری سنگ می‌شود. نفوذپذیری سنگ اغلب در طول مراحل اولیه هوازدگی بواسطه توسعه شکستگی‌ها افزایش می‌یابد اما اگر کانی‌های رسی در نتیجه تجزیه کانی‌ها تشکیل شوند، باعث کاهش نفوذ پذیری می‌شوند. میزان هوازدگی به انرژی عامل هوازدگی و دوام سنگ بستگی دارد. دوام سنگ خود به ترکیب کانی شناسی، تخلخل و مقاومت سنگ و تلاقی ناپیوستگی‌ها در داخل توده سنگ بستگی دارد. سنگهای دانه درشت عموماً سریعتر از سنگهای دانه ریز هوازده می‌شوند. درجه درهم شدگی بین دانه‌ها نیز یک فاکتور بافتی مهم است و سنگی که دانه‌های آن شدیداً با هم پیوند داشته باشند در مقابل هوازدگی مقاومت بیشتری خواهد داشت. به نظر فوکس^۳ و همکاران (۱۹۸۸) درجه هوازدگی با زمان در جایی که یک لایه خاک در روی سنگ ایجاد شده، کاهش می‌یابد.

۳-۴-۱ هوازدگی مکانیکی :

سرد و گرم شدن : این فرایند در مناطقی که تغییرات درجه حرارت روز و شب زیاد است از اهمیت زیادی برخوردار است. تغییرات وسیع در حرارت باعث انبساط و انقباض سنگ می‌شود. چون سنگها رسانای ضعیفی برای گرما هستند، این اثرات اکثراً در لایه‌های خارجی آنها ایجاد می‌شود و انبساط و انقباض پیوسته استرس‌هایی را ایجاد می‌کند که در نهایت باعث تخریب سنگ می‌شوند. در اثر این عمل صفحاتی از سنگ مادر جدا می‌شوند که این فرایند اصطلاحاً *exfoliation* نامیده می‌شود.

^۱ - Le Roux

^۲ - Goldrich

^۳ - Fookes

اثرات این فرایند بیشتر در لبه هاو گوشه های سنگ دیده می شود. در نواحی گرم و خشک این فرایند می تواند در مقیاس وسیعی انجام شود و باعث جدایش صفحات بزرگ از توده سنگ شود. کانی ها انیزوتrop بوده و ضرایب انبساط مختلفی دارند و انبساط های متفاوت و درجهات مختلف در داخل یک سنگ پلی کریستالین باعث ایجاد تنشهایی در مرزهای دانه ها می شود و این امرمی تواند منجر به جدایش دانه ای شود.

ترو و خشک شدن: خشک و ترشیدگی متناوب سنگ همراه با نیروی انبساط آب می تواند یک عامل مخرب، بویژه در حفرات سنگی با مقاومت کششی پایین باشد. برای مثال هنگامی که آب از ${}^{\circ}\text{C}$ به ${}^{\circ}\text{C}$ می رسد. حدود $1/5$ درصد منبسط می شود و فشاری حدود 52 Mpa را در داخل حفره ها ایجاد می کند و اختلاف حرارت روزانه حدود $40 {}^{\circ}\text{C}$ می تواند فشاری حدود 26 Mpa را ایجاد کند.

تبلور و هوازدگی نمکها: هوازدگی نمک یکی از مکانیسمهای بسیار مهم است که مهمترین عامل تخریب سنگها در محیطهای ساحلی می باشد. این نوع هوازدگی مشخصه محیطهای ساحلی و شرایط آب و هوایی گرم و معتدل می باشد و خواص مقاومتی سنگها را حدود $70-57$ درصد کاهش می دهد (Duperret¹ و Hemkaran, 2005). هوازدگی نمک در نتیجه ایجاد تنش در حفرات و شکستگی ها و درزه های توده سنگ انجام می شود و باعث افت درجه پیوستگی بین دانه ها و زمینه سنگ، تشکیل میکروشکستگی ها (تشکیل و توسعه ترکهای جدید یا کشش و عریض شدگی میکروشکستگی ها و حفرات قبلی) می شود (Sherer² و Hemkaran, 2001). سولفاتهای کلسیم و منیزیم معمولی ترین نمکهای موجود در سنگها می باشند. بیشتر نمکهای محلول موجود در سنگ از قبیل کلریت ها و سولفات ها با تغییراتی در آب و هوای و گرادیان رطوبت و به واسطه خاصیت موئینگی به طرف سطح سنگ حرکت می کنند ولی نمکهای محلول کمی در سطح و یا نزدیک سطح سنگ متبلور می شوند. نمکها به سه طریق فشار تبلور، فشارهیدرولیک و انبساط حرارتی متغیر سبب از هم پاشیدن سنگ می گردند. در شرایط خاصی بعضی نمکها ممکن است متبلور شوند و یا چار تبلور مجدد شده و تبدیل به هیدراتهای مختلف با حجم بیشتر، می شوند و باعث ایجاد یک فشار اضافی بنام فشار تورم می شوند. فشار تبلور مکانیسم بسیار مهمی است که در طول هوازدگی نمک باعث تخریب سنگ می شود و به

¹ - Duperret

² - Sherer

درجه اشباع سنگ از نمک، نوع نمک، اندازه حفرات و شکافهای سنگ و اختلاف انرژی بین بلور و دیواره حفرات بستگی دارد. میزان فشار تبلور در حفرات بزرگتر، کمتر خواهد بود و دوام سنگهایی با حفرات بزرگ بیشتر از سنگهایی با حفرات کوچکتر خواهد بود، همچنین درجه اشباع از نمک بالا باعث ایجاد فشار تبلور بیشتری خواهد شد (بناؤنده^۱ و همکاران، ۲۰۰۴). در صورتی که فشار هیدرولیکی بستگی به حرارت محیط و درجه رطوبت نسبی دارد. فشار تبلور محاسبه شده برای هر سنگ، شاخصی از فشارهای بالقوه ای است که ممکن است در طول تبلور در کانالهای باریک سنگ ایجاد شوند. فشار ناشی از تبلور نمکها در حفرات کوچک متغیر است. برای مثال ژیپس ($\text{CaSO}_4 \cdot n\text{H}_2\text{O}$) فشاری حدود 100 Mpa ، آنیدریت ($\text{MgSO}_4 \cdot n\text{H}_2\text{O}$) فشار 120 Mpa ، کیسریت (CaSO_4) فشار 200 Mpa و هالیت (NaCl) حدود 100 Mpa و هالیت 200 Mpa فشار وارد می کنند. بعضی نمکها در فرایند شکستن بسیار فعال تر از بقیه هستند. گویودی^۲ بر اساس تجربیات نشان داد که Na_2SO_4 و MgSO_4 فعالتر از بقیه نمکها هستند و NaCl فقط باعث تغییرات کمی می شود و نشاد داد که زمانی که تعدادی از نمکها در محلول با هم باشند، مانند ترکیب $\text{CaSO}_4 \cdot \text{NaCl}$ ، اثر موثر آنها در شکستن و تخریب افزایش می یابد. هوازدگی نمک منجر به حفره حفره شدن سنگ میشود. همچنین تخریب در سنگ ممکن است بواسطه تفاوت قابل ملاحظه در میزان انبساط حرارتی نمکها در حفرات باشد. تخریب زمانی انعام می شود که انبساط حرارتی نمکها از کانی های تشکیل دهنده سنگ بیشتر باشد. برای مثال هالیت وقتی ازدمای 60°C به 0°C می رسد، حدود ۵ درصد منبسط می شود، که این امر ممکن تواند باعث تخریب سنگ شود.

سیکلهای تبلور و انحلال و آبگیری و آبردایی نمک ممکن است که چندین مرتبه در طول سال انجام شود، که این امر بستگی به شرایط حرارت و رطوبت نسبی و میزان تبخیر نمکها دارد. رطوبت هوا یک عامل اساسی در تبلور نمک است و نمک هنگامی متبلور می شود که رطوبت نسبی محیط کمتر از رطوبت نسبی محلول اشباع از نمک باشد.

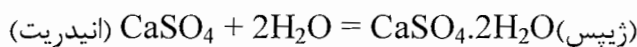
۳-۴-۲ هوازدگی شیمیایی و بیولوژیکی: هوازدگی شیمیایی منجر به آلتراسیون کانی ها و انحلال سنگها می شود. آلتراسیون اغلب تحت تاثیر اکسیداسیون، آبگیری و هیدرولیز می باشد. در صورتی که

¹ - Benavente

² - Goudie

انحلال غالباً تحت تاثیر آبهای اسیدی یا آلکالی انجام می شود. هوازدگی شیمیایی به آرامی با ضعیف کردن فابریک سنگ وضعفهای ساختمانی به متلاشی شدن سنگ کمک می کند.

در هوای خشک سنگها خیلی آرام تجزیه می شوند، اما حضور رطوبت سرعت هوازدگی را زیاد می کند. این امر به خاطر حضور آب بعنوان یک عامل موثر در هوازدگی است زیرا آب حاوی مواد محلولی است که با کانی های سنگ واکنش می دهدن. مهمترین این مواد محلول شامل اکسیژن آزاد، دی اکسید کربن، اسیدهای آلی و اسیدهای نیتروژن می باشد. اکسیژن آزاد یک عامل موثر در تخریب همه سنگهایی است که حاوی مواد قابل اکسید شدن می باشند و آهن و سولفور از مهمترین این مواد هستند. اکسیداسیون در حضور آب سریعتر انجام می شود و البته ممکن است که خود آب هم وارد واکنشها شود، مانند تشکیل هیدراتها، ولی آب بیشتر به عنوان کاتالیزور عمل می کند. میزان انحلال کانی های سنگ به قابلیت انحلال، ثابت نسبی انحلال کانی های سنگ، درجه اشباع بودن حل، میزان مناطق تحت تاثیر حل و سرعت و چگونگی حرکت حل بستگی دارد و شکل یک کانی تاثیرزیادی در میزان انحلال آن ندارد. هوازدگی شیمیایی به این طریق می تواند باعث بزرگ شدن حفرات شود. اسید کربنیک زمانی بوجود می آید که دی اکسید کربن در آب حل شود و pH آن حدود ۵/۷ می باشد. منبع اصلی دی اکسید کربن اتمسفر نیست و درصد آن در هوای موجود در حفرات خاک و سنگ بیشتر از اتمسفر می باشد، زیرا در هنگام تخریب مواد آلی یک تمرکز غیر طبیعی از دی اکسید کربن بوجود می آید. اسید های نیتروژن (HNO_2 - HNO_3) نیز بوسیله تجزیه مواد آلی یا عمل باکتری ها ایجاد می شوند و نقش کوچکی را در هوازدگی دارند. واکنش های دیگر که در هوازدگی اتفاق می افتد شامل انحلال کانی های قابل حل و تشکیل هیدراتها است. آبگیری و آبزدایی فقط در میان بعضی مواد انجام می شود و یک مثال معمولی از آن تبدیل ژیپس وانیدریت به همدیگر است :



چون کانی های ثانویه معمولاً حجمی تر از کانی های اولیه میباشد، این واکنش ها باعث افزایش حجم می شوند و این افزایش حجم منجر به ضعیف شدن پیوندهای بین دانه ای و ایجاد ناپیوستگی های ساختاری میکروسکوپی در داخل سنگها یا کانی ها می شوند. به طور کلی اگر مجموع حجمهای مولکولی کانی های تشکیل دهنده سنگ تغییر کند، تجزیه آغاز می شود (جدول ۳-۱۴).

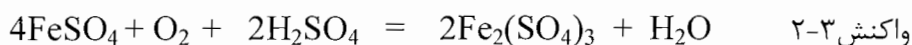
Mineral phase Chemical formula	MV(cm ³)	Reaction	Mineral phase Chemical formula	MV(cm ³)	+ΔMV(%)
Anhydrite CaSO ₄	45.94	Hydration	Bassanite 2CaSO ₄ .H ₂ O	61.47	12.0
Anhydrite CaSO ₄	45.94	Hydration	Gypsum CaSO ₄ .2H ₂ O	74.31	61.8
Aragonite CaCO ₃	34.14	Phase transformation	Calcite CaCO ₃	36.93	8.2
Bassanite 2CaSO ₄ .H ₂ O	61.47	Hydration	Gypsum CaSO ₄ .2H ₂ O	74.31	43.7
Calcite CaCO ₃	36.93	Phase transformation	Vaterite CaCO ₃	39.41	6.7
Hannebachite 2CaSO ₃ .H ₂ O	51.27	Oxidation	Bassanite 2CaSO ₄ .H ₂ O	61.47	0.4
Hannebachite 2CaSO ₃ .H ₂ O	51.27	Oxidation+ Hydration	Gypsum CaSO ₄ .2H ₂ O	74.41	44.9
Iron Fe(2Fe)	7.09	Oxidation	Hematite Fe ₂ O ₃	30.28	213.5
Lime CaO	16.76	Hydration (slaking)	Portlandite Ca(OH) ₂	33.06	97.3
Montmorillonite (2 H ₂ O)	162.8	Hydration	Montmorillonite (3 H ₂ O)	170.0	<5
Priclase MgO	11.25	Hydration	Brucite Mg(OH) ₂	40.90	263.6
Portlandite Ca(OH) ₂	33.06	Carbonation	Calcite CaCO ₃	36.93	11.7
α- Quartz SiO ₂	22.93	Phase transformation	α- Quartz SiO ₂	23.75	3.56
Thenardite Na ₂ SO ₄	53.33	Hydration	Mirabilite Na ₂ SO ₄ . 10H ₂ O	290.8	312.2
Water H ₂ O	19.7	Freezing	Ice H ₂ O	18.0	9.44

جدول (۱۴-۳)، تغییرات حجم بعضی از کانی ها در واکنش با آب (کوهنل^۱ و همکاران، ۲۰۰۴)

اکسیدهای آهن و هیدراتها محصولات اصلی هوازدگی هستند، اکسیدها معمولاً قرمزنده و هیدراتها زرد تا قهوه ای تیره می باشند. سولفور ها نیز بوسیله هوازدگی اکسیده می شوند، برای مثال پیریت به صورت زیر می شکند:



اسید سولفوریک سولفات فروس (ferrous sulphate) پیریت



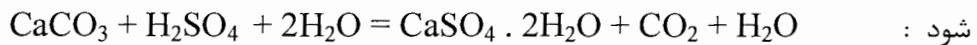
سولفات فریک (ferric sulphate)



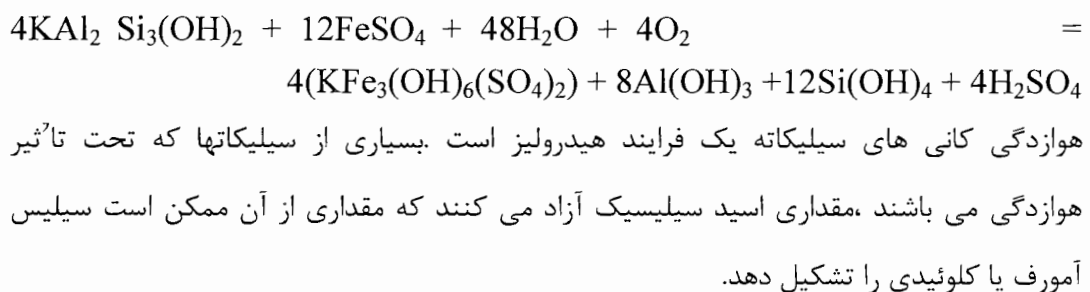
^۱- Kuhnel

واکنش ۱-۳ آغاز اکسیداسیون پیریت است و باعث تشکیل اسید سولفوریک می شود. زمانی که PH به زیر ۴ برسد شرایط برای اکسیداسیون بیوتیکی پیریت بوسیله *Thiobacillus ferrooxidans* بسیار مناسب می شود. واکنش ۲-۳ باعث تبدیل سولفات فروس به سولفات فریک می شود و واکنش ۳-۳ اغلب باعث تولید اسید می شود و می تواند با هوا انجام شود.

اسید سولفوریک ممکن است که برای تشکیل ژپس با کلسیت واکنش دهد و باعث انبساط حجمی شود :



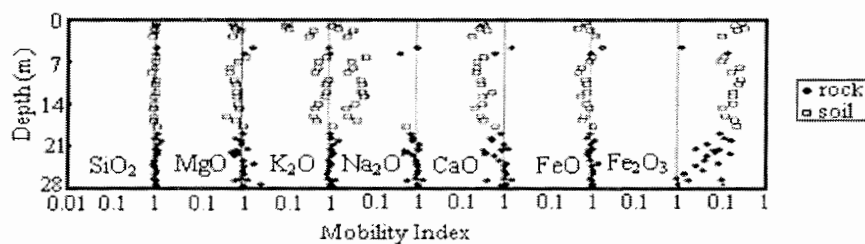
جاروسیت^۱ نیز ممکن است بوسیله واکنش سولفات فروس با ایلیت تشکیل شود که می تواند باعث انبساط در حجم شود.



برای فهمیدن میزان کاهش یا افزایش عناصر در طول هوازدگی، همه عناصر سنگ هوازده نسبت به سنگ اولیه نرمالایز می شوند ($X_{\text{sample}} / X_{\text{parent}}$) که این نسبت به صورت رابطه زیر تعریف می شود:

$$\text{Mobile..Index}(I_{\text{Mob}}) = (\text{Mob}_{\text{Fresh}} - \text{Mob}_{\text{Weathered}})$$

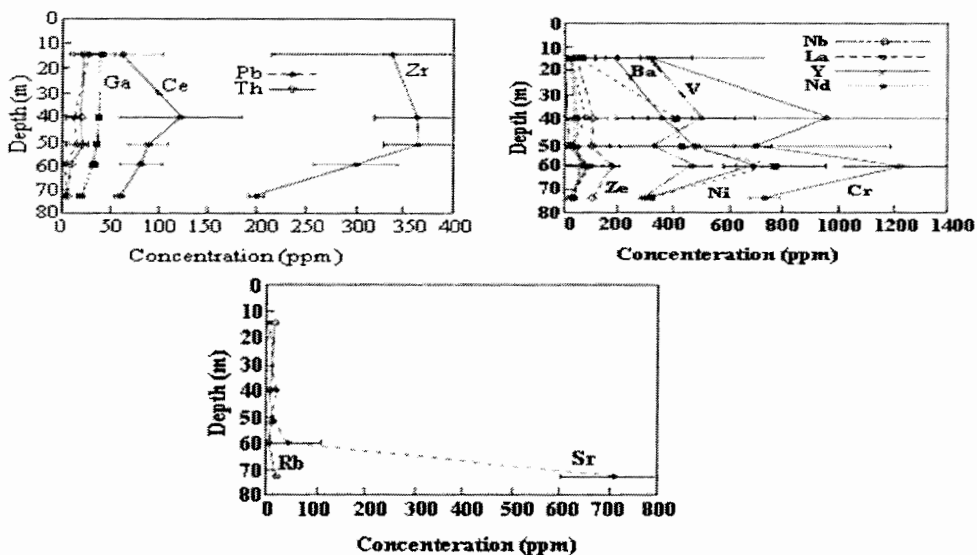
اگر این نسبت کمتر از یک باشد، نشان دهنده تهی شدگی عنصر (متحرک بودن در طول هوازدگی) در نمونه های هوازده نسبت به سنگ اصلی می باشد و اگر این نسبت بیشتر از ۱ باشد، نشان دهنده غنی شدگی آن عنصر می باشد (شکل ۱۵-۳).



شکل (۱۵-۳)، تغییر MIS عناصر اصلی سنگهای گرانیتی با افزایش عمق (گوان^۲ و همکاران، ۲۰۰۱)

^۱- Jarosite
^۲- Guan

به طور کلی ، هوازدگی باعث کاهش Fe^{+2} و Si^{+4} و افزایش آب و $\text{Al}, \text{Ti}, \text{Mn}$ ، $\text{Na}, \text{K}, \text{Mg}, \text{Ca}$ در داخل ساختار کانی ها و سنگ میشود(شکل ۱۶-۳). این تهی شدگی ها مرتبط با تجزیه کانی های سنگ، نوع و فراوانی کانی های رسی می باشد.



شکل (۱۶-۳)، تغییرات در تمرکز عناصر کمیاب بازالت با افزایش عمق (مون^۱ و همکاران، ۲۰۰۴)

جانشینی $\text{Mg}, \text{Ca}, \text{Fe}^{+2}$ با H^+ یا Al^+ به دو دلیل باعث ایجاد ضعف در ساختار کانی ها شده و از این رو باعث افت مقاومت خواهد شد: ۱- کاتیونهای جانشین شده بار یونی متفاوتی نسبت به کاتیونهای اولیه داشته و این امر باعث ایجاد ناپایداری یونی خواهد شد. ۲- شعاع یونی کاتیونهای جانشین شده کوچکتر از کاتیونهای اولیه می باشد و کاهش شعاع یونی باعث درهم گسیختگی زاویه های بین یونی در داخل ساختار بلور شده و این امر منجر به کاهش مقاومت پیوند ها و در نهایت ضعف در ساختار بلوری خواهد شد، هر چند ممکن است که کانی شناسی کلی سنگ تغییر نکرده باشد(مون و همکاران، ۲۰۰۴). سیلیکاتهای مافیک معمولاً بسیار سریعتر از سیلیکاتهای فلزیک تخریب می شوند و در این فرایند، آنها منیزیم و آهن و مقادیر کمتری از کلسیم و آلکالی ها را از دست می دهند. اولیوین ناپایدار ترین کانی است و معمولاً به شکل سرپانتین تجزیه می شود و با هوازدگی بعدی تبدیل به تالک و کربنات می شود. کلریت معمولی ترین محصول آلتراسیون پیروکسن ها و آمفیبیول ها است. فلدسپاتها در هنگام هوازدگی شیمیابی به کانی های رسی تجزیه می شوند و در نتیجه کانی های

^۱ - Moon

رسی فراوانترین محصول هوازدگی است که بر جا می مانند. این فرایند در نتیجه هیدرولیز فلدسپارها بوسیله آبهای کمی کربناتی انجام می شود و باعث تجزیه فلدسپارها و تولید رس ها به شکل کلوئیدی می شود. توالی هوازدگی بعضی کانی ها به کانی های رسی بصورت زیر می باشد:

- ۱- کائولینیت → هیدرومیکا → سریسیت → فلدسپار
- ۲- کائولینیت → هالوسیت → مونتموریلونیت → کلریت → پیروکسن و هورنبلند
- ۳- کائولینیت → مونتموریلونیت → ورمیکولیت → بیوتیت
- ۴- کوارتز ثانویه → کالسدونی → سیلیس → کوارتز

عناصر آلکالن معمولاً در حالت محلول جابجا می شوند، مانند کربناتها از ارتوکلاز(K_2CO_3) و آلبیت(Na_2CO_3) و بی کربناتها از آنورتیت ($Ca(HCO_3)_2$). بعضی سیلیکاتها نیز به صورت اسیدسیلیسیک هیدرولیز می شوند. واکنش زیر به طور تقریبی آن را بیان می کند:



رسهای کلوئیدی در نهایت به صورت تجمعاتی از کانی های رسی متبلور می شوند. رسهای سیلیکاتهای آلومینیوم هیدراته می باشندو هنگامی که در معرض هوازدگی شیمیایی در آب و هوای مرطوب قرار گیرند، به صورت لاتریت و بوکسیت در می آیند. این کانی ها در اثر آبگیری متورم شده و باعث انبساط حجمی و تخریب سنگها می شوند. میزان تورم کانی های رسی متفاوت می باشد:

کائولینیت > هالوسیت > ایلیت > مونتموریلونیت

نوع یونهای موجود(به عنوان اجزاء نامحلول) در سیالات ترکننده نیز بر میزان تورم کانی های رسی تاثیر دارد، برای مثال میزان تورم مونتموریلونیت هنگامی که یونهای دوظرفیتی و یک ظرفیتی به ترتیب $H > Mg > Ca > K > Li$ (جانشین Na شوند، کاهش می یابد)(میتچل^۱، ۱۹۹۳).

۳-۵ طبقه بندی سنگهای هوازده:

موی^۲ (۱۹۵۵) یکی از اولین افرادی بود که یک سیستم طبقه بندی برای درجه هوازدگی در گرانیت ها ارائه کرد. طبقه بندی های دیگر بوسیله افرادی مانند کریچ^۳ و تریچر^۴ (۱۹۵۵)، روکستون^۵ و بری

¹ - Mitchell

² - Moye

³ - Kiersch

⁴ - Treacher

⁵ - Ruxton

(۱۹۵۷)، فوکس و همکاران (۱۹۷۲)، کنیل وجونز^۱ (۱۹۶۵)، لیتل (۱۹۶۹)، فوکس و هورویل^۲ (۱۹۷۰) ارائه شد. این طبقه بندی‌ها بیشتر براساس درجه تجزیه سنگ و برای سنگ‌های گرانیتی بکار رفته‌اند. دیرمن^۳ (۱۹۷۴) توصیفاتی را برای شناسایی درجه هوازدگی مکانیکی سنگ‌های کربناته استفاده کرد. افراد دیگری روی سنگ‌های مختلف کار کرده‌اند و طبقه بندی‌هایی را برای درجه هوازدگی ارائه کرده‌اند. برای مثال فوکس و لاوگرو (۱۹۷۲) تغییرات جزئی رادر طبقه بندی‌های فوق دادند و از آنها برای شناسایی درجه هوازدگی در توفهای ولکانیکی و رسوبات مرتبط با آن در فیجی استفاده کردند. طبقه بندی‌های دیگری بوسیله انجمن زمین‌شناسی (آنون، ۱۹۷۷) و انجمن بین‌المللی زمین‌شناسی مهندسی و مکانیک سنگ (آنون، ۱۹۸۱) طبقه بندی هنچر و مارتین (۱۹۸۶) ارائه شدند.

۳-۵-۱- طبقه بندی هوازدگی بر اساس شاخص‌های شیمیایی و پتروگرافی :

شاخص‌های شیمیایی و پترولولوژیکی یک ابزار نسبتاً دقیق برای تعیین درجه آلتراسیون شیمیایی سنگ می‌باشد. این شاخص‌ها معمولاً بر اساس درصد وزنی اکسیدهای سنگ ارائه شده‌اند. ریچ (۱۹۴۳) شاید اولین کسی بود که یک شاخص هوازدگی شیمیایی را تعریف کرد، این شاخص‌ها بنام شاخص پتانسیل هوازدگی (WPI) و شاخص تولید (PI) می‌باشند و بصورت زیر می‌باشند:

$$WPI = \frac{[K_2O + Na_2O + CaO + MgO - H_2O] * 100}{SiO_2 + Al_2O_3 + Fe_2O_3 + FeO + TiO_2 + CaO + MgO + Na_2O + K_2O} \quad (1-3)$$

$$PI = \frac{SiO_2 * 100}{SiO_2 + Al_2O_3 + Fe_2O_3 + FeO + TiO_2} \quad (2-3)$$

کاهش WPI به نظر می‌آید که بعلت کاهش کاتیونهای متحرک و افزایش آب هیدروکسیل باشد و کاهش PI بعلت کاهش میزان سیلیس با آغاز هوازدگی می‌باشد. این شاخص به محتوای عناصر آلکالی در سنگ مادر بسیار حساس است (آناند و همکاران، ۲۰۰۱).

لومب (۱۹۶۲) یک شاخص کانی‌شناسی را بر اساس درجه تجزیه (X_d) تعریف کرد:

$$X_d = (N_q - N_{q0}) / (1 - N_{q0}) \quad (3-3)$$

که در آن N_q و N_{q0} بترتیب نسبت وزنی کوارتز و فلدسپات در سنگ هوازده و تازه می‌باشد.

¹ - Jones

² - Horwill

³ - Dearman

منذر^۱ و همکاران (۱۹۶۶)، شاخص کیفی میکروپتروگرافیک (ki) را ابداع کردند که کانی های سالم را از کانی های هوازده در سنگ جدا می کند.

$$ki = \frac{\sum_{i=1}^n P_i X_i}{\sum_{i=1}^m P_j X_j} = \frac{Sound..Minerals\%}{(Unsound..Minerals + Voids + Fissures)\%} \quad (4-3)$$

که در اینجا n و X_i درصد های کانی های سالم یا کانی هایی هستند که تاثیر مناسبی در رفتار مکانیکی سنگها دارند و Z درصد کانی های آلترا شده و ضرایب P_i و P_j میزان تاثیر کانی ها را در خصوصیات مکانیکی سنگها نشان می دهند..

روکستون (۱۹۶۸)، بر فرض اینکه یون آلومینیوم در طول هوازدگی ثابت می ماند، شاخص دیگری را

$$Silica - Alu\ min\ a..Ratio = \frac{SiO_2}{Al_2O_3} \quad (5-3)$$

بصورت زیر تعریف کرد: او اظهار کرد که این یک شاخص مناسب برای هوازدگی شیمیایی در محیط های زهکشی نشده و محیط های اسیدی آب و هوای مرطوب می باشد و فقط در مورد سنگهای اسیدی بکار می رود. برای سنگهای بازیک و اولترابازیک که در آنها اسمکتیت و ورمیکولیت بعنوان محصولات هوازدگی تولید می شوند، این شاخص مناسب نمی باشد (ایران، ۱۹۹۶).

پارکر (۱۹۷۰)، شاخصی بنام شاخص پارکر (W_p) ارائه نمود. در شاخص او نسبتهای فلزات آلکالن اصلی و مقاومت پیوندی آنها با اکسیژن به عنوان یک فاکتور مهم می باشد. این شاخص برای انواع سنگ اسیدی، حد واسطه و بازیک و همچنین در مواردی که هیدرولیز عامل اصلی هوازدگی سیلیکاتها می باشد و نیز برای نشان دادن توانایی هوازدگی بیشتر قابل کاربرد می باشد.

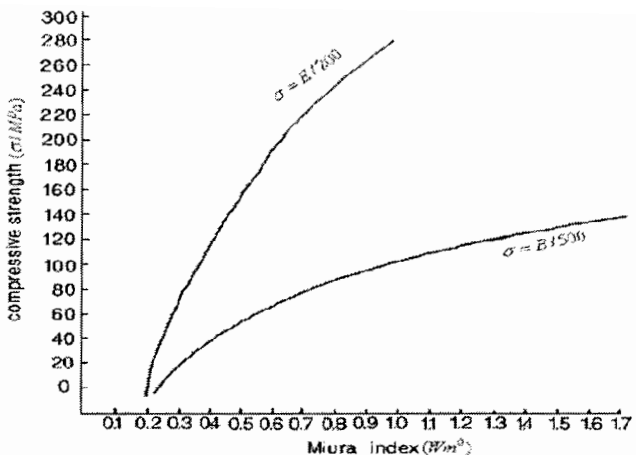
$$W_p = \left[\frac{2Na_2O}{0.35} + \frac{MgO}{0.9} + \frac{2K_2O}{0.25} + \frac{CaO}{0.7} \right] \quad (6-3)$$

میورا^۲ (۱۹۷۳)، اختلاف بین تحرک آهن را در حالت فریک و فروس در نظر گرفت و شاخص میورا (MI) را تعریف کرد (شکل ۱۷-۳):

$$MI = \frac{MnO + FeO + CaO + MgO + Na_2O + K_2O}{Fe_2O_3 + Al_2O_3 + 3H_2O} \quad (7-3)$$

¹ - Mendes

² - Miura



شکل (۱۷-۳)، رابطه شاخص میورا و مقاومت تک محوری (هودر، ۱۹۸۴)

اونودرا^۱ و همکاران (۱۹۷۴) تعداد و عرض میکرو شکافها (شکافهایی با عرض کوچکتر از ۱mm) را به عنوان یک شاخص هوازدگی فیزیکی در گرانیت استفاده کردند. آنها رابطه ای خطی بین تخلخل موثر (n_e) و دانسیته میکرودرزه ها بصورت زیر ارائه نمودند:

$$(طول خط اندازه گیری شده / عرض کل شکافها) \times 100 = n_e$$

آنها همچنین نشان دادند که وقتی دانسیته میکرودرزه ها از $1/5$ درصد به 6 درصد برسد، مقاومت مکانیکی گرانیت به طور سریعی افزایش می یابد.

ایرفان و دیرمن^۲ (۱۹۷۸) یک روش کمی را بر حسب مطالعات پتروگرافی و میکروسکوپی و ماکروسکوپی، برای ارزیابی درجه هوازدگی گرانیت ها را ارائه کردند. مطالعات ماکروسکوپی شامل بررسی میزان تغییر رنگ، تغییر ترکیب و میزان تخریب است که بوسیله خود سنگ نشان داده می شود و مطالعات میکروسکوپی شامل ارزیابی ترکیب کانی ها و درجه آتراسیون کانی ها است که بوسیله آنالیز مودال و آنالیز میکرو شکستگی ها نشان داده می شود. آنالیز میکرو شکستگی ها شامل شمارش میکرو شکافها و حفرات دریک فاصله ۱۰mm در طول یک مقطع نازک و در زیر میکروسکوپ است. انواع میکرو شکافهای شناسایی شده شامل مرزهای دانه ای لکه شده، مرزهای دانه ای باز، میکرو شکاف های لکه شده در کوارتز و فلدسپات، میکرو شکافهای خالی شده در کوارتز و فلدسپات، میکرو شکاف های درون دانه ای، میکرو شکافهای پرشده و یا به طور بخشی پرشده و حفرات موجود در پلازیوکلاز می باشد. این شاخص به صورت زیر است :

¹ - Onodera

² - Dearman

$$I_P = \frac{\text{sound or primary minerals} \%}{\text{unsound constituent}} \quad \text{رابطه (۸-۳)}$$

تشکیل دهنده های unsound شامل کانی های ثانویه و حفرات و میکروشکافها می باشد. بر این اساس ایرفان و دیرمن توانستند ۵ رد و ۳ زیر رد از هوازدگی را در گرانیت ها شناسایی کنند.

روچا فیلهو^۱ و همکاران (۱۹۸۵) شاخصی بنام شاخص Lixivation (β') را تعریف کردند.

$$\beta' = \frac{A_{W\text{eathered}}}{(A_{F\text{resh}} + CaO/MgO)} \quad A = (K_2O + Na_2O)/Al_2O_3 \quad \text{رابطه (۶-۳)}$$

جایاوردن^۲ و ایزاوا^۳ (۱۹۹۴)، فرض کردند که رابطه ای بین TiO_2 و SiO_2 و Al_2O_3 وجود دارد شاخص زیر را تعریف کردند:

$$Si - Ti...index = \frac{SiO_2 / TiO_2}{(SiO_2 / TiO_2) + (SiO_2 / Al_2O_3) + (Al_2O_3 / TiO_2)} \quad \text{رابطه (۵-۳)}$$

این افراد یک رابطه نسبتاً خوب را بین نسبت روکستون، WPI و $H_2O(+)$ مشاهده کردند.

ایرفان (۱۹۹۶) رفتار متفاوت عناصر متحرک و غیر متتحرک را در طول هوازدگی شناسایی کرد و شاخص تحرک را تعریف کرد:

$$Mobile..Index(I_{Mob}) = (Mob_{Fresh} - Mob_{Weathered}) \quad \text{رابطه (۶-۳)}$$

که در اینجا $Mob_{Weathered}$ و Mob_{Fresh} بترتیب مقدار $(K_2O + Na_2O + CaO)$ در سنگ تازه و هوازده می باشند و میزان تحرک عناصر را در سنگهای مختلف نشان داد:

گرانیت: $Na > Ca > K > Mn > Mg > Si > Fe > Al > Ti$

بازالت: $Na > Ca > Mg > K > Si > Al > Fe > Mn > Ti$

ایرفان (۱۹۹۶) از تعدادی از این شاخص ها در ارزیابی بعضی از گرانیتهای هوازده هنک کنگ استفاده کرد و به خوبی به تغییرات ایجاد شده در ترکیب کانی شناسی و فابریک سنگها توجه کرد و این موارد

را با خواص شاخص ساده مهندسی ترکیب کرد. او پیشنهاد کرد که نسبت $\frac{SiO_2}{Al_2O_3}$ یک شاخص خوب

از هوازدگی شیمیایی در محیط های هوازدگی با زهکشی آزاد و عموماً اسیدی آب و هوای مرطوب است، بویژه برای سنگهای اسیدی و حد واسطه که هوازدگی در آنها منجر به تشکیل کائولینیت یا ایلیت

^۱ - Rocha Filho

^۲ - Jayaverdena

^۳ - Izawa

شده است . در مقابل این شاخص برای شرایط هوازدگی که در آنها کانی اسمنتیت از سنگهای آذرین بازیک بوجود می آیند ، مناسب نیست .

بل و لیروکس^۱(۱۹۹۸) نشان دادند که شاخص هایی از قبیل شاخص های پارکر(۱۹۷۰) و ایرفان (۱۹۹۶) که در آنها اکثر اکسیدهای قابل حل از قبیل (CaO,MgO,K₂O,Na₂O) بکار می روند، نشان دهنده های خوبی از درجه هوازدگی در منطقه دوربان آفریقای جنوبی می باشند زیرا در این منطقه تبخیر بیشتر از بارندگی است.

۲-۵-۳ طبقه بندی هوازدگی بر اساس شاخص های مهندسی و خصوصیات سنگها:

ایرفان و دیرمن(۱۹۷۸) پیشنهاد کردند که آزمایشات شاخص استفاده شده برای طبقه بندی درجه هوازدگی باید ساده و سریع و با قابلیت تکرار پذیری باشند و آماده سازی نمونه در آنها سریع و آسان باشد . همچنین این آزمایشات باید وابسته به خواص و رفتار مهندسی سنگ بوده و قادر به تمایز درجه های مختلف هوازدگی و ویژگیهای مهندسی باشند . بعد از یک بررسی وسیع، آنها اظهار کردند که آزمایش جذب سریع^۲ ، چکش اشمیت، آزمایش مقاومت بار نقطه ای ، آزمایشات مناسبی برای تعیین شاخص هوازدگی در گرانیت ها می باشند به طور مشابه، بل و لیروکس(۱۹۹۸) از میزان رطوبت، درجه آبگیری، جذب سریع، دانسیته کلی و مقاومت بار نقطه ای برای تعیین درجه هوازدگی در گرانیتهاي آفریقای جنوبی استفاده کردند .

شاخص هوازدگی دیگری(K) برای سنگهای گرانیتی بوسیله ایلیو^۳(۱۹۶۶) ارائه شد. این ضریب بر پایه

$$K = (V_F - V_W) / V_F \quad \text{سرعت امواج مافوق صوت در سنگ می باشد:}$$

که در اینجا V_F و V_W سرعت امواج در سنگهای تازه و هوازده می باشد (جدول ۷-۳)

جدول (۷-۳) درجه هوازدگی بر اساس سرعت امواج صوتی(ایلیو، ۱۹۶۶)

درجه هوازدگی	سرعت امواج صوتی ($m s^{-1}$)	ضریب هوازدگی
تازه	< ۵۰۰۰	.
کمی هوازده	۵۰۰۰-۴۰۰۰	۰/۲-۰
نسبتاً هوازده	۴۰۰۰-۳۰۰۰	۰/۴-۰/۲
خیلی هوازده	۳۰۰۰-۲۰۰۰	۰/۶-۰/۴
شیداً هوازده	< ۲۰۰۰	۱ - ۰/۶

^۱ - Le roux

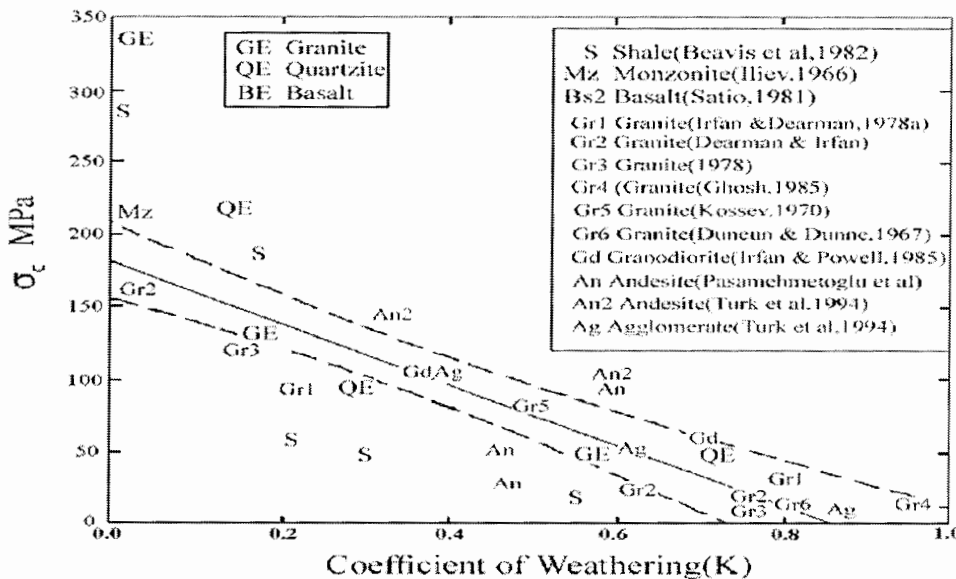
^۲ - quick absorbtion

^۳ - Ilive

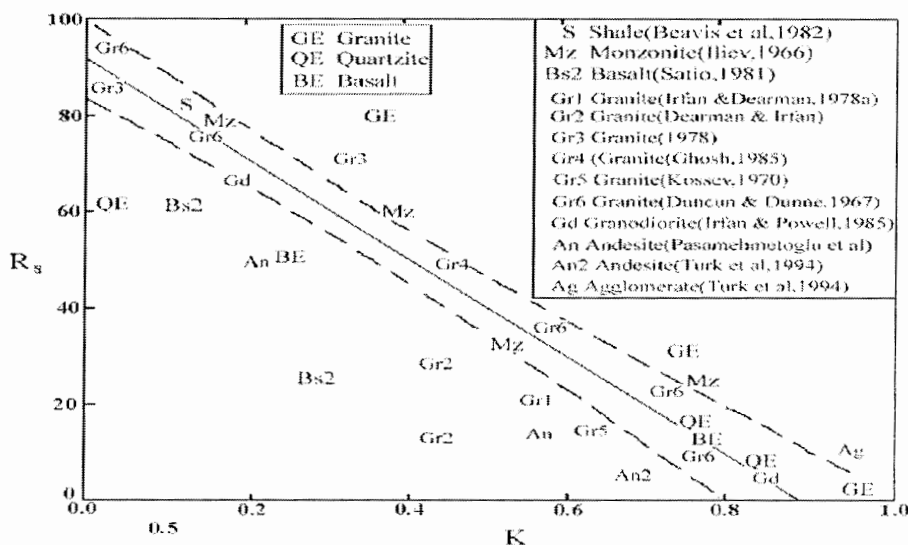
گوپتا^۱ و همکاران (۲۰۰۱) نیز شاخصی را بصورت زیر تعریف کردند (شکل ۳-۱۸ و ۳-۱۹):

$$K = (V_0 - V_W) / V_0$$

شاخص کاهش مقاومت در طول هوازدگی:



شکل (۳-۱۸)، تغییرات K و σ_c در سنگهای مختلف (گوپتا و همکاران، ۲۰۰۱)



شکل (۳-۱۹)، تغییرات K و R_s در سنگهای مختلف (گوپتا و همکاران، ۲۰۰۱)

۶-۳ طبقه بندی مهندسی سنگها

^۱-Gupta

۱-۶-۳ طبقه بندی از نظر دوام :

دوام سنگ در برابر هوازدگی می تواند به عنوان معیاری برای تعیین مقاومت سنگ در برابر هوازدگی باشد. بناآنکه وهمکاران (۲۰۰۱)، یک مطالعه تجربی را برای هوازدگی نمک انجام داده و بر اساس آن یک طبقه بندی را برای دوام سنگها ارائه کردند (جدول ۱-۸). سنگهای گروه ۱ در برابر هوازدگی نمک بسیار مقاوم بوده و سنگهای گروه ۴ بسیار ضعیفند.

جدول (۱-۸)، طبقه بندی سنگها بر اساس افت وزنی در برابر نمک (بناآنکه وهمکاران، ۲۰۰۱)

درجه ۴	درجه ۳	درجه ۲	درجه ۱	درجه بندی
$10 < DWL$	$5 < DWL < 10$	$1 < DWL < 5$	$DWL < 1$	

DWL : Dry weight loss (%)

گمبل (۱۹۷۱) سنگها را بر اساس شاخص دوام وارفتگی دومین مرحله طبقه بندی نمود. این طبقه بندی در صورتی که آزمایش دوام با استفاده از آب معمولی 20°C انجام شود، به عنوان شاخصی برای رده بندی سنگها مورد استفاده قرار می گیرد (جدول ۹-۳).

جدول (۹-۳) رده بندی سنگها بر اساس شاخص دوام دومین مرحله (گمبل، ۱۹۷۱)

رده بندی	شاخص دوام دومین مرحله (%)
خیلی ضعیف	۰ - ۳۰
ضعیف	۳۰ - ۶۰
متوسط	۶۰ - ۸۵
کمی مقاوم	۸۵ - ۹۵
مقاوم	۹۵ - ۹۸
خیلی مقاوم	۹۸ - ۱۰۰

یک شاخص بسیار مناسب برای نشان دادن دوام و حساسیت سنگ در برابر تر و خشک شدن متواتی و تاثیرات شیمیایی آب، شاخص دوام وارفتگی است که روش تعیین آن توسط فرانکلین و چاندرا (۱۹۷۲) ارائه شدو در سال ۱۹۷۹ توسط انجمن بین المللی مکانیک سنگ به صورت استاندارد در آمد. این افراد سنگها را بر اساس شاخص دوام اولین مرحله طبقه بندی نمودند (جدول ۱۰-۳).

جدول (۱۰-۳)، رده بندی سنگها بر اساس شاخص دوام اولین مرحله (فرانکلین و چاندرا، ۱۹۷۲)

رده بندی	شاخص دوام اولین مرحله (%)
خیلی ضعیف	۰ - ۲۵
ضعیف	۲۵ - ۵۰
متوسط	۵۰ - ۷۵
کمی مقاوم	۷۵ - ۹۰
خیلی مقاوم	۹۰ - ۹۵
شیداً مقاوم	۹۵ - ۱۰۰

^۱ - Gamble

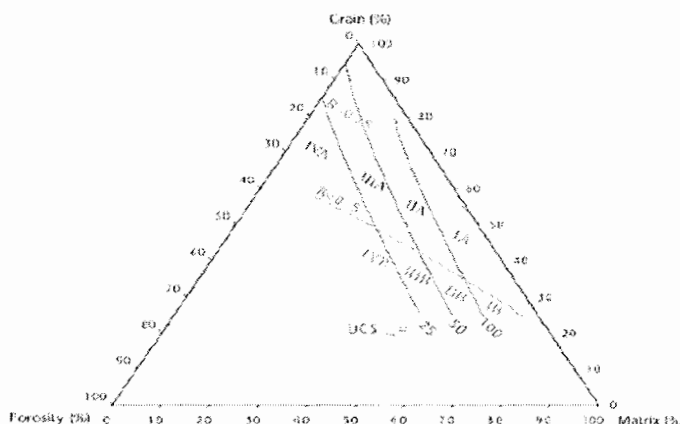
۲-۶-۳ طبقه بندی از نظر مقاومت :

طبقه بندی های مختلفی بر اساس شاخصهای مقاومتی سنگ و بخصوص مقاومت تک محوری برای سنگها ارائه شده است که تعدادی از آنها در جدول (۱۱-۳) آمده است.

طبقه بندی دیگری نیز توسط جنگ^۱ و همکاران (۲۰۰۴) بر اساس درصد دانه و زمینه و تخلخل برای ماسه سنگها ارائه شد و سنگها را به چهار گروه تقسیم نمودند و نشان دادند که چطور ترکیب ماسه سنگ، خواص مکانیکی و ژئوتکنیکی آن را تحت تاثیر قرار می دهد (شکل ۲۰-۳).

جدول (۱۱-۳)، طبقه بندی های مقاومتی مختلف ارائه شده برای سنگها (بل، ۲۰۰۰)

Geological Society(Anon,1977)		IAEG(Anon,1979)		ISRM(Anon,1981)	
توصیف	مقاومت (Mpa) تک محوری	توصیف	مقاومت (Mpa) تک محوری	توصیف	مقاومت (Mpa) تک محوری
خیلی ضعیف	< ۱/۲۵	ضعیف	< ۱۵	خیلی پایین	< ۶
ضعیف	۱/۲۵ - ۵/۰۰	متوسط	۵۰ - ۱۵	پایین	۶ - ۱۰
نسبتاً ضعیف	۵/۰۰ - ۱۲/۵۰	قوی	۱۲۰ - ۵۰	متوسط	۲۰ - ۶۰
نسبتاً قوی	۱۲/۵۰ - ۵۰	قوی	۱۲۰ - ۲۳۰	بالا	۶۰ - ۲۰۰
قوی	۵۰ - ۱۰۰	خیلی قوی	۲۳۰ <	خیلی بالا	۲۰۰ <
خیلی قوی	۱۰۰ - ۲۰۰	شدیداً قوی			
شدیداً قوی	۲۰۰ <				



شکل (۲۰-۳) تقسیم بندی مقاومتی سنگهای اساس درصد هریک از اجزاء سازنده سنگ (جنگ و همکاران، ۲۰۰۴)

در شکل (۲۱-۳) طبقه بندی های مختلف با هم مقایسه شده اند. طبقه بندی دیر و میلر (۱۹۶۶) به عنوان روشی مناسب برای استفاده در مکانیک سنگ شناخته شده است ولی ISRM در سال ۱۹۷۹ آن را کاملتر کرد و یک طبقه بندی جدید ارائه نمود.

^۱ - Jeng

۷۰۰	۱۰۰	۸۰۰	۶۰۰	۴۰۰	۲۰۰
گناس (۱۹۶۹)	خوب معلوم	مجهد	ملوک	مجهد	خوب فهیب
پلر و پیر (۱۹۷۲)	ملوک خوب باشند	خوب معلوم	ملوک مترقب	ملوک باشند	ملوک مترقب
تجسس زمین شناسی (۱۹۷۰)	ملوک معلم	خوب معلوم	ملوک مترقب	ملوک باشند	ملوک فهیب
فرانکن و بروج (۱۹۶۶)	ملوک پسپار معلم	ملوک باشند	ملوک معلم	ملوک معلم	ملوک باشند
زتگر (۱۹۶۳)	ستگاهی باستخی معلم	ستگاهی ساخت	ستگاهی فرم	ستگاهی خوب باشند	ستگاهی خوب باشند
پلارسکر (۱۹۷۳)	ملوک خوب باشند	خوب معلم	ملوک مترقب	ملوک باشند	ملوک فهیب
۱۰۰	۱۰۰	۱۰۰	۱۰۰	۱۰۰	۱۰۰

شکل (۳-۲۱)، مقایسه انواع تقسیم بندی ها مختلف بر اساس مقاومت تک محوری

۳-۷ خواص مهندسی سنگهای آذرین :

۱-۷-۳ گرانیت ها و سنگهای پلوتونیک :

سنگهای درونی بوسیله بافت دانه ای، ساخت توده ای و ترکیب نسبتاً همگن مشخص می شوند. ویژگیهای عمومی این سنگها در جدول (۳-۱۲) آمده است. در حالت غیرهوازده آنها سالم بوده واز دوام و مقاومت کافی برای کاربرد در هر سازه مهندسی برخوردارند. محدوده برخی ویژگیهای مهندسی سنگهای آذرین در جدول (۳-۱۳) آمده است. در بعضی موقع نیز این سنگها ممکن است شدیداً هوازده بوده و یا تحت تاثیر فرایند هیدرولترمال قرار گیرند. کانی های رسی معمولاً محصول هوازدگی آنها می باشند.

جدول (۳-۱۲)، ویژگیهای عمومی سنگهای آذرین (هانت، ۱۹۸۴)

نوع سنگ	مشخصات	نفوذ پذیری	تغییر شکل پذیری	مقاموت
سنگهای آشکار بلور	دانه ها بهم متصل شده و فضای خالی بسیا کم است	اساساً نفوذ ناپذیرند	بسیار کم	بسیار زیاد
سنگهای نهان بلور	دانه ها بهم متصل شده و فضای خالی بسیا کم است و یا اینکه می توانند بسیار نفوذ پذیر باشند	در صورت حفره دار بودن می توانند بسیار نفوذ پذیر باشند	بسیار کم تا کم	بسیار زیاد تا زیاد
سنگهای مخلخل	پوکی زیادی دارند	بسیار زیاد	بسیار کم	نسبتاً کم

مراحل اولیه هوازدگی در گرانیتها معمولاً بوسیله تغییر رنگ مواد مشخص می شود و هر چه درجه هوازدگی افزایش یابد، تغییر رنگ بیشتر می باشد. تغییرات در بافت و کانی شناسی گرانیتها در هنگام هوازدگی می توانند به کمک روش‌های پترولوزیکی و شیمیایی و آزمایشات شاخص آزمایشگاهی بررسی

شوند. هوازدگی همچنین باعث تغییر در خواص مکانیکی سنگها شده و منجر به افزایش دانسیته کلی، تغییر نفوذ پذیری، کاهش مقاومت و افزایش قابلیت دگرشكلي سنگ می شود.

جدول (۳-۱۳)، محدوده برخی از ویژگیهای مهندسی سنگهای آذرین (هانت، ۱۹۸۴).

$E_r \cdot 10^4 (kg/cm^2)$	$U_c (kg/cm^2)$	$\gamma_d (g/cm^3)$	ساخت	بافت	نوع سنگ
۴۹	۱۷۵۰	۲/۶۹	توده ای، دارای درزه های نسبتاً بسه با فاصله زیاد	درشت تا متوسط	گرانیت
۵۶	۱۷۵۰	۲/۸۲		درشت تا متوسط	دیبوریت
۸۴	۲۱۰۰	۲/۸۸		درشت تا متوسط	گالبرو
۵۶	۱۷۵۰	۲/۵۹	توده ای، با درز زیاد و اغلب حفره دار	ریز	ریولیت
۶۳	۱۷۵۰	۲/۶۶		ریز	آندریت
۹۰	۲۸۰۰	۲/۸۵		ریز	بازالت
۷	۷۰	۱/۶۰	توده ای، متخلخل	ریز	توف

۲-۷-۳ سنگهای ولکانیک :

به طور معمول خواص ژئو مکانیکی بازالت ها و دلریت های تازه برای اهداف مهندسی رضایت بخش می باشند، ولی با این وجود بازالتها و دلریتها بیشتر از کانی های بالای سری باون تشکیل شده اند و برای هوازدگی بسیار مستعد هستند. بعضی عوامل مسئول ایجاد یا افزایش هوازدگی در این سنگها شامل سوسوریتی شدن و سریسیتی شدن پلازیوکلازها، تورم و انقباض رسها در اثر آبگیری و آبزدایی و تورم و انقباض بعضی زئولیتها می باشد.

آلتراسیون دویتیریک کانی های اولیه تحت تاثیر گازهای داغ و سیالات ناشی از یک منبع ماقمایی، مسئول تشکیل کانی های رسی ثانویه مانند ناترولیت، بدلت، مونتموریلونیت و کلریت در بازالت ها و دلریت ها می باشند. کانی هایی که بیشتر تمایل به تجزیه دارند شامل الیوین، پلازیوکلاز، پیروکسن، بیوتیت و شیشه آتشفسانی (اگر موجود باشد) می باشند.

بازالت های حاوی ۱۰ تا ۲۰ درصد مونتموریلونیت پتانسیل تخریب بالایی دارند. هنگامی که بازالت یا دلریت در معرض اتمسفر قرار می گیرند، کانی های رسی آنها که در سطح ویا نزدیک سطح قرار دارد اغلب یا دچار افت رطوبت می شوند ویا رطوبت می گیرند، که این امر بستگی به شرایط اتمسفری دارد آبگیری و آبزدایی مکرر باعث تجزیه مکانیکی سنگ شده و منجر به پوسته پوسته شدن و شکستگی های سطحی در سنگ می شود. بعد از تشکیل این شکستگی ها آب از داخل این شکستگی ها عبور می کند و باعث افزایش درجه و میزان هوازدگی می شود. تجزیه بعضی بازالت ها در اثر پدیده

crazing می باشد. crazing شامل تشکیل میکروشکستگی های وسیع در داخل بازالت هایی است که در معرض اتمسفر یا رطوبت قرار دارند . میکروشکستگی ها جهت یابی اتفاقی دارند و مایلند که به هم متصل شوند. عرض آنها از ۱ میلی متر تا ۱۰۰ نانومتر متغیر می باشد. این میکروشکستگی ها با گذشت زمان در مناطق حاوی زئولیت ها و کانی های رسی منبسط می شوند و باعث شکسته شدن بازالت به قطعاتی در اندازه گراویل می شوند . میکروشکستگی ها ممکن است الگوی شعاعی را در اطراف بعضی آمیگدالها تشکیل دهند و این آمیگدالها نقش مهمی را در توسعه این فرایند ها بازی می کنند. میکروشکستگی ها بیشتر در مناطق ضعیف سنگ از قبیل مرزهای دانه ای و کانی های آلتنه شده و.... گسترش می یابند . باوجود اینها درجه تخریب بازالتها و دولریتها بیشتر بوسیله بافت آنها کنترل می شوند(هاسکینز و بل، ۱۹۹۵).

کول و سندی(۱۹۸۰) کانی شناسی و بافت را در ارتباط با دوام داری بررسی کردند . نسبت کانی ثانویه

$$(R_{sm}) = l \quad (PM) / T \quad (R_{sm}) \text{ آنها به صورت زیر است :}$$

که در اینجا P درصد کل کانی های ثانویه موجود در سنگ ، M ، نسبت یک کانی ثانویه خاص و T نسبت بافتی برای سنگ است. آنها یک مقدار بحرانی را برای (R_{sm}) پیشنهاد کردند که برابر با ۱۴۰ است و در بالای آن سنگ غیر قابل استفاده است.

آزمایشات متعددی برای ارزیابی دوام داری و مقاومت بازالت ها و دولریت ها استفاده شده اند و شامل آزمایش تعیین شاخص دوام و آزمایشات مختلف دیگر می باشد.

۴-۸-۳ نهشته های پیروکلاستیک :

نتایج آزمایشات سه محوری در این سنگها نشان می دهد که زاویه اصطکاک با افزایش اندازه دانه و فشردگی سنگ افزایش می یابد . در صورتی که چسبندگی با افزایش اندازه دانه کاهش و با افزایش فشردگی زیاد می شود(بل ، ۲۰۰۰، شولتز و لی) (۱۹۹۵) اظهار کردند که یک فرق محسوس در خواص ژئومکانیکی توفهای توده ای و برجای منطقه نوادا وجود دارد و توفهای برجا دانسیته کلی بالاتر، تخلخل کمتر، مقاومت فشاری و مدول یانگ بیشتری نسبت به توفهای توده ای دارند و علت مقاومت بیشتر توف برجا را تخلخل کمتر و دانسیته بیشتر آن می دانند.

۹-۳ معیارها و آزمایشات اندازه گیری دوام سنگها :

تنوع عواملی که دوام یک ماده مهندسی را کنترل می کنند، پیش بینی زوال پذیری آنها را مشکل می سازد. دانستن ویژگیهایی از مواد که روی آزمایشات مهندسی تاثیر دارند، بسیار مهم است. بنابراین بعلت پوشش در ویژگیهای اندازه گیری شده با طرح یکسری از آزمایشات که همه محدوده ویژگیهای سنگ و بافت آنرا شامل شود، تعداد آزمایشات را به حداقل رساند. در جدول (۱۴-۳) تعدادی از ویژگیهای سنگ که روی نتایج آزمایشات مهندسی تاثیر دارند، آمده است. این جدول دسترسی سریع به توانایی آزمایشات در بیان کمی ویژگیهای سنگ را میسر می سازد.

جدول (۱۴-۳)، پارامترهای مهم مورد استفاده در ارزیابی خصوصیات سنگها (نیکودل ۱۳۶۹)

اندازه دانه	کلیوآر ورخ	میکرو ترک	درصد هوای دگی	ناهمگونی	درصد رطوبت	شکل	بافت	سختی	تخلخل	کاتی شناسی	وزن مخصوص	پارامترهای موثر	
												آزمایشات دوام	جدب آب
	x	x							x				
	x	x							x	x	x		وزن مخصوص
x	x	x	x	x	x		x	x					مقاومت فشاری
x	x	x	x	x	x		x						مقاومت کششی
				x				x	x	x			سختی اشمیت
		x	x		x			x	x		x		آزمایش دوام
			x		x			x	x	x	x		آزمایش تخریب و اسیدگرن
	x	x				x	x		x				آزمایش تر و خشک
	x	x	x		x			x					سلامت سنگ
x	x			x	x	x	x	x			x		آزمایش سایش سریع
x	x	x		x		x	x	x	x		x		سایش لوس آنجلس
x	x	x			x	x	x	x					آزمایش اروش سایش
x	x				x	x	x	x					آزمایش ارزش خرد کردن
x	x	x			x	x	x	x					آزمایش ۱۰٪ ریزی
			x		x				x				سرعت امواج لرزه ای
		x	x		x	x	x	x	x		x		آزمایش ارزش ضربه ای

۹-۱ آزمایشهای پیشنهادی جهت سنجش زوال پذیری و دوام سنگها :

فوکس و همکاران (۱۹۸۸) برای اولین باریک سری آزمایشات فیزیکی، مکانیکی، مشابه سازی و بررسی های سنگ شناسی را برای ارزیابی اولیه دوام مواد را پیشنهاد کرده است (جدول ۱۵-۳).

جدول(۳-۱۵)، طبقه بندی آزمایش‌های مهندسی دوام (فوکس و همکاران، ۱۹۸۸،).

بررسی های سنگ شناسی	آزمایش‌های شبیه سازی	آزمایش‌های مکانیکی	آزمایش‌های فیزیکی
بررسی سنگ شناسی (ASTM C295)	ارزش ضربه ای اصلاح شده (هاسکینگ و تویی ۱۹۶۹).	مقاومت بار نقطه ای (ISRM)	وزن مخصوص(ظاهری، خشک و اشبع) (BS 812)
تعیین کانی های رسی (جذب متیلن بلو اتیلن گلیکو). پراش اشعه ایکس (XRD)	سایش لس انجلس (ASTM C535)	سختی چکش اشمیت دانکن (۱۹۶۹)	جذب اب (BS 812)
	زوال واشنگتن	مقاومت فشاری تک محوری (ISRM)	
	تر و خشک کردن	ارزش ضربه ای مصالح (BS 812)	تعیین تخلخل
	سلامت سولفات (ASTM C88)	ارزش سایش مصالح (BS 812)	
	دوام در برابر انجاماد و ذوب شدن (AASHTO-T103-78)	ارزش خرد کردن مصالح (BS 812)	
	دوام ابدیدگی	۱۰ درصد ریزی (BS 812)	

۱- آزمایشات فیزیکی :

آزمایشات جذب آب و وزن مخصوص مهمترین نشانگر کیفیت ماده می باشند. بویژه آزمایش جذب می تواند به علت وجود کانیهای ثانویه و ترکهای ریز در سنگ در ارزیابی درجه هدایت هیدرولیکی سنگ مفید باشد. این عوارض در مواد سنگی هوازده معمول می باشد.

چگالی سنگ تابع منافذ، درزه ها، شکاف ها و سایر فضاهای باز موجود در سنگ می باشد (جدول ۳-۱۶ و ۳-۱۷). چگالی یک سنگ با افزایش عمق افزایش می یابد، چون با افزایش عمق و در نتیجه افزایش فشار سنگهای فوقانی، درزه ها و ترکهای موجود در سنگ بتدریج بسته می شوند. بنابراین سن سنگ رابطه مستقیمی با چگالی آن دارد. از طرف دیگر هوازدگی سنگها باعث کاهش چگالی آنها می شود، این موضوع به خاطر افزایش درز و ترک در سنگ، تجزیه شیمیابی و تورم بعضی از کانی ها در اثر هوازدگی می باشد. اختلاف در چگالی سنگها بیشتر مربوط به تخلخل آنهاست زیرا چگالی دانه ای اکثر کانی ها به هم نزدیک بوده و بدین ترتیب همبستگی زیادی بین چگالی و تخلخل وجود دارد. تخلخل در سنگها به دلایل مختلفی از جمله شرایط تشکیل (تخلخل اولیه) و فرایندهای ثانویه ای مثل هوازدگی، دگرسانی، انحلال کانی ها، تبلور مجدد وغیره (تخلخل ثانویه) به وجود می آید. تخلخل سنگ بستگی به شکل و توزیع ابعاد دانه ها، استحکام دانه ها، جهت یابی دانه ها، درجه تراکم و سیمانی شدگی دانه ها دارد. چگالی و تخلخل رابطه خوبی با سرعت موج در سنگ دارند.

جدول(۱۶-۳):چگالی نسبی برخی از کانی های متداول(فهیمی فر و سروش، ۱۳۸۰)

کانی	دانسیته خشک	کانی	دانسیته خشک	کانی	دانسیته خشک
زیپس	۲/۳-۲/۴	کلسیت	۲/۷	پیریت	۴/۹-۵/۲
اورتوکلاز	۲/۵-۲/۶	موسکویت	۲/۷-۳	اولیون	۳/۲-۳/۶
کوارتز	۲/۶۵	بیوتیت	۲/۸-۳/۱	کلریت	۲/۶-۳
پلازیوکلاز	۲/۶-۲/۸	پیروکسن	۳/۲-۳/۶	مگنتیت	۴/۴-۵/۲

جدول(۱۷-۳):چگالی برخی از سنگهای متداول (gr/cm^3), (فهیمی فر و سروش، ۱۳۸۰)

سنگ	دامنه چگالی	چگالی متوسط	دامنه چگالی	سنگ	دامنه چگالی	چگالی متوسط	دامنه چگالی	چگالی متوسط
گرانیت	۲/۵۱۶-۲/۸۹	۲/۶۶۷	۲/۸۵۰-۳/۱۲۰	گایرو	۲/۹۷۶	۲/۹۷۶	۲/۸۰۴-۳/۱۱۰	دیباز
گرانودیوریت	۲/۶۶۸-۲/۷۸۵	۲/۷۱۶	۲/۳۳۰-۲/۴۱۳	ریولیت	۲/۹۶۵	۲/۹۶۵	۲/۷۲۱-۲/۹۶۰	دیوریت
سینیت	۲/۶۳۰-۲/۸۹۹	۲/۷۵۷	۲/۸۰۶	کوارتزدیوریت	۲/۸۳۹	۲/۸۳۹	۲/۸۰-۲/۹۶۰	

۲- آزمایشات مکانیکی :

هرچند آزمایشهای مقاومت بار نقطه ای و سختی اشمیت جزء آزمایشهای دوام نیستند، ولی در رابطه با مشخص کردن وضعیت هوازدگی و دگرسانی سنگها قابل استفاده می باشند. کاهش مقاومت بخارط حضور کانی های ثانویه نرم یا ضعیف، شکافها و درزه های ریز و افزایش جذب آب می باشد. مقاومت کششی شاخص مناسبی برای تعیین حساسیت سنگ در برابر تخریب بوسیله فرایند تبلور میباشد. آزمایشات تعیین ارزش ضربه ای و خرد شدگی هم میتوانند در ارزیابی زوال پذیری موادی مورد استفاده قرار گیرند که در معرض فرایندهای تخریب در ضمن ساخت و فرایندهای دینامیکی در طول سرویس دهی قرار دارند و هدف آن اندازه گیری مقاومت مصالح سنگی در مقابل شوک ناگهانی یا ضربه میباشد.

آزمایش مقاومت تک محوری مرسوم ترین آزمون آزمایشگاهی برای مطالعات سنگها می باشد که با وجود ظاهری ساده، انجام دقیق آن بسیار مشکل است. این آزمایش به عنوان آزمایش پایه در اکثر پروژه های مهندسی انجام می شود.

به طور کلی عوامل موثر بر مقاومت فشاری تک محوری سنگها را می توان به دو گروه عمدۀ عوامل داخلی و خارجی تقسیم کرد. عوامل داخلی عواملی هستند که بستگی به خصوصیات ذاتی سنگ دارند مانند ترکیب کانی شناسی، چگالی، تخلخل، ابعاد و شکل دانه ها، شاخص پوکی و ناهمسانگردی سنگ. عوامل خارجی بستگی به روش آزمایش، شرایط محیطی و شخص آزمایش کننده دارد. عواملی چون

ابعاد نمونه،شکل هندسی نمونه،نسبت ارتفاع به قطر،اصطکاک بین صفحات باگذاری دستگاه و نمونه،سرعت بارگذاری،نحوه اتصال نمونه به دستگاه آزمایش،رطوبت نمونه،ترکیب مایعات موجود در نمونه و درجه حرارت از جمله این عوامل هستند.ما از میان این عوامل فقط به بررسی عوامل داخلی (ترکیب کانی شناسی،چگالی و تخلخل،ابعاد و شکل دانه ها) می پردازیم.

۱- ترکیب کانی شناسی:به طور کلی تنفس فشاری وارد به یک نمونه سنگ توسط دو بخش تحمل می گردد،یکی کانی های سنگ و دیگری پیوند بین آنها .طبیعی است که هرچه مقاومت کانی های متشكله سنگ بیشتر باشد،مقاومت کلی آن نیز بیشتر خواهد بود.با افزایش درصد کانی کوارتز در سنگها معمولاً مقاومت آنها زیاد می شود.در سنگهای گرانولار و دانه ای نحوه اتصال کانی ها تاثیر بسیار زیادی روی مقاومت سنگ دارد. وجود مقدار کمی هوازدگی در سنگ باعث کاهش مقاومت مرزی دانه ها شده و بنابراین تاثیر نوع کانی ها بر مقاومت را کاهش داده و خود عامل تعیین کننده می گردد.

۲- چگالی و تخلخل:تعیین ارتباط دقیق بین تخلخل ،چگالی و مقاومت سنگ مشکل است.به نظر می رسد که علت اصلی تاثیر تخلخل بر مقاومت سنگ این است که در مجموعه ای از ذرات که به صورت مکانیکی و مولکولی با یکدیگر پیوند یافته اند، اندازه نیروهای پیوند دهنده با کل سطح تماس بین ذرات متناسب است.به طور کلی مقاومت تک محوری با افزایش چگالی افزایش می یابد.از طرف دیگر با افزایش تخلخل، مقاومت فشاری تک محوری کاهش می یابد.

۳- ابعاد و شکل دانه ها:سطح تماس بین دانه ها با کاهش اندازه متوسط دانه ها و افزایش گرد شدگی افزایش می یابد.از این رو نیروهای متصل کننده ذرات که عامل مقاومت در برابر گسیختگی هستند.در سنگهای ریز دانه بیشتر از سنگهای درشت دانه بوده و در نتیجه استحکام و مقاومت آنها بیشتر می باشد.بررسی ها نشان می دهند که در محیط مرطوب نیز سنگهای درشت دانه نسبت به سنگهای ریز دانه دارای مقاومت کمتری هستند و اختلاف بین مقاومت خشک و اشباع با افزایش ابعاد دانه ها افزایش می یابد.

در اغلب آزمایشات مکانیکی، ماده در حالت خشک آزمایش می شود و ممکن است که شرایط محیط کاربرد سنگ را منعکس نکند.بنابراین ممکن است که ارزیابی غلطی از مقاومت مواد وزوال پذیری سنگها بدست آید.

۳- آزمونهای مشابه سازی :

آزمون های مشابه سازی تا آنجا که ممکن باشد، باید به نحوی باشند که در آنها فرایندهای فیزیکی، شیمیایی و مکانیکی تخریب و تجزیه مواد، مشابه با آنچه که مواد در طول مدت استفاده در سازه مهندسی متحمل می شوند، باشند.

آزمایشهای سایش و دوام، مقاومت مصالح را در مقابل سایش اندازه گرفته و میتوانند ملاک مناسبی جهت کاهش وزن در اثر سایش در مدت زمان کاربرد در سازه ها باشند. نتایج یک آزمایش وقتی در بیش بینی زوال پذیری سنگ مفید خواهند بود که نتایج حاصل از آن با سایر نتایج آزمایشات انجام شده، مورد بررسی قرار گیرند.

دوام به قدرت مقاومت مواد در برابر عوامل مخرب فیزیکی و شیمیایی اطلاق می شود. دوام از ویژگیهای اساسی سنگهای ضعیف و به خصوص سنگهای حاوی کانی های رسی می باشد و شاخص بسیار مناسبی برای نشان دادن حساسیت سنگ در برابر تر و خشک شدن متواتی و تاثیرات شیمیایی آب می باشد. این روش ابتدا توسط فرانکلین و چاندرا در سال ۱۹۷۲ ارائه گردید و سپس در سال ۱۹۷۹ توسط انجمن بین المللی مکانیک سنگ (ISRM) به عنوان استاندارد ارائه شد. دوام داری سنگها بوسیله عوامل متعددی مانند کانی غالب، شکستگیهای ریز، میزان تجزیه و هوازدگی سنگ کنترل می شود. دیک و همکاران (۱۹۹۴) اظهار کردند که اگر چه خصوصیات لیتولوژیکی مختلف بر دوام داری تاثیر دارند ولی انبساط کانی های رسی بیشترین نقش را در آن دارند.

آزمایش مشابه فرایندهایی نظیر یخ زدن و ذوب شدن برای تعیین زوال پذیری، آزمایشهای سلامت سنگ میباشد. نمکی که معمولاً در آزمایشات استفاده می شود، سولفات سدیم می باشد. تحت شرایط حرارت و فشار اثاق سیستم آب- سولفات سدیم دو فاز پایدار میرabilيت ($\text{Na}_2\text{SO}_4, 10\text{H}_2\text{O}$) و تناردیت (Na_2SO_4) و یک فاز نیمه پایدار ($\text{Na}_2\text{SO}_4, 7\text{H}_2\text{O}$) دارد که این فاز در محیطهای طبیعی شناسایی نشده است (گروسوی و همکاران، ۱۹۹۷). در سیستم آب سولفات سدیم، دو مکانیسم اصلی انتقال فاز عبارتند از اتحاد- تبلور و آب گیری- آبزدایی- واکنشهای اتحاد- تبلور به درجه فوق اشباعی (تمرکز نمک و حرارت) و واکنشهای آبگیری- آبزدایی به رطوبت نسبی و حرارت بستگی دارند. سیستم ($\text{Na}_2\text{SO}_4, \text{H}_2\text{O}$) سه ویژگی مهم دارد که آنرا برای انجام این آزمایشات مناسب می سازد: ۱- فازهای کانی تشکیل شده حجم مولار بالایی دارند و باعث ایجاد زوال و تخریب در سنگها می

شوند. ۲- درجه فوق اشباعی به تغییرات کوچک در حرارت حساس می باشد. ۳- سرعت تشکیل فازهای کانی جامد از آب نمک سریع می باشد(بناؤنده و همکاران، ۲۰۰۱).

این آزمایش علاوه بر جدایش سنگ سالم از سنگ ناسالم، میتواند نشانگر خوبی برای جذب آب، مقاومت کششی و مقاومت در برابر یخ زدگی باشد. لازم بذکر است که نتایج بدست آمده بستگی به شکل و اندازه مصالح و نمونه های سنگی نیز دارد و کاهش وزن در آزمایش سلامت سنگ با افزایش گوشه داری قطعات و اندازه آنها افزایش می یابد.

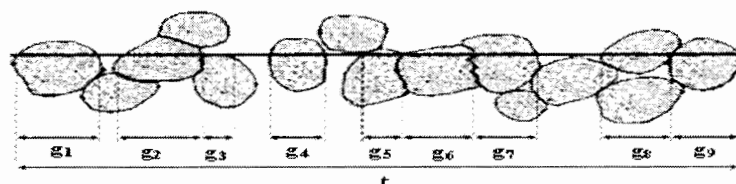
۴- بررسی های سنگ شناسی:

این بخش شامل مطالعات پتروگرافی و میکروسکوپی و بررسی نتایج آزمایشات تجزیه شیمیایی XRF و XRD می باشد. مقادیر LOI و WPI در آنالیزهای شیمیایی نیز می توانند شاخص خوبی برای نشان دادن میزان هوازدگی سنگها بکار روند و با کاهش میزان هوازدگی کاهش می یابند(تپال و همکاران، ۲۰۰۳). بر اساس مشاهدات پتروگرافیک می توان تعدادی از شاخص های هوازدگی و پارامترهای پتروگرافیک را بدست آورده و تاثیرات آنها را در پارامترهای مقاومتی مورد ارزیابی قرار داد (جنگ و همکاران، ۲۰۰۴).

۱- دانسیته فشردگی (Packing density) :

این شاخص برای اولین بار بوسیله کان(۱۹۵۶) بکار رفت و در این شاخص، تعداد مرزها در یک مسافت مشخص شمرده شده و سپس تعداد مرزها در فاصله طی شده بر مقدار این مسافت تقسیم می شود. این شاخص بصورت زیر می باشد (شکل ۲۲-۳):

$$PD = \frac{\sum g_i}{t} \cdot 100\%$$



شکل (۲۲-۳)، روش اندازه گیری دانسیته فشردگی

۲- نسبت سطح دانه (Grain area ratio) :

$$GAR = \frac{A_g}{A_t}$$

A_g : مساحت کلی همه دانه های داخل یک ناحیه مرجع

A_t : سطح کلی در برگرفته شده بوسیله مرزهای ناحیه مرجع

۳- مرز دانه (Grain contact) :

این پارامتر بوسیله دوبرینر و فریتاس (۱۹۸۶) ابداع شد و در آن طول مرزهای یک دانه با هریک از دانه های مجاورش اندازه گیری شده و بر طول کل مرزهای آن دانه تقسیم می شود. این شاخص بصورت زیر می باشد (شکل ۳-۳):

$$GC = \frac{\sum L_n}{L}$$

L : طول کلی همه مرزهای دانه



شکل (۳-۳)، روش اندازه گیری پارامتر مرزدانه

۴- فاکتور شکل (Form factor) :

$$FF = \frac{4\pi A}{L^2}$$

L : طول مرزهای دانه

A : مساحت دانه

۵- میانگین اندازه دانه (d_{mean}) :

به میانگین قطر همه دانه های داخل یک ناحیه مرجع اطلاق می شود.

تعیین سرعت صوت در داخل سنگ نیز شاخص مناسبی برای تعیین خصوصیات مکانیکی سنگها می باشد. سرعت صوت در سنگها بستگی به مقاومت فشاری و کششی سنگ و به طور کلی کیفیت سنگ دارد. از عوامل موثر بر سرعت امواج صوتی در سنگ می توان به نوع سنگ، بافت، چگالی، تخلخل، سطح تنیش، ناهمسانگردی، درصد رطوبت و درجه حرارت اشاره نمود. سرعت امواج صوتی در سنگ متناسب با سرعت صوت در کانی های تشکیل دهنده آن می باشد (جدول ۳-۱۸ و ۳-۱۹). سرعت امواج در سنگ

به اندازه دانه ها نیز بستگی دارد و باریزدانه شدن بافت سنگ افزایش می یابد. افزایش چگالی باعث افزایش سرعت شده و رابطه این دو ممکن است خطی یا غیر خطی باشد.

جدول (۱۸-۳): سرعت امواج طولی در برخی کانی های متداول (فهیمی فرو و سروش، ۱۳۸۰)

V_p (m/s)	کانی	V_p (m/s)	کانی	V_p (m/s)	کانی	V_p (m/s)	کانی
۶۶۰۰	کلسیت	۵۸۰۰	اورتوکلاز	۷۲۰۰	اوژیت	۶۰۵۰	کوارتز
۷۴۰۰	مگنتیت	۶۲۵۰	پلازیوکلاز	۵۸۰۰	مسکویت	۸۴۰۰	اولیوین
۷۲۰۰	آمفیبول	۸۰۰۰	پیریت	۷۴۵۰	اپیدوت	۵۲۰۰	گچ

جدول (۱۹-۳): سرعت امواج طولی در برخی سنگهای متداول (فهیمی فرو و سروش، ۱۳۸۰)

سنگ	گایپرو	بارالت	کوارتزیت	گرانیت
V_p^* (m/s)	۷۰۰۰	۷۰۰۰-۶۵۰۰	۶۰۰۰	۶۰۰۰-۵۵۰۰

سرعت امواج با افزایش تخلخل کاهش می یابد. مرطوب بودن سنگ نیز معمولاً باعث بالا رفتن سرعت امواج طولی می شود ولی از آنجا که امواج عرضی از بخش جامد سنگ عبور می کند، میزان رطوبت تاثیر چندانی روی سرعت آنها ندارد. در صورتی که سنگ کاملاً اشباع باشد، سرعت امواج در سنگهایی که تخلخل زیاد دارند کمتر از سنگهایی است که تخلخل کمی دارند، چون سرعت امواج طولی در آب کمتر از متن سنگ است.

فصل چهارم

پیرو گرافی

۱-۴ مقدمه

در این فصل به توصیف ویژگی های میکروسکوپی ۶۰ نمونه برداشت شده از موج شکنها و معادن سنگ آنها می پردازیم . در بحث پتروگرافی مسائلی از قبیل بافت ، ترکیب کانی شناسی ، ترتیب تبلور کانی ها و شواهد میکروسکوپی تحولات ماقمایی نظیر تبلور تفریقی ، هضم ، آلایش و ... مورد نظر می باشد . با توجه به اهمیت مطالعات پتروگرافی در تعیین خصوصیات فیزیکی ، دوام سنگ ها و بررسی فرایندهای هوازدگی موجود در سنگ ها ، از نمونه ها برداشت شده از موج شکن ها و معادن سنگ آنها ، مقطع نازک تهیه شد . طیف ترکیبی سنگ های آذرین شامل ریولیت، توف ریولیتی، بازالت، گرانیتوئیدها ، گابرو ، داسیت ، سینیت و... می باشد. با توجه به ماهیت درونی و طبیعت اسیدی این سنگها در این فصل ابتدا به طبقه بندی مودال آنها می پردازیم و سپس هر یک از گروههای اصلی آنها را به تفصیل مورد بررسی قرار می دهیم.

۲-۴ طبقه بندی مودال سنگهای آذرین:

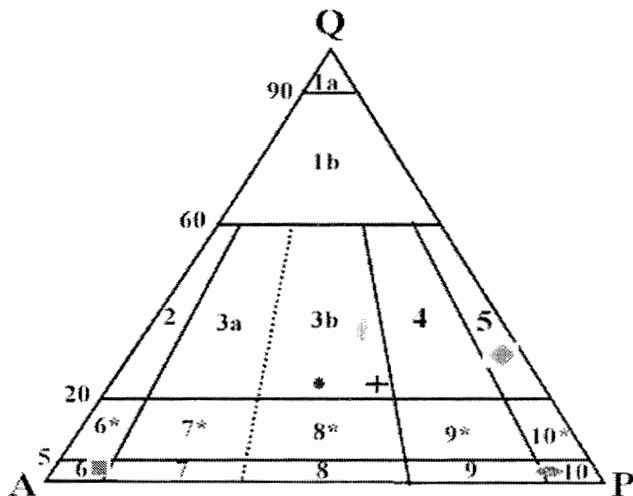
در این فصل با استفاده از روشهای طبقه بندی مودال اشتريکایزن(۱۹۷۴) سنگهای منطقه مورد مطالعه طبقه بندی شده اند. در این طبقه بندی به کمک دستگاه شمارنده نقاط، کانیهای موجود در سنگ شمارش می شوند. سپس عدد شمارش شده برای هر کانی در عدد ۱۰۰ ضرب و بر مجموع کل نقاط شمارش شده تقسیم می شود تا درصد فراوانی هر کانی مشخص گردد. آنگاه با استفاده از دیاگرام اشتريکایزن نام سنگ تعیین می گردد. به منظور نامگذاری سنگهای منطقه مورد مطالعه به روش مودال، تعداد ۶ نمونه مقطع نازک از گروههای سنگی مذکور انتخاب و آنالیز مودال شده و با روش اشتريکایزن(۱۹۷۶ و ۱۹۷۴) طبقه بندی و نامگذاری گردیده اند.

۱-۲-۴ طبقه بندی مودال اشتريکايزن

این طبقه بندی که روش پيشنهادی كميته سنگ شناسی اتحاديه بين المللي علوم زمين(I.U.G.S) می باشد با استفاده از نسبت های مودال کوارتز Q ، فلدسپات آلكان A، پلاژيوکلاز P و فلدسپاتوئيد F صورت می گيرد. برای تعیین محل هر نمونه در دیاگرام مثلثی اشتريکايزن، ابتدا مقدار کانیهای شمارش شده را درصدگیری کرده و سپس مشکله های سه رأس مثلث را مجدداً به ۱۰۰ رسانده و سپس نقاط معرف هر نمونه را به دیاگرام منتقل می نمایند(شکل ۱-۴). نتایج آنالیز ۶ نمونه در جدول (۱-۴) آمده است.

جدول (۱-۴)، نتایج آنالیز مودال سنگهای منطقه

G&Opaq	Px	OI	Bio	Es	Amph	Alk-Fel	Plg	Q	نام سنگ	شماره نمونه	ردیف
۶			۲			۳۱	۲۷	۲۷	ریولیت	BD12	۱
۴	۸	۴			۸		۷۶		بازالت	G1	۲
۸	۹	۳			۶		۷۴		گابرو	LD10	۳
۴			۲	۲		۱۵	۶۵	۲۲	گرانودیبوریت	KS9	۴
				۱	۴	۱۱	۵۶	۲۲	داسیت	RD8	۵
۶						۷۴	۱۲	۴	سینیت	SHT2	۶



شکل ۱-۴: دیاگرام QAPF مودال اشتريکايزن(۱۹۷۶) و موقعیت نمونه های مورد مطالعه بر روی آن

- ▲ گابرو:
- ریولیت :
- ◆ داسیت:
- سینیت:
- + گرانیت:
- بازالت:

جدول (٤-٣)، اسامی نمونه های برداشت شده و محل برداشت آنها

اداوه جدول (۴-۳)

ادامه جدول (۴-۳)

مشخصات مسنجها									نام سنگ	شماره نمونه	معدن موردنیستاده	نام شکن
هزارگی	وزنیت	کانی های ثانویه	کانی های اصلی	گرانی های اصلی	سالم	سفید	بافت	توف	توف	توف	توف	توف
تشكيل کاني رسی و تغيير رنگ و سالپيش	درز و ترک	فاقد درز و حفره و شکاف و حفره	کلسيت سرسبيت	کوارتز پلاريزکارز	خاکستری	ساختمان	توفه ای	توفه ای	توفه ای	توفه ای	RT12	
تشكيل کاني رسی و ابعاد حفره و تغيير رنگ	درز و ترک	فاقد درز و حفره و شکاف و حفره	آبیوت کلریت	کوارتز پلاريزکارز بیوقیت	سفید	سفید	توفه ای	توفه ای	توفه ای	توفه ای	RT14	
تشكيل کاني رسی و ابعاد حفره و تغيير رنگ	درز و ترک	فاقد درز و حفره و شکاف و حفره	سرسبيت کلسيت	کوارتز پلاريزکارز	سفید	سفید	توفه ای	توفه ای	توفه ای	توفه ای	RT15	
تشكيل کاني رسی و ابعاد حفره و تغيير رنگ	درز و ترک	فاقد درز و حفره و شکاف و حفره	آبیوت کلسيت	کوارتز پلاريزکارز آمفيول	سفید تا سبز	سفید تا سبز	توفه ای	توفه ای	توفه ای	توفه ای	RT16	
تشكيل کاني رسی و ابعاد حفره و تغيير رنگ	درز و ترک	حاوی درز و شکاف و شکاف	آبیوت کلسيت	کوارتز پلاريزکارز آمفيول	سفید مابل	سفید به خاکستری	توفه ای	توفه ای	توفه ای	توفه ای	RT17	
تشكيل کاني رسی و ابعاد حفره و تغيير رنگ	درز و ترک	حاوی درز و شکاف و شکاف	سرسبيت کلسيت آبیوت	کوارتز پلاريزکارز بیوقیت	سفید	سفید	توفه ای	توفه ای	توفه ای	توفه ای	RT18	
تشكيل کاني رسی و ابعاد حفره و تغيير رنگ	درز و ترک	حاوی درز و شکاف و شکاف	سرسبيت آبیوت	کوارتز پلاريزکارز آکالی فلدسبات شيشه	سفید	سفید	توفه ای	توفه ای	توفه ای	توفه ای	KS9	
تشكيل کاني رسی و ابعاد حفره و تغيير رنگ	حفره دار و فاقد درز و شکاف	سرسبيت آبیوت کلسيت کلریت	کوارتز پلاريزکارز بیوقیل	خاکستری تیره	خاکستری تیره	خاکستری تیره	توفه ای	توفه ای	توفه ای	توفه ای	گرانولار با زمینه افیشک	
تشكيل کاني رسی و ابعاد حفره و تغيير رنگ	حفره دار و فاقد درز و شکاف	سرسبيت آبیوت کلسيت کلریت	کوارتز پلاريزکارز بیوقیل	خاکستری تیره	خاکستری تیره	خاکستری تیره	توفه ای	توفه ای	توفه ای	توفه ای	گرانولار با زمینه افیشک	
											گرانولار با زمینه افیشک	
											گرانولار با زمینه افیشک	

ادامه جدول (۴-۲)

معادن مورد استفاده	نام شماره	نام سنج	بافت	ساخت	مشخصات سنجها			موج شکن بندر لرگه
					زمین	هوارده	سلیم	
هوارده‌گی	و ضیبت	دز و ترک	کالی های ثانویه	کالی های اصلی سازندۀ سنسی	کلربت	پلاریزور کلارز پیروکسین آمفیبول	سوزن تبره	Ls8
تشکیل کالی رسی	و شکاف و حفره	فائد دز	ابدoot کلسیت	ابدoot کلسیت	کلربت	پلاریزور کلارز پیروکسین کالی اپک	سوزن تبره	دیلار گرانولار آفتیستک
رنگ واژالتی شدن	و ایجاد حفره و تغییر	فائد دز	ابدoot کلسیت	ابدoot کلسیت	کلربت	پلاریزور کلارز پیروکسین کالی اپک	سوزن تبره	دیلار گرانولار آفتیستک
تشکیل کالی رسی	و شکاف و حفره	فائد دز	اوالت	اوالت	کلربت کلسیت	ارتوز پلاریزور کلارز آمفیبول اپک	قوهه ای	دیلار گرانولار آفتیستک
رنگ واژالتی شدن	و ایجاد حفره و تغییر	دز	دز و حفره	دز و حفره	کلربت کلسیت	ارتوز پلاریزور کلارز آمفیبول اپک	قوهه ای	دیلار گرانولار آفتیستک
تشکیل کالی رسی	و شکاف و حفره	دز	دز و حفره	دز و حفره	کلربت کلسیت	ارتوز پلاریزور کلارز آمفیبول اپک	قوهه ای	دیلار گرانولار آفتیستک
رنگ واژالتی شدن	و ایجاد حفره و تغییر	دز	دز و حفره	دز و حفره	کلربت کلسیت	ارتوز پلاریزور کلارز آمفیبول اپک	قوهه ای	دیلار گرانولار آفتیستک
تشکیل کالی رسی	و شکاف و حفره	فائد دز	و شکاف و حفره	و شکاف و حفره	کلربت کلسیت	کوارتز پلاریزور کلارز ارتوز بویتیت	سفید	داسیت بیزوفری
رنگ واژالتی شدن	و ایجاد حفره و تغییر	دز	و شکاف و حفره	و شکاف و حفره	کلربت	کوارتز پلاریزور کلارز ارتوز بویتیت	سفید	داسیت بیزوفری
تشکیل کالی رسی	و شکاف و حفره	فائد دز	و شکاف و حفره	و شکاف و حفره	سرسبیت	کوارتز و پلاریزور کلارز فلدیپات آلتان	سفید	داسیت بیزوفری
رنگ					کلربت	بویتیت	تمده ای	داسیت بیزوفری
تشکیل کالی رسی	و ایجاد حفره و تغییر	فائد دز	و شکاف و حفره	و شکاف و حفره	سرسبیت	کوارتز و پلاریزور کلارز پیروکسین	سرسبیت	داسیت بیزوفری
رنگ واژالتی شدن	و ایجاد حفره و تغییر	دز	و شکاف و حفره	و شکاف و حفره	کلربت	پلاریزور کلارز پیروکسین	سرسبیت	داسیت بیزوفری

ادامه جدول (۳-۴)

۴-۳ ریولیت ها :

این سنگ‌ها در موج شکن بندر شهید رجائی به کار رفته‌اند. رنگ آنها در نمونه تازه عمدتاً خاکستری و یا سفید می‌باشد و گاهی نوارهای سبز رنگ اپیدوت در آنها دیده می‌شود. در نمونه دستی غالباً بافت پورفیری نشان می‌دهند و فاقد حفره می‌باشند و بلورهای پلازیوکلاز و کوارتز و سانیدین در بعضی از نمونه‌ها قابل شناسایی می‌باشند. ریولیت‌ها در مقطع میکروسکوپی دارای زمینه بسیار ریز و شامل مخلوطی از فنوکریستها می‌باشد. بافت آنها عمدتاً پورفیری و گلومروپورفیری است. فنوکریستها عمدتاً شامل کوارتز و پلازیوکلاز و سانیدین می‌باشد. کانی‌های تشکیل دهنده این سنگ‌ها عبارتند از:

الف - کانی‌های اصلی :

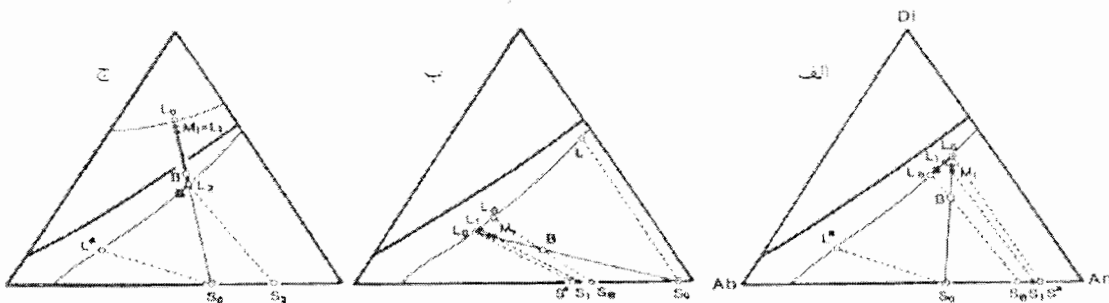
کوارتز: این کانی به صورت بلورهای نیمه شکل دار تا شکل دار بوده و از لحاظ اندازه تقریباً غیر هم بعد هستند. در بعضی مقاطع کوارتزها دچار ناپایداری شده‌اند. بعضی کوارتزها دچار شکستگی شده‌اند که می‌تواند ناشی از فشار هنگام صعود باشد (تابلو شماره ۱، شکل ۱). به نظر می‌رسد که بعضی کوارتزها که ریز بوده و حالت تجمعی دارند به صورت ثانویه در داخل حفرات تشکیل شده‌اند که حاصل دویتریفیکاسیون زمینه شیشه‌ای سنگ و یا در نتیجه تراوش سیالات غنی از SiO_2 به درون ریولیت‌ها باشد. این کوارتز‌ها معمولاً دارای یک حاشیه از شیشه کلریتی شده می‌باشند (تابلو شماره ۱، شکل شماره ۲).

پلازیوکلاز: این کانی‌ها بصورت نیمه شکل دار تا شکل دار بوده و دارای ماکل پلی سنتیک و از نوع آلبیت - الیگو کلاز می‌باشند. پلازیوکلازها اغلب در اثر ورود آبهای دریایی فوقانی از راه درزه‌ها و شکافها به سنگ‌های اسیدی تشکیل شده در سیستمهای ریفتی دچار آلتراسیون هیدروترمال شده و به سریسیت، کلسیت و اپیدوت و کلریت تجزیه شده‌اند. وجود سریسیت فراوان در مرکز بلورهای پلازیوکلاز دلیل بر این است که ترکیب پلازیوکلاز از سمت حاشیه به طرف مرکز آن کلسیک تر می‌شود زیرا پتاسیم موجود با سازنده آنورتیتی پلازیوکلاز وارد واکنش می‌شود و یون کلسیم آزاد می‌کند. واز این رو قسمتهای غنی از آنوریت در یک پلازیوکلاز منطقه‌ای به راحتی سریسیتی می‌شوند (شلی، ۱۹۹۳).

وجود هسته‌های کلسیک در پلازیوکلازها نشانه تبلور زود هنگام این کانیها از مذاب اولیه می‌باشد (هیبارد، ۱۹۹۵). در بعضی از بلورهای پلازیوکلاز بافت غربالی قابل مشاهده می‌باشد و سطح این بلورها دچار خوردگی شده است (تابلو شماره ۱، شکل شماره ۳).

بافت غربالی حاصل به دام افتادن ادخالهای مذاب در بلورها است که این امر در پلازیوکلازها شایع‌تر است. قسمت‌هایی از بلورهای پلازیوکلاز که حاوی این ادخالهاست با اسمی مختلفی از جمله مناطق غربال مانند (Dusty Manifolds)، مناطق سلولی (Cellular Zones)، مناطق غبار آلود (Dusty Like Zones) و یا مناطق اثراگشته (Finger Print Like Zones) معرفی شده‌اند. تشکیل چنین بافتی دارای تفسیرهای پتروژنتیکی متفاوتی است ولی محققین مختلف (تسوچی یاما، ۱۹۸۵؛ نلسون و مونتانا ۱۹۹۲؛ هالسور، ۱۹۷۸ و رودز، ۱۳۸۰) دو عامل مهمتر اختلاط و آلیش ماقمایی و افت فشار در مخزن ماقمایی را مسئول تشکیل چنین بافتی دانسته‌اند. در ادامه این بحث به نحوه عملکرد هر یک از این دو عامل در تشکیل بافت غربالی نگاهی اجمالی داریم.

الف - اختلاط و آلیش ماقمایی: از آنجا که اغلب پلازیوکلازهایی که چنین بافتی را نشان می‌دهد دارای حواشی گرد و خورده شده هستند. این تفکر شکل می‌گیرد که این پدیده باید توسط مذابی با ترکیب متفاوت و دمای بالاتر صورت گرفته باشد. ورود ماقمای تازه به مخزن ماقمایی در حال تبلور موجبات این اختلاط را پدید می‌آورد. به نظر هیبارد (دیدیه و باربارن، ۱۹۹۹) پلازیوکلازهای غربالی بطور بسیار معمول توسط اتحلال مجدد یا ذوب مستقیم پلازیوکلاز بوجود می‌آید. در طی فرآیند اختلاط ماقمایی، هنگامی که سیستم مافیک‌تر، گرما از دست می‌دهد، پلازیوکلاز سیستم فلیسکتر به جذب بخشی (در اثر اتحلال یا ذوب) حساس خواهد شد. سلولهای شیشه‌ای گرد شده موجود در پلازیوکلاز می‌توانند ناشی از واکنش با مذاب موجود در فصل مشترک پلازیوکلاز باشند. آلیش ماقمای توسط مواد خارجی نیز می‌تواند باعث تغییر ترکیب ماقمای درحال تبلور شود و بافت غربالی را در پلازیوکلازها بوجود بیاورد. عکس العمل پلازیوکلازهای موجود نسبت به تغییر شرایط به طور تجربی توسط تسوچی یاما (۱۹۸۵) مطالعه شده است. تسوچی یاما با استفاده از فاز دیاگرام Di-Ab-An (شکل ۳-۲)، حالت‌های مختلف زیر را توضیح داده است:



شکل ۳-۲-۳، خلاصه بافت‌های ایجاد شده بوسیله واکنش بین پلازیوکلاز S_0 و مذاب L_0 .

در این شکل، S_0 بلور پلازیوکلاز ماقمای تازه وارد، L_0 مذاب اولیه، S^* پلازیوکلاز متعادل با مذاب اولیه L_0 است که پس از واکنش اختلاط بلور S_1 و مذاب L_1 را تولید می‌کند. M_1 نیز سیستمی بسته با ترکیب مشخص است.

(I) S_0 سدیک تراز S^* است (شکل ۳-۱-الف): در این حالت واکنش زیر بوقوع می‌پیوندد.



طی این واکنش مذابی سدیک‌تر (یعنی L_1) و پلازیوکلازی کلسیک‌تر (یعنی S_1) تولید می‌شود. چون بلورهای پلازیوکلاز ماقمای تازه سدیک‌تر از بلورهای پلازیوکلاز متعادل با مذاب L_0 هستند، لذا این بلورهای تازه وارد ابتدا در ماقماً تحلیل رفته و سپس بعد از تعادل در محیط جدید شروع به رشد می‌نمایند. در این شرایط انحلال ناقص (Partial – Dissolution) انجام می‌گیرد که عمدتاً در امتداد نقاط بلور مثل شکافهای کلیواژی یا سطوح ماکل می‌باشد و همین امر باعث ناهموار شدن سطح بلافصل شده و پوششی از مخلوط ریزدانه پلازیوکلاز-مذاب بر روی بلور اولیه تشکیل می‌شود. در طی این واکنش به علت وقوع انتشار در بلور، ترکیبات بلور کلسیک‌تر می‌شوند.

(II) S_0 کلسیک‌تر از S است (شکل ۳-۱-ب): واکنش در این حالت منجر به تولید مذابی کلسیک‌تر (یعنی L_1) و پلازیوکلازی سدیک‌تر (یعنی S_1) می‌شود. در نتیجه بر روی بلور اولیه، لایه بسیار نازکی از پلازیوکلاز سدیک رشد می‌کند که به این حالت برهم‌رشدی (OverGrowth) گفته می‌شود.

(III) مذاب اولیه (L_0) در محدوده D_I قرار دارد (شکل ۳-۱-ج): واکنش موضعی بین L_0 و S_0 ، مذاب



را تولید می‌کند.

به علت فراتافتگی (OverHeating) مذاب L₁، بلورهای S₀ حل می‌شوند. سپس مذاب تغییر ترکیب داده و به ایزوترم پلازیوکلاز می‌رسد و مذاب L₂ تشکیل می‌شود. در این حالت چون بلور S₀ سدیکتر از پلازیوکلاز S₂ (متعادل با مذاب L₂) است، انحلال ناقصی شبیه حالت (I) صورت می‌گیرد. هیبارد (دیدید و باریارن ۱۹۹۹) فرایندهای سازنده پلازیوکلازهای غربالی در محیط اختلاط ماگمایی تحت فشار ثابت را مطابق زیر دانسته است:

۱- جذب بخشی یک پلازیوکلاز کمتر کلسیک، مشتق شده از یک سیستم فلزیکتر، در اثر گرم شدن فوق العاده زیاد.

۲- تعادل بخشی یک پلازیوکلاز کلسیکتر، مشتق شده از یک سیستم مافیک توسط انجام واکنش انحلالی با یک مذاب فلزیکتر.

در فرایند اول جذب بخشی یک پلازیوکلاز فاقد منطقه‌بندی، ماده مذابی را تولید می‌کند یا ترکیب مذاب موجود را طوری تغییر می‌دهد که مذاب حاصل با بلورهای برجامانده در حال تعادل نیست. در نتیجه باید پلازیوکلاز کلسیکتری بطور همزمان تولید گردد این امر به طرق زیر انجام می‌شود.

الف) توسط تعديل انتشاری تشکیل ساختمان غربالی پیشرفتہ بلور یا ب) توسط رشد پلازیوکلاز کلسیک متناسب با محل جذب. اگر بلوری در مرحله شروع تشکیل خود دارای منطقه‌بندی باشد، تعديل انتشاری کمتری در مورد آن صورت خواهد گرفت.

در فرایند دوم، واکنش انحلالی پلازیوکلاز کلسیکتر با یک مذاب سدیکتر، باید پلازیوکلازی را تولید کند که نسبت به پلازیوکلاز اصلی از آنورتیت کمتری برخوردار باشد اما نسبت به ماده مذاب هم زیست خود کلسیکتر باشد. این فرایند نیز به طرق زیر صورت می‌گیرد.

الف) تعديل انتشاری در درون بلور اصلی، یا ب) تخریب بلور اصلی و رشد یک بلور پلازیوکلاز جدید کمتر کلسیک.

در هر دو فرایند (۱) و (۲)، مکانیسم تعديل انتشاری، یک بلور پلازیوکلاز غربالی کلسیکتر واجد قطرک‌های شیشه‌ای اسفنج‌مانند را تشکیل می‌دهد و مکانیسم دوم بلورهای خودشکل پلازیوکلاز غربالی را بوجود می‌آورد.

ب - افت سریع فشار: فرایند تشکیل بافت‌های غربالی در پلازیوکلازها توسط اختلاط و آلایش ماگمایی اجتناب‌ناپذیر است ولی نمی‌توان مشاهده آنها را دلیل قطعی اختلاط ماگمایی قلمداد کرد. به نظر

نلسون و مونتانا (۱۹۹۲) این بافت‌ها ممکن است بر اثر افت سریع فشار خشک (همراه یا بدون کاهش دما) بوجود آمده باشند و یا اینکه هر دو فرایند اختلاط ماگمایی و افت سریع فشار مسئول شکل‌گیری این بافت‌ها باشند. نامبردگان در توضیح این فرایند ابراز می‌دارند که افت سریع فشار خشک موجب انحلال بلور می‌شود که طی آن کانال‌ها یا مجرای‌های در بلور و بویژه در حاشیه‌ها یا امتداد رخ‌ها و ماکل‌ها ایجاد می‌شود. در ابتدای فرایند انحلال، بین مواد مذاب موجود در کانال‌ها و مذاب احاطه‌کننده بلور ارتباط برقرار بوده، انتشار و کنوکسیون صورت می‌گیرد. با رشد بعدی بلور که ممکن است مثلاً بر اثر خروج مواد فرار صورت گیرد، تکه مذاب‌های مذکور و کانال‌های ذوب شده در بلور به دام می‌افتد. بدین ترتیب پلازیوکلازهای شکل‌دار حاوی ادخال‌های مذاب تشکیل می‌شوند.

سانیدین : این کانی بیشتر به صورت شکل‌دار تا نیمه شکل‌دار دیده می‌شود. سانیدین‌ها تحت تاثیر آلتراسیون هیدرотرمال قرار گرفته اند و به کائولینیت و کانی‌های رسی و سریسیت تجزیه شده اند.

بیوپتیت : این کانی حدود ۵ درصد سنگ را تشکیل می‌دهد و به صورت بلورهای شکل‌دار تا نیمه شکل‌دار مشاهده می‌شوند و دارای پلی کروئیسم قهقهه‌ای تا زرد می‌باشند. این کانی در اثر آلتراسیون هیدروترمال اکثراً به کلریت تجزیه شده است و به سه صورت کاملاً سالم، در حال تجزیه و کاملاً "تجزیه شده در مقاطع مشاهده می‌شوند.

ب - کانی‌های ثانویه :

کلریت : این کانی بیشتر در نتیجه دگرسانی بیوپتیت تشکیل شده است. کلریت بیشتر به رنگ آبی و سبز و حالت شعاعی دیده می‌شود (شلی، ۱۹۹۳).

سریسیت : سریسیت در نتیجه تجزیه پلازیوکلازها در سطح آنها تشکیل شده است (تابلو شماره ۱، شکل شماره ۴). عمل تجزیه در مراکز پلازیوکلازها شدت بیشتری داشته و تجمع سریسیت در آنجا بیشتر است. پتانسیم لازم برای تشکیل سریسیت در نتیجه کلریتیزاسیون بیوپتیت و همچنین از محلولهای گرمایی و سیالات تامین شده است.

اپیدوت : این کانی در نتیجه دگرسانی پلازیوکلاز و در طی پدیده سوسوریتیزاسیون تشکیل شده است (تابلو شماره ۱، شکل شماره ۵).

کلسیت : این کانی نیز در اثر سوسوریتیزاسیون پلازیوکلازها همراه با اپیدوت بوجود آمده است.

کانی های رسی : این کانی ها اکثراً از نوع کائولن بوده و معمولاً بصورت مات و کدر شده می باشند و منظره ابر مانندی به فلدوپات آلکالن داده اند . این کانی ها در اثر کائولینیتیزاسیون و تجزیه فلدوپاتها حاصل شده اند .

کانی های اپک : این کانی ها به صورت پراکنده در سنگ دیده می شوند و بیشتر شامل اکسیدهای آهن(هماتیت،منیتیت و پیریت)می باشند . در محلهایی که بیوتیت ها کلریتی شده اند نیز مقداری اکسید آهن آزاد شده است.

۴-۴ ایگنیمیریت ها :

این سنگ ها فقط در موج شکن حسینه بکار رفته اند و در نمونه دستی به دلیل داشتن شیشه ، رنگی قهوه ای داشته و نسبتاً نامقاوم بوده و دارای رگه های کلسیت فراوان می باشند . در این سنگها ساخت جریانی به خوبی مشاهده می شود. کانی خاصی در روی نمونه دستی آنها قابل شناسایی نیست . بافت آنها اغلب متراکم بوده و حفرات کمی در آنها مشاهده می شود . ایگنیمیریت ها در مقاطع میکروسکوپی دارای زمینه ای نسبتاً شیشه ای بوده که پدیده تبدیل شیشه به بلور (devitrification) در آن قابل مشاهده می باشد . بافت آنها بیشتر پورفیری و میکروپورفیری و گلومروپورفیری می باشد(تابلو شماره ۱،شکل شماره ۶). فنوکریستها بیشتر شامل کوارتز ، پلازیوکلاز و سانیدین می باشد . حالت جریانی هم در بعضی مقاطع مشاهده می شود . کانی های تشکیل دهنده این سنگها عبارتند از :

الف - کانی های اصلی

کوارتز : این کانی به صورت بلورهای کوچک نیمه شکل دار تا بی شکل مشاهده می شود . بعضی از آنها با ماقما واکنش داده و دچار خوردگی شده اند . در بعضی مقاطع کوارتزها به صورت تجمعات ریزی دیده می شوند که احتمالاً "ثانویه بوده و بعداً در داخل حفرات سنگ متبلور شده اند و دارای حاشیه ای از شیشه کلریتی می باشند (تابلو شماره ۱،شکل شماره ۷).

پلازیوکلاز : این کانی به صورت بلورهای شکل دار تا نیمه شکل دار بوده و ماکل پلی سنتیک در اکثر آنها مشاهده می شود . پلازیوکلازها ترکیبی در حد آلبیت تا الیگوکلاز داشته و در اثر دگرسانی به اپیدوت ، کلسیت و سریسیت تجزیه شده اند . مرکز آنها به علت کلسیک تر بودن دچار تجزیه

بیشتری شده است . در بعضی مقاطع پلاژیوکلازها به صورت تجمعاتی دیده می شوند که میزان این تجمعات زیاد نیست . بنا بر نظر هلز (1981) ، در شلی (1993) بلورها ضمن صعود با یکدیگر برخورد می کنند و چنانچه شبکه بلوری آنها با یکدیگر موازی باشد و یا در جهت روابط ماقولی و یا بعضی روابط اپی تاکسیالی مناسب قرار گیرند به همدمیگر چسبیده و گلومرول ها را ایجاد می کنند . بعضی بلورهای پلاژیوکلازها دارای بافت غربالی می باشند . که گاهی این بافت را در منطقه مرکزی و گاهی در حاشیه بلورها نشان می دهند (تابلو شماره ۱، شکل شماره ۸) .

سانیدین : این کانی بیشتر به صورت بلورهای نیمه شکل دار تا شکل دار می باشند . در بعضی موارد سانیدین در اثر دگرسانی هیدروترمال به کائولینیت ، کانی های رسی و سریسیت (کائولینیتیزاسیون و سریسیتیزاسیون) تجزیه شده اند و بعضی از آنها به طور کامل تجزیه و منظره ابر مانندی دارند .
کانی اپک : این کانی ها شامل اکسید های آهن و پیریت می باشند که در داخل زمینه پراکنده اند .

ب - کانی های ثانویه

سریسیت : در اثر تجزیه پلاژیوکلازها ، دانه های رسی از موسکویت که به سریسیت معروفند و در سطح آنها تشکیل شده اند . سریسیتیزاسیون پلاژیوکلازها در اینجا کم می باشد .

کانی های رسی : در سطح بعضی از فلدسپاتهای آلکالن تشکیل شده و حاصل تجزیه آنها می باشند و منظره ابر مانندی به آنها داده اند و بیشتر از نوع کائولن می باشند .

اپیدوت : این کانی در بعضی نمونه ها مشاهده شده و ناشی از تجزیه پلاژیوکلازها می باشند .
کلسیت : این کانی به مقدار کم در بعضی نمونه ها در نتیجه عمل دگرسانی پلاژیوکلازها همراه با اپیدوت مشاهده می شود .

۴-۵ گنبدهای ریولیتی

این سنگ ها در موج شکن های بندر شهید رجائی و باهنر به کار رفته اند . ریولیتهای بندر شهید باهنر تقریباً قهوه ای رنگ بوده که در اثر هوازدگی به این رنگ در آمده اند و رنگ آنها در نمونه های تازه تقریباً سفید رنگ بوده و در بعضی از آنها اثرات جریان یافتگی به خوبی قابل مشاهده می باشد . در نمونه های معادن ، این سنگ قادر حفره می باشد ولی در نمونه هایی که از موج شکن ها برداشت شده است حفراتی کشیده در سنگ دیده می شود که احتمالاً در اثر انحلال کانی ها تشکیل شده اند .



شكل ب



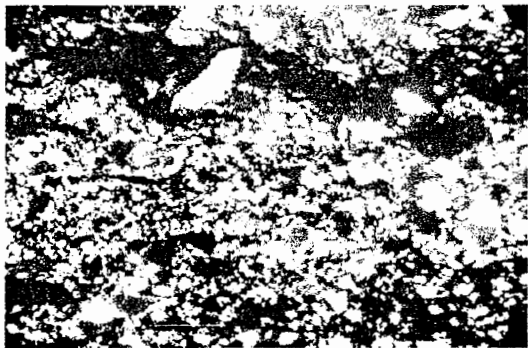
شكل الف



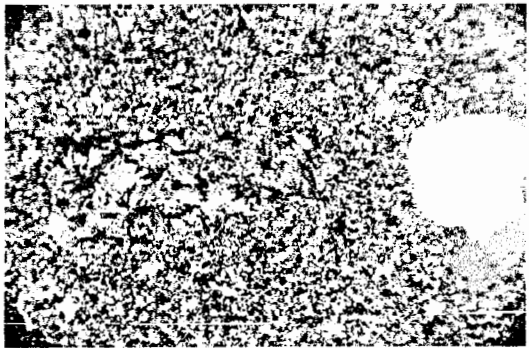
شكل د



شكل ج



شكل و



شكل ه



شكل ح



شكل ز

تabelo (١-٤)

کانی های داخل این حفرات آلبیت و کلسیت می باشد . همچنین در نمونه دستی رگه هایی از اکسید آهن (الیژیست) نیز به خوبی مشاهده می شود .

مکانیسم تشکیل الیژیست در این سنگها بدین صورت است که اگر در یک ماگما مجموع اکسیدهای سدیم و پتاسیم مساوی یا بیشتر از درصد اکسید آلومینیوم باشد($\text{Na}_2\text{O} + \text{K}_2\text{O} \geq \text{Al}_2\text{O}_3$)، سری باون معکوس می گردد و در این صورت ترتیب تبلور دیگری بنام توالی آگپائیتیک جای توالی باون را می گیرد. در این توالی تبلور فلدسپاتهای آلکالن مقدم بر تبلور آمفیبول و پیروکسن می باشد و اگر SiO_2 زیاد باشد ارتوز تشکیل خواهد شد. در نتیجه FeO و MgO در داخل ماگما باقی می مانند و در پایان انجماد توده ریولیتی، ماگمای باقیمانده بصورت فاز گازی در شکافها و شکستگی های ریولیت، این رگه ها را بوجود آورده است (معین وزیری ۱۳۸۲).

در مقاطع میکروسکوپی فنوکریستها ۲۵ تا ۳۰ درصد حجم سنگ را تشکیل می دهند و بافت آنها عمدتاً پورفیری و گلومروپورفیری می باشد که فنوکریستها در یک زمینه ای شامل کوارتز، پلاژیوکلاز و سانیدین قرار دارند (تابلو شماره ۲، عکس شماره ۱). فنوکریستهای سنگ عمدتاً کوارتز، سانیدین و پلاژیوکلاز می باشند. فنوکریستهای دیگری نیز در متن سنگ دیده می شوند که نشان دهنده پرشدگی رگچه ها و یا مسیر عبور سیالات می باشند. اثرات وجود کانی های ثانویه مانند کلسیت در نتیجه تراوش سیالات به درون ریولیتها در مقاطع مشاهده می شود. کانی های تشکیل دهنده این سنگ ها عبارتند از :

الف - کانی های اصلی

کوارتز : این کانی به صورت بلور های بی شکل تا نیمه شکل دار دیده می شود . بعضی از آنها با خمیره ماگمایی که بعداً موجب تشکیل زمینه گشته است واکنش داده و دچار خوردگی شده اند و حاشیه نامنظم دارند . بعضی کوارتز ها به صورت کوچک و تجمعات چندتایی و درهم مشاهده می شوند که احتمالاً ثانویه بوده و یا در نتیجه تراوش سیالات غنی از SiO_2 به درون ریولیتها و یا در اثر آلتراسیون پلاژیوکلازها به وجود آمده اند.

پلاژیوکلاز : این کانی به صورت بلورهای نیمه شکل دار تا شکل دار بوده و دارای ماکل پلی سنتیک می باشند . ترکیب آنها بیشتر الیگوکلاز تا آندزین می باشد و اکثراً دچار دگرسانی هیدرولرمال شده و

سریسیتی شده اند و نواحی مرکزی آنها به علت کلسيك تر بودن بيشتر سريسيتی شده است . پلازيوکلازها همچنین دچار سوسوريتیزاسیون نيز شده اند و به مجموعه ای از کانی های کلسيت ، کوارتز و اپيدوت تجزيه شده اند (تابلو شماره ۲، عکس شماره^۳).

سوسوريت محصول دگرسانی پلازيوکلاز است که طی آن با افزایش آب ، سازنده آنورتیتی آنها به اپيدوت (کلينوزوئیزیت یا زوئیزیت) تغيير می یابد و پلازيوکلاز باقیمانده نيز به صورت آلبيت در می آيد . سوسوريت در شرایط رخساره شیست سبز (و معادل فشار پایین آن) تشکيل می شود. غالباً به همراه اپيدوت وآلبيت ، کلسيت وسریسیت نيز به وجود می آید(شلي، ۱۹۹۳). از طرف ديگر وجود سوسوريت نشان دهنده تمرکز محصولات واکنشي هيدروترمال در محلهای بخصوص است . به طوری که در مناطق غنی از آنورتیت در پلازيوکلاز ، به طور انتخابی اپيدوت ظاهرمی شود. اين امر رفتار دوگانه پلازيوکلازها را نشان می دهد . يعني درعین حالی که پلازيو کلاز بدون تشکيل هسته جديده صورت کاملاً يکنواخت به آلبيت تبدیل می شود، نطفه های جديده اپيدوت در داخل فلدسيپات دگرسان شده به راحتی تشکيل می شوند و در جهات مختلف رشد می کنند. در مراحل اوليه سوسوريتیزاسیون آلبيت تولید می شود که بعداً با افزایش کلسيم وآب، اپيدوت پدید می آيد(شلي، ۱۹۹۳).

سانيدین : اين کانی هم حدود ۱۰ درصد سنگ را تشکيل می دهد و به صورت بلورهای تقریباً "شكل دار بوده و تركیب آنها احتمالاً" سانيدین می باشد . اين کانی هم دچار آلتراسیون هيدروترمال شده و بيشتر به سريسيت و کانی های رسی به خصوص کائولن تجزيه شده است .

فلدسيپاتها عموماً توسط ميكای سفید ريز دانه به نام سريسيت پوشیده می شوند. اين نوع پوشش يا به صورت لكه لكه و يا بصورت كامل انجام می شود . رشد سريسيت نيازمند افزایش آب و یون K است و سريسيتیزاسیون فقط در صورتی پیشرفت می کند که محلولهای سرشار از آب وجود داشته باشند. يك منبع مهم K همان فرایند کلریتیزاسیون بیویت است . در نتیجه اين عمل ، یون K با سازنده آنورتیتی پلازيو کلاز وارد واکنش می شود و Ca آزاد می کند . از اين رو قسمتهای غنی از An در يك پلازيو کلاز منطقه اي به راحتی سريسيتی می شوند.

سریسیت ها غالباً به طور غير يکنواخت رشد می کنند. با وجود اين ، در بعضی از فلدسيپاتها صفحات بزرگ موسکویت باکلیواژهای فلدسيپات تقریباً موازی اند که اين خود ناشی از ورود آسان محلولها در امتداد جهات فوق الذكر است. عمل انتشار ، سرعت فرایند سريسيتیزاسیون را کنترل می کند. به

طوری که انجام واکنش بستگی به محلولهای موجود ویون K دارد. ولی محصولات واکنشی فقط در محللهای انجام واکنش رشد می کنند زیرا تحرک آلومینیوم و سیلیسیم نسبتاً پایین است.

بیوپتیت : این کانی به صورت بلورهای کوچک نیمه شکل دار در داخل زمینه وجود دارد و در نور طبیعی به رنگ قهوه ای می باشد . این کانی اکثراً دگرسان شده در حال کلریتی شدن می باشد. گاهی سوزن های روتیل هم در داخل آنها مشاهده می شود(تابلو شماره ۲، عکس شماره ۴) .

ب- کانی های فرعی

کانی اپک : این کانی احتمالاً منیتیت بوده و بیشتر در مناطقی که بیوپتیت ها کلریتی شده اند، دیده می شوند .

ج - کانی های ثانویه

کلریت : این کانی در نتیجه دگرسانی بیوپتیت به وجود آمده و در نور پلاریزه بیشتر به رنگ آبی دیده می شود . این کانی از تجزیه و دگرسانی پلاژیوکلازها هم به وجود می آید .

اپیدوت : این کانی در نتیجه دگرسانی پلاژیوکلازها (سوسوریتی شدن) ایجاد شده اند و به صورت شعاعی می باشند . در نتیجه این دگرسانی کلسیت نیز تشکیل شده است .

کلسیت : این کانی در نتیجه سوسوریتیزاسیون پلاژیوکلازها به همراه اپیدوت مشاهده می شود .

سریسیت و موسکویت : در اثر دگرسانی پلاژیوکلازها به وجود آمده اند و معمولاً در سطح آنها دیده می شوند . عمل تجزیه در مراکز پلاژیوکلازها شدت بیشتری داشته و تجمع سریسیت در آنجا بیشتر است.

کانی های رسی : معمولاً در سطح فلدسپاتهای آکالان دیده می شوند و منظره ابرمانندی به آنها داده اند . این کانی ها بیشتر کائولن می باشند .

۶- توف های ریولیتی

این سنگ ها در موج شکن شهید رجایی بکار رفته اند و رنگ آنها در نمونه های موج شکن کمی تیره شده است ولی در نمونه معادن تقریباً سفید رنگ می باشند. از خصوصیات بارز این توفها مزه شور آنها در نمونه دستی است که نشان دهنده وجود نمک در بافت این سنگ هاست . کانی مشخصی در نمونه دستی این سنگ ها شناخته نمی شود . بافت آن هم در نمونه دستی متراکم و بدون حفره می باشد .

این سنگ‌ها در زیر میکروسکوپ کاملاً "ریز دانه بوده و شدیداً سریسیتی و کائولینیتی شده است. بررسی مقاطع میکروسکوپی این سنگ نشان می‌دهد که این سنگ از قطعات هلالی شکل شیشه‌های اسیدی (Shard) تشکیل شده است که در نور طبیعی به خوبی مشاهده می‌شود (تابلو شماره ۲، عکس شماره ۵). این سنگ‌ها بعداً در اثر حرارت، تبلور مجدد یافته و به کانی‌هایی نظیر کوارتز و سانیدین تبدیل شده‌اند. پدیده شیشه زدایی در داخل زمینه سنگ به خوبی مشاهده می‌شود. فتوکریست عمده آنها کوارتز می‌باشد و کانی‌های کوچک سانیدین نیز در متن سنگ در زیر میکروسکوپ قابل تشخیص است. کانی‌های تشکیل دهنده این سنگ‌ها عبارتند از:

الف - کانی‌های اصلی

کوارتز: این کانی حدود ۲۵ تا ۳۰ درصد کانی‌های سنگ را تشکیل می‌دهد. به صورت بلورهای نیمه شکل دار می‌باشند و بعضی از آنها دچار خوردگی شده‌اند. بلورهای کوارتز از لحاظ اندازه تقریباً هم بعد بوده و بسیار کوچکند.

پلازیوکلاز: این کانی حدود ۱۵ درصد کانی‌های سنگ را تشکیل می‌دهند. به صورت بلورهای شکل دار تا بی‌شکل بوده و دارای ماکل پلی‌سنتیک هستند. ترکیب آنها در حد آلبیت تا الیگوکلاز می‌باشد و در اثر تجزیه هیدروترمال به سریسیت، کلسیت و اپیدوت تجزیه شده‌اند. عمل تجزیه به خصوص در مرکز پلازیوکلازها که کلسیک‌تر هستند شدت بیشتری دارد.

سانیدین: این کانی‌ها بخش عمده کانی‌های سنگ را تشکیل می‌دهد. اندازه آنها بسیار کوچک بوده و به صورت بلورهای بی‌شکل تا کمی شکل دار دیده می‌شوند. دگرسانی در این کانی‌ها شدید بوده به طوری که منظره ابرمانندی در زمینه سنگ مشاهده می‌شود.

ب - کانی‌های فرعی

کانی‌های اپک: این کانی‌ها به مقدار کم و در داخل زمینه مشاهده می‌شوند. این کانی‌ها به صورت بلورهای بزرگ اولیه که احتمالاً پیریت بوده‌اند و دگرسان شده‌اند مشاهده می‌شوند.

ج - کانی‌های ثانویه

سریسیت: این کانی در اثر تجزیه پلازیوکلازها تشکیل شده است و مقدار آنها بسیار کم می‌باشد.

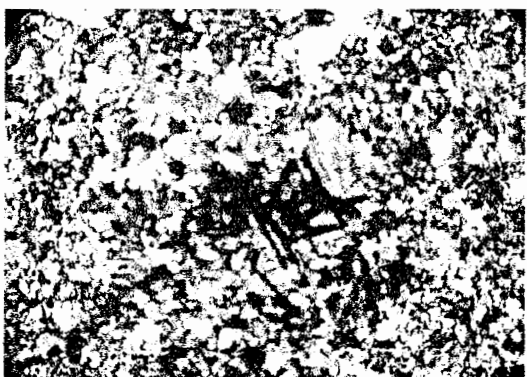
کلسیت: این کانی به مقدار کم در پلازیوکلازهای دگرسان شده دیده می‌شود.



شكل ب



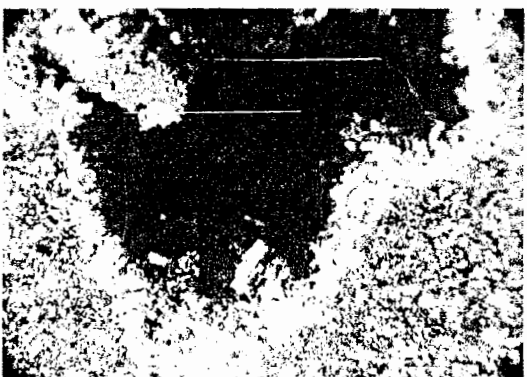
شكل الف



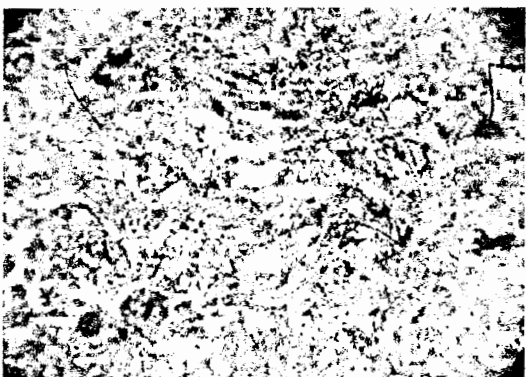
شكل د



شكل ج



شكل و



شكل ه

تالبو (٢-٣)

/اپیدوت : این کانی در اثر دگرسانی پلاژیوکلازها تشکیل شده است. در نتیجه این عمل کلسیت نیز تشکیل می شود .

کانی های رسی : در سطح اکثر سانیدین ها دیده می شوند و اکثراً از نوع کائولن می باشند. این کانی ها از تجزیه سانیدین حاصل شده اند و در اثر تشکیل آنها، فلذسپاتها مات و کدر شده و منظره ابر مانندی به خود گرفته اند.

ژریپس : به صورت بلورهای شکل دار و مستطیلی مشاهده می شوند. وجود ژریپس در ترکیب زمینه توف ها نشان دهنده هم زمانی تشکیل آنها، یعنی ورود یک مagma اسیدی و ته نشست هم زمان رسوبات تبخیری در حوضه رسوبی می باشد(تابلو شماره ۲، عکس شماره ۶).

در حقیقت وجود قطعات هلالی شکل شیشه در اثر سردشدن سریع و قطعه قطعه شدن magma به علت تماس با آب موجود در رسوبات می باشد . کلیه بلورهای اولیه به جز کوارتز در این فعل و انفعالات دگرسان شده اند و خمیره magma در اثر تماس با آب و رسوبات سخت نشده به صورت شیشه در آمده است . اجزا شیشه ای همراه سایر کانی ها بعدها در اثر دفن شدن و حرکات تکتونیکی تبلور مجدد یافته اند .

۷-۴ بازالت ها

این سنگها در موج شکنها شهید رجایی و بستانه و حسینه بکار رفته اند و در نمونه های دستی این سنگ ها تقریباً سبز رنگ و ریز بلور و متراکم اند و اکثراً حفره دار می باشند . حفرات موجود در این بازالتها در اثر متوالی مترادف توسط کانی های ثانویه اپیدوت ، کلریت و کلسیت پر شده اند و در حفرات سنگ معمولاً "اپیدوت در مرکز و کلریت در حواشی" تشکیل شده است . در نتیجه دگرگونی متوالی در این سنگ پاراژن اپیدوت + کلریت + هورنبلند (در حد رخساره شیست سبز) دیده می شود که رنگ سبز نمونه دستی آن به علت حضور همین کانی هاست . حفره ها احتمالاً در قسمت های سطحی به هنگام سرد شدن در محیط رسوبی به وجود آمده اند و سنگ اولیه یک بازالت متخلخل بوده است . در مقطع میکروسکوپی بافت پورفیری با زمینه افیتیک دارند ، که بافت افیتیک در اینجا ناشی از رشد پلاژیوکلاز و پیروکسن است که پیروکسن ها اکثراً در اثر دگرسانی از بین رفته اند(تابلو شماره ۳، عکس شماره ۱). کانی های اصلی سنگها عبارتند از :

الف- کانی های اصلی

پلازیوکلаз : به صورت بلورهای نیمه شکل دار بوده و دچار آلتراسیون زیادی شده اند و بیشتر به اپیدوت ، کلریت ، کلسیت و سریسیت تجزیه شده اند و معمولاً "به صورت ریز بلور دیده می شوند . ترکیب آنها بیشتر لابرادوریت و بنتونیت می باشد .

پیروکسن : این کانی بیشتر به صورت بلورهای کوچک نیمه شکل داردیده می شود و در این سنگ ها معمولاً "به طور کامل تجزیه و به مجموعه کلریت ، اپیدوت و کلسیت تبدیل شده اند .

الیوین : این کانی در اکثر سنگ های بازالتی مشاهده می شود ولی در این سنگ ها کانی الیوین سالم مشاهده نمی شود چون کاملاً آلتراه شده است و تبدیل به کلریت شده است(بولنژیتی شدن).

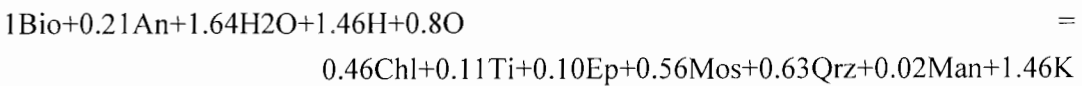
هورنبلند قهقهه ای : به صورت بلورهای نیمه شکل دار و قهقهه ای دیده می شود که کمی دچار دگرسانی شده و تبدیل به کلریت شده اند .

ب- کانی های ثانویه :

کوارتز : این کانی به صورت بلورهای کوچک بی شکل به صورت ثانویه در داخل حفرات تشکیل شده است و دارای خاموشی موجی بوده و بافت بادامکی دارند . این کوارتزها دارای یک حاشیه واکنشی از شیشه کلریتی شده می باشند .

کلریت : به عنوان یک محصول آلتراسیون در اینجا وجود دارد و بیشتر به رنگ آبی مشاهده می شود که علاوه بر الیوین از دیگر کانی های فرومیزین هم بوجود می آید و به صورت فراوان در متن سنگ دیده می شود و عمدتاً از نوع کلینوکلر می باشد(تابلو شماره ۳، عکس شماره ۲) .

دردهای پایین تا متوسط ، بیوتیت به راحتی به کلریت تبدیل می شود. فراورده حاصل مجموعه ای از لایه های کلریت است که درین لایه های بیوتیت قبلی قرار گرفته اند. اگلتون و بنفیلد (۱۹۸۵) برای کلریتیزاسیون در گرانیت (در دمای ۳۴۰ درجه سانتیگراد) واکنش زیر را پیشنهاد می کنند:



یون K آزاد شده از بیوتیت باعث سریسیتی شدن پلازیوکلازمی شود و کلسیم خارج شده از پلازیوکلاز نیز در تولید اپیدوت و بتانیت مصرف می شود که تمام اینها به صورت مخلوط با هم . در سیلیکاتهای صفحه ای قرار گرفته اند. در طی واکنش مزبور. منیزیم حفظ می شود و دو لایه بیوتیت تبدیل به یک

لایه کلریت می شود. بنابر این نیمی از صفحات تتراهدرال حفظ می شوند و نیم دیگر از بین می روند.
کلریت در دماهای پایین تا متوسط به صورت یک محصول دگرسانی نه فقط ازبیوتیت بلکه از پیروکسن-آمفیبیول و گارنت نیز تشکیل می شود.

/پیدوت : این کانی هم به فراوانی در متن سنگ مشاهده می شود و اکثراً در اثر دگرسانی پلازیوکلازها و پیروکسن ها به وجود آمده اند و بیشتر رنگ سبز دارند .

کانی های رسی : عمدتاً از نوع کائولینیت بوده و تقریباً در تمامی زمینه سنگ دیده می شوند .
به طور کلی آلتراسیون و کانی های محصول آن ، چهره کانی شناسی و ظاهری سنگ های بازالتی گنبدهای نمکی را تغییر داده است و با توجه به کانی شناسی بازالتها و محصولات آلتراسیون می توان گفت که بازالتها موجود در گنبدهای نمکی یک آلتراسیون هیدرونرمال با دمای بیش از ۷۰ درجه و در حد رخساره دگرگونی پرهنیت-پامپلی ثیت و حد اکثر تا حد زیرین شیست سبز (در نمونه های واحد اکتینولیت) در دمای حد اکثر تا ۳۲۰°C را متحمل شده اند (مرادی ۱۳۸۲).

۸-۴ سنگ های گابرویی و دیابازی

این گروه سنگ ها از گابروی گرانولار دانه درشت تا میکروگابرو (دیاباز) متغیر می باشند. این سنگها بعلت عدم بلوك دهی بیشتر در لایه مغزه موج شکنها بکار رفته اند و در موج شکنها کنگ و لنگه و بستانه دیده می شوند. این سنگ ها در نمونه دستی به رنگ سبز تیره و روشن و ماسیو می باشند و کانی های سبز رنگ ثانویه مثل کلریت و اپیدوت در آنها مشخص می باشند . در مقطع نازک این سنگ ها معمولاً "بافت گرانولار و افتیک دارند و شدیداً تجزیه شده اند(تابلو شماره ۳، عکس شماره ۳ و ۴). کانی های تشکیل دهنده این سنگ ها عبارتند از :

الف- کانی های اصلی

پلازیوکلاز : به صورت بلورهای دراز نیمه شکل دار تا شکل دار با ماکل پلی سنتیک دیده می شوند که دچار دگرسانی شده اند . این دگرسانی معمولاً از نوع سوسوریت بوده و پلازیوکلاز به اپیدوت ، کلسیت و سریسیت تجزیه شده اند(تابلو شماره ۳، عکس شماره ۵) .

پیروکسن : این کانی به صورت بلورهای نیمه شکل دار بوده که دچار دگرسانی دویتریک شده و بیشتر به اورالیت (ترمولیت، اکتینولیت) و کلریت و اپیدوت تجزیه شده اند(تابلو شماره ۳، عکس

شماره ۶). اورالیتی شدن نوعی از آلتراسیون هیدروترمال می باشد که محصول آن اورالیت است. که عبارت از جایگزینی تقریباً یکنواخت پیروکسن با آمفیبیول می باشد. اگر چه بین آمفیبیول و پیروکسن که دارای طول زنجیره مساوی و محورهای C موازی هستند، روابط کم و بیش یکنواختی حکم فرماست ولی گاهی اوقات نواحی غیریکنواختی نیز پدید می‌آید که در آنجا مواد ترمولیتی در جهات مختلف رشد می‌کنند و به صورت توده نسبتاً درهمی از ذرات سوزنی رشد می‌کنند که این خود حاکی از ماهیت ثانویه فرایند مزبور است.

اولیوین : این کانی به سختی به صورت سالم مشاهده می‌شود و بیشتر به صورت بلورهای منفرد و شدیداً تجزیه شده دیده می‌شوند که در حال تبدیل به کلریت ، اپیدوت و سرپاتین می‌باشند .

آمفیبیول : این کانی عمدتاً به صورت بلورهای سوزنی و کشیده (اکتینولیت) قابل مشاهده بوده که در نور طبیعی رنگ سبز دارند . این بلورها در بعضی نقاط کاملاً سالم بوده و مقداری به کلریت تجزیه شده اند .

ب- کانی های فرعی

کانی اپک : این کانی ها به صورت تیغه ای در سنگ پراکنده اند و اکثراً شامل اکسید آهن و از نوع منیتیت می‌باشند و به صورت موازی با هم دیده می‌شوند .

ج- کانی های ثانویه

کلریت : این کانی در نتیجه دگرسانی آمفیبیول و پیروکسن و اولیوین تشکیل شده است و این کانی همچنین می‌تواند از تجزیه و دگرسانی پلازیوکلازها نیز حاصل شود .

اپیدوت : این کانی در نتیجه دگرسانی پلازیوکلاز تشکیل شده است و در نتیجه این عمل کلسیت نیز تشکیل شده است .

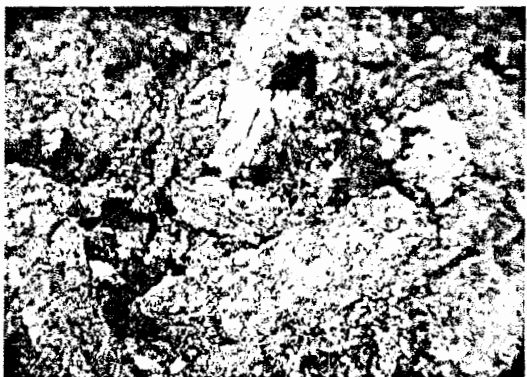
کلسیت : این کانی در نتیجه دگرسانی سوسوریتی پلازیوکلازها به همراه اپیدوت مشاهده می‌شوند و در اینجا به صورت بلورهای نسبتاً کوچک می‌باشند .



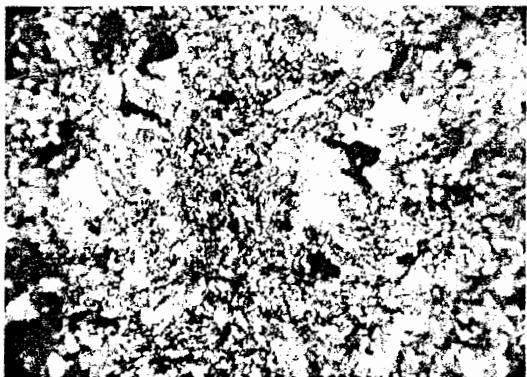
شكل ب



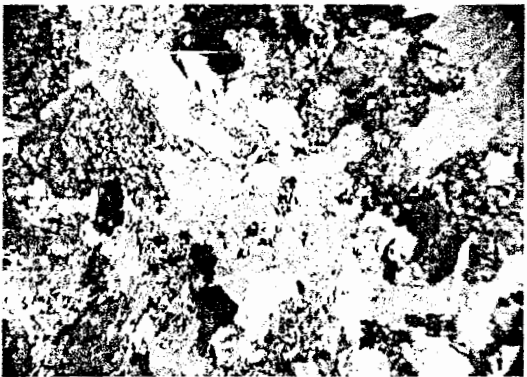
شكل الف



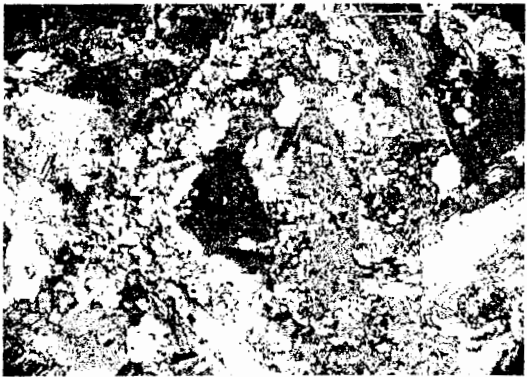
شكل د



شكل ج



شكل و



شكل ه

تаблицو (٣-٤)

۹-۴ گرانیت ها و گرانودیوریت ها

این سنگها در موج شکنها بندر لنگه و کنگ بکار رفته اند و در نمونه دستی بیشتر سفید و خاکستری رنگ بوده و بافت گرانولار و افیتیک نشان می دهند و فنوکریستهای کوارتز و پلازیوکلاز در آنها قابل مشاهده است . در مقاطع میکروسکوپی بافت آنها گرانولار و میکروگرانولار و پورفیروئیدی می باشد(تابلو شماره ۱)، فنوکریستهای اصلی آن کوارتز ، پلازیوکلاز و فلدسپات آلکالن می باشند. کانی های تشکیل دهنده این سنگها عبارتند از :

الف - کانی های اصلی :

کوارتز : این کانی به صورت بلورهای نیمه شکل دار تابی شکل می باشند . بیشتر به صورت فنوکرسیت دیده می شوند و در بعضی از آنها شکستگی دیده می شود.

پلازیوکلاز : این کانی نیمه شکل دار و طویل بوده و دارای ماکل پلی سنتیک می باشند . ترکیب آنها در حد آلبیت تا الیگوکلاز می باشد و عمدها سوسوریتی شده اند و به اپیدوت ، کلسیت و سریسیت تجزیه شده اند و معمولاً همراه با همین کانی ها مشاهده می شوند(تابلو شماره ۲)، این کانی ها در بعضی مقاطع یک رشد دو مرحله ای را نشان می دهند که پلازیوکلاز در مرکز و ارتوز در حاشیه می باشد.

فلدسپات آلکالن : این کانی به صورت بلورهای شکل دار و بین دانه ای بوده و ترکیب آنها بیشتر ارتوز می باشد که ماکل کارلسپاد را نشان می دهند . فلدسپاتها هم تجزیه شده اند و بیشتر به سریسیت و کانی های رسی تبدیل شده اند و به طور کلی دگرسانی فلدسپاتها کم است .

اسفن : این کانی بصورت بلورهای شکل دار ولوزی شکل و بزرگ وقهوه ای رنگ دیده می شود. این کانی جزء کانی های اصلی سنگ بوده و در وسط آن تیغه هایی از مگنتیت تیتانیوم دار دیده می شود(تابلو شماره ۳).

ب - کانی های فرعی

بیوپیت : به صورت بلورهای نیمه شکل دار و قوهوه ای دیده می شود که کمی هم تجزیه شده و تبدیل به کلریت شده اند .



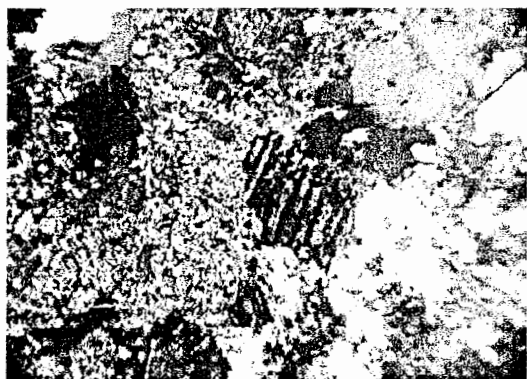
شكل ب



شكل الف



شكل د



شكل ج



شكل ه

تابلو (٤-٤)

ج - کانی های ثانویه

کلریت : این کانی اکثراً در نتیجه دگرسانی کانی های فرومیزین و سوسوریتی شدن پلاژیوکلازها به وجود آمده است.

اپیدوت : این کانی به صورت بی شکل و سبز رنگ بوده و معمولاً همراه با کلریت و پلاژیوکلاز می باشند.

کلسیت : این کانی در نتیجه دگرسانی پلاژیوکلازها به همراه اپیدوت مشاهده می شود.
کانی های رسی : سطح اکثر فلدسپاتهای آلکالن را پوشانده اند و اکثراً از نوع کائولن می باشند.

مات و کدر شده می باشند و منظره ابر مانندی به فلدسپات داده اند. این کانی ها در اثر تجزیه فلدسپاتها حاصل شده اند.

آپاتیت : به صورت بلورهای کشیده و سوزنی در متن سنگ مشاهده می شوند(تابلو شماره ۴، عکس شماره ۴). بلورهای آپاتیت در محیط متعادل و در مجاور یک فاز مایع معمولاً کوتاه بوده و از انتهای به هرمهایی ختم می شود که يالهای گرد شده وسطوح شکسته دارد. بلورهای آپاتیت در محیطی که به سرعت سرد شوند، بسیار طویل بوده و حالت سوزنی و کشیده دارد(براون، ۲۰۰۱).

کانی اپک : این کانی ها بیشتر از نوع پیریت بوده و به رنگ قرمز دیده می شود و در حال هماتیتی شدن می باشند.(تابلو شماره ۴، عکس شماره ۵).

۱۰-۴ داسیت ها

این سنگها در موج شکنها بندر شهید رجایی و بستانه بکار رفته اند و در نمونه دستی به رنگ سفید تا صورتی بوده و بلورهای درشت پلاژیوکلاز و کوارتز به خوبی در آنها قابل تشخیصند. این سنگها در زیر میکروسکوپ اغلب بافت پورفیری، گلومروپورفیری دارند و فنوکریستها در یک زمینه متشکل از بلورها واکسید آهن قرار دارند. کانی های تشکیل دهنده سنگها عبارتند از:

الف - کانی های اصلی

کوارتز : این کانی بصورت بلورهای بزرگ نیمه شکل دار تا شکل دار دیده می شوند و گاهی اندازه آنها به ۲ تا ۳ میلیمتر می رسد. کوارتز ها معمولاً دارای شکستگی بوده و بعضی از آنها با ماقما و اکنش داده ودارای حاشیه خلیجی می باشند.

پلازیوکلاز: این کانی به صورت بلورهای بزرگ نیمه شکل دار تا شکل دار دیده می شود. ترکیب آنها در حد آلبیت تا الیگوکلاز می باشد و به سه صورت کاملاً سالم، سریسیتی شده، اپیدوتی شده، در مقاطع دیده می شوند. پلازیوکلازهای سریسیتی شده معمولاً همراه با کلسیت می باشند (تابلو شماره ۵، عکس شماره ۱). حالت رشد دو مرحله ای و بافت غربالی نیز در بعضی از پلازیوکلازها دیده می شود (تابلو شماره ۵، عکس شماره ۳).

سانیدین: مقدار این کانی بسیار کم بوده و معمولاً به صورت بلورهای نیمه شکل دار می باشند. این کانی ها کمی به سریسیت تجزیه شده اند.

بیوتیت: این کانی به صورت بلورهای نیمه شکل دار و قهوه ای دیده می شود که تجزیه شده و تبدیل به کلریت شده اند (تابلو شماره ۵، عکس شماره ۲).

ب- کانی های ثانویه :

کلریت: این کانی معمولاً حاصل تجزیه کانیهای فرومیزین بوده و به رنگ سبز تا آبی دیده می شوند. در بعضی مقاطع کلریت همراه با اسفن می باشد که احتمالاً ناشی از تجزیه هورنبلند تیتانیوم دار می باشد (تابلو شماره ۵، عکس شماره ۳).

اسفن: این کانی بصورت بلورهای لوزی شکل و قهوه ای رنگ و با برجستگی زیاد دیده می شوند. این کانی معمولاً با کلسیت همراه می باشد. اسفن ناشی از تخریب کانیهای تیتانیوم دار ایجاد شده است.

سریسیت: این کانی ناشی از تجزیه پلازیوکلازها بوده و بیشتر در داخل آنها دیده می شود (تابلو شماره ۵، عکس شماره ۴).

اپیدوت: این کانی ناشی از تجزیه پلازیوکلازها بوده و در کنار آنها مشاهده می شود.

کلسیت: این کانی بصورت بلورهای نیمه شکل دار و پراکنده در سنگ دیده می شوند و ناشی از تجزیه پلازیوکلازها می باشند.

۱۱-۴ سینیت ها

این سنگها در موج شکن بندر شناس و کنگ بکار رفته اند. در نمونه دستی معمولاً صورتی رنگ بوده و بلورهای درشت ارتوز واکسید آهن (الیژیست) در آنها قابل مشاهده می باشند و معمولاً دارای بافت

گرانولار واینترگرانولار بوده ودارای خلل وفرج فراوان می باشند (تابلو شماره ۵، عکس شماره ۶). کانی های تشکیل دهنده سنگ عبارتند از:

الف - کانی های اصلی:

فلدسپات آلكالن: این کانی به صورت بلورهای نیمه شکل دار تا شکل دار و طویل بوده که بصورت درهم رشد کرده اند واینترگرانولار را ایجاد کرده اند و بین آنها را کانی های ثانویه مثل کلریت و اپیدوت پرکرده اند. ترکیب آنها از نوع ارتوز بوده و در حال تجزیه به سریسیت می باشند. این تجزیه نشانده نهاده آلتراسیون هیدروترمال بوسیله محلولهای قلیایی می باشد (تابلو شماره ۵، عکس شماره ۷).

پلازیوکلاز: این کانی بصورت بلورهای شکل دار تا نیمه شکل دار می باشد. درصد این کانی در سنگ خیلی کم می باشد. پلازیوکلازها دارای ترکیب آندزین بوده و اکثرأ به اپیدوت و کلسیت تبدیل شده اند.

ب - کانی های ثانویه

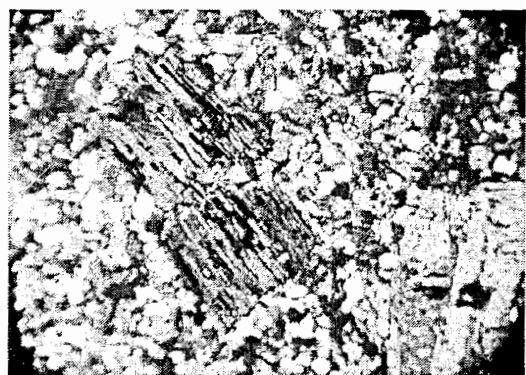
کلسیت: این کانی ناشی از تجزیه پلازیوکلاز می باشد. (تابلو شماره ۵، عکس شماره ۸).

کلریت: این کانی در اثر تجزیه پلازیوکلازها ایجاد شده است.

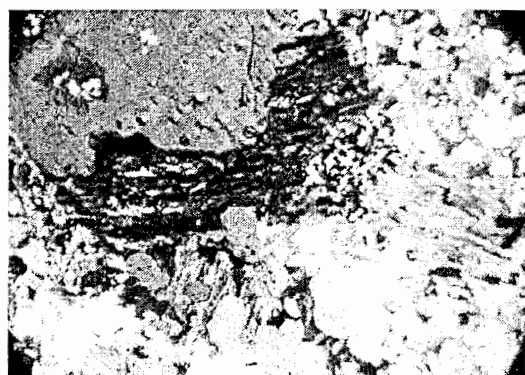
سریسیت: این کانی ناشی از تجزیه فلدسپاتهای آلكالن بوده و بیشتر در داخل آنها دیده می شود.

/اپیدوت: این کانی بصورت بی شکل و سبز رنگ بوده و حاصل دگرسانی پلازیوکلازها می باشد.

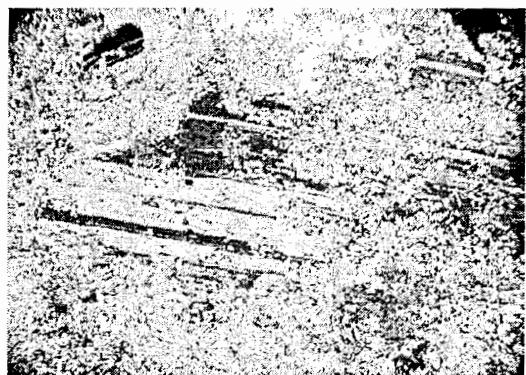
کانی /اپک: این کانی ها بیشتر اکسیدهای آهن (هماتیت و الیژیست) می باشند که در داخل سنگ به صورت پراکنده دیده می شوند.



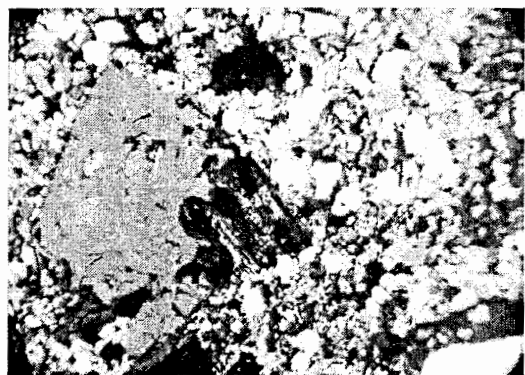
شكل ب



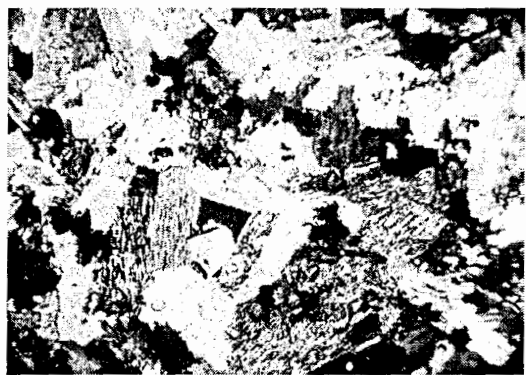
شكل الف



شكل د



شكل ج



شكل و



شكل ه

تаблицه (٤-٥)

۴-۱۲ نتایج حاصل از مطالعه پتروگرافی:

نتایج حاصل از مطالعات پتروگرافی نشان می دهد که:

- ۱- سنگهای منطقه مزبور از نظر سنگ شناسی متنوع بوده، و شامل ریولیت، توف ریولیتی، بازالت، گابرو و دیاباز، داسیت، سینیت، ایگنیمبریت و گرانودیوریت میباشد.
- ۲- وجود کانیهای ثانوی فراوان نظیر کانیهای رسی، سریسیت، اپیدت، کلسیت و در اکثر نمونه‌ها بیانگر عملکرد آلتراسیون هیدرولیک دمای پایین است. فعالیت گسلها و همچنین شکستگیهای ناشی از آنها به دلیل فراهم آوردن فرصت لازم جهت چرخش محلولها بر شدت آلتراسیون هیدرولیک افزوده است. همچنین در محیط موج شکن نیز به دلیل هوازدگی نمک سنگها کمی دچار هوازدگی شده اند، ولی بدلیل هوازدگی زیاد سنگهای برداشت شده از گنبدهای نمکی، این هوازدگی به طور روشنی مشاهده نمی شود.
- ۳- با توجه به مقایسه میزان کانی‌های ثانویه در نمونه‌های سنگی معادن و نمونه‌های بکار رفته در محیط موج شکن‌ها، گابروها، سینیت‌ها و گرانودیوریت‌ها کمتر دچار هوازدگی شده اند و لی توفهای ریولیتی و ریولیتها کمی بیشتر هوازده شده اند، داسیتها و بازالتها بسیار هوازده شده اند.
- ۴- کانه زایی وابسته به این توده‌ها از گسترش و اهمیت کمی برخوردار بوده و منحصر به محدود رگه‌های الیزیست، مگنتیت و پیریت در سنگهای مذکور میباشد.

فصل پنجم

گاز طبیعت
دودام داری بُر روی
نمونه ۵

۱-۵ مقدمه:

در مطالعه حاضر از تعداد ۴۸ نمونه برداشت شده از موج شکنها و معادن سنگ، تعداد ۴۴ نمونه سنگی جهت انجام آزمایشات مقاومت دوام داری انتخاب شدند در جدول (۱-۵) لیست آزمایشات انجام شده بر روی نمونه ها ارائه شده است. روش انجام آزمایشات و نحوه انجام محاسبات آنها بطور خلاصه در جدول (۲-۵) آمده است.

جدول (۱-۵)، فعالیتهای آزمایشگاهی انجام شده

نوع آزمایش	تعداد انجام آزمایش	استاندارد آزمایش
تعیین خواص فیزیکی نمونه ها	۴۴	ISRM
مقاومت فشاری تک محوری	۳۴	ASTM.D 2938
تعیین سرعت صوت	۲۶	ASTM.D 2845
تعیین شاخص دوام	۱۹	ASTM.D 4644
تعیین مدول یانگ	۳۴	ASTM.D 3148
تعیین ارزش ضربه ای	۱۸	B.S-812
سلامت سنگ	۲۸	B.S-812
تهیه مقطع نازک	۶۰	x
تعیین میانگین اندازه دانه	۲۴	x
آنالیز مودال	۶	x
آنالیز XRD و XRF	۲۴	x
مجموع	۲۱۷	

جدول (۵-۲)، شرح مختصری از آزمایشات انجام شده (ASTM, ISRM)

مباحثات	مراحل	نمونه	استاندارد	از مایش
$\rho_d = \frac{Ms}{V}, V_r = \frac{Msat - Ms}{\rho_w}, V = \frac{Msat - Ms_{sub}}{\rho_w}$	(Ms) (Msat) (Ms _{sub})	قطعات کوچک با ۱- توزین نمونه در حالت خشک (Ms) ۲- اشباع نمونه ۳- توزین نمونه در حالت اشباع (Msat) ۴- توزین نمونه در حالت غوطه وری (Ms _{sub})	برگشتن داده ISRM	تعیین خصوصیات فیزیکی
$W_w = Msat - Ms, \rho_{sat} = \frac{Ms + V_v \rho_w}{V}, \rho_d = \frac{Ms}{V}$ $W_a = \frac{W_w}{Ms} * 100, n = \frac{100V_v}{V}, W_w = Msat - Ms$	$Id_2 = \frac{C - D}{A - D} * 100$	۱- خشک کردن نمونه و نمونه در گرمخانه با ۲- قرار دادن استوانه مشبک و نمونه در تشت ۳- دوران استوانه به تعداد ۲۰۰ دور در ۱ دقیقه ۴- خشک کردن نمونه و توزین آن (C) ۵- تکرار مراحل فوق در ۱۵ سیکل	۰.۵۵ گرم ASTM D4644	تاشخص دوم وارفته
$V_s = \frac{d}{t_s}, V_p = \frac{d}{t_p}$	$V: \text{سرعت موج (m/s)}$, $t: \text{زمان گذرنده (m)}$	۱- اندازه گیری طول نمونه ۲- کالیبر نمودن دستگاه ۳- قرار دادن تراس دیوسورها روی نمونه ۴- ارسال موج و اندازه گیری زمان گذرنده موج از d : فاصله بین فرستنده و گیرنده (طول نمونه)	۰.۵ میلیمتر ASTM D2845	سربعت موج صوتی
$E = \frac{\sigma}{\epsilon}, \sigma = \frac{F * 1000}{A}, \epsilon = \frac{\Delta L * 0.01}{H}, \sigma_c = \frac{F}{A}$ (MPa) ΔL (Pa) σ_c : مقاومت فشاری تک محوری (MN) F : حداکثر بار وارد (N) A : سطح مقطع اولیه نمونه (m^2)	۱- استثوار نمونه و صفحات بارگذاری در دستگاه ۲- افزایش پیوسته بار و ثبت مقادیر بار وارد و میزان ΔL از روی گیج‌های مربوطه ۳- ثبت حداکثر نیروی اعمالی و قدر حداقل	۰.۵ میلیمتر ASTM D2938	مقاومت فشاری تک محوری	میلیمتر

محاسبات	مراحل	نمونه	استاندارد	ازمایش
$I_s = \frac{P}{D^2}$	۱- اندازه گیری طول و قطر نمونه ۲- قرار دادن نمونه بین فکهای دستگاه ۳- اعمال پیوسته بار تازمان شکست نمونه ۴- ثبت بار حد کثیر	آزمایش قطعی: استوانه ای با نسبت $1/L/D < 1/3$ آزمایش محوری: استوانه ای با نسبت $1/L/D < 1$	ISRM ASTM D5731	مقاييس بار نقطه اي
$R = \frac{C - B}{A} \cdot 100$	۱- خشک کردن نمونه ها در گرماخانه بمدت ۶ ساعت ۲- توزین نمونه ها (A) و جام دستگاه ۳- ریختن نمونه ها در جام و متر اکم کردن آنها ۴- قرار دادن جام در جای خود و توسط چکش دستگاه ۵- وزارتانع معین (B) ضربه وارد می کنند. ۶- نمونه را روی الک ۸ ریخته و مقدار رد شده از الک را وزن می کنند (B).	قطعات سنگی که از الک $\frac{1}{2}$ اینچ رد شده وروی الک $\frac{3}{8}$ اینچ باقی می مانند	B. S-812	ارزش ضربه اي
$R = \frac{C - B}{A} \cdot 100$	۱- انحلال سولفات سدیم در آب و انتخاب نمونه هایی با زنگنه ای ۲- شستن نمونه و خشک کردن در گرماخانه بمدت ۴ ساعت و سپس توزین نمونه اولیه (A). ۳- قرار دادن نمونه در داخل سبد و سپس سبد را در داخل محلول به مدت ۱۹ ساعت قرار داده و سپس نمونه را در گرمخانه بمدت ۴ ساعت خشک می شود. ۴- توزین نمونه (B). ۵- تکرار مراحل فوق در ۱۵ سیکل	قطعات کوچک با ابعاد ۱۰ برابر بزرگترین دانه ابعاد کوچکتر از ۳۶ میلیمتر و بزرگتر از ۵۷ میلیمتر ۲- شستن نمونه و خشک کردن در گرماخانه بمدت ۴ ساعت و سپس توزین نمونه اولیه (A). ۳- قرار دادن نمونه در داخل سبد و سپس سبد را در داخل محلول به مدت ۱۹ ساعت قرار داده و سپس نمونه را در گرمخانه بمدت ۴ ساعت خشک می شود. ۴- توزین نمونه (B). ۵- تکرار مراحل فوق در ۱۵ سیکل	B. S-812	سلامت سیک

۳-۵ بررسی آزمایشات انجام شده و نتایج آنها :

۱-۳-۵ آزمایشهای تعیین خصوصیات فیزیکی: آزمایشات فیزیکی شامل تعیین درصد جذب آب،

درصد تخلخل، چگالی خشک و اشباع و وزن مخصوص نمونه های برداشت شده می باشد(جدول ۳-۵).

جدول (۳-۵) نتایج حاصل از انجام آزمایش تعیین خصوصیات فیزیکی سنگ ها

ردیف	نام سنگ	نمونه برداری	محل	جذب (%) آب	تخلخل (%)	چگالی اشباع (gr/cm ³)	چگالی خشک (gr/cm ³)	وزن مخصوص
1	توف ریولیتی	رجایی		4.71	10.64	2.318	2.213	2.52
2	توف ریولیتی	رجایی		8.16	17.09	2.323	2.256	2.53
3	توف	رجایی		4.37	9.92	2.322	2.225	2.52
4	ریولیت	رجایی		5.79	12.74	2.284	2.259	2.52
5	ریولیت	رجایی		3.6	8.33	2.354	2.272	2.53
6	داسیت	رجایی		3.83	8.83	2.349	2.263	2.53
7	داسیت	رجایی		3.99	9.23	2.359	2.269	2.55
8	سینیت	شناش		2.78	20.85	2.418	2.258	2.53
9	سینیت	شناش		3.11	24.08	2.385	2.238	2.48
10	سینیت	شناش		3.25	22.18	2.284	2.241	2.45
11	ریولیت	رجایی		6.27	22.71	2.366	2.237	2.52
12	ریولیت	رجایی		6.64	22.72	2.443	2.231	2.54
13	ریولیت	رجایی		3.86	24.81	2.49	2.389	2.69
14	ریولیت برشی	رجایی		1.38	24.19	2.461	2.386	2.52
15	ریولیت برشی	رجایی		4.69	24.03	2.398	2.296	2.63
16	ریولیت	رجایی		3.06	23.24	2.303	2.255	2.47
17	ریولیت	رجایی		13.38	20.85	2.407	2.339	2.5
18	ریولیت	رجایی		3.47	22.75	2.277	2.198	2.43
19	سینیت	شناش		2.99	23.16	2.385	2.229	2.46
20	سینیت	شناش		3.07	23.47	2.321	2.277	2.5
21	ریولیت	رجایی		9.59	21.81	2.346	2.29	2.52
22	گرانوودیوریت	کنگ		2.94	5.71	2.542	2.478	2.71
23	ریولیت	باهر		0.71	1.9	2.654	2.636	2.74
24	ریولیت	باهر		2.89	7.13	2.489	2.419	2.66
25	داسیت	بسنانه		1.19	3	2.506	2.476	2.6
26	داسیت	بسنانه		5.53	24.4	2.363	2.312	2.71
27	داسیت	بسنانه		5.83	24.3	2.304	2.296	2.71
28	ریولیت	باهر		1.95	4.67	2.395	2.349	2.51

ردیف	نام سنگ	محل نمونه برداری	آب(٪)	جذب(٪)	تخلخل(٪)	چگالی اشباع(gr/cm ³)	وزن مخصوص
29	ریولیت	باهنر	3.05	7.02	2.326	2.257	2.47
30	ریولیت	باهنر	2.59	6.18	2.399	2.339	2.54
31	ریولیت	باهنر	2.9	6.7	2.332	2.267	2.48
32	داسیت	بسنانه	5.53	12.33	2.308	2.287	2.54
33	داسیت	بسنانه	5.31	12	2.333	2.215	2.57
34	دیاباز	لنگه	0.37	1.05	2.834	2.824	2.91
35	ریولیت	رجایی	3.46	8.04	2.356	2.277	2.52
36	دیاباز	کنگ	0.62	1.81	2.904	2.886	2.91
37	بازالت	حسینه	8.41	18.44	2.331	2.251	2.69
38	بازالت	حسینه	7.12	16.11	2.379	2.221	2.7
39	بازالت	حسینه	3.44	8.45	2.491	2.408	2.68
40	گرانودیوریت	کنگ	2.97	7.51	2.556	2.482	2.74
41	ریولیت	رجایی	0.5	1.29	2.539	2.526	2.61
42	داسیت	رجایی	0.75	1.91	2.511	2.492	2.59
43	گابرو	لنگه	0.64	1.9	2.917	2.898	2.9
44	توف	حسینه	8.48	18.38	2.305	2.125	2.65
45	داسیت	رجایی	0.83	2.11	2.508	2.488	2.59
46	داسیت	رجایی	0.65	1.67	2.547	2.531	2.62
47	کوارتزموزنونیت	حسینه	2.80	6.92	2.491	2.424	2.651
48	کوارتزموزنونیت	حسینه	2.63	6.58	2.515	2.450	2.67
49	گابرو	بسنانه	0.98	1.71	2.863	2.832	2.89
50	گابرو	لنگه	0.55	1.53	2.708	2.693	2.79

با توجه به جدول (۳-۵)، میانگین جذب آب نمونه ها برابر ۴/۰٪ بوده و بیشترین مقدار جذب آب (۰/۳۷) متعلق به یک نمونه ریولیت از بندر شهید رجایی و کمترین میزان جذب آب (۰/۳۸) متعلق نمونه دیابازی از بندر لنگه می باشد. میانگین تخلخل نمونه ها ۱۳/۷۵٪ بوده و بیشترین تخلخل (۰/۱۰۵) متعلق به یک نمونه ریولیت از بندر شهید رجایی و کمترین تخلخل (۰/۲۴۸) متعلق به نمونه دیابازی از بندر لنگه می باشد. میانگین وزن مخصوص نمونه ها ۲/۵۸ بوده و بیشترین وزن مخصوص (۲/۹۱) متعلق به یک نمونه دیابازی از بندر لنگه و کمترین وزن مخصوص (۲/۴۳) متعلق به یک نمونه ریولیت از بندر شهید رجایی می باشد.

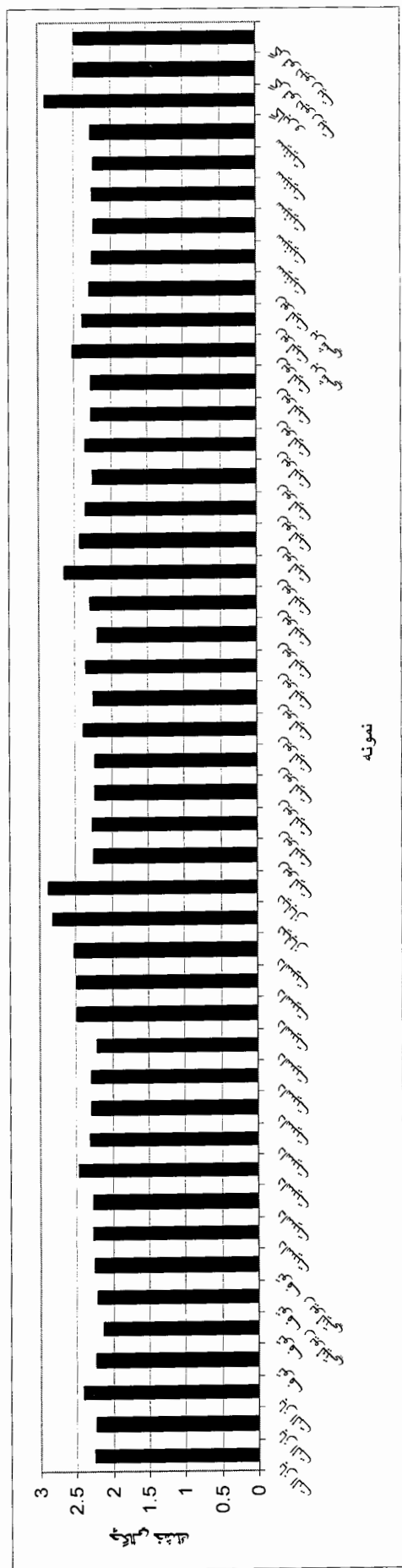


شکل (۱-۵)، هیستوگرام مربوط به مقادیر درصد جذب آب نمونه ها

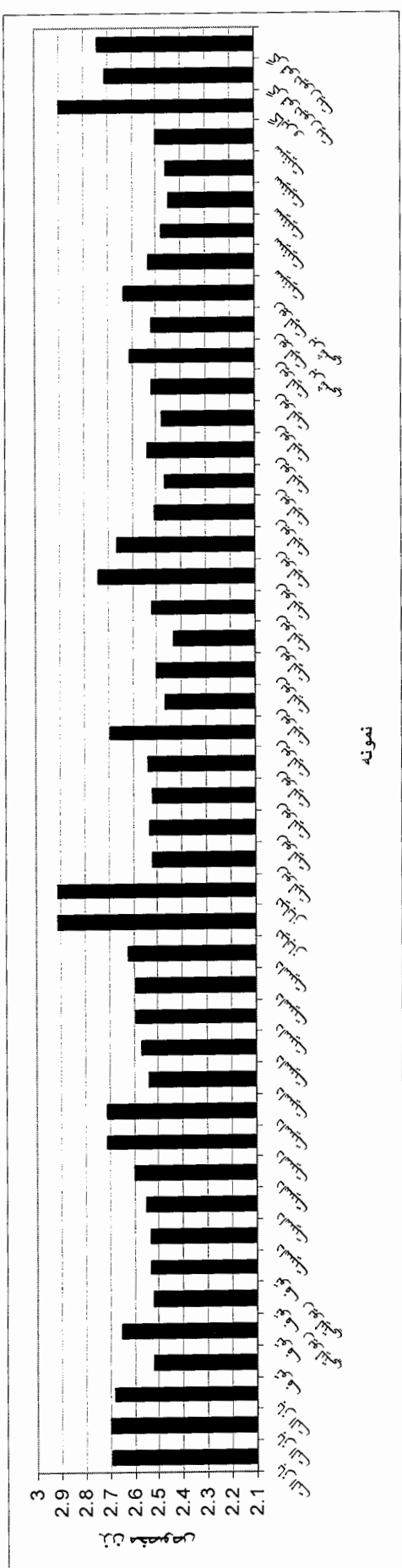


شکل (۵-۳)، هیستوگرام مربوط به مقادیر تخلخل نمونه‌ها

شکل (۵-۳)، هیستوگرام مریط به مقادیر چگالی خشک نمونه ها



شکل (۵-۴)، هیستوگرام مریط به مقادیر وزن مخصوص نمونه ها



نمونه

نمونه

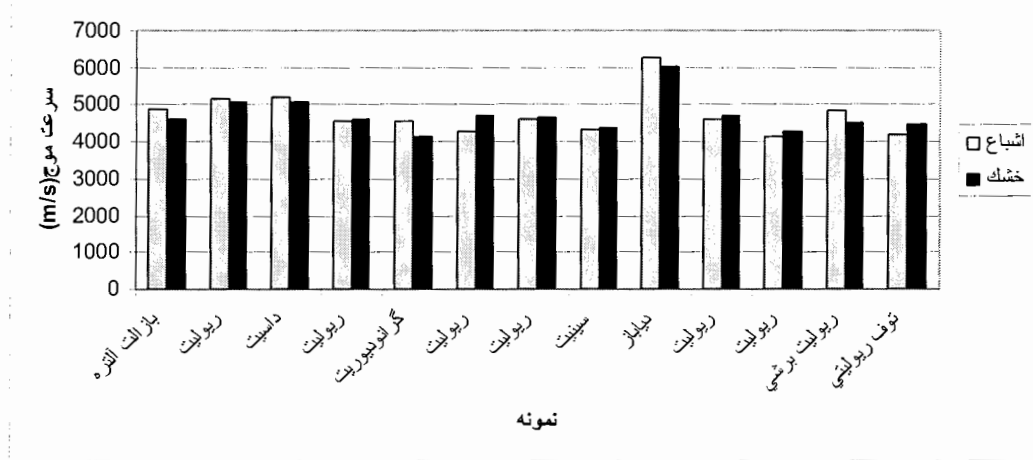
۵-۳-۲ تعیین سرعت صوت، (ISRM,ASTM D2845)

سرعت امواج صوتی با توجه به زمان گذر موج صوتی از فرستنده به گیرنده ای که در دو طرف نمونه نصب میگردد و در طول نمونه محاسبه می گردد. از عوامل موثر بر سرعت امواج صوتی در سنگ می توان به نوع سنگ، ترکیب کانی شناسی، درجه درهم شدگی کانی ها، بافت، چگالی، تخلخل، سطح تنش، ناهمسانگردی، درصد رطوبت و درجه حرارت اشاره نمود. در جدول (۴-۵) نتایج نشان داده شده است.

جدول (۴-۵)، نتایج آزمایشات سرعت صوت

ردیف	نام سنگ	شماره نمونه	محل برداشت نمونه	وضعیت خشک	وضعیت اشباع	ساعت موج (m/s)	زمان عبور موج	طول نمونه (cm)
1	توف ریولیتی	1	رجایی	28.1	4483.99	4178.32	28.6	119.5
2	ریولیت	4	رجایی	27.2	4647.06	4626.81	27.6	127.7
3	ریولیت	11	رجایی	34.7	4608.07	4572.25	34.6	123.6
4	ریولیت برشی	14	رجایی	25.1	4501.99	4852.52	23.3	113
5	ریولیت	16	رجایی	24.1	4684.65	4583	24.7	113.2
6	سینیت	19	شناس	26.2	4389.31	4332.08	26.5	114.8
7	ریولیت	21	رجایی	29.3	4290.1	4161.07	29.8	124
8	گرانودیوریت	22	کنگ	26.9	4163.57	4573.71	25.1	114.8
9	ریولیت	31	باهنر	22.5	5071.11	5176.47	22.1	114.4
10	ریولیت	35	رجایی	24.4	4680.33	4302.24	26.8	115.3
11	دیاباز	36	لنگه	20.7	6038.65	6250	20.8	130
12	بازالت آلتره	37	حسینه	24.8	4612.9	4876.6	23.5	114.6
13	داسیت	42	رجایی	22.2	5076.58	5193.55	21.7	112.7

با توجه به نتایج بدست آمده از آزمایش تعیین سرعت صوت، میانگین سرعت صوت در حالت اشباع ۴۷۱۱ و در حالت خشک ۴۷۴۴ میباشد. کمترین مقدار سرعت صوت در حالت خشک (۴۱۶۳/۵۷) متعلق به نمونه گرانودیوریتی از بندر کنگ و بیشترین سرعت در حالت خشک (۶۰۳۸/۶۵) متعلق به نمونه دیاباز از بندر لنگه میباشد. کمترین مقدار سرعت صوت در حالت اشباع (۴۱۶۱/۰۷) متعلق به نمونه دیاباز از نمونه ریولیتی از بندر شهید رجایی و بیشترین سرعت در حالت اشباع (۶۲۵۰) متعلق به نمونه دیاباز از بندر لنگه میباشد.



شکل(۵-۵)،هیستوگرام مربوط به مقادیر سرعت موج در نمونه ها

۳-۳-۵ آزمایش سلامت سنگ: (B.S-812,143 2,1971)

هدف این آزمایش تعیین میزان درصد افت وزنی سنگها تحت تاثیر نمک می باشد.

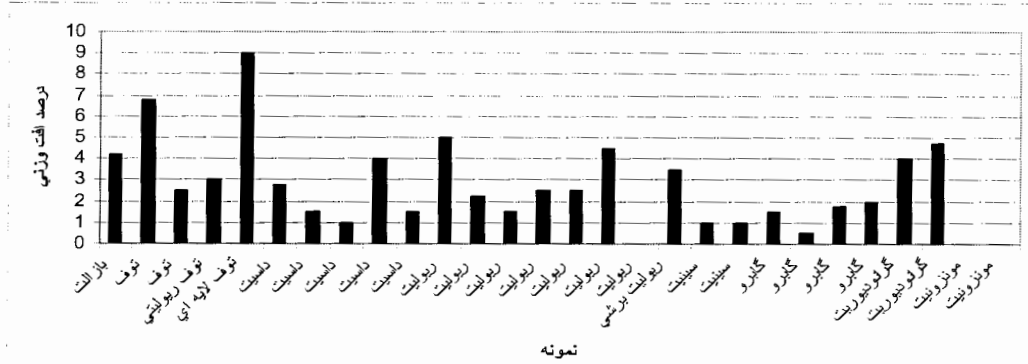
جدول(۵-۵)،نتایج آزمایشات سلامت سنگ

ردیف	نام سنگ	شماره نمونه	محل برداری	درصد افت وزنی	تعداد سیکل	ردیف	نام سنگ	شماره نمونه	محل برداری	درصد افت وزنی	تعداد سیکل	ردیف	نام سنگ	شماره نمونه	محل برداری	درصد افت وزنی	تعداد سیکل
1	توف ریولیتی	1	رجایی	3	15	14	ریولیت	31	باهر	0	14	1	ریولیت	34	بستانه	1.5	باهر
2	توف	3	رجایی	2.5	16	11	گابرو	37	حسینه	4.2	بازالت	17	رجایی	40	کنگ	4	گرانودیبوریت
3	سینیت	8	شناس	1	14	14	رجایی	42	رجایی	1	داسیت	19	رجایی	43	گابرو	9	تسانی
4	ریولیت برشی	14	رجایی	3.5	18	14	رجایی	44	حسینه	6.8	توف	21	کنگ	44	تسانی	1.75	تسانی
5	ریولیت	16	رجایی	2.5	19	10	رجایی	44	حسینه	9	تسانی	22	تسانی	45	تسانی	2.75	تسانی
6	سینیت	19	شناس	1	20	14	رجایی	44	تسانی	12	تسانی	20	تسانی	46	تسانی	0.5	تسانی
7	گرانودیبوریت	22	کنگ	4.75	21	7	تسانی	44	تسانی	9	تسانی	21	تسانی	47	تسانی	0	تسانی
8	ریولیت	23	باهر	5	22	12	تسانی	44	تسانی	10	تسانی	22	تسانی	48	تسانی	1.5	تسانی
9	ریولیت	24	باهر	2.25	23	12	تسانی	45	تسانی	14	تسانی	23	تسانی	49	تسانی	2.75	تسانی
10	داسیت	25	بستانه	1.5	24	10	تسانی	46	تسانی	10	تسانی	24	تسانی	49	تسانی	0	تسانی
11	داسیت	26	بستانه	4	25	15	تسانی	47	تسانی	14	تسانی	25	تسانی	49	تسانی	0	تسانی
12	ریولیت	28	باهر	1.5	26	14	تسانی	48	تسانی	7	تسانی	26	تسانی	49	تسانی	0	تسانی
13	ریولیت	29	باهر	2.5	27	12	تسانی	49	تسانی	13	تسانی	27	تسانی	50	تسانی	0.5	تسانی
14	ریولیت	30	باهر	4.5	28	14	تسانی	50	تسانی	14	تسانی	28	تسانی	51	تسانی	2	تسانی

با توجه به نتایج بدست آمده از آزمایش سلامت سنگ، میانگین درصد افت وزنی نمونه ها٪ ۲/۶۶

میباشد و کمترین مقدار افت وزنی(۰) متعلق به نمونه ریولیتی از بندر شهید باهر و نمونه مونزونیتی

بندر حسینه بوده و بیشترین مقدار افت وزنی(۹) متعلق به نمونه توفی از بندر حسینه میباشد.

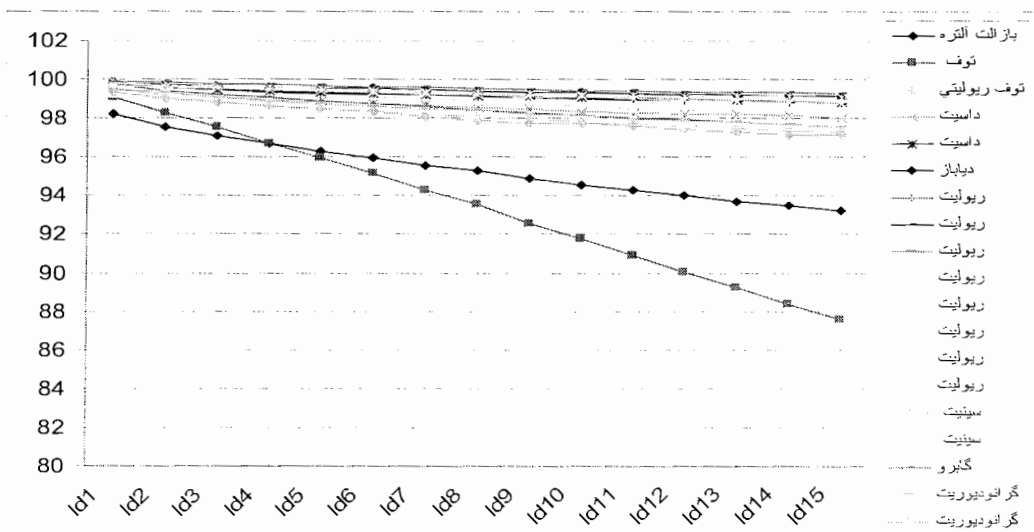


شکل(۶-۵)، هیستوگرام مربوط به مقادیر افت وزنی نمونه ها در آزمایش سلامت سنگ

۴-۳-۵ شاخص دوام وارفتگی، (ISRM- ASTM D4644)

وارفتگی از ویژگیهای اساسی سنگهای ضعیف و به خصوص سنگهای حاوی کالی های رسی می باشد. شاخص دوام یک شاخص بسیار مناسب برای نشان دادن حساسیت سنگ در برابر تر و خشک شدن متوالی و تاثیرات شیمیایی آب میباشد. این آزمایش برای تعیین میزان مقاومت یک نمونه سنگی تحت تاثیر دو مرحله تر و خشک شدن متوالی به کار می رود(جدول ۶-۵).

با توجه به نتایج آزمایشات دوام نمونه ها، میانگین Id4 برابر با ۹۸/۷۹ بوده و بیشترین مقدار افت وزنی در طول ۱۵ سیکل متعلق به نمونه توف بندر حسینه و کمترین میزان افت وزنی در طول ۱۵ سیکل متعلق نمونه گابرو از بندر بستانه می باشد.



شکل(۶-۶)، هیستوگرام مربوط به مقادیر افت وزنی نمونه ها در آزمایش دوام

جدول (۵-۶).نتایج حاصل از انجام آزمایش دوام سنگ ها

	Id15	Id14	Id13	Id12	Id11	Id10	Id9	Id8	Id7	Id6	Id5	Id4	Id3	Id2	Id1	محل نمونه	شماره برداری	نمونه	نام سنگ	ردیف
98.01	98.15	98.28	98.4	98.5	98.62	98.76	98.86	99	99.1	99.19	99.32	99.44	99.59	99.75	رجایی	1	توف ریولیتی	توف	5	
97.56	97.69	97.82	97.93	97.99	98.12	98.31	98.42	98.58	98.71	98.88	99.05	99.22	99.43	99.73	رجایی	4	ریولیت	ریولیت	2	
96.84	96.97	97.09	97.24	97.39	97.5	97.67	97.8	97.97	98.17	98.34	98.51	98.72	99	99.31	شناس	8	سینیتیت	سینیتیت	16	
94.61	94.92	95.19	95.46	95.99	96.07	96.43	96.65	96.95	97.43	97.78	98.14	98.4	99.04	99.38	رجایی	11	ریولیت	ریولیت	14	
99.1	99.12	99.15	99.17	99.2	99.23	99.27	99.31	99.37	99.43	99.51	99.6	99.68	99.78	99.87	رجایی	14	ریولیت	ریولیت	17	
97.55	97.65	97.74	97.8	97.9	98	98.14	98.24	98.34	98.47	98.63	98.81	98.95	99.29	99.57	رجایی	16	ریولیت	ریولیت	11	
97.26	97.38	97.47	97.59	97.68	97.82	97.93	98.06	98.19	98.35	98.5	98.61	98.86	99.04	99.35	شناس	19	سینیتیت	سینیتیت	1	
95.68	95.82	95.98	96.16	96.3	96.56	96.86	97.1	97.35	97.62	97.9	98.18	98.49	98.85	99.2	رجایی	21	ریولیت	ریولیت	12	
97.57	97.7	97.79	97.87	97.95	98.12	98.22	98.4	98.51	98.64	98.77	98.89	99.08	99.32	99.47	کنگ	22	گرانوپورت	گرانوپورت	3	
98.73	98.79	98.85	98.92	99	99.12	99.1	99.18	99.27	99.37	99.42	99.45	99.52	99.6	99.69	باختر	23	ریولیت	ریولیت	15	
98	98.13	98.18	98.2	98.28	98.37	98.46	98.53	98.66	98.74	98.85	98.97	99.13	99.24	99.46	بسنانه	26	داسپیت	داسپیت	6	
98.76	98.83	98.88	98.93	98.97	99.01	99.09	99.13	99.19	99.23	99.29	99.36	99.49	99.64	99.74	بسنانه	31	ریولیت	ریولیت	4	
99.28	99.31	99.34	99.36	99.39	99.43	99.48	99.54	99.58	99.63	99.68	99.73	99.77	99.84	99.89	گلبرو	34	گلبرو	گلبرو	19	
98.78	98.86	98.91	99.04	99.05	99.1	99.12	99.18	99.22	99.32	99.38	99.45	99.52	99.61	99.75	رجایی	35	ریولیت	ریولیت	7	
99.11	99.15	99.2	99.24	99.29	99.33	99.35	99.41	99.46	99.51	99.56	99.62	99.68	99.75	99.84	لسگ	36	دیلار	دیلار	10	
93.24	93.52	93.72	94.01	94.3	94.56	94.9	95.26	95.55	95.93	96.27	96.68	97.05	97.55	98.18	حسینه	37	بازالت آذره	بازلت آذره	8	
97.12	97.18	97.31	97.43	97.6	97.74	97.76	97.89	98.06	98.34	98.5	98.63	98.81	99.04	99.31	کنگ	40	گرانوپورت	گرانوپورت	13	
98.79	98.8	98.92	98.93	99	99.05	99.13	99.16	99.19	99.25	99.31	99.4	99.5	99.61	99.69	رجایی	42	داسپیت	داسپیت	9	
87.58	88.37	89.27	90.04	90.9	91.75	92.59	93.54	94.32	95.17	95.93	96.7	97.53	98.3	99.07	حسینه	44	توف	توف	18	

۵-۳-۵ مقاومت فشاری تک محوری (ISRM, ASTM D3148, ASTM D2938)

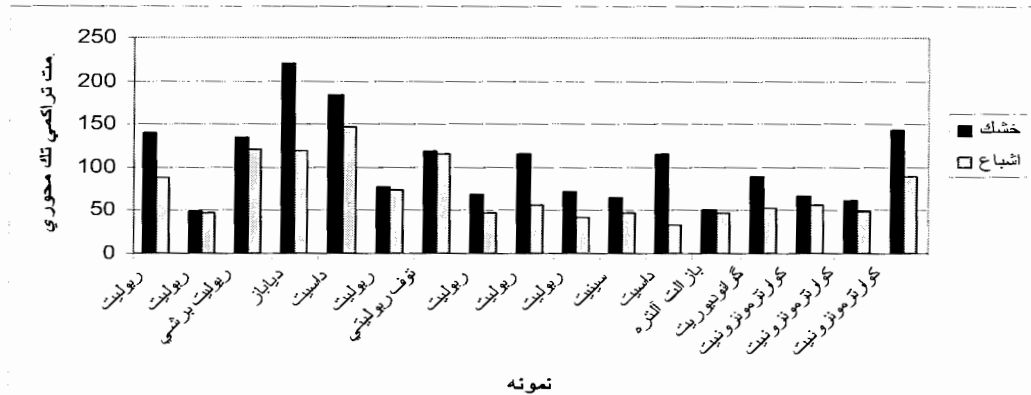
آزمایش مقاومت تک محوری مرسوم ترین آزمون آزمایشگاهی برای مطالعات سنگها می باشد که با وجود ظاهری ساده انجام دقیق آن بسیار مشکل است. این آزمایش به عنوان آزمایش پایه در اکثر پژوههای مهندسی انجام می شود. مقاومت فشاری تک محوری سنگها بر اساس حداکثر بار قائم که بصورت محوری روی یک نمونه استوانه ای اعمال می شود، تعیین می گردد. عواملی که در مقادیر بدست آمده تاثیر دارند عبارتند از: مشخصات نمونه (نسبت طول به قطر نمونه، سطح نمونه)، سرعت بارگذاری، ترکیب کانی شناسی، چگالی، تخلخل، اندازه دانه ها، ناهمسانگردی، اصطکاک بین صفحات ماشین، درجه حرارت، رطوبت نمونه (جدول ۵-۷).

جدول (۵-۷)، نتایج آزمایشات مقاومت تک محوری سنگها

ردیف	نام سنگ	شماره نمونه	محل نمونه برداری	وضعیت خشک				وضعیت اشباع				نسبت مدول خشک به اشباع	نسبت مقاومت خشک به اشباع
				مدول الاستیسیته (Gpa)	مقاومت فشاری اوج (Mpa)	مدول الاستیسیته (Gpa)	مقاطع فشاری اوج (Mpa)	قطر	طول	مدول الاستیسیته (Gpa)	مقاومت فشاری اوج (Mpa)		
7	توف ریولیتی	1	رجایی	12.08	114.8	10.881	118.6	57.7	124.5	1.03	0.90		
9	ریولیت	4	رجایی	7.895	55.28	11.045	116	57.4	126.4	2.10	1.40		
8	ریولیت	11	رجایی	4.331	47.82	9.565	68.87	57.7	123.6	1.44	2.21		
3	ریولیت برشی	14	رجایی	11.74	120.2	11.74	135.3	53.3	113	1.13	1.00		
10	ریولیت	16	رجایی	6.081	42.57	7.356	72.37	54.7	113.2	1.70	1.21		
11	سینیت	19	شناس	3.142	46.83	6.128	63.86	54.7	115	1.36	1.95		
6	ریولیت	21	رجایی	7.469	73.21	8.695	76.53	57.7	125.7	1.05	1.16		
14	گرانوپوریت	22	کنگ	6.569	53.21	10.955	89.4	54.7	112	1.68	1.67		
12	داسیت	26	بسانه	13.62	34.04	16.41	114.9	54.7	113.4	3.38	1.20		
1	ریولیت	31	باہتر	8.422	87.27	10.724	140.5	54.7	114.4	1.61	1.27		
2	ریولیت	35	رجایی	6.504	46.83	6.528	48.96	54.7	114.2	1.05	1.00		
4	دیباز	36	لنگه	9.643	118.6	4.867	220.5	56	125	1.86	0.50		
13	بازالت آتره	37	حسینه	5.915	46.73	9.307	50.26	53.5	114.4	1.08	1.57		
5	داسیت	42	رجایی	10.72	146.9	10.534	184.4	54.7	112.7	1.26	0.98		
15	کوارتزمونزونیت	47	حسینه	8.08	56.59	7.42	66.8	54.7	114	1.18	0.92		
16	کوارتزمونزونیت	48	حسینه	10.19	48.93	8.12	61.7	54.7	114.3	1.26	0.80		

با توجه به نتایج بدست آمده از آزمایش مقاومت تک محوری، میانگین مقاومت و مدول الاستیسیته در حالت اشباع به ترتیب ۷۲/۲۵ و ۸/۴۸ بوده و میانگین مقاومت و مدول الاستیسیته در حالت خشک به

ترتیب ۹/۶۳ و ۱۰/۴ میباشد. کمترین مقدار مقاومت در حالت خشک (۴۸/۹۶) متعلق به نمونه ریولیتی از بندر شهید رجایی و بیشترین مقاومت در حالت خشک (۲۲۰/۴۷) متعلق به نمونه دیاباز از بندر لنگه میباشد. کمترین مقدار مقاومت در حالت اشباع (۳۴/۰۴) متعلق به نمونه داسیتی از بندر بستانه و بیشترین مقاومت در حالت اشباع (۱۴۶/۸۸) متعلق به نمونه داسیتی از بندر شهید رجایی میباشد.



شکل (۸-۵)، هیستوگرام مربوط به مقادیر مقاومت تک محوری نمونه ها

۵-۳-۶ تعیین ارزش ضربه ای سنگها :

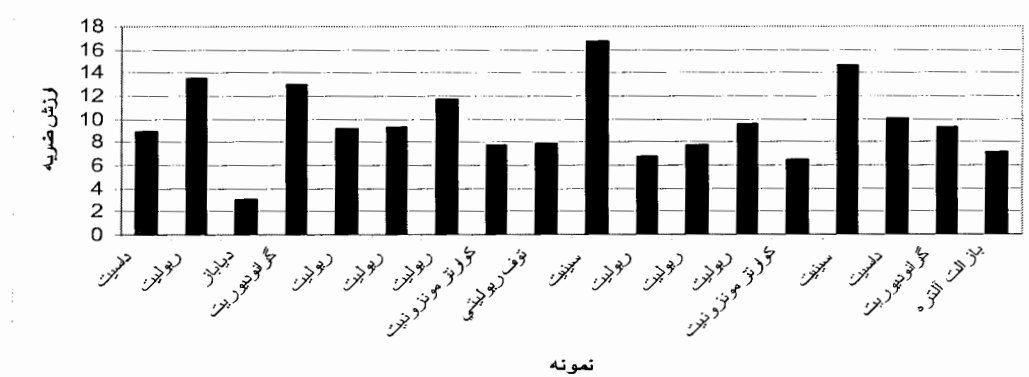
نتایج این آزمایش بطور نسبی نشان دهنده مقاومت مصالح سنگی در مقابل شوک ناگهانی یا ضربه میباشد. این آزمایش بر اساس استاندارد B. S-812 انجام شده است (جدول ۸-۵).

$$\text{ارزش ضربه ای (A.I.V)} = \frac{\text{وزن ذرات ریز رد شده از الک شماره ۸ بر حسب گرم}}{\text{وزن نمونه با سطح خشک قبل از آزمایش}} \times 100$$

جدول (۸-۵)، نتایج آزمایشات ارزش ضربه ای نمونه ها

ردیف	نام سنگ	شماره نمونه	نام سنگ	ردیف	ارزش ضربه ای (%)	محل نمونه برداری	ردیف	نام سنگ	شماره نمونه	محل نمونه برداری
1	توف ریولیتی	1	داسیت	10	7.86	رجایی	10.04	بستانه	26	
2	ریولیت	4	ریولیت	11	7.82	رجایی	6.74	باهر	31	
3	سینیت	8	ریولیت	12	16.67	شناس	11.71	رجایی	35	
4	ریولیت	11	دیاباز	13	13.53	رجایی	3.09	لنگه	36	
5	ریولیت	16	بازالت آلتره	14	9.18	رجایی	7.11	حسنه	37	
6	سینیت	19	گرانودیبوریت	15	14.69	شناس	13.02	کنگ	40	
7	ریولیت	21	داسیت	16	9.54	رجایی	8.92	رجایی	42	
8	گرانودیبوریت	22	کوارتز مونزونیت	17	9.31	کنگ	6.48	حسنه	47	
9	ریولیت	23	کوارتز مونزونیت	18	9.29	باهر	7.84	حسنه	48	

ارزش ضربه (۱۶/۶۷) متعلق به نمونه سینیمی از بندر شناس میباشد
۹/۶۰ میباشد. کمترین مقدار ارزش ضربه (۳/۰۹) متعلق به نمونه دیاباز از بندر لنگه بوده و بیشترین
با توجه به نتایج بدست آمده از آزمایش ارزش ضربه ای، میانگین ارزش ضربه ای نمونه ها برابر با



شکل (۹-۵)، هیستوگرام مربوط به مقادیر ارزش ضربه ای نمونه ها

۵-۳-۷ تعیین میانگین اندازه دانه:

برای این کار از روش کان(۱۹۵۶) استفاده شد، که در آن در یک فاصله حدود ۲۰ mm در روی مقطع نازک سنگ، تعداد مرزها شمرده شده و سپس این فاصله(۲۰ mm) بر تعداد مرزها تقسیم می شود. عدد بدست آمده به عنوان میانگین اندازه دانه های سنگ در نظر گرفته می شود(جدول ۵-۹).

جدول (۵-۹)، میانگین اندازه دانه های نمونه ها

ردیف	نام سنگ	شماره نمونه برداری	ردیف	نام سنگ	شماره نمونه	ردیف	نام سنگ	شماره نمونه برداری	ردیف	میانگین
1	RT1	رجایی	1	BBE1	30	باهر	0.0538	نمونه برداری	شماره نمونه	میانگین
2	RT12	رجایی	3	BOT5	34	بسنانه	0.1852	نمونه برداری	شماره نمونه	میانگین
3	RT13	رجایی	4	GO.S1	36	کنگ	0.0659	نمونه برداری	شماره نمونه	میانگین
4	GACH3	رجایی	5	HAS4	37	حسینه	0.0795	نمونه برداری	شماره نمونه	میانگین
5	SHT1	شناس	8	KT10	40	کنگ	0.4857	نمونه برداری	شماره نمونه	میانگین
6	RT3	رجایی	11	RD8	42	رجایی	0.1308	نمونه برداری	شماره نمونه	میانگین
7	RT16	رجایی	14	LD10	43	لنگه	0.1042	نمونه برداری	شماره نمونه	میانگین
8	GACH4	رجایی	16	LS8	43	لنگه	0.2941	نمونه برداری	شماره نمونه	میانگین
9	SHS2	شناس	19	HaT2	44	حسینه	0.021	نمونه برداری	شماره نمونه	میانگین
10	RS4	رجایی	21	RS6	45	رجایی	0.098	نمونه برداری	شماره نمونه	میانگین
11	KS9	کنگ	22	RS7	46	رجایی	0.1566	نمونه برداری	شماره نمونه	میانگین
12	BOS4	بسنانه	26	BOT6	49	بسنانه	0.1739	نمونه برداری	شماره نمونه	میانگین
13	BS1	باهر	28	SHT1	88	شناس	0.3778	نمونه برداری	شماره نمونه	میانگین
14	BS10	باهر	29	RT2		رجایی	0.0941	نمونه برداری	شماره نمونه	میانگین

۸-۳-۵ آنالیز شیمیایی نمونه ها

۱۴ نمونه سنگی بوسیله آنالیز XRF تجزیه شده که نتایج آن در جدول (۱۰-۵) آمده است و ۱۲ نمونه هم بوسیله آنالیز XRD تجزیه شد، که گرافهای آن در ادامه آمده است. سپس انواع ضرایب هوازدگی و مقادیر نرماتیو کانی ها برای آنها محاسبه گردید که نتایج آنها به ترتیب در جدول (۱۱-۵) و (۱۲-۵) آمده است.

جدول (۱۰-۵) نتایج آنالیز XRF نمونه ها

sample	RT1	RD8	KS9	BD12	GAS1	SHT2	GAS2	RT12	COS1	BOS4	LD10	RT16	HAS4	GI
SiO ₂	76.25	71.28	52.43	72.19	72.18	58.08	70.21	75.57	44.57	74.64	46.72	73.38	51.48	52.26
TiO ₂	0.131	0.193	0.938	0.218	0.052	0.496	0.316	0.13	0.96	0.248	2.132	0.297	1.17	1.14
Al ₂ O ₃	11.5	12.12	15.53	12.1	12.33	15.58	13.6	11.32	11.84	12.37	13.52	12.94	15.49	14.85
Fe ₂ O ₃	1.499	1.31	8.195	2.663	0.942	5.175	0.79	1.629	11.475	0.928	14.339	0.576	8.87	9.77
MnO	0.017	0.019	0.224	0.016	0.026	0.166	0.018	0.018	0.125	0.005	0.236	0.014	0.23	0.24
MgO	0.41	0.32	3.18	0.25	0.08	0.23	1.13	0.45	16.36	0.11	6.62	0.62	7.48	7.7
CaO	0.19	0.54	2.86	0.39	0.69	2.93	0.99	0.23	8.05	0.56	8.12	0.93	10.02	8.81
Na ₂ O	0.08	3.94	3.6	4.45	3.53	5.26	6.81	0.25	1.12	8.44	2.86	8.29	4.41	4.38
K ₂ O	7.67	5.21	5.61	4.43	5.13	6.53	3.37	7.39	2.69	0.3	1.15	1.25	0.68	0.68
As	7	4	1	8	11	10	9	7	3	10	7	10	27.71	26.43
Ba	1707	698	1034	725	638	252	458	1633	353	48	434	673	127.26	164.67
Bi	111	122	25	33	112	42	123	118	26	143	24	132	2.5	3.22
Ce	64	64	125	79	40	98	82	84	37	121	46	102	60.24	42.79
Co	1	1	8	1	2	5	1		57	2	44	2	43.1	62
Cr	84	189	43	165	137	61	109	106	989	173	196	135	212.44	201.26
Cs	18	4	16	1	13	2	3	6	4	3	13	5	0.24	0.14
Cu	54	1	4	1	6	2	8	134	5		109	10	65.68	32.53
F	172	548	105	338	67	275	767	269	393	111	15	90	4.12	3.84
Ga	12	17	27	14	18	26	18	12	13	22	19	17	27.71	26.43
Hf	4	4	11	6	3	11	5	4	2	7	3	4	2.5	3.22
La	40	43	79	50	32	57	41	44	38	93	30	55	31.92	27.44
Mo	8	6	23	7	5	33	10	10	23	12	11	1	0.47	0.4
Nb	16	12	46	14	10	66	20	20	46	24	22	2	4.72	4.57
Nd	24	25	53	26	12	47	39	39	15	91	13	48	17.34	18.5
Ni	48	50	106	52	24	94	78	78	30	182	26	96	138.55	122.99
Pb	96	100	212	104	48	188	156	156	60	364	52	192	9.24	11.18
Pr	3	9	22	7	7	17	3	8	1	27	0	7	65.68	32.53
Rb	139	160	149	166	193	169	148	130	97	49	54	90	6.16	4.07
Sb	2	1	2	1	2	2	1	2	2	1	2	1	53.37	36.59
Sm	2	0	11	2	5	7	3	6	4	10	2	2	4.12	3.84
Sn	38	7	15	22	38	36	18	27	39	17	8	20	6.16	4.07
Sr	86	255	156	201	94	216	105	86	354	99	343	284	166.26	136.21
Ta	6	6	5	6	8	8	12	4	2	12	2	9		
Th	18	18	15	18	24	24	36	12	6	36	6	27		
V	63	66	126	68	54	86	78	62	129	69	235	78	110.84	118.93
Y	27	72	18	60	63	30	57	15	3	90	15	72	36.95	29.48
Zn	54	144	36	120	126	60	114	30	6	180	30	144	53.37	36.59
Zr	108	288	72	240	252	120	228	60	12	360	60	288	99.55	101.65

جدول (۵-۱) اثوابه هوازدگی محاسبه شده برای نمونه ها

SAMPLE	RT1	RD8	KS9	BD12	GAS1	SHT2	GAS2	RT12	COSI	BOS4	LD10	RT16	HAS4	GI
SA(KI)	6.63	5.88	3.38	5.97	5.85	3.73	5.16	6.68	3.76	6.03	3.46	5.67	3.32	3.52
Kr	8.13	7.19	11.57	8.63	6.80	8.90	5.95	8.30	15.24	6.96	17.79	6.25	12.19	13.29
Ba	7.77	9.19	9.39	8.91	8.72	11.98	10.25	7.66	4.49	8.79	4.61	9.61	5.74	5.65
bal	7.68	5.54	5.84	4.80	5.42	6.87	3.87	7.41	2.78	0.98	1.36	1.89	0.96	0.97
ba2	0.23	0.57	3.06	0.41	0.70	2.94	1.07	0.27	9.43	0.57	8.61	0.98	10.50	9.33
ba3	7.79	9.18	9.41	8.90	8.67	11.80	10.26	7.68	5.19	8.75	4.50	9.59	5.57	5.58
a	95.88	1.32	1.56	1.00	1.45	1.24	0.49	29.56	2.40	0.04	0.40	0.15	0.15	0.16
b	7.67	9.25	1.90	4.54	13.09	3.01	17.22	6.95	1.03	13.33	0.94	22.47	1.75	1.52
SF	50.87	54.41	6.40	27.11	76.62	11.22	88.87	46.39	3.88	80.43	3.26	127.40	5.80	5.35
Silica(R2O3)	8.26	7.38	12.51	8.85	6.85	9.40	6.27	8.43	16.20	7.21	19.93	6.54	13.36	14.43
WPI	8.12	10.21	13.07	9.59	9.85	15.61	11.49	8.12	12.22	9.53	12.71	10.65	15.17	13.93
PI	79.42	83.95	68.01	82.81	84.42	73.21	82.68	85.25	64.74	84.64	60.90	84.16	66.85	66.98
PARKER	67489.98	82829.22	96886.83	80331.89	78090.20	112049.34	97042.62	66891.57	98783.49	82090.70	75071.14	91124.36	92581.09	89828.73
CIA	107.94	109.69	112.07	109.27	109.35	114.72	111.17	107.87	111.86	109.30	112.13	110.47	115.11	113.87
Alumina	0.73	0.83	0.98	0.79	0.76	0.96	0.90	0.73	2.38	0.76	1.39	0.86	1.46	1.45
colman	0.64	0.73	0.62	0.64	0.71	0.70	0.84	0.64	1.16	0.69	0.63	0.80	0.88	0.84
b1	87.79	62.80	16.56	55.50	237.12	31.41	43.04	87.08	12.33	49.88	6.34	43.57	13.24	13.03
LOI	0.00	0.00	0.00	0.00	0.00	0.00	0.00	0.00	0.00	0.00	0.00	0.00	0.00	0.00
CTW-CAN	97.71	73.01	70.62	71.43	74.50	65.54	63.55	95.93	56.35	57.88	55.18	58.39	51.77	52.96
ALK	98.97	56.94	60.91	49.89	59.24	55.39	33.10	96.73	70.60	3.43	28.68	13.10	13.36	13.44
CWI	33.59	32.07	59.19	35.07	30.97	51.09	38.36	27.11	74.21	36.21	77.82	37.48	73.20	72.65
R	6.63	5.88	3.38	5.97	5.85	3.73	5.16	6.68	3.76	6.03	3.46	5.67	3.32	3.52
V	30.48	32.88	23.75	34.66	80.68	52.16	24.38	28.22	21.17	24.10	24.67	24.18	30.01	28.13
MWP1	8.56	10.57	16.68	9.87	9.94	15.94	12.69	8.59	29.36	9.67	20.09	11.32	22.95	21.91
CAN	127.00	548.00	746.00	584.00	522.00	919.00	880.00	148.00	1017.00	1000.00	1198.00	1022.00	1543.00	1419.00
I	7.94	9.69	12.07	9.27	9.35	14.72	11.17	7.87	11.86	9.30	12.13	10.47	15.11	13.87

جدول(۱۲-۵)، محاسبه نورم نمونه ها

	RT1	RD8	KS9	BD12	GAS1	SHT2	GAS2	RT12	COS1	BOS4	LD10	RT16	HAS4	G1
Q	46.46	28.83	2.01	29.58	32.20		18.25	46.06		28.69		24.26		
or	46.37	32.43	36.04	27.10	31.93	41.00	20.48	45.03	16.51	1.82	7.18	7.52	4.05	4.05
ab	0.69	35.12	33.11	38.89	31.46	41.14	52.65	2.18	5.13	63.48	25.58	60.64	32.88	37.39
an	0.96		10.49		2.79			1.18	20.08		21.83		20.63	19.02
ne						2.91			2.55				2.56	
C	2.78						2.57							
di		1.71	4.05	1.39	0.45	7.86	3.11		17.08	0.61	16.97	2.88	23.65	20.22
hy	1.04	0.05	2.28				1.45	1.16			11.07	0.24		1.40
wo				0.09	0.06	2.68				0.50				
ol			8.25						33.04		7.54		10.08	11.87
ac				0.07		0.68	2.35			2.75		1.70		
mt			3.84	2.24		2.74			3.70		5.57		3.90	3.86
il	0.04	0.04	1.94	0.43	0.06	1.00	0.04	0.04	1.89	0.01	4.28	0.03	2.24	2.18
hem	1.53	1.38		0.21	0.99			1.68						
ti		0.44			0.06		0.75			0.61		0.70		
ru	0.11							0.11						

فصل ششم

بررسی روابط پیش
و پیشگیری از شناسی
و خصوصیات و مهندسی

۱-۶ مقدمه:

در این فصل به بررسی ارتباط بین خصوصیات پترولوزیکی مانند کانی شناسی، بافت، نام سنگ، اندازه دانه ها، میزان هوازدگی و درصد کانی های ناپایدار با خصوصیات فیزیکی، مقاومتی و دوام داری نمونه ها و همچنین ارتباط بین خصوصیات فیزیکی، مکانیکی و دوام داری و مقاومتی نمونه ها مانند وزن مخصوص، چگالی، تخلخل، میزان جذب آب، شاخص دوام، مقاومت تک محوری، سرعت موج و آزمایش سلامت سنگ و ارزش ضربه ای پرداخته شده است.

۲-۶ بررسی خصوصیات مقاومتی و دوام داری بر اساس نام سنگ

نام زمین شناسی سنگ تا حد زیادی بیان کننده خصوصیات مقاومتی و دوام داری آن می باشد. بعنوان مثال سنگهایی آذرین درونی معمولاً مقاومت بالاتری نسبت به سنگهای آذرین بیرونی دارند و سنگهای اسیدی در شرایط سنی برابر معمولاً هوازدگی کمتری نسبت به سنگهای بازیک دارند. لذا مقاومت بیشتری نشان میدهند. در بین سنگهای مورد مطالعه گابرو دارای بالاترین خصوصیات مقاومتی و دوام داری می باشد. در حالی که توف دارای مقاومت و دوام داری پایین تر و همچنین تغییرات شدیدتر مقاومت می باشد.

در اشکال (۱-۶) تا (۷-۶) به ترتیب تغییرات خصوصیات ارزش ضربه ای، سلامت، سرعت موج، مقاومت تک محوری، تخلخل، جذب آب و دوام برای سنگهای مختلف مورد بررسی نشان داده شده است. همانطور که مشاهده میگردد تغییرات خصوصیات فیزیکی، مقاومتی و دوام داری سنگهای توف، ریولیت و داسیت بیشتر از دیگر نمونه ها می باشد که دلیل عمدۀ آن استعداد بیشتر این سنگها برای هوازدگی می باشد. وجود میکروسکستگی های ناشی از سردشدن نیز می تواند دلیل گسترش بیشتر هوازدگی در این سنگها باشد.

در شکل (۱-۶) محدوده ارزش ضربه سنگهای مختلف نشان داده شده است. در این شکل سینیت، ریولیت و گرانودیوریت دارای بیشترین ارزش ضربه و گابرو دارای کمترین مقادیر ارزش ضربه می باشند. همچنین ریولیت و توف به دلیل هوازدگی بیشتر دارای محدوده وسیع تری از تغییرات می باشند.

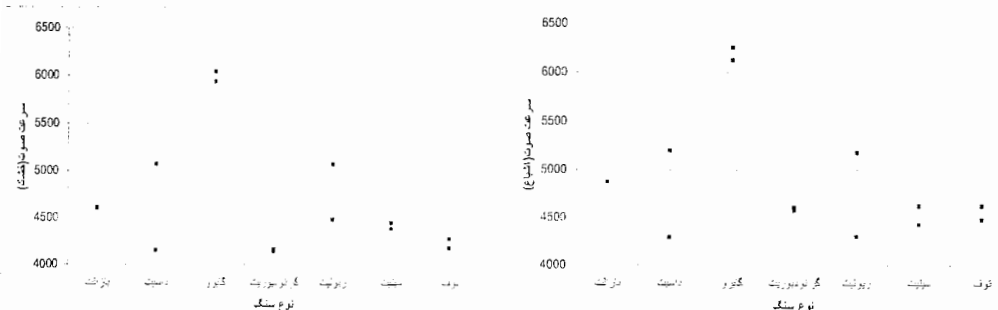
مطابق شکل (۳-۶) و (۴-۶) و (۵-۶) داسیت و ریولیت به دلیل داشتن میکروشکستگی های بیشتر دارای بیشترین تغییرات سرعت صوت، دوام و مقاومت می باشند و گابرو، گرانودیوریت و بازالت دارای کمترین تغییرات خصوصیات فوق می باشند. حداقل سرعت موج در سنگ های مورد مطالعه حدود 4160 m/s می باشد و مربوط به ریولیت و گرانودیوریت می باشد. همچنین مطابق اشکال (۲-۶) و (۶-۶) و (۷-۶) ریولیت، داسیت و توف به دلیل هوازدگی و داشتن کانی های رسی بیشتر دارای بیشترین تغییرات تخلخل و جذب آب و شاخص سلامت بوده و گابرو و گرانودیوریت دارای کمترین تغییرات تخلخل، جذب آب و شاخص سلامت می باشند. گابرو دارای کمترین تخلخل و ریولیت دارای بیشترین تخلخل می باشند.



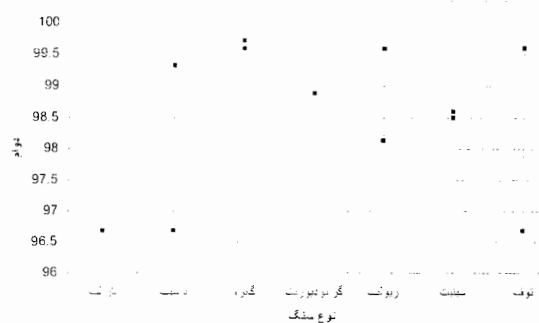
شکل (۱-۶) محدوده ارزش ضربه سنگهای مختلف



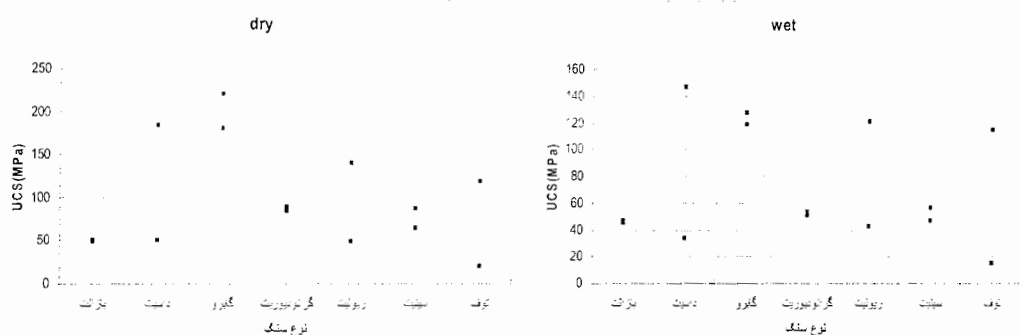
شکل (۲-۶) محدوده درصد افت وزنی سنگهای مختلف در آزمایش سلامت سنگ



شکل (۳-۶) محدوده سرعت صوت در سنگهای مختلف و در حالت خشک و اشباع



شکل (۴-۶) محدوده شاخص دوام در سنگهای مختلف



شکل (۵-۶) محدوده مقاومت تک محوری در سنگهای مختلف و در حالت خشک و اشباع



شکل (۶-۶) محدوده تخلخل در سنگهای مختلف



شکل (۶-۷) میزان جذب آب در سنگهای مختلف

۶-۳ ارزیابی خصوصیات مقاومتی و دوام داری بر اساس بافت سنگ

بافت سنگها یکی دیگر از پارامترهای موثر بر خواص مقاومتی و دوام داری سنگها می باشد. اگر چه بافت سنگ نیز به تنها یی نمی تواند معیاری برای تعیین میزان مقاومت سنگ باشد و خود تحت تاثیر عواملی مانند هوازدگی، ترکیب کانی شناسی و میکروشکستگی ها می باشد.

در اشکال (۶-۱۶) رابطه بین خصوصیات مهندسی و بافت سنگها نشان داده شده است. مشاهده میگردد که سنگهایی با بافت میکروگرانولار از تغییرات مقاومتی و دوام داری کمتری نسبت به سنگهایی با بافت گرانولار و پورفیری برخوردارند و علت آن بیشتر بدلیل هوازدگی کمتر و کوچک بودن اندازه دانه در آنها می باشد.

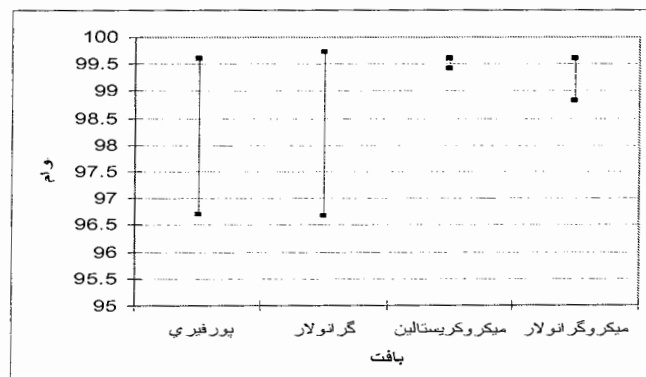
در شکل (۸-۶) محدوده شاخص دوام برای بافت‌های مختلف نشان داده شده است. سنگهای با بافت میکروگرانولار و میکروکریستالین به دلیل ریزدانه تر بودن دارای کمترین تغییرات دوام و بیشترین میزان دوام می‌باشند در حالی که سنگهای پورفیری و گرانولار دارای بیشترین محدوده تغییرات دوام بوده و کمترین مقدار دوام را دارند.

مطابق شکل (۶-۹) و (۶-۱۰) سنگهایی با بافت پورفیری دارای میزان جذب آب و تخلخل بیشتری بوده و دارای محدوده تغییرات جذب آب بیشتری نیز می باشند ولی سنگهای گرانولار و میکروگرانولار میزان جذب آب و تخلخل کمتری داشته و دارای محدوده تغییرات جذب آب کمتری نیز می باشند. علت این امر هوازدگی بیشتر و وجود مقدار بیشتری کانی رسی در سنگهای پورفیری می باشد زیرا این کانی ها آب زیادی جذب می کنند.

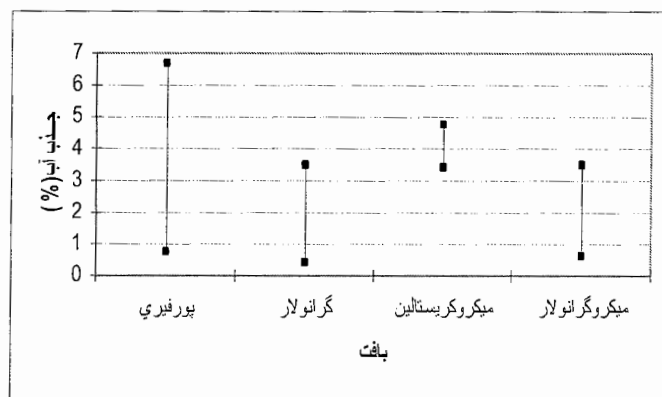
در اشکال (۱۱-۶) و (۱۲-۶) و (۱۳-۶) و (۱۴-۶) به ترتیب محدوده تغییرات مقاومت و سرعت صوت برای سنگهای مختلف در حالت اشباع و خشک نشان داده شده است. سنگهای با بافت گرانولار و میکروگرانولار به دلیل ریزدانه تر بودن دارای مقاومت و سرعت صوت بیشتری بوده و سنگهای پورفیری که درشت دانه ترند دارای مقاومت و سرعت صوت کمتری می‌باشند. تغییرات مقاومت تک محوری و سرعت صوت در سنگهای میکروگرانولار و میکروکریستالین نیز نسبتاً زیاد است که دلیل آن وجود شکستگی‌های ریز در سنگ می‌باشد که سبب هوازدگی و کاهش مقاومت و سرعت صوت در این سنگها می‌گردد.

در شکل (۱۵-۶) محدوده تغییرات شاخص سلامت سنگ برای بافت‌های مختلف نشان داده شده است. سنگهای با بافت گرانولار و میکروگرانولار دارای درصد افت وزنی کمتری بوده و سنگهای پورفیری دارای افت وزنی بیشتری می‌باشند. همچنین سنگهای با بافت گرانولار و پورفیری به دلیل درشت دانه تر بودن، هوازدگی بیشتر و داشتن کانیهای رسی بیشتر دارای تغییرات افت وزنی بیشتری بوده و سنگهای میکروگرانولار و میکروکریستالین دارای محدوده تغییرات افت کمتری می‌باشند.

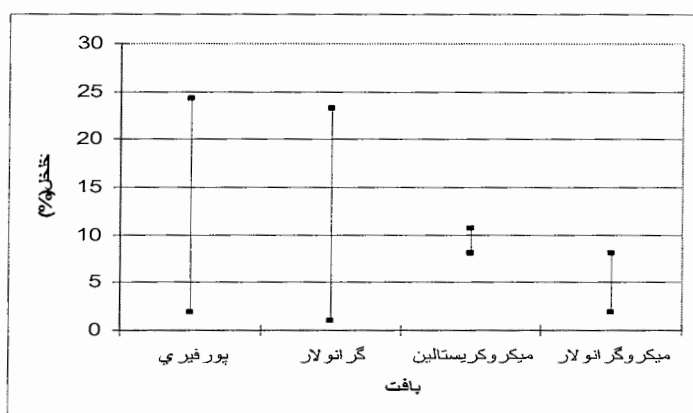
در شکل (۱۶-۶) محدوده تغییرات ارزش ضربه برای بافت‌های مختلف نشان داده شده است. سنگهای بافت گرانولار و میکروگرانولار دارای ارزش ضربه کمتری بوده و سنگهای پورفیری دارای بسترین ارزش ضربه می‌باشند. سنگهای با بافت گرانولار و پورفیری به علت دانه درشت بودن دارای تغییرات ارزش ضربه بیشتری بوده و سنگهای میکروگرانولار و میکروکریستالین به دلیل ریزدانه تر بودن و هوازدگی کمتر دارای تغییرات ارزش ضربه کمتری می‌باشند.



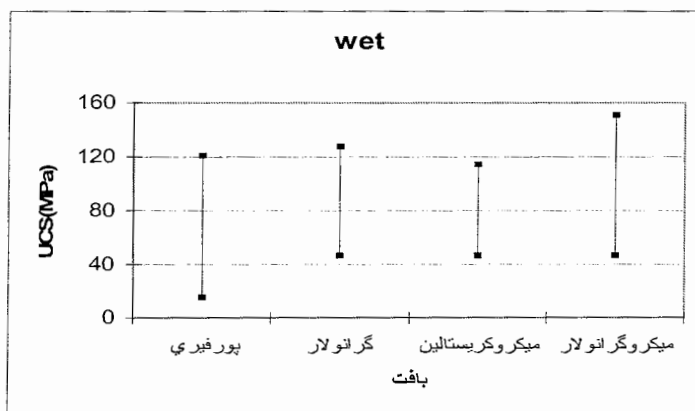
شکل (۱۶-۶) محدوده شاخص دوام برای بافت‌های مختلف.



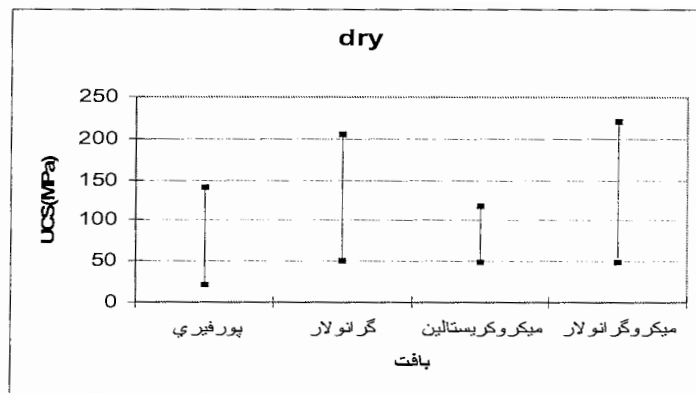
شکل(۹-۶) محدوده جذب آب برای بافتهای مختلف



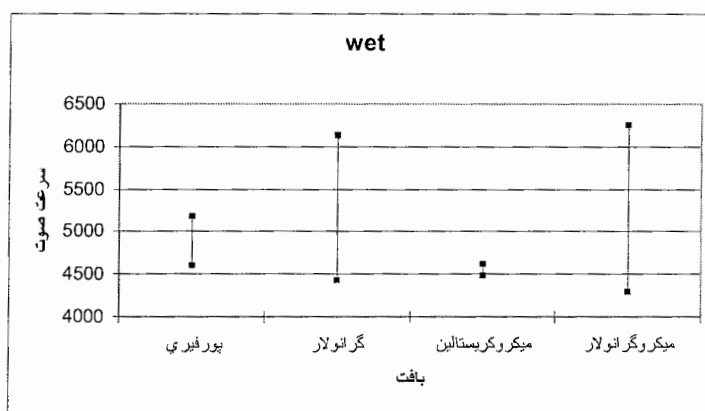
شکل(۱۰-۶) محدوده تغییرات تخلخل برای بافتهای مختلف



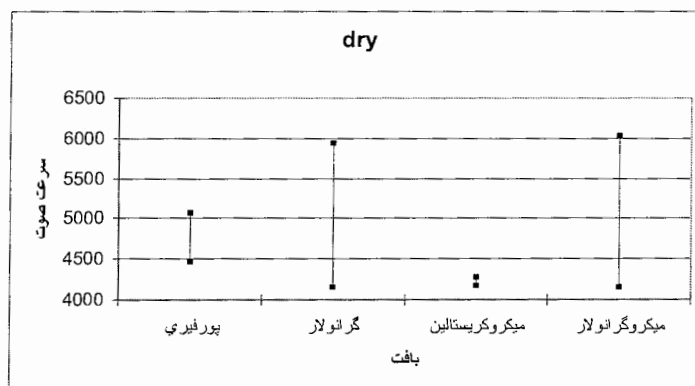
شکل(۱۱-۶) محدوده تغییرات مقاومت تک محوری برای سنگهای مختلف در حالت اشباع



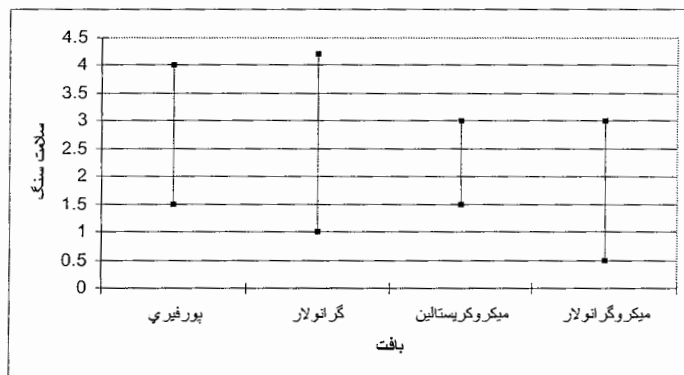
شکل(۱۲-۶) محدوده تغییرات مقاومت تک محوری در حالت خشک برای بافت‌های مختلف



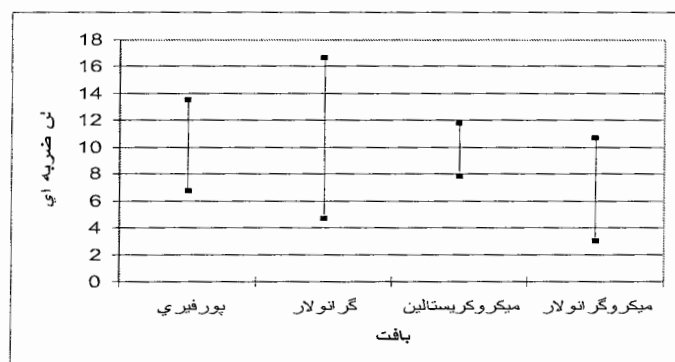
شکل(۱۳-۶) محدوده تغییرات سرعت صوت در حالت اشباع برای بافت‌های مختلف



شکل(۱۴-۶) محدوده تغییرات سرعت صوت در حالت خشک برای بافت‌های مختلف



شکل(۱۵-۶) محدوده تغییرات شاخص سلامت بر اساس بافت‌های مختلف



شکل(۱۶-۶) محدوده تغییرات ارزش ضربه برای بافت‌های مختلف

۴-۶ ارزیابی خصوصیات مقاومتی و دوام داری بر اساس اندازه دانه

اندازه کانی ها و میانگین دانه های سازنده سنگ نیز به عنوان یک فاکتور زمین شناسی مهم تاثیر زیادی بر روی مقاومت مکانیکی سنگ داشته و مقاومت تسلیم سنگها با کاهش اندازه دانه ها افزایش می یابد و بطور کلی کوچک بودن اندازه دانه باعث زیاد شدن مقاومت سنگ می شود. ولی این پارامتر نیز به تنها ی نمی تواند مشخص کننده خواص مقاومتی و دوام داری سنگ باشد و عواملی مانند هوازدگی و وجود میکروسکستگی ها و ترکیب کانی شناسی باعث تغییر خواص مقاومتی سنگهایی با اندازه دانه یکسان خواهند شد.

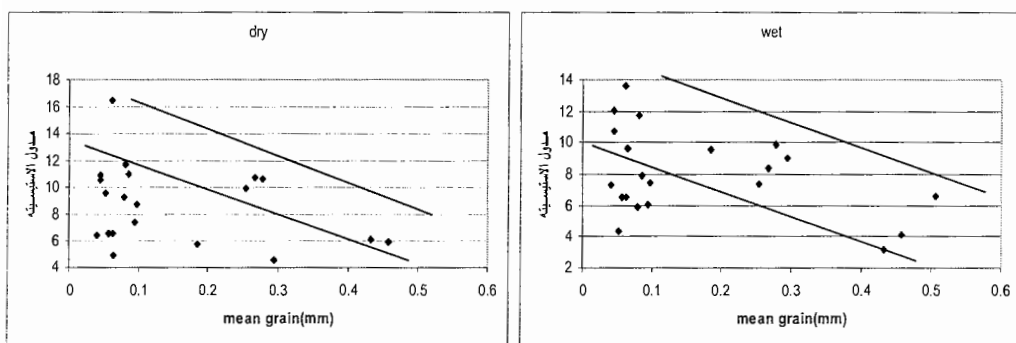
در اشکال (۱۷-۶) تا (۲۴-۶) رابطه بین خصوصیات مهندسی سنگها و میانگین اندازه دانه های سنگها نشان داده شده است. سنگهای ریزدانه مقاومت بیشتری داشته و از تغییرات مقاومتی و دوام داری کمتری نسبت به سنگهای درشت دانه تر برخوردارند و علت آن بیشتر بدلیل هوازدگی کمتر و افزایش

تعداد پیوند های بین دانه ای در سنگهای دانه ریز می باشد و افزایش تعداد مرزها باعث مقاومت بیشتر سنگها می شود.

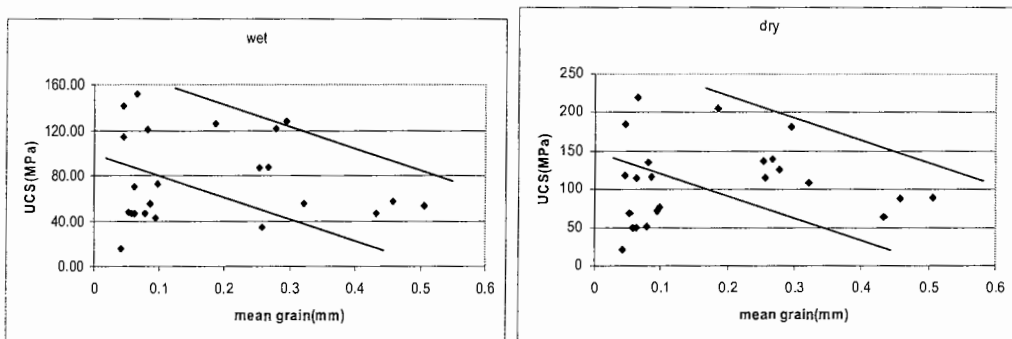
در اشکال (۱۷-۶) و (۱۸-۶) و (۱۹-۶) به ترتیب رابطه بین مدول الاستیسیته، مقاومت تک محوری، سرعت صوت و شاخص دوام با میانگین اندازه دانه ها نشان داده شده است. با افزایش میانگین اندازه دانه ها، مقدار مدول الاستیسیته، مقاومت و سرعت صوت کاهش می یابد. در سنگهای دانه ریز به دلیل افزایش تعداد مرزها و قدرت پیوند بین دانه ها سرعت صوت، مقاومت و دوام افزایش می یابد. پراکندگی داده ها در میانگین کمتر از ۰/۱ میلیمتر کمتر می باشد و نشان دهنده این نکته است که وقتی میانگین اندازه دانه ها از ۰/۱ میلیمتر بیشتر باشد، تاثیر اندازه دانه بیشتر می باشد. در شکل (۲۱-۶) و (۲۲-۶) به ترتیب رابطه بین تخلخل و میزان جذب آب با میانگین اندازه دانه ها نشان داده شده است. با افزایش اندازه دانه ها، تخلخل و جذب آب کاهش می یابد. بطور کلی در سنگهای ریز دانه به دلیل افزایش تعداد دانه ها مقدار تخلخل کل زیاد است. همچنین در این سنگها چون درصد کانی های رسی یا کانی هایی که به رس تبدیل می شوند بیشتر می باشد و این کانی ها جذب آب بالایی دارند. مقدار جذب آب افزایش می یابد. در اینجا نیز پراکندگی دانه ها در میانگین کمتر از ۰/۱ میلیمتر کمتر است.

در شکل (۲۳-۶) رابطه بین درصد افت وزنی در آزمایش سلامت سنگ و میانگین اندازه دانه ها نشان داده شده است. درصد افت وزنی با افزایش میانگین اندازه دانه کاهش می یابد ولی در سنگهای ریز دانه چون درصد کانی های رسی یا کانی هایی که به رس تبدیل می شوند بیشتر می باشد. مقدار افت وزنی افزایش می یابد

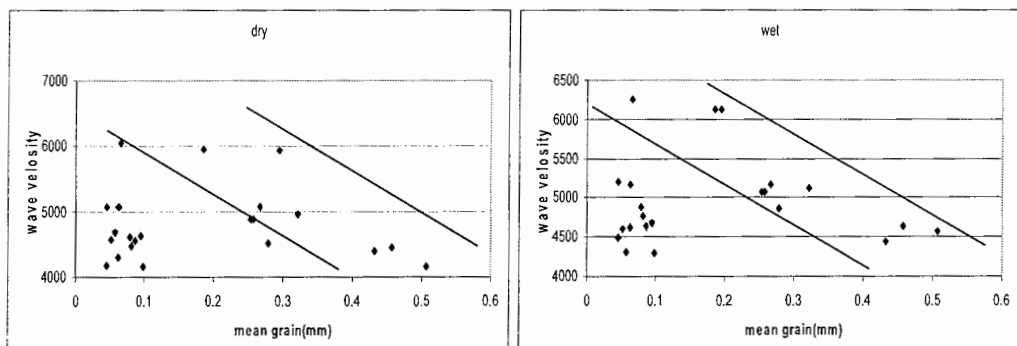
در شکل (۲۴-۶) رابطه ارزش ضربه ای سنگها و میانگین اندازه دانه ها نشان داده شده است. ارزش ضربه با افزایش میانگین اندازه دانه افزایش می یابد ولی در سنگهای دانه ریزتر به دلیل افزایش تعداد مرزهای بین دانه ها و افزایش قدرت پیوند بین دانه ها مقاومت بالا بوده و ارزش ضربه ای کم می باشد. پراکندگی داده ها در میانگین کمتر از ۰/۱ میلیمتر کم می باشد و نشان دهنده این نکته است که وقتی میانگین اندازه دانه از ۰/۱ میلیمتر بیشتر باشد، تاثیر اندازه دانه بیشتر می باشد.



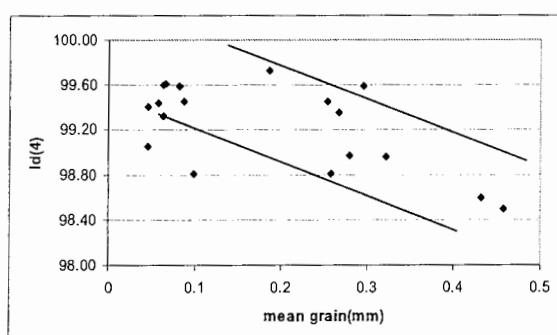
شکل(۱۷-۶) رابطه بین مدول الاستیسیته و میانگین اندازه دانه



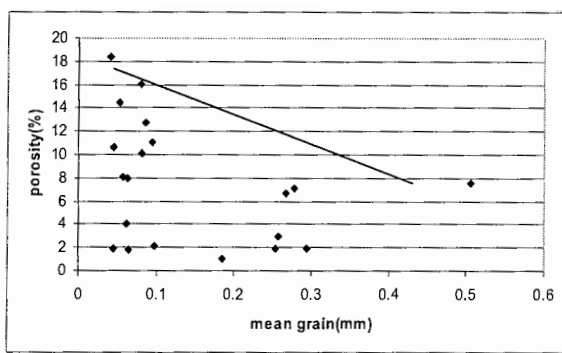
شکل(۱۸-۶) رابطه بین مقاومت تک محوری در حالت خشک و اشباع و میانگین اندازه دانه ها



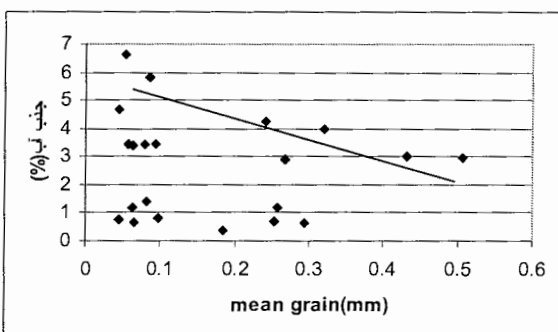
شکل(۱۹-۶) رابطه بین سرعت موج در حالت خشک و اشباع و میانگین اندازه دانه ها



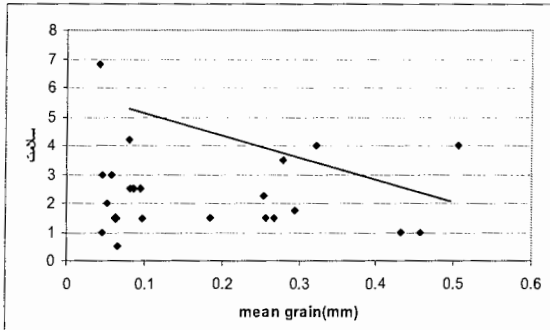
شکل(۲۰-۶) رابطه بین شاخص دوام و میانگین اندازه دانه ها



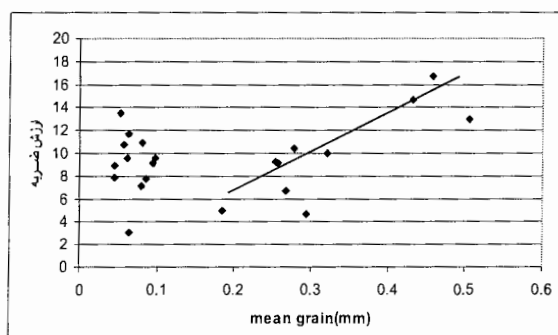
شکل(۲۱-۶) رابطه بین تخلخل و میانگین اندازه دانه



شکل(۲۲-۶) رابطه بین میزان جذب آب و میانگین اندازه دانه ها



شکل(۲۳-۶) رابطه بین درصد افت وزنی در آزمایش سلامت سنگ و میانگین اندازه دانه ها



شکل(۲۴-۶) رابطه ارزش ضربه ای سنگها و میانگین اندازه دانه ها

۶-۵ ارزیابی خصوصیات مقاومتی و دوام داری بر اساس شاخصهای هوازدگی

شاخص های شیمیایی و پترولوزیکی ابزار نسبتاً دقیقی برای تعیین درجه هوازدگی سنگها می باشد. هوازدگی با ضعیف کردن فابریک سنگ وايجاد ضعفهای ساختمانی باعث متلاشی شدن سنگ میگردد. از اين رو افزایش هوازدگی باعث کاهش خواص مقاومتی و دوام داری سنگها می شود. البته هوازدگی و شاخصهای آن نيز به تنها يی نمی توانند مشخص کننده خواص مقاومتی سنگ باشند و خود به عواملی نظير ترکيب کانی شناسی، درصد کانی های رسی، میانگین اندازه دانه ها وغیره بستگی دارد و اين عوامل باعث تغيير در ميزان هوازدگی سنگهاي مشابه می شوند به عنوان مثال سنگهاي درشت دانه سريعتر از سنگهاي ريز دانه هوازده می شوند.

جدول(۱-۶)، محدوده ضرائب هوازدگی مختلف

زياد هوازده		متوسط هوازده		كمی هوازده		تازه		شدت هوازدگی
بازيك	اسيدی	بازيك	اسيدی	بازيك	اسيدی	بازيك	اسيدی	نام شاخص
0.5	0.5	0.55	0.6	0.6	0.7	0.65	0.8	MI
0.7	0.2	0.8	0.3	0.9	0.4	1	0.5	WPI
85	75	90	80	95	85	100	90	PI
								IP
50	55	54	60	58	68	60	75	W _p

زياد هوازده	متوسط هوازده	كمی هوازده	تازه	شدت هوازدگی
				نام شاخص
COS1,LD10,	RT1W,BD12,RT1F KS9. BOS4 G1,HAS4	SHT2. RD8. RT16	GAS1. GAS2	MI
	BD12,RT1,RD8,GAS1 BOS4. LD10. G1	GAS2. RT16 HAS4	KS9. SHT2 COS1	WPI
	BD12,RT1,RD8,GAS1 BOS4-GAS2-RT16 COS1	LD10,G1,HAS4	.KS9. SHT2	PI
				IP
LD10. G1. HAS4 RT16BOS4	GAS1. RD8RT1. BD12 COS1.	GAS2. KS0	.KS9. SHT2	W _p

پس از بررسی شاخصهای هوازدگی در سنگهای منطقه و مقایسه آنها با مقادیر بدست آمده از مناطق دیگر. بيشتر سنگها در محدوده های کمی هوازده و متوسط هوازده قرار می گيرند. البته بعضی نمونه های گابروئی به دليل هوازدگی زياد در محدوده زياد هوازده شده قرار می گيرند و بعضی نمونه های برداشت شده از معادن يا بخش بالاي جذر و مدي در محدوده سنگهاي تازه قرار می گيرند.

در اشکال (۲۵-۶) تا (۵۸-۶) رابطه بین خصوصیات مهندسی سنگها و شاخصهای هوازدگی MI و WPI و IP در سنگها نشان داده شده است. اگرچه پراکنده‌گی داده‌ها نسبتاً زیاد می‌باشد ولی

بطور کلی با افزایش شدت هوازدگی خصوصیات مقاومتی و دوام داری کاهش نشان می‌دهند.

در شکل (۲۵-۶) رابطه بین شاخص MI و میانگین اندازه دانه در سنگهای مختلف نشان داده شده است و با افزایش اندازه دانه، شاخص MI افزایش می‌یابد. این امر نشان دهدۀ این نکته است که سنگهای درشت دانه سریعتر هوازده می‌شوند.

در اشکال (۲۶-۶) و (۲۷-۶) و (۲۸-۶) به ترتیب رابطه بین شاخص MI و شاخص دوام مقاومت تک محوری و سرعت صوت در حالت خشک و اشباع در سنگهای مختلف نشان داده شده است. با افزایش MI، شاخص دوام، مقاومت و سرعت صوت کاهش یافته است.

در شکل (۲۹-۶) و (۳۰-۶) و (۳۱-۶) و (۳۲-۶) به ترتیب رابطه بین شاخص MI و درصد افت وزنی در آزمایش سلامت سنگ، میزان جذب آب، تخلخل و ارزش ضربه نشان داده شده است. مشاهده می‌شود که با افزایش MI، افت وزنی، میزان جذب آب، تخلخل و ارزش ضربه افزایش می‌یابد.

در شکل (۳۳-۶) رابطه بین شاخص پارکر و میانگین اندازه دانه نشان داده شده است. با افزایش شاخص پارکر، شاخص دوام نیز کاهش می‌یابد.

در اشکال (۳۴-۶) و (۳۵-۶) و (۳۶-۶) به ترتیب رابطه بین شاخص پارکر با شاخص دوام، مقاومت تک محوری و سرعت صوت نشان داده شده است. مشاهده می‌شود که با افزایش شاخص پارکر، شاخص دوام، مقاومت و سرعت صوت نیز کاهش می‌یابد.

در شکل (۳۷-۶) رابطه بین شاخص PI میانگین اندازه دانه در سنگهای مختلف نشان داده شده است و با افزایش اندازه دانه، شاخص PI افزایش می‌یابد. این امر نشان دهدۀ این نکته است که سنگهای درشت دانه سریعتر هوازده می‌شوند

در اشکال (۳۸-۶) و (۳۹-۶) و (۴۰-۶) به ترتیب رابطه بین شاخص PI با میزان جذب آب، تخلخل و ارزش ضربه نشان داده شده است. همانطور که مشاهده می‌شود با افزایش این شاخص، جذب آب، تخلخل و ارزش ضربه افزایش می‌یابد.

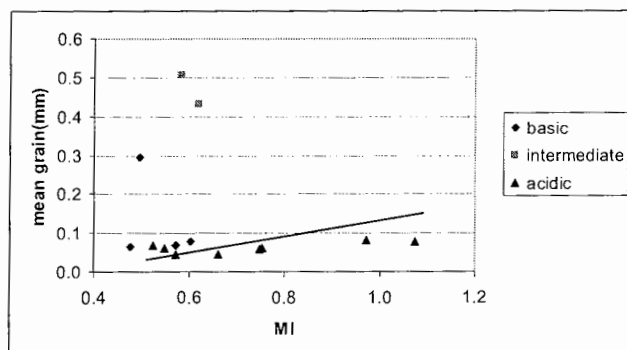
در شکل(۴۱-۶) و (۴۲-۶) به ترتیب رابطه بین شاخص PI و مقاومت فشاری تک محوری و سرعت صوت در حالت خشک و اشباع نشان داده است که با افزایش شاخص PI، میزان مقاومت و سرعت صوت افزایش می یابد.

در شکل(۴۳-۶) رابطه بین شاخص WPI میانگین اندازه دانه در سنگهای مختلف نشان داده شده است و با افزایش اندازه دانه، این شاخص افزایش می یابد. این امر نشان دهد این نکته است که سنگهای درشت دانه سریعتر هوازده می شوند
در شکل(۴۴-۶) و (۴۵-۶) به ترتیب رابطه بین شاخص WPI با مقاومت تک محوری و سرعت صوت در حالت خشک و اشباع نشان داده شده است. مشاهده می شود که با افزایش شاخص WPI، مقدار مقاومت و سرعت صوت افزایش می یابد.

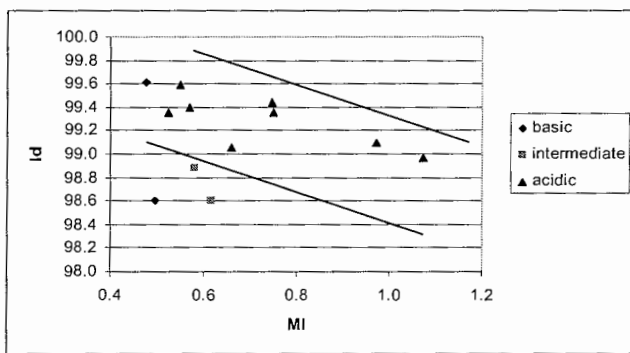
مطابق اشکال(۴۶-۶) و (۴۷-۶) و (۴۸-۶) و (۴۹-۶) با افزایش شاخص WPI، مقدار جذب آب، تخلخل، سلامت و ارزش ضربه کاهش می یابند.

در اشکال(۵۰-۶) و (۵۱-۶) و (۵۲-۶) به ترتیب رابطه بین شاخص IP با شاخص دوام و مقاومت در حالت خشک و اشباع نشان داده شده است. مشاهده می شود که با افزایش شاخص IP، مقدار دوام و مقاومت در سنگها افزایش می یابد.

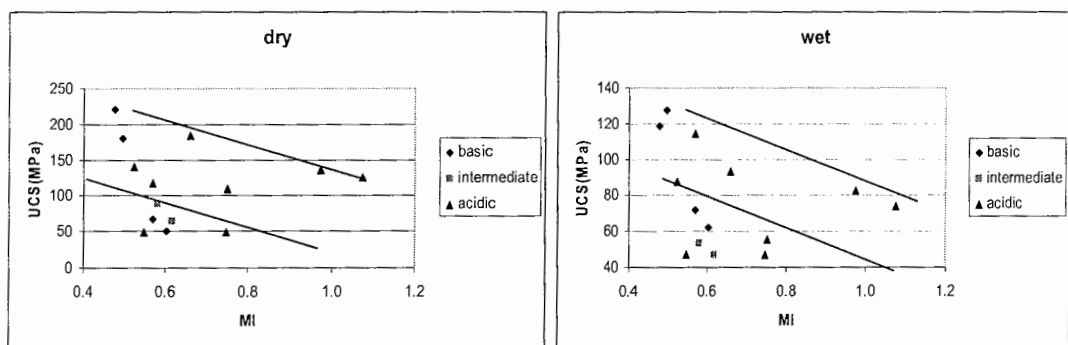
در اشکال(۵۳-۶) و (۵۴-۶) و (۵۵-۶) به ترتیب رابطه بین شاخص IP و میزان جذب آب، تخلخل و شاخص سلامت سنگ نشان داده شده است. مشاهده می شود که با افزایش شاخص IP، مقدار جذب آب، تخلخل و سلامت سنگ کاهش می یابد.



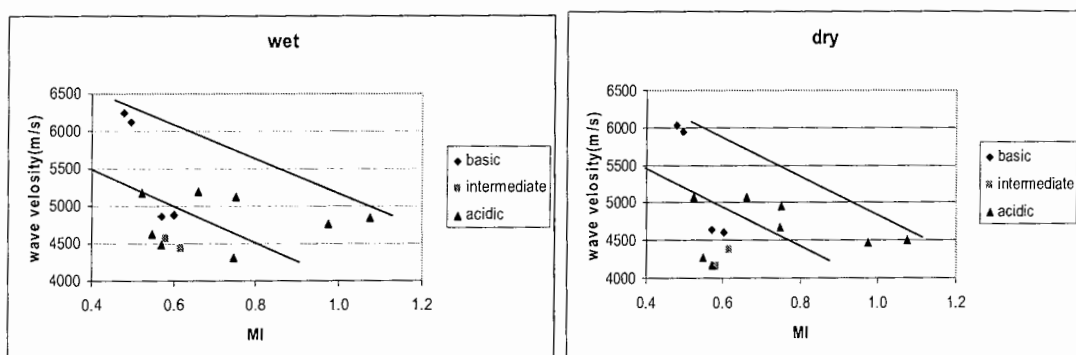
شکل(۲۵-۶) رابطه بین شاخص MI و میانگین اندازه دانه



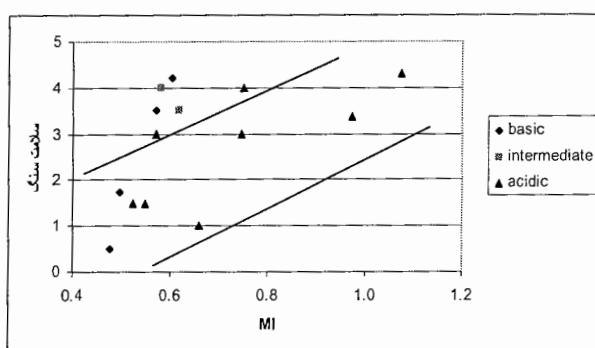
شکل(۲۶-۶) رابطه بین شاخص MI و شاخص دوام



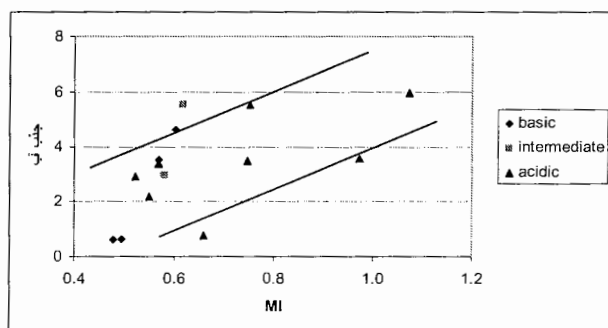
شکل(۲۷-۶) رابطه بین شاخص MI و مقاومت تک محوری در حالت خشک و اشباع



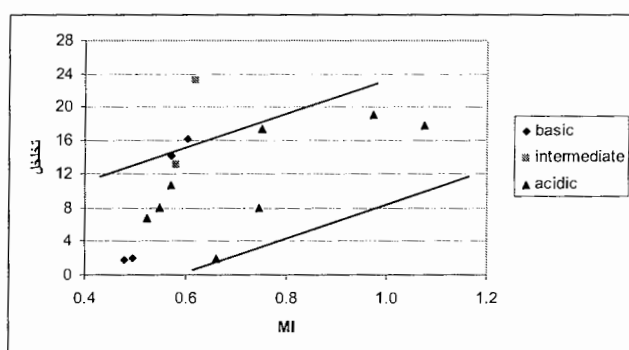
شکل(۲۸-۶) رابطه بین شاخص MI و سرعت صوت در حالت خشک و اشباع



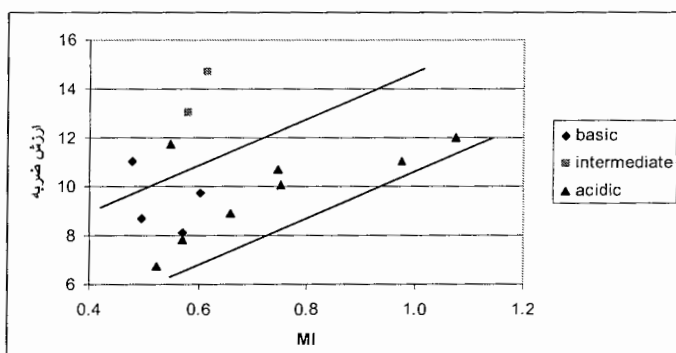
شکل(۲۹-۶) رابطه بین شاخص MI و درصد افت وزنی در آزمایش سلامت سنگ



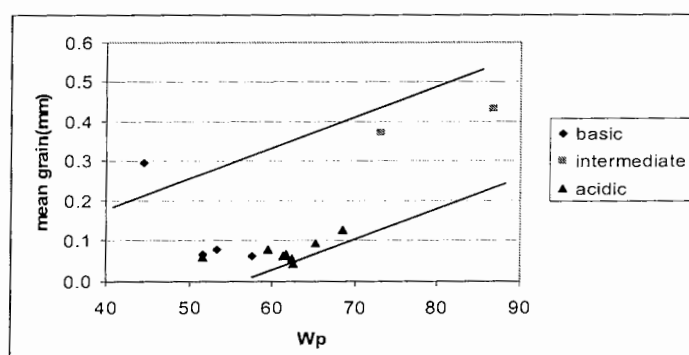
شکل(۳۰-۶) رابطه بین شاخص MI و میزان جذب آب



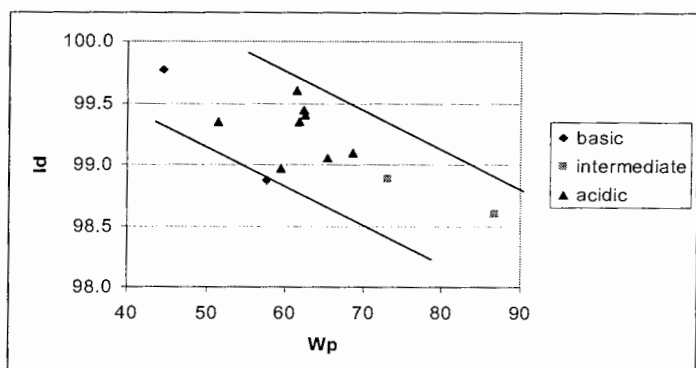
شکل(۳۱-۶) رابطه بین شاخص MI و تخلخل



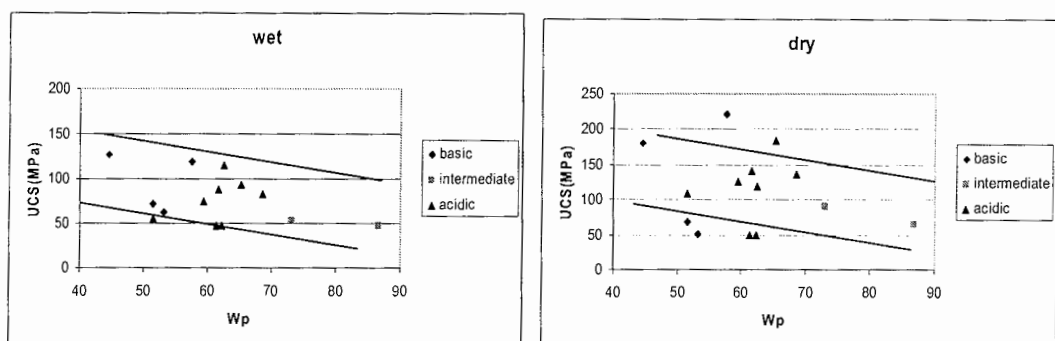
شکل(۳۲-۶) رابطه بین شاخص MI و ارزش ضربه



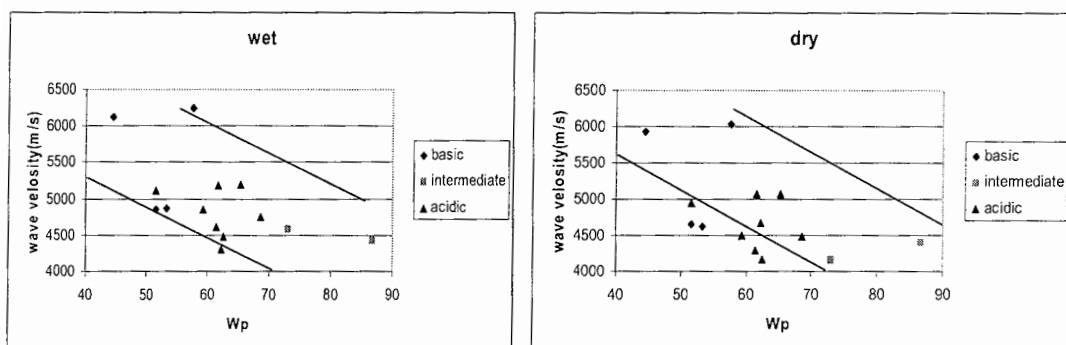
شکل(۳۳-۶) رابطه بین شاخص پارکر و میانگین اندازه دانه ها



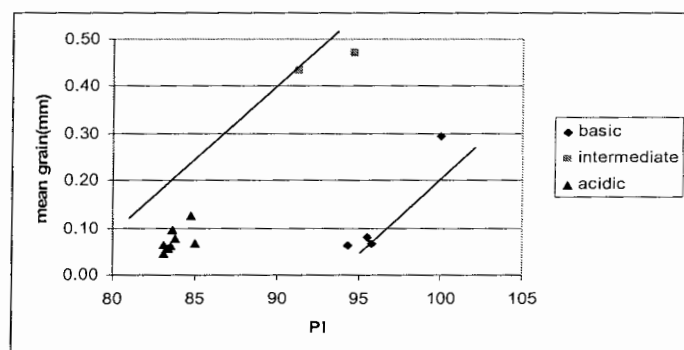
شکل(۳۴-۶) رابطه بین شاخص پارکر و شاخص دوام



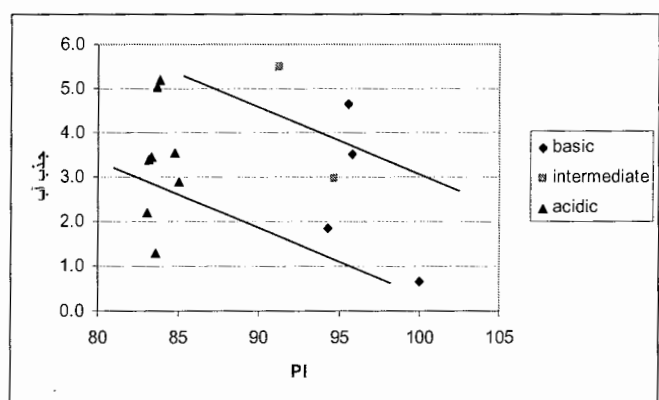
شکل(۳۵-۶) رابطه بین شاخص پارکر و مقاومت فشاری تک محوری در حالت خشک و اشباع



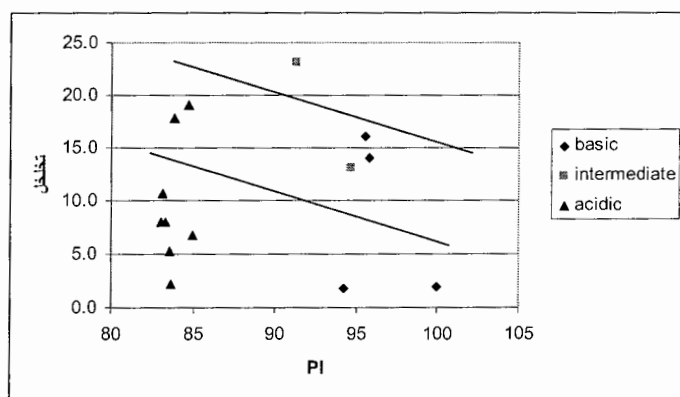
شکل(۳۶-۶) رابطه بین شاخص پارکر و سرعت صوت در حالت خشک و اشباع



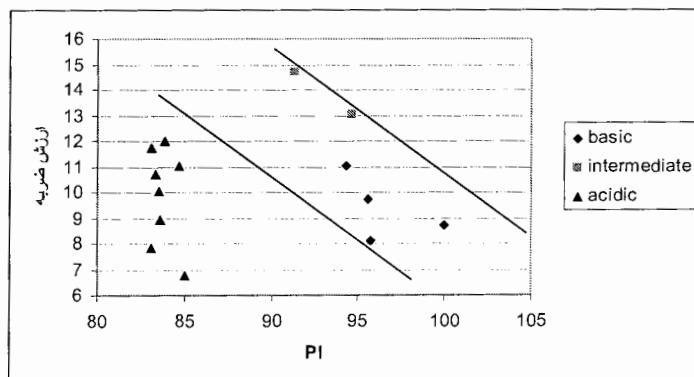
شکل(۳۷-۶) رابطه بین شاخص PI و میانگین اندازه دانه



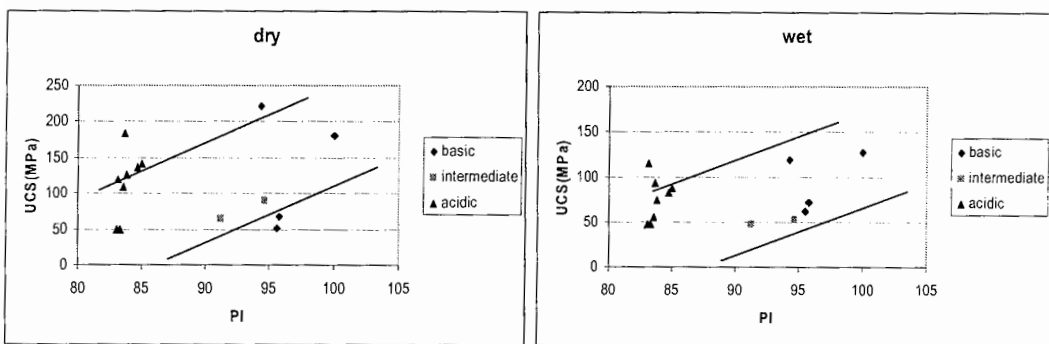
شکل(۳۸-۶) رابطه بین شاخص PI و میزان جذب آب



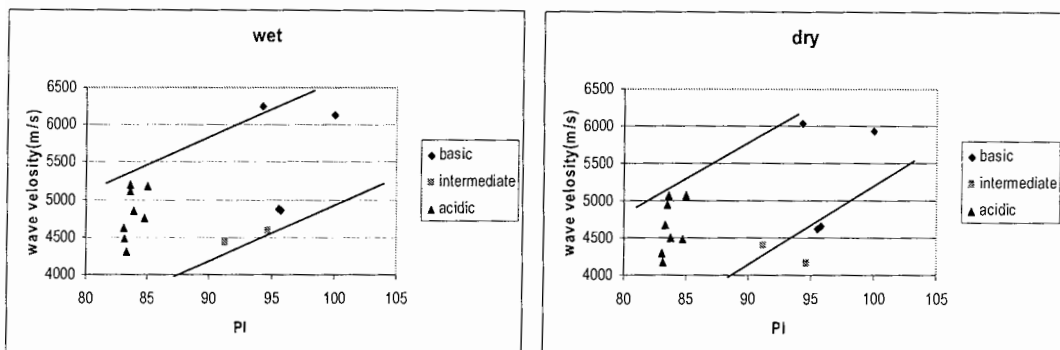
شکل(۳۹-۶) رابطه بین شاخص PI و تخلخل



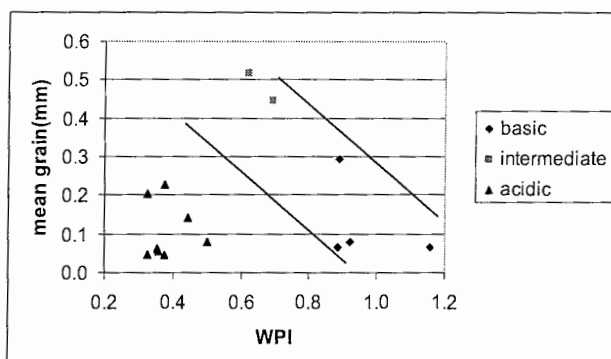
شکل(۴۰-۶) رابطه بین شاخص PI و ارزش ضربه



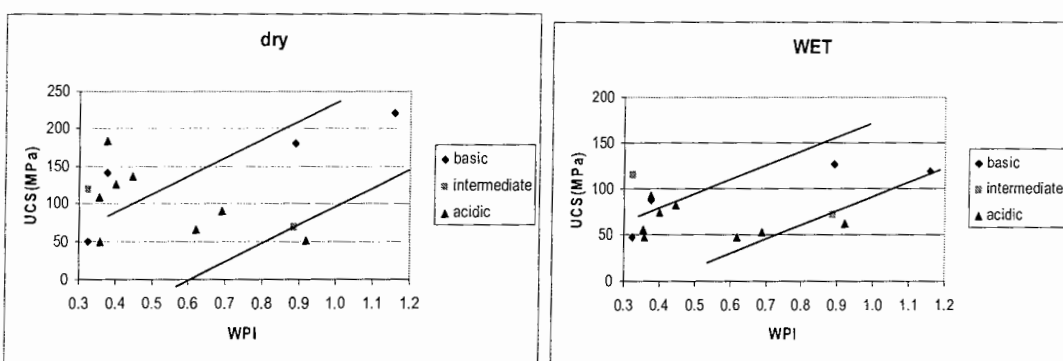
شکل(۴۱-۶) رابطه بین شاخص PI و مقاومت فشاری تک محوری در حالت خشک و اشباع



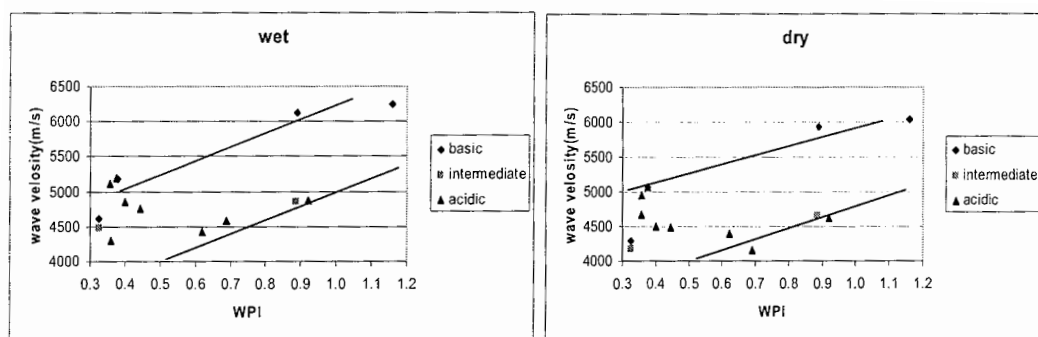
شکل(۴۲-۶) رابطه بین شاخص PI و سرعت صوت در حالت خشک و اشباع



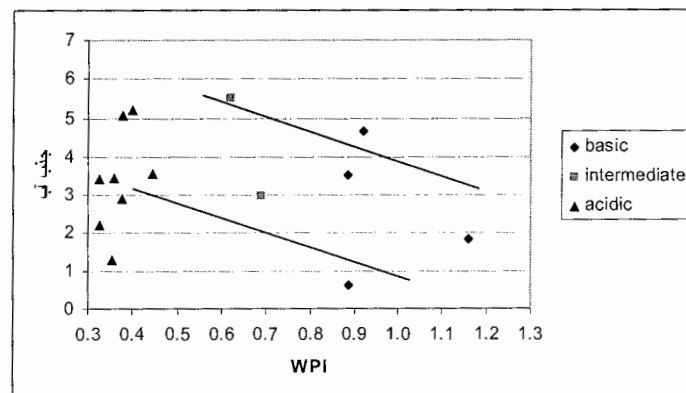
شکل(۴۳-۶) رابطه بین شاخص WPI و میانگین اندازه دانه ها



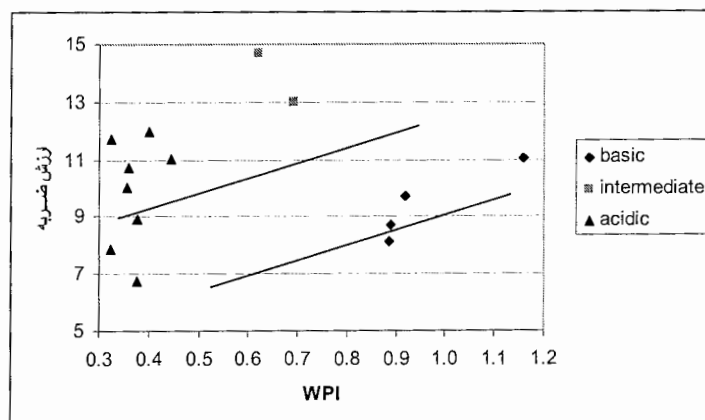
شکل(۴۴-۶) رابطه بین شاخص WPI و مقاومت تک محوری در حالت خشک و اشباع



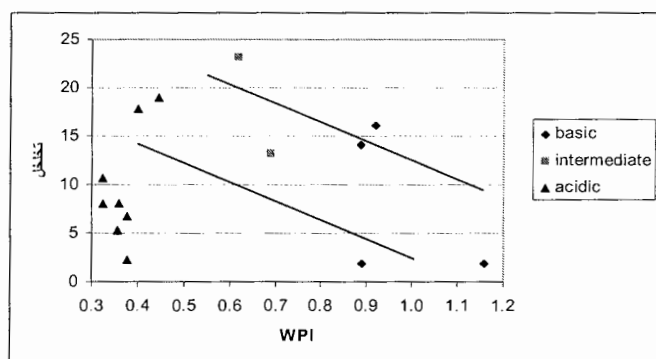
شکل(۴۵-۶) رابطه بین شاخص WPI و سرعت صوت در حالت خشک و اشباع



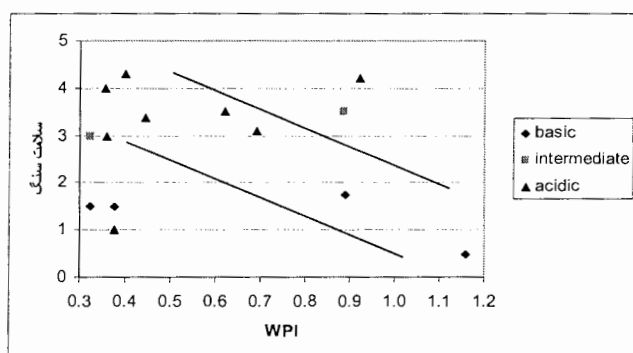
شکل(۴۶-۶) رابطه بین شاخص WPI و میزان جذب آب



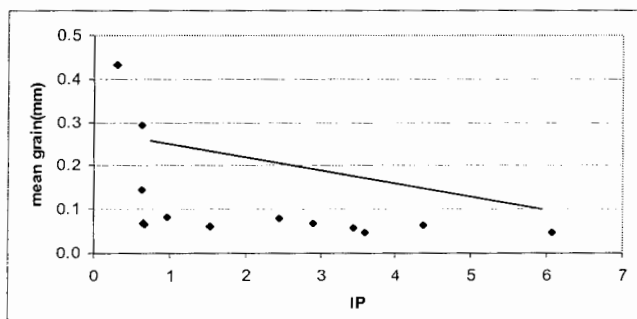
شکل(۴۷-۶) رابطه بین شاخص WPI و ارزش ضربه



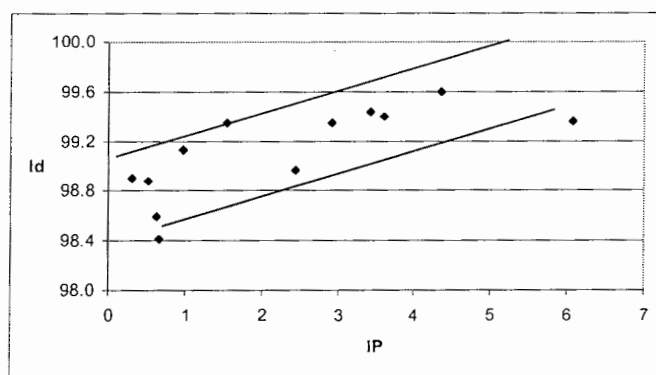
شکل(۴۸-۶) رابطه بین شاخص WPI و تخلخل



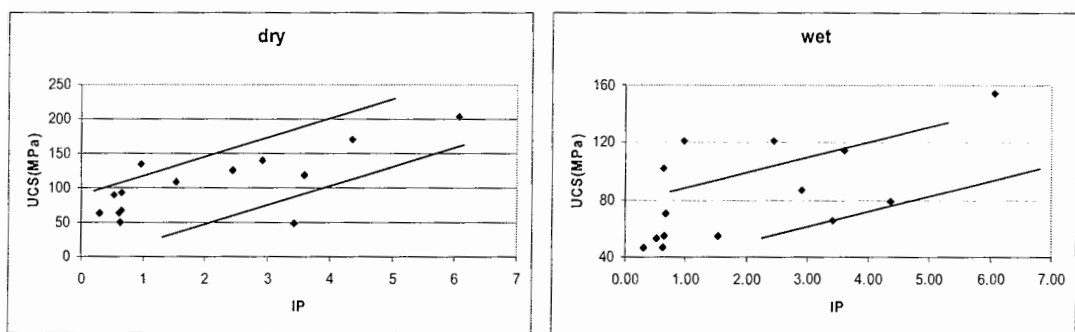
شکل(۴۹-۶) رابطه بین شاخص WPI و افت وزنی در ازمایش سلامت سنگ



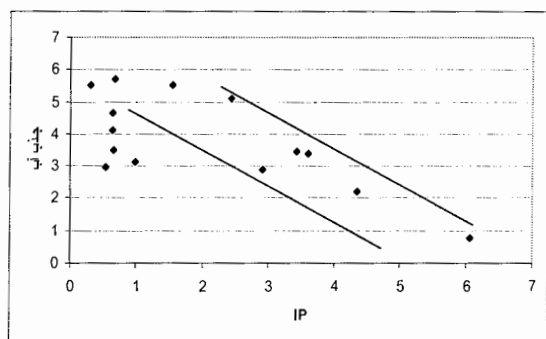
شکل(۵۰-۶) رابطه بین میانگین اندازه دانه ها و شاخص IP



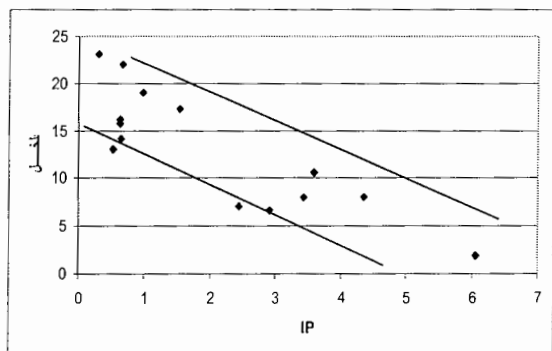
شکل(۵۱-۶) رابطه بین شاخص IP و شاخص دوام



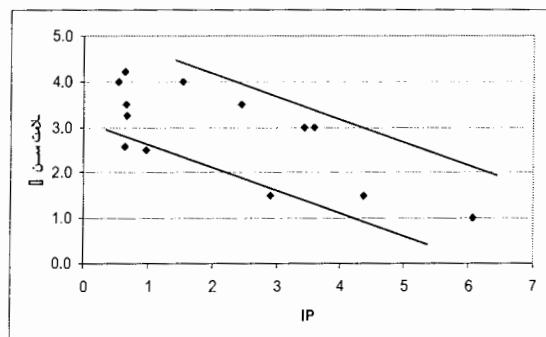
شکل(۵۲-۶) رابطه بین شاخص IP و مقاومت تک محوری در حالت خشک و اشباع



شکل(۵۳-۶) رابطه بین شاخص IP و میزان جذب آب



شکل(۵۴-۶) رابطه بین شاخص IP و تخلخل



شکل(۵۵-۶) رابطه بین شاخص IP و افت وزنی در آزمایش سلامت سنگ

۶-۶ ارزیابی خصوصیات مقاومتی و دوام داری بر اساس درصد کانیهای ناپایدار

درصد کانی های ناپایدار (unsound) در سنگها شاخص خوبی برای تعیین میزان مقاومت سنگها می باشد و تاثیر زیادی بر روی خصوصیات مقاومتی و دوام داری سنگها دارند. تشکیل دهنده های unsound شامل کانی های ناپایدار در برابر هوازدگی مانند کانی های فرومیزین، کانی های ثانویه مانند کانی های رسی و اکسیدهای آهن و حفرات و میکروشکافهای سنگ می باشند. دوام و مقاومت سنگ با افزایش کانی های ثانویه و ناپایدار بشدت کاهش می یابد. درصد کانی های ناپایدار به عواملی مانند میزان هوازدگی و ترکیب کانی شناسی سنگ بستگی دارد.

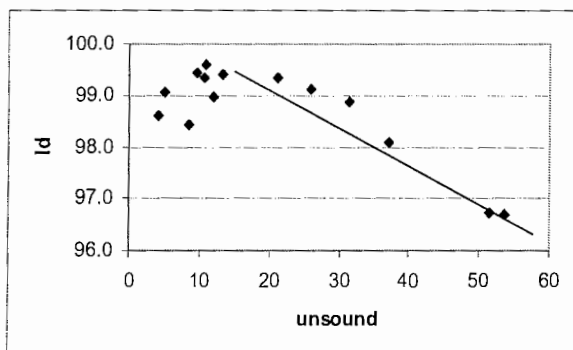
نمونه	نمونه	نمونه	نمونه
75. 83	COS1	5. 05	RD8
53. 75	HAS4	11. 92	RT16
31. 52	KS9	13. 22	RT1F
25. 91	GAS2	10. 85	RT1W
37. 11	SHT2	21. 16	BOS4
56. 83	LD10	10. 70	BD12
51. 47	G1	9. 55	GAS1

پس از بررسی های میکروسکوپی و مطالعات شیمیایی سنگهای منطقه. مشاهده گردید که بطور کلی میزان تشکیل دهنده های ناپایدار در سنگهای بازیک از سنگهای اسیدی بیشتر می باشد و دلیل آن استعداد بیشتر این سنگها برای هوازدگی می باشد. چون شرایط تشکیل این سنگها با سطح زمین تفاوت بیشتری دارد. در بین سنگهای مورد بررسی داسیت ها و ریولیت ها کمترین تشکیل دهنده ناپایدار را دارند و بعد از آنها به ترتیب گرانودیوریت. سینیت. توف. بازالت و گابرو قرار دارند.

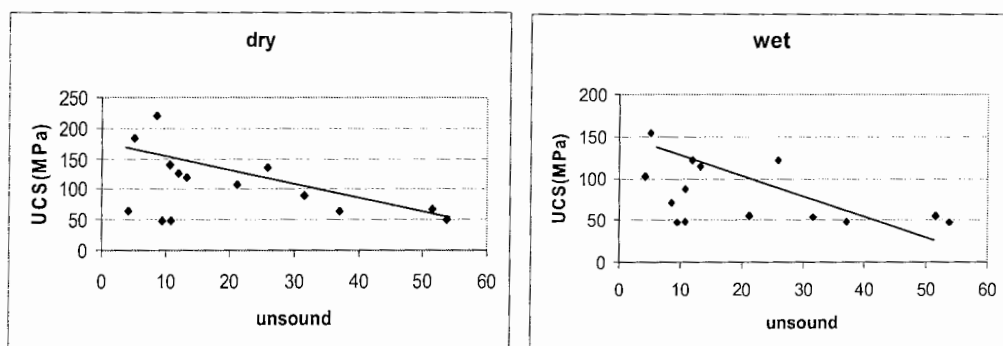
در اشکال (۵۶-۶) و (۶-۱) رابطه بین خصوصیات مهندسی سنگها و درصد کانی های ناپایدار سنگها نشان داده شده است. مشاهده میگردد خواص مقاومتی و دوام داری با افزایش درصد کانیهای ناپایدار و ثانویه کاهش می یابند.

در اشکال (۵۶-۶) و (۵۷-۶) و (۵۸-۶) به ترتیب رابطه بین سازنده های ناپایدار با شاخص دوام، مقاومت تک محوری و سرعت صوت در حالت خشک و اشباع نشان داده شده است. مشاهده می شود که با افزایش اجزاء ناپایدار، مقدار شاخص دوام، مقاومت و سرعت صوت در سنگها کاهش می یابد.

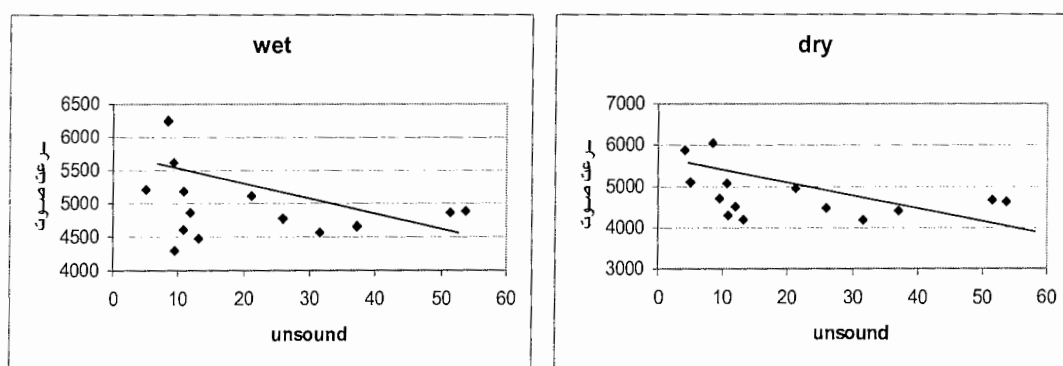
در شکل(۵۹-۶) و(۶۰-۶) به ترتیب رابطه بین سازنده های ناپایدار را با میزان جذب آب، تخلخل و سلامت سنگها نشان داده شده است. مشاهده می شود که با افزایش اجزاء ناپایدار، میزان جذب آب، تخلخل و شاخص سلامت افزایش می یابند.



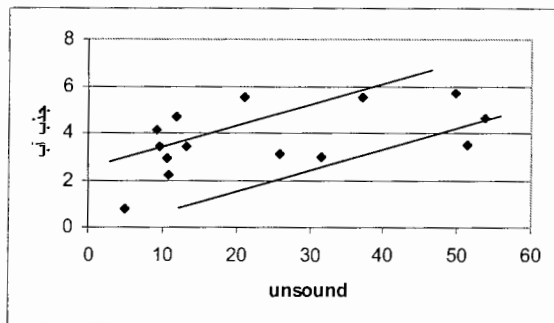
شکل(۵۶-۶) رابطه بین سازنده های ناپایدار و شاخص دوام



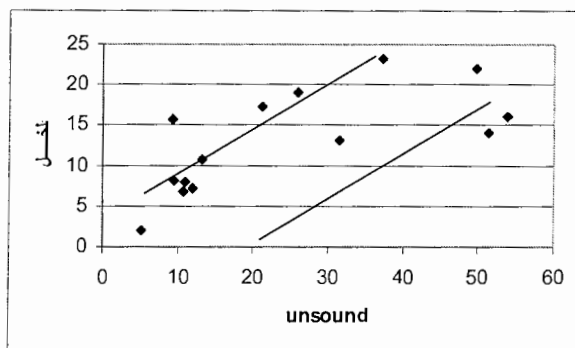
شکل(۵۷-۶) رابطه بین سازنده های ناپایدار و مقاومت تک محوری در حالت خشک و اشباع



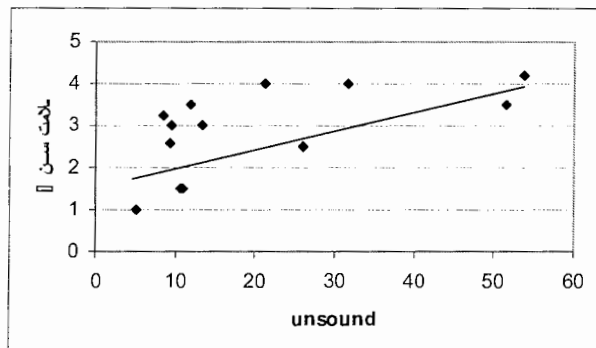
شکل(۵۸-۶) رابطه بین سازنده های ناپایدار و سرعت صوت در حالت خشک و اشباع



شکل(۵۹-۶) رابطه بین سازنده های ناپایدار و میزان جذب آب



شکل(۶۰-۶) رابطه بین سازنده های ناپایدار و میزان تخلخل



شکل(۶۱-۶) رابطه بین سازنده های ناپایدار و سلامت سنگ

۷-۶ ارزیابی خصوصیات مقاومتی و دوام داری بر اساس ترکیب کانی شناسی

نوع کانی ها و نسبت آنها تاثیر زیادی بر دوام و مقاومت سنگ خواهد. سنگهای حاوی کوارتز(به عنوان کانی پیوند دهنده) دارای بیشترین مقاومت می باشند و بعد از آن کلسیت و کانی های آهن و منیزیم دار قرار دارند و سنگهایی با مواد پیوند دهنده رسی ضعیف ترین سنگها می باشند. کانی های آهن و

منیزیم دار و کوارتز نقش عمده ای در مقاومت سنگها دارند. این کانی ها مرزهای دانه ای پیچیده یا بافت‌های درهم رشدی خوبی در سنگها ایجاد می کنند و باعث افزایش مقاومت و دوام سنگها می شوند. ولی ترکیب کانی شناسی نیز تحت تاثیر عوامل زیادی مانند میکروشکستگی ها، هوازدگی و . . . بوده و این عوامل می توانند سبب تغییر خواص مقاومتی سنگهایی با ترکیب یکسان شوند. پس ترکیب کانی شناسی نیز به تنها ی نمی تواند شاخصی برای تعیین مقاومت و دوام سنگها باشد.

در اشکال (۶۲-۶) تا (۷۰-۶) ارتباط بین ترکیب کانی شناسی (درصد کوارتز و کانی های فرومیزین) نشان داده شده است. مشاهده می شود که افزایش کوارتز و کانی های فرومیزین باعث افزایش پایداری و مقاومت سنگ خواهند شد.

در شکل (۶۲-۶) و (۶۳-۶) به ترتیب رابطه بین درصد کانی های فرومیزین با تخلخل و میزان جذب آب نشان داده شده است. همانطور که مشاهده می شود تخلخل و میزان جذب آب با افزایش این کانی ها کاهش می یابند زیرا کانی های فرومیزین پیوندهای بین دانه ای محکمی تشکیل می دهند و مانع نفوذ آب می شوند.

در شکل (۶۴-۶) رابطه بین درصد کانی های فرومیزین و وزن مخصوص نشان داده شده است. مشاهده می شود که وزن مخصوص با افزایش این کانی ها، افزایش می یابد زیرا کانی های فرومیزین دارای وزن مخصوص بالاتری می باشند.

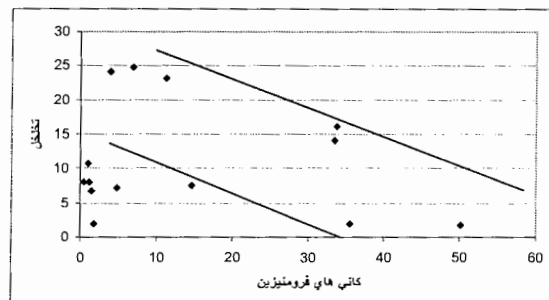
در شکل (۶۵-۶) رابطه بین درصد کانی های فرومیزین و سرعت صوت در حالت خشک و اشباع نشان داده شده است. مشاهده می شود سرعت صوت با افزایش این کانی ها، افزایش می یابد زیرا این کانی ها چگال تر بوده و سرعت صوت در آنها بیشتر می باشد.

در شکل (۶۶-۶) رابطه بین نسبت Q/F (کوارتز به فلدسپات) و شاخص دوام فقط برای سنگهایی که کوارتز داشته اند نشان داده شده است. مشاهده می شود که با افزایش این نسبت، شاخص دوام هم زیاد می شود. کانی کوارتز پیوندهای بین دانه ای و مرزهای درهم تشکیل می دهد و باعث افزایش دوام و مقاومت سنگ میگردد.

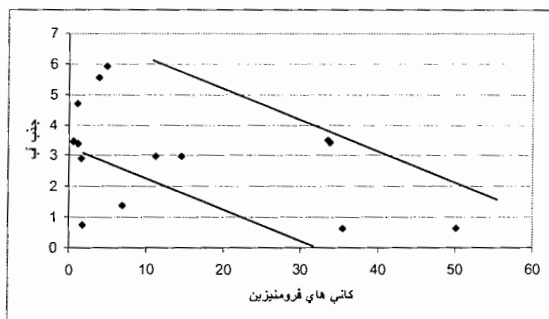
در شکل (۶۷-۶) رابطه بین نسبت Q/F و ارزش ضربه فقط برای سنگهایی که کوارتز داشته اند نشان داده شده است. مشاهده می شود که با افزایش این نسبت، ارزش ضربه ای کاهش می یابد زیرا کوارتز پیوندها و مرزهای بین دانه ای محکمی ایجاد می کند.

در شکل(۶۸-۶) رابطه بین درصد کوارتز و شاخص دوام فقط برای سنگهایی که کوارتز داشته اند نشان داده شده است.

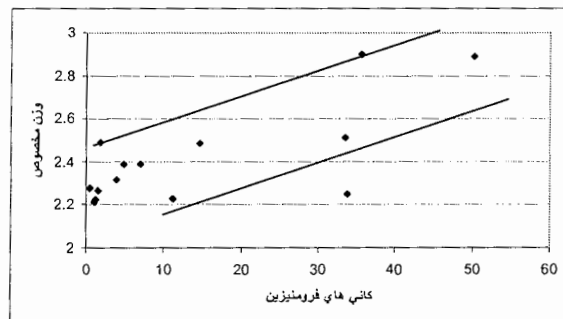
در اشکال (۶۹-۶) و (۷۰-۶) به ترتیب رابطه بین درصد کوارتز با ارزش ضربه و شاخص سلامت و فقط برای سنگهایی که کوارتز داشته اند نشان داده شده است.



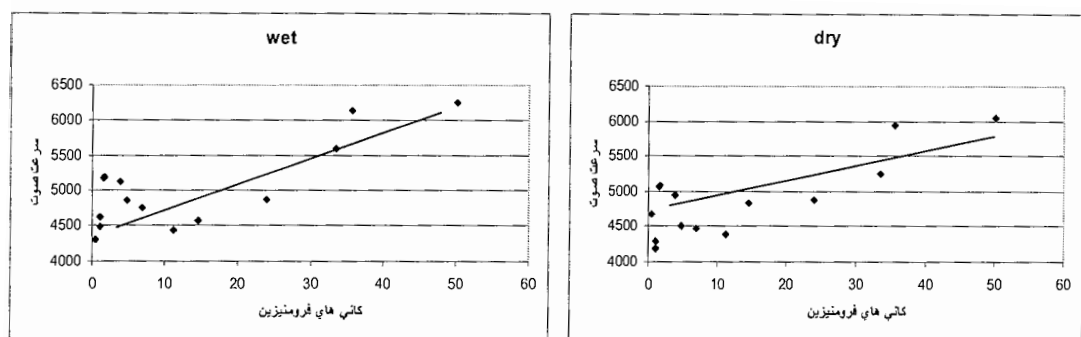
شکل(۶۲-۶) رابطه بین درصد کانی های فرومینیزین و تخلخل



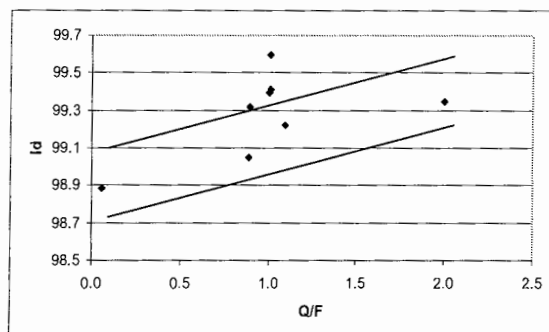
شکل(۶۳-۶) رابطه بین درصد کانی های فرومینیزین و میزان جذب آب



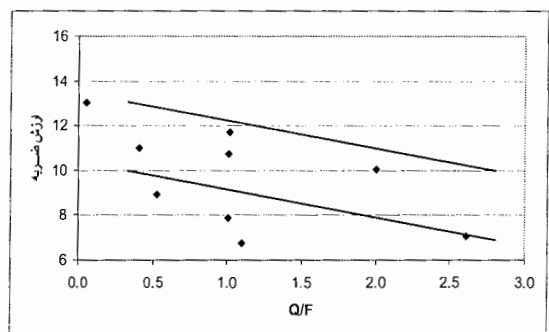
شکل(۶۴-۶) رابطه بین درصد کانی های فرومینیزین و وزن مخصوص



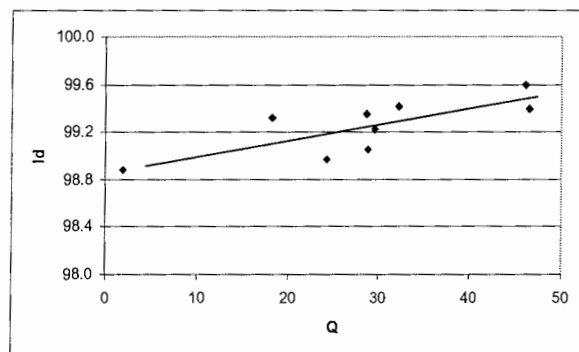
شکل(۶۵-۶) رابطه بین درصد کانی های فرومینزین و سرعت صوت در حالت خشک و اشباع



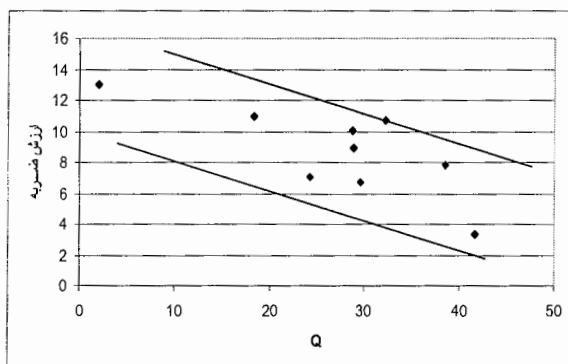
شکل(۶۶-۶) رابطه بین نسبت Q/F و شاخص دوم



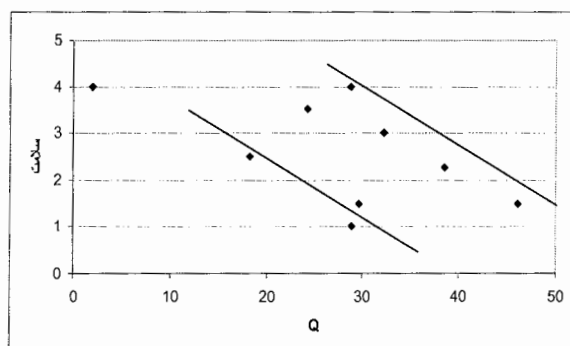
شکل(۶۷-۶) رابطه بین نسبت Q/F و ارزش ضربه



شکل(۶۸-۶) رابطه بین درصد کوارتز و شاخص دوم



شکل(۶۹-۶) رابطه بین درصد کوارتز و ارزش ضربه



شکل(۷۰-۶) رابطه بین درصد کوارتز و درصد سلامت سنگ

۸-۶ ارزیابی ارتباط خصوصیات فیزیکی، مکانیکی و دوام داری

خصوصیات فیزیکی، مقاومتی و دوام داری سنگها با هم مرتبط هستند. تمام این خصوصیات تحت تاثیر عواملی مانند هوازدگی، ترکیب کانی شناسی و درصد کانی های رسی، فراوانی میکروشکستگی ها، بافت، اندازه دانه ها و شرایط خارجی مانند حرارت، فشار و رطوبت می باشند.

رابطه وزن مخصوص و دیگر خصوصیات سنگ: وزن مخصوص سنگها متأثر از کانی شناسی و بافت سنگ می باشد. سنگهای با وزن مخصوص بالاتر، متراکم تر بوده و از مشخصه های مقاومتی بهتری برخوردارند. در اشکال (۷۱-۶) و (۷۲-۶) به ترتیب رابطه بین وزن مخصوص با مقاومت، سرعت صوت در سنگهای مورد مطالعه نشان داده شده است. مشاهده می شود که رابطه وزن مخصوص با دیگر خصوصیات سنگ بصورت خطی می باشد. رابطه این دو پارامتر بصورت زیر می باشد:

رابطه بین وزن مخصوص و مقاومت تک محوری در حالت خشک :

$$Y = 247.52X - 531.08, R^2 = 0.5301$$

رابطه بین وزن مخصوص و مقاومت تک محوری در حالت اشباع:

$$Y = 397.88 \ln(X) - 301.12, R^2 = 0.43$$

رابطه وزن مخصوص و سرعت موج در حالت خشک:

$$Y = 11002 \ln(X) - 5773.2, R^2 = 0.68$$

رابطه وزن مخصوص و سرعت موج در حالت اشباع:

$$Y = 10789 \ln(X) - 5358.2, R^2 = 0.6862$$

رابطه تخلخل و دیگر خصوصیات سنگ: در اشکال (۷۳-۶)، (۷۴-۶) و (۷۵-۶) به ترتیب رابطه بین تخلخل با مقاومت تک محوری، سرعت صوت و چگالی در حالت خشک و اشباع نشان داده می شود. مقاومت سنگ با افزایش تخلخل کاهش می یابد زیرا تخلخل زیاد باعث سست شدن فابریک سنگ می شود. رابطه تخلخل با دیگر خصوصیات سنگها بصورت تابع لگاریتمی می باشد. همانطور که در اشکال مشاهده می گردد در تخلخل کمتر از ۱۰ درصد، افزایش تخلخل تاثیر چندانی بر بقیه خصوصیات سنگ ندارد. رابطه این دو پارامتر بصورت زیر می باشد:

رابطه تخلخل و سرعت موج در حالت خشک:

$$Y = -634.33 \ln(X) - 5773.9, R^2 = 0.4495$$

رابطه تخلخل و سرعت موج در حالت اشباع:

$$Y = -599.26 \ln(X) - 5925.6, R^2 = 0.421$$

رابطه تخلخل و مقاومت در حالت خشک:

$$Y = -47.16 \ln(X) - 191.4, R^2 = 0.5469$$

رابطه تخلخل و مقاومت در حالت اشباع:

$$Y = 122.16 e^{-0.0776X}, R^2 = 0.5626$$

رابطه تخلخل و چگالی خشک:

$$Y = 2.809 X^{-0.0909}, R^2 = 0.7273$$

رابطه تخلخل و چگالی اشباع:

$$Y = 2.8006 X^{-0.0723}, R^2 = 0.6634$$

رابطه جذب آب و دیگر خصوصیات سنگ: در شکل (۷۶-۶) رابطه بین درصد جذب آب و مقاومت فشاری تک محوری و در حالت‌های خشک و اشباع نشان داده شده است. پراکندگی داده‌ها در شکل

نستاً زیاد است اما بطور کلی با افزایش جذب آب. مقاومت خشک و اشباع کاهش نشان می دهند. رابطه جذب آب با دیگر پارامترها بصورت لگاریتمی می باشد. رابطه این دو پارامتر بصورت زیر می باشد:

رابطه جذب آب و مقاومت در حالت خشک:

$$Y = -38.926 \ln(X) - 142.39, R^2 = 0.4625$$

رابطه جذب آب و مقاومت در حالت اشباع :

$$Y = -28.692 \ln(X) - 100.72, R^2 = 0.5717$$

رابطه بین سرعت موج و مقاومت تک محوری : در شکل (۶-۷۶) ارتباط بین این دو پارامتر برای ۲۲ نمونه که هر دوی این خصوصیات در آنها اندازه گیری شده است. نشان داده شده است. همانطور که انتظار می رود این دو پارامتر رابطه مستقیمی با هم دارند و همبستگی نمایی نشان می دهند. در حالت خشک مقاومت فشاری بالاتر است ولی سرعت صوت در حالت مرطوب بیشتر می باشد. پر شدن فضاهای خالی سنگ باعث افزایش سرعت موج در سنگ میگردد. رابطه این دو پارامتر بصورت زیر می باشد:

رابطه بین سرعت موج و مقاومت تک محوری در حالت خشک:

$$Y = 6.0871e^{-0.0006X}, R^2 = 0.6778$$

رابطه بین سرعت موج و مقاومت تک محوری در حالت اشباع:

$$Y = 9E - 0.08X^{2.4126}, R^2 = 0.7132$$

رابطه دوام داری با دیگر خصوصیات سنگ: در اشکال (۶-۷۸) و (۶-۷۹) رابطه بین شاخص دوام با خصوصیات مکانیکی از قبیل مقاومت فشاری تک محوری در حالت خشک و اشباع و ارزش ضربه ای نشان داده شده است. همانطور که در اشکال مشاهده میگردد رابطه مستقیمی بین این دو وجود داشته و شاخص دوام با افزایش مقاومت سنگ افزایش می یابد، زیرا سنگهایی که شاخص دوام پایینی دارند، پیوندهای بین دانه های آنها ضعیف تر بوده و درصد کانی های رسی و میزان هوازدگی در آنها بیشتر می باشد و به همین دلیل مقاومت کمتری نیز دارند و بطور کلی با کاهش دوام، مقاومت سنگ کاهش و ارزش ضربه ای افزایش می یابد. رابطه این دو پارامتر بصورت زیر می باشد:

رابطه بین دوام و مقاومت تک محوری در حالت خشک:

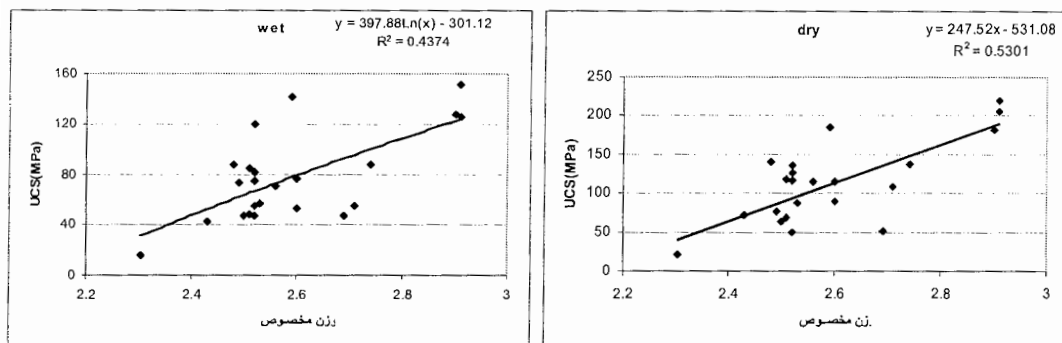
$$Y = 3E - 91X^{46.363}, R^2 = 0.4519$$

رابطه بین دوام و مقاومت تک محوری در حالت اشبع :

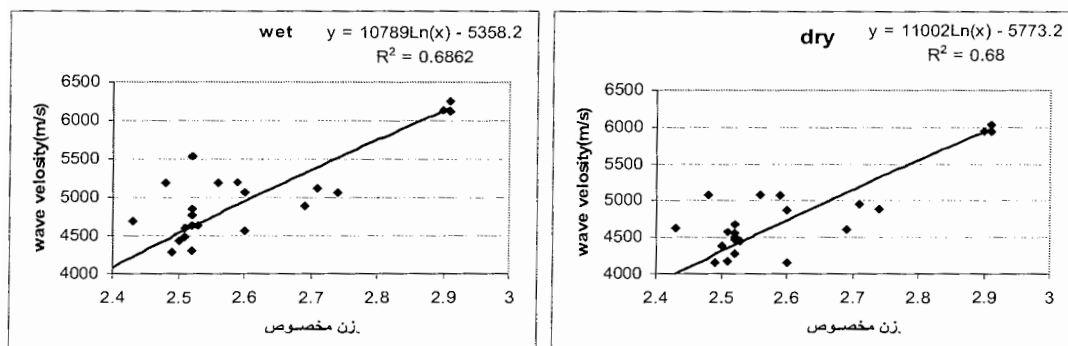
$$Y = 7E - 18e^{0.441X}, R^2 = 0.4959$$

رابطه بین دوام و ارزش ضربه :

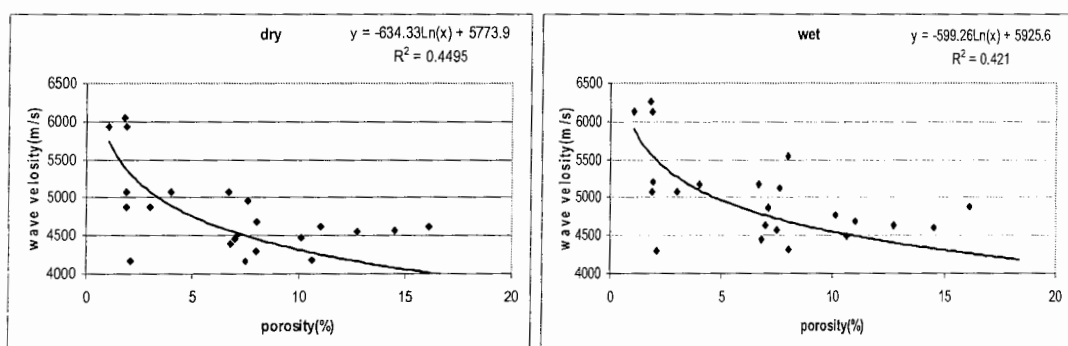
$$Y = -0.0715X + 99.739, R^2 = 0.3854$$



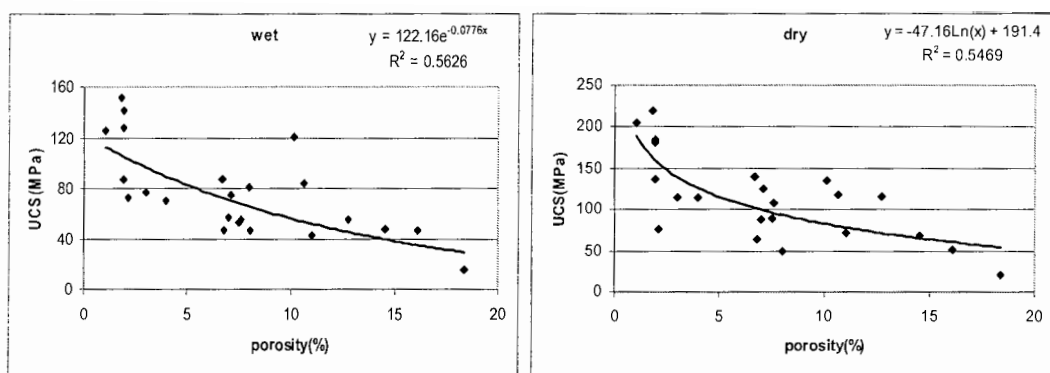
شکل(۷۱-۶) رابطه بین مقاومت تک محوری در حالت خشک و اشبع و وزن مخصوص



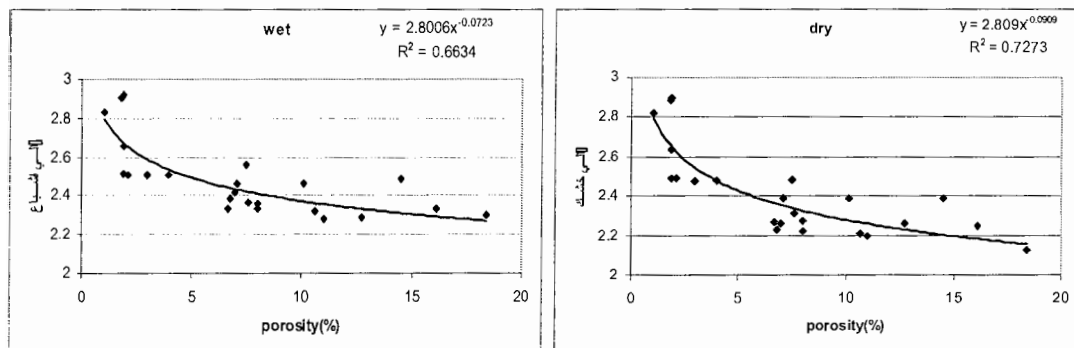
شکل(۷۲-۶) رابطه وزن مخصوص و سرعت موج در حالت‌های خشک و اشبع



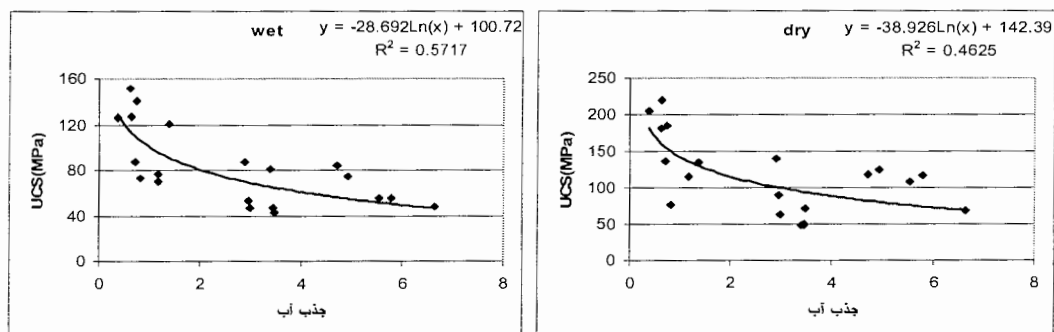
شکل(۷۳-۶) رابطه بین و تخلخل و سرعت صوت در حالت خشک و اشبع



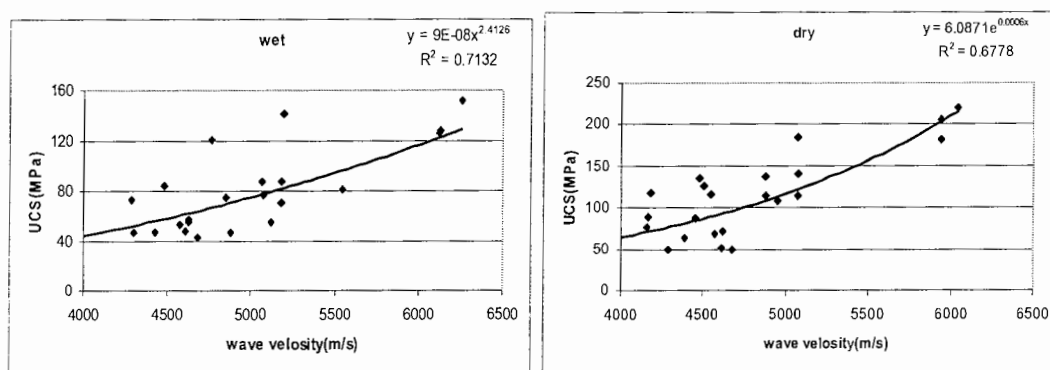
شکل(۷۴-۶) رابطه بین تخلخل و مقاومت تک محوری در حالت خشک و اشباع



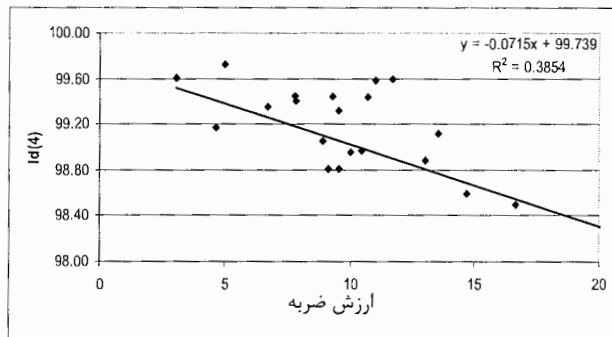
شکل(۷۵-۶) رابطه بین چگالی و تخلخل



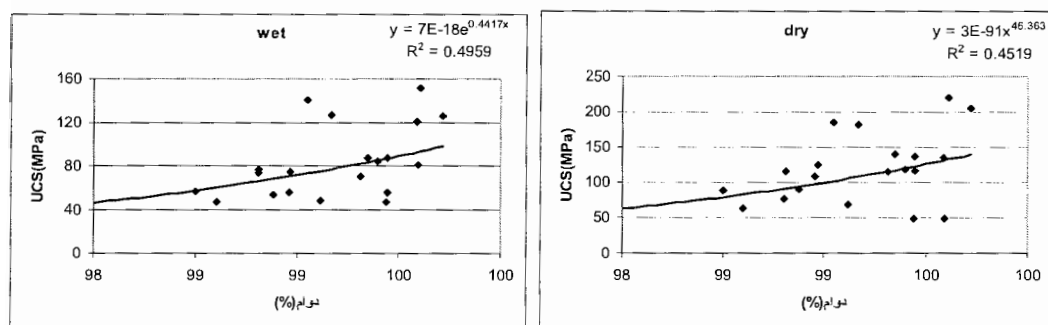
شکل(۷۶-۶) رابطه بین درصد جذب آب و مقاومت فشاری تک محوری در حالت‌های خشک و اشباع



شکل(۷۷-۶) رابطه بین سرعت موج و مقاومت تک محوری در حالت‌های خشک و اشباع



شکل ۶-۷۸- رابطه بین ارزش ضربه و شاخص دوام



شکل ۶-۷۹- رابطه بین شاخص دوام و مقاومت فشاری تک محوری در حالت خشک و اشباع

فصل مُختَلِفٌ

تَسْبِيْحَةُ الْكَبِيرِ

(۶)

بِسْمِ اللّٰهِ الرَّحْمٰنِ الرَّحِيمِ

نتیجه گیری :

- سنگهای منطقه مزبور از نظر سنگ شناسی متنوع بوده و شامل ریولیت، توف ریولیتی، بازالت، گابرو و دیاباز، داسیت، سینیت، ایگنیمبریت و گرانودیوریت میباشد.
- کلیه سنگهای آذرین بکار رفته در موج شکنها از گنبد های نمکی استخراج شده اند و با توجه به شواهد کانی شناسی، سنگهای گنبد های نمکی یک آلتراسیون هیدرولیکال را تحمل کرده اند.
- کانیهای ثانویه حاصل از هوازدگی در سنگهای مورد مطالعه عمدهاً کلسیت، سریسیت، اپیدوت، کانی های رسی و کلریت می باشند.
- با توجه به مقایسه میزان کانی های ثانویه در نمونه های سنگی معادن و نمونه های بکار رفته در محیط موج شکن ها، گابروها، سینیت ها و گرانودیوریت ها کمتر دچار هوازدگی شده اند ولی توفهای ریولیتی و ریولیتها کمی بیشتر هوازده شده اند، داسیتها و بازالتها بسیار هوازده شده اند.
- از لحاظ ویژگیهای مهندسی، گابروها بهترین سنگها بوده و بهترین شاخصهای مقاومتی و دوام را دارد و بعد از آن به ترتیب داسیت، ریولیت، گرانودیوریت، سینیت، توف و بازالت قرار دارند.
- از نظر ویژگیهای بافتی، سنگهای میکرو گرانولار بهترین مقادیر مقاومت و دوام را داشته و بعد از آن به ترتیب بافت های گرانولار، پورفیری و میکرو کریستالین قرار دارند.
- اندازه دانه تاثیر زیادی بر روی ویژگیهای مقاومتی و دوام سنگها داشته و یکی از مهمترین و بهترین پارامترهای تعیین میزان مقاومت و دوام سنگ می باشد و با کاهش اندازه دانه، مقاومت و دوام سنگ افزایش می یابد. اگر میانگین اندازه دانه ها بیشتر از ۱/۰ میلیمتر باشد، تاثیر اندازه دانه بیشتر خواهد بود.
- ترکیب کانی شناسی یکی از خواص اصلی کنترل کننده مقاومت سنگ می باشد و کانی های مختلف تاثیرات مختلفی را بر روی مقاومت سنگها دارند. بر اساس ویژگیهای کانی شناسی، کوارتز و کانی های فرومینیزین تاثیر زیادی بر روی مقاومت و دوام سنگ دارند، بطوریکه با افزایش این کانی ها میزان مقاومت و دوام سنگها افزایش می یابد و تخلخل و جذب آب سنگها کمتر می شود. زیرا کوارتز و کانی های آهن و منیزیم دار مرزهای دانه ای پیچیده یا بافت های درهم رشدی خوبی در سنگها ایجاد می کنند. همچنین افزایش کانی های رسی و ثانویه نیز باعث کاهش مقاومت و دوام سنگها می شوند.

- نسبت Q/F نیز رابطه خوبی با ویژگیهای مقاومتی سنگ دارد و با افزایش این نسبت، مقاومت و دوام سنگ افزایش می یابد.

- از بین شاخص های هوازدگی و سنگ شناسی مختلف، شاخص MI میورا و شاخص PI و WPI ایرفان و IP پارکر رابطه بهتری را با ویژگیهای مقاومتی نشان می دهند.

- با توجه به شاخص های هوازدگی، سنگهای ریز دانه نسبت به سنگهای درشت دانه کمتر هوازده شده اند و با افزایش اندازه دانه، استعداد سنگ برای هوازدگی بیشتر می باشد.

- با توجه به آزمایشات سرعت صوت، سنگهای گابرویی دارای کمترین میزان درز و شکاف و ریولیت و توف و داسیت بیشترین درز و شکاف را دارند.

- با بررسی نتایج بدست آمده از آزمایشات مقاومتی و دوام داری، روابط تجربی زیر برای این خواص بدست آمد :

رابطه بین مقاومت تک محوری در حالت خشک و اشباع و وزن مخصوص

$$Y = 397.88 \ln(X) - 301.12, R^2 = 0.43 \quad (\text{اشباع}), \quad Y = 247.52X - 531.08, R^2 = 0.5301 \quad (\text{خشک})$$

رابطه وزن مخصوص و سرعت موج در حالت های خشک و اشباع

$$Y = 10789 \ln(X) - 5358.2, R^2 = 0.686 \quad (\text{اشباع}), \quad Y = 11002 \ln(X) - 5773.2, R^2 = 0.68 \quad (\text{خشک})$$

رابطه بین و تخلخل و سرعت صوت در حالت خشک و اشباع

$$Y = -599.2 \ln(X) - 5925.6, R^2 = 0.42 \quad (\text{اشباع}), \quad Y = -634.3 \ln(X) - 5773.9, R^2 = 0.44 \quad (\text{خشک})$$

رابطه بین تخلخل و مقاومت تک محوری در حالت خشک و اشباع

$$Y = 122.16 e^{-0.0776X}, R^2 = 0.5626 \quad (\text{اشباع}), \quad Y = -47.16 \ln(X) - 191.4, R^2 = 0.5469 \quad (\text{خشک})$$

رابطه بین چگالی و تخلخل

$$Y = 2.8006 X^{-0.0723}, R^2 = 0.6634 \quad (\text{اشباع}), \quad Y = 2.809 X^{-0.0909}, R^2 = 0.7273 \quad (\text{خشک})$$

رابطه بین درصد جذب آب و مقاومت فشاری تک محوری و در حالت های خشک و اشباع

$$Y = -28.69 \ln(X) - 100.72, R^2 = 0.57 \quad (\text{اشباع}), \quad Y = -38.92 \ln(X) - 142.39, R^2 = 0.46 \quad (\text{خشک})$$

رابطه بین سرعت موج و مقاومت تک محوری در حالت های خشک و اشباع

$$Y = 9E - 0.08 X^{2.4126}, R^2 = 0.7132 \quad (\text{اشباع}), \quad Y = 6.0871 e^{-0.0006X}, R^2 = 0.6778 \quad (\text{خشک})$$

رابطه بین ارزش ضربه و شاخص دوام

$$Y = -0.0715 X + 99.739, R^2 = 0.3854$$

رابطه بین شاخص دوام و مقاومت فشاری تک محوری در حالت خشک و اشباع

$$Y = 7E - 18e^{0.441X}, R^2 = 0.4959 \quad (\text{اشباع})$$

$$Y = 3E - 91X^{46.363}, R^2 = 0.4519 \quad (\text{خشک})$$

در بین روابط بدست آمده، سرعت موج، تخلخل، وزن مخصوص و میانگین اندازه دانه بهترین روابط را با پارامترهای مقاومتی و دوام دارند و با اندازه گیری و تعیین آنها می‌توان تا حدود زیادی به میزان مقاومت و دوام سنگ پی برد.

پیشنهادات :

- ۱- در صورتی که تعداد نمونه های بیشتری برداشت گردد و آزمایشات دیگری نیز مانند سایش لس آنجلس، بار نقطه ای، برزیلین و سه محوری بر روی نمونه ها انجام شوند و همچنین یک آزمایش چندین بار بر روی یک نمونه انجام شود، نتایج دقیق تری حاصل خواهد شد.
- ۲- نمونه هایی از سنگهای مورد بررسی برای مطالعه عملکرد سنگها در محیط طبیعی و مقایسه نتایج آن با نتایج آزمایشگاهی، برای مدت بخصوص و در سطوح خاصی از موج شکن قرار گیرند و در زمانهای مشخص بازدید و بررسی شوند.
- ۳- با توجه به نقش ترکها و میکروشکستگی ها در دوام و مقاومت سنگها، تکنیکهای مختلف مطالعات ترکها و میکرو شکستگی ها مانند فلورسانس، میکروپرپوپ لیزری و جاروکننده (SEM)، جهت بررسی و مطالعه بیشتر نقش میکروشکستگی ها بکار روند.

فهرست متابع

الف: منابع فارسی :

- آسیابانها، عباس، (۱۳۷۴)، بررسی میکروسکوپی سنگهای آذرین و دگرگونی (ترجمه)، انتشارات دانشگاه بین المللی امام خمینی.
- آقاباتی، سید علی، (۱۳۸۳)، زمین شناسی ایران، انتشارات سازمان زمین شناسی و اکتشافات معدنی کشور.
- اسفندیاری، ب؛ بزرگر، ف، (۱۳۵۸)، بررسی گنبدهای نمکی جنوب ایران بر مبنای تفسیر ماهواره اندست، مجله دانشکده علوم دانشگاه تهران، جلد یازدهم، شماره اول و دوم.
- جعفری صدر، سید عبدالرضا، (۱۳۷۰)، پترولوری سنگهای آذرین و دگرگونی گنبد نمکی گچین، پایان نامه کارشناسی ارشد دانشکده علوم دانشگاه تهران.
- جلالی، حسین؛ ناصحی، سید علیرضا؛ نیکودل، محمد رضا، (۱۳۷۷)، زوال و دوام مصالح سنگی در موج شکنهاي منطقه چابهار، سومین کنفرانس بین المللی بنادر و سازه های دریایی.
- حسن پور، جعفر؛ اصغری، ابراهیم، (۱۳۷۹)، بررسی منابع قرضه سنگی در نوار ساحلی خلیج فارس، چهارمین کنفرانس بین المللی بنادر و سازه های دریایی.
- حسنی، حمید رضا، (۱۳۸۳)، ارزیابی عملکرد موج شکنهاي توده سنگی سواحل شمالی خلیج فارس (استان بوشهر)، پایان نامه کارشناسی ارشد مهندسی عمران، گرایش سازه های دریایی دانشکده فنی و مهندسی دانشگاه تربیت مدرس.
- تلخابلو، مهدی، (۱۳۷۷)، بررسی شاخصهای مهندسی سنگهای کربناته منطقه سد لار، پایان نامه کارشناسی ارشد زمین شناسی مهندسی، دانشکده علوم دانشگاه تربیت مدرس.
- توکلی، محسن، (۱۳۶۶)، انتخاب و استخراج سنگ مناسب برای احداث موج شکن بندرجاسک، پایان نامه کارشناسی ارشد معدن، دانشکده فنی دانشگاه تهران.
- درویش زاده، علی، (۱۳۷۰)، زمین شناسی ایران، انتشارات نشر دانش امروز، تهران.
- فهیمی فر، احمد؛ سروش، حامد، (۱۳۸۰)، آزمایشهاي مکانيك سنگ (مباني نظری و استانداردها)، جلد اول (آزمونهای آزمایشگاهی)، شرکت سهامی آزمایشگاه فنی و مکانیک خاک، چاپ اول.
- شناسنامه بنادر کشور، (۱۳۷۴)، سازمان سازمان بنادر و کشتیرانی، اداره کل مطالعات و تحقیقات.

- گزارش مرحله اول مطالعات طرح ترمیم و توسعه بندر چند منظوره کنگ(جلد اول)، مطالعات پایه (۱۳۷۳)، مهندسین مشاور سازه پردازی ایران، گروه مهندسی سواحل و بنادر.
- مرادی، مسعود، (۱۳۸۲)، تحولات پترولئوئیکی واحدهای آذربین گنبد های نمکی سواحل و جزایر خلیج فارس، پایان نامه دکتری دانشکده علوم دانشگاه تهران.
- مر، فرید؛ شرفی، علی اصغر، (۱۳۷۶)، اصول ژئوشیمی (ترجمه)، انتشارات دانشگاه شیراز، چاپ سوم.
- مجموعه مقالات اولین سمپوزیوم دیاپیریسم با نگرشی ویژه به ایران، (۱۳۶۹)، انتشارات سازمان زمین شناسی واکتشافات معدنی کشور.
- مطیعی، ۵، (۱۳۷۲)، چینه شناسی زاگرس، زمین شناسی ایران، انتشارات سازمان زمین شناسی و اکتشافات معدنی کشور.
- معماریان، حسین، (۱۳۸۲)، زمین شناسی مهندسی و ژئوتکنیک، انتشارات دانشگاه تهران، چاپ سوم.
- معین وزیری، حسین، (۱۳۷۱)، پترولئوئی و پتروگرافی سنگهای آذرین، انتشارات دانشگاه تربیت معلم تهران.
- ناصحی، علیرضا، (۱۳۷۶)، تعیین معیارهای مناسب برای کاربرد سنگ در احداث سازه های دریایی، جنوب شرق ایران (چاپهار)، سومین کنفرانس بین المللی بنادر و سازه های دریایی.
- نقشه زمین شناسی ۱/۱۰۰۰۰۰ جنوب غرب ایران، شرکت ملی نفت ایران (۱۹۶۹).
- نیکودل، محمدرضا، (۱۳۶۹)، مطالعه معیارهای شناخت زوال پذیری و دوام سنگ، پایان نامه کارشناسی ارشد زمین شناسی مهندسی، دانشکده علوم پایه دانشگاه تربیت مدرس.
- یثربی، سید شهاب الدین؛ صفری، حجت الله، (۱۳۷۷)، بررسی معیارهای کنترل کیفیت سنگ در موج شکن ها با نگرشی ویژه به منطقه خلیج فارس و دریای عمان، سومین کنفرانس بین المللی بنادر و سازه های دریایی.

ب: منابع انگلیسی

- Adam, J.R., Kent , Marc., Norman, Ian., Hutcheon, Edward. M. Stolper. 1999. *Assimilation of seawater-derived components in an oceanic volcano: evidence from matrix glasses and glass inclusions from Loihi seamount, Hawaii*, Chemical Geology, 156,pp.299 -319.
- Ahmadzadeh-Heravi,M.,Houshmandzadeh,A., Nabavi,M.H. 1990.*New concepts of hormoz formation's stratigraphy and the problem of salt diapirism in south Iran*.Proc.Symp.on diapirism with special reference to Iran,Vol.1, pp.1-22,Geol.Surv.Iran,Tehran,Iran.
- AL-Ameen, S.I., Waller, M.D. 1994. *The influence of rock strength and abrasive mineral content on the Cerchar Abrasive Index*,Engineering Geology ,36,pp.293-301.
- American Society for Testing Materials.1996.*Annual Books of ASTM standards*,Vol, 04 ,08.
- Andriani, G.F., Walsh, N. 2002. *Physical properties and textural parameters of calcarenitic rocks:qualitative and quantitative evaluations*, Engineering Geology,67,pp.5 -15.
- Aydin,N.S.Duzgoren.,Aydin,A.,Malpas,J. 2002.*Re-assesment of chemical weathering indices:case study on pyroclastic rocks of Hong Kong*, Engineering Geology,63,pp.99-119.
- Bell,F.G. 2001.*Engineering Properties of Soil and Rocks*,3nd Edition , Butter Worths,London.
- Bell, F.G., Haskins, D.R. 1997. *A geotechnical overview of Katse Dam and Transfer Tunnel,Lesotho, with a note on basalt durability*,Engineering Geology, 46,pp.175-198.
- Benavente, D., Garcia del Cura,, Fort, R., Ordonez, S. 2004. *Durability estimation of porous building stones from pore structure and strength*, Engineering Geology,74,pp.113 - 127.
- Benavente, D., Garcia del Cura, M.A., Bernabeu, A., Ordonez, S. 2001. *Quantification of salt weathering in porous stones using an - experimental continuous partial immersion method*,Engineering Geology,59,pp.313-325.

- Benavente, D., Garc, M.A., del Cura, M.A., Guinead, J.Garc ., Sanchez, Morald. S., Ordonez, S. 2004. *Role of pore structure in salt crystallisation in unsaturated porous stone*,Journal of Crystal Growth, 260,pp.532-544.
- Bonnelye, Veronique., Sanz, Migual. Angel., Durand, Jean-Pierre ., Plasse, Ludovic., Gueguen, Frederic ., Mazounie, Pierre. 2004. *Reverse osmosis on open intake seawater:per-treatment sterategy*,Desalination , 167,pp.191-200.
- Brattli, Bjorge. 1992. *The influence of geological factors on the mechanical properties of basic igneous rocks used as road surface aggregates*, Engineering Geology, 33,pp.31-44.
- Chigira, M ., Oyama, T. 1999. *Mechanism and effect of chemical weathering of sedimentary rocks*, Engineering Geology, 55,pp.3-14.
- Cipu, Rosa. 2001. *Water Rock interaction*,Proceeding of the tenth international symposium on water-rock interaction,villasimius,Italy.10-15 july.
- CIRIA/CUR .1991.*Manual on the use of rocks in the coastal and shoreline engineering*.
- Curran, Joanne., Smith, Bernard., Warke, Patricia. 2002. *Weathering of igneous rocks during shallow burial in an upland peat environment : observations from the Bronze Age Copney Stone Circle Complex,Northern Ireland*,Cutena,49,pp.139-155.
- Daudre, B., Cloetingh, S. 1994. *Numerical modelling of salt diapirism: influence of the tectonic regime*,Tectonophysics, 240,pp.59-79.
- Davoudzadeh, M. 1990.*Some dynamic aspects of the salt diapirism in the southern Iran*.Proc.Symp.On diapirism with special reference to Iran,Vol.2, 149, Geol. Surv. Iran,Tehran, Iran.
- Dhakal, Ganesh., Yoneda, Tetsuro., Kato, Masaji ., Kaneko, Katsuhiko. 2002. *Slake durability and mineralogical properties of some pyroclastic and sedimentary rocks*,Engineering Geology, 65,pp.31-45.
- Duperret ,Anne., Taibi, Said., Mortimore ,Rory N., Daigneault, Martin .2005 .*Effect of groundwater and sea weathering cycles on the strength of*

chalk rock from unstable coastal cliffs of NW France, Engineering Geology ,76,pp.125-143.

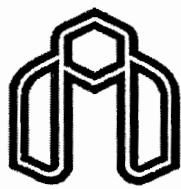
- Edgell, H.S. 1996. *Salt tectonism in Persian Gulf basin*. Geol. Soci. London, Spacial publications, 100,pp.129-151.
- Ehlen, Judy. 1999. *Fracture characteristics in weathered granites*, Geomorphology, 31,pp.29-45.
- Ela, D.D. Schultz., Jackson, M.P.A., Vendeville, B.C. 1993. *Mechanics of active salt diapirism*,Tecfonophysics ,228,pp.215-312.
- Ersoy,A., Waller, M.D. 1995. *Textural characterisation of rocks*, Engineering Geology, 39,pp.123-136.
- Gianelli, Giovanni., Mekuria, Negussie., Battaglia, Stefano., Chersicla, Alessandro., Garofalo, Paolo., Ruggieri, Giovanni., Manganelli, Mirco ., Gebregziabher, Zewde . 1998. *Water-rock interaction and hydrothermal mineral equilibria in the Tendaho geothermal system*, Journal of Volcanology and Geothermal Research, 86,pp.253-276.
- Gokceoglu, Candan ., Ulusay, Resat ., Sonmez, Harun. 2000. *Factors affecting the durability of selected weak and claybearing rocks from Turkey, with particular emphasis on the influence of the number of drying and wetting cycles*,Engineering Geology, 57 ,pp. 215-237.
- Gosh ,Amitava., Daemen ,Jaak .J.K. 1991. *Fracture characteristics of rock discontinuities*,Engineering Geology, 34,pp.1-9.
- Goudie, A. S ., Parker, A. G. 1998. *Experimental simulation of rapid rock block disintegration by sodiumchloride in a foggy coastal desert*, Journal of Arid Environments,40,pp.347-355.
- Guan, P., Ng, C.W.W., Sun, M., Tang, W. 2001. *Weathering indices for rhyolitic tuff and granite in Hong Kong*,Engineering Geology,59,pp.147-159.
- Gupta, Anand.S., Rao, K. Seshagiri. 2000. *Weathering effects on the strength and deformational behaviour of crystalline rocks under uniaxial compression state*, Engineering Geology, 56,pp.257-274.
- Gupta ,Anand.S., Rao ,K. Seshagiri. 2001. *Weathering indices and their applicability for crystalline rocks*,Bull Eng Geol Env ,60,pp.201-221.

- Hegde, A.V., Srinivas,Rao P. 1995. *Effect of core porosityon stability and runup of breakwaters*, Ocean Engineering, 22, No 8,pp.519-526.
- Heilbronner, Renee. 2000. *Automatic grain boundary detection and grain size analysis using polarization micrographs or orientation images*, Journal of Structural Geology, 22 ,pp.969-981.
- Hodder, A.P.W. 1984. *Thermodynamic interpretation of weathering idices and its application to Engineering projectiles of rocks*, Engineering Geology, 20,pp.241-251.
- Husseini, M.J. 1998.*The Arabian Infracambrian extentional syetem*. Tectonophysics,Vol.148,pp.93-103.
- Jeng, F.S., Weng, M.C., Lin, M.L., Huang, T.H. 2004. *Influence of petrographic parameters on geotechnical properties of tertiary sandstones from Taiwan*,Engineering Geology, 74,pp.122-138.
- Kent,P.E.1979.*The emergent Hormuz salt plugs of southern Iran*. Journ. Petrol. Geol,Vol.2,pp.177-144.
- kesson,Urban.A.,Hanssonb, Jan., Stigha, Jimmy.2004. *Characterisation of microcracks in the Bohus granite, western Sweden, caused by uniaxial cyclic loading*, Engineering Geology, 72,pp.131-142.
- Koncagul, Engin. C., Santi, Paul. M. 1999. *Predicting the unconned compressive strength of the Breathitt shale using slake durability, Shore hardness and rock structural properties*, International Journal of Rock Mechanics and Mining Sciences, 36,pp.139-153.
- Kuhnel, Radko. A. 2004.*Cause and consequence: volume changes behind building material deterioration*, Materials Characterization, 53,pp.171-180.
- Lan, H.X., Hu, R.L., Yue, Z.Q., Lee, C.F., Wang, S.J. 2003. *Engineering and geological characteristics of granite weathering profiles in South China*, Journal of Asian Earth Sciences, 21,pp.353-364.
- Larsson, D., Gronvold, K., Oskarsson, N., Gunnlaugsson, E. 2002. *Hydrothermal alteration of plagioclase and growth of secondary feldspar in the Hengill Volcanic Centre, SW Iceland*, Journal of Volcanology and Geothermal Research, 114,pp.275-290.

- Mather ,Bryant. 2004. *Concrete durability*, Cement & Concrete Composites , 26,pp.3-4.
- Matsukura, Y., Hashizume, K., Oguchi, C.T.2002.*Effect of microstructure and weathering on the strength anisotropy of porus rhyolite*, Engineering Geology ,63,pp.39-47.
- Moon, Vicki., Jayawardane, Jayanthi. 2004.*Geomechanical and geochemical changes during early stages of weathering of Karamu Basalt, New Zealand*, Engineering Geology ,74,pp. 57-72.
- Moon, Vicki G. 1993.*Geotechnical characteristics of ignimbrite: A soft pyroclastic rock type*, Engineering Geology, 35,pp.33-48.
- Moon, Vicki G. 1993. *Microstructural controls on the geomechanical behaviour of ignimbrite*,Engineering Geology, 35,pp.19-31.
- Nalpas, T., Brun, J.P. 1993. *Salt flow and diapirism related to extension at crustal scale*,Tectonophysics, 228,pp.349-362.
- Nelson, Stephan.T., Montana, Art. 1992. *Sieve – tertured plagioclase in volcanic rocks produced by rapid decompression*,American mineralogist , Vol 77,pp.1242-1249.
- Oguchi, Chiaki T., Matsukura, Yokinori . 1999. *Effect of porosity on the increase in weathering rind thicknesses of andesite gravel*, Engineering Geology, 55,pp.77-79.
- Oliver, Nicholas H.S., Bbons, Paul. D. 2001.*Mechanisms of fluid flow and fluid-rock interaction in fossil metamorphic hydrothermal systems inferred from vein –wall rock,patterns,geometry and microstructure*.Geofluids,1, pp .137-162.
- Oyama, Takahiro., Chigira, Masahiro. 1999. *Weathering rate of mudstone and tuff on old unlined tunnel walls*,Engineering Geology, 55,pp.15-27.
- Ozkahraman, H.T., Iik, E.C. 2005. *The effect of chemical and mineralogical composition of aggregates on tensile adhesion strength of tiles*, Construction and Building Materials,19,pp.251-255.
- Pel, L., Huinink, H., Kopringa, K. 2003. *Salt transport and crystallization in porous building materials*, Magnetic Resonance Imaging,21,pp.317-320.

- Raisanen, M. 2004. *Relation between texture and mechanical properties of hybrid rocks from the Juala-Iitti Complex, Southeastern Finland*, Engineering Geology,74,pp.197-211.
- Ramamurthy, T., Rao, G. Venkatappa ., Singh, J. 1993. *Engineering behaviour of phyllites*, Engineering Geology, 33,pp.209-225.
- Ramamurthy, T. 2003. *A geo-engineering classification for rocks and rock masses*, International Journal of Rock Mechanics and Mining Sciences 25, pp.139-153.
- Rao, Subba., Pramod, C.h., Rao, Balakrishna. 2004. *Stability of berm breakwater with reduced armor stone weight*, Ocean Engineering ,31,pp. 1577 1589.
- Sousa, Luis M.O., Suarez del Rio, Luis M., Calleja, Lope., Ruiz de Argandona, Vicente G., Rodriguez Rey, Angel. 2004. *Influence of microfractures and porosity on the physico-mechanical properties and weathering of ornamental granites*,Engineering Geology, 75,pp.88-102.
- Staoklin,J ., Nabavi,M.H. 1975.Tectonic Map of Iran,1:250,000,GSI.
- Talbot, C.J., Alavi, M. 1996. *The past of a future syntaxis across the Zagros*. Geol. Soci. London, Special Publications, 100,pp. 89-109.
- Talbot, C.J.,1998. *Extrusions of Hormoz salt in Iran*. Geol. Soci. London, Special Publications, 143,pp. 315-334.
- Topal, Tamer., Sozmen, Burak. 2003. *Deterioration mechanisms of tuffs in Midas monument*, Engineering Geology, 68,pp.201-223.
- Topal, T., Doyuran, V. 1997. *Engineering geological properties and durability assessment of the Cappadocian tuff*, Engineering Geology ,47,pp.175-187.
- Torum, Alf., Kuhnen,Franziska., Menze ,Andreas. 2003. *On berm breakwaters. Stability, scour, overtopping*, Coastal Engineering, 49,pp. 209 238
- Tsuchiyama, Akira. 1985. *Dissolution kinetics of plagioclase in the melt of the system diopside-albite-anorthite, and origin of dusty plagioclase in andesites*,contrib. mineral petrol,89,pp.1-16.

- Tugrul, A., Zarif, I.H. 1999. *Correlation of mineralogical and textural characteristics with engineering properties of selected granitic rocks from Turkey*,Engineering Geology, 51,pp.303-317.
- Uchupi, Elazar., Swift, S.A., Ross, D.A. 1999. *Late Quaternary stratigraphy, Paleoclimate and neotectonism of the Persian_Arabian/Gulf region*, Marine Geology,160,pp.1-23.
- Ulusay, R., Tureli, K., Ider, M.H. 1994. *Prediction of engineering properties of a selected litharenite sandstone from its petrographic characteristics using correlation and multivariate statistical techniques* , Engineering Geology,37 ,pp.135-157.
- Van der Weijden, Cornelis H., Pacheco, Fernando A.L. 2003. *Hydrochemistry, weathering and weathering rates on Madeira island*,Journal of Hydrology, 283,pp.122-145.
- White, M.J. 1998. *Visualization of the El Berrocal granite:application to rock engineering*, Engineering Geology,49,pp.185-194.
- Xu, Xing-Wang., Cai, Xin-Ping., Zhang, Bao-Lin., Wang, Jie. 2004. *Explosive microfractures induced by K-metasomatism*. Journal of Asian Earth Sciences, 23,pp.307-319.
- Yoshida, Hidekazu., Takeuchi, T. Makoto., Metcalfe, Richard. 2005. *Long-term stability of flow-path structure in crystalline rocks distributed in an orogenic belt, Japan*,Engineering Geology,77,pp.125-143.
- Yua, Mao-Hong., Zana, Yue-Wen., Zhaob, Jian., Yoshimine, Mitsutoshi. 2002. *A Unified Strength criterion for rock material*, International ,Journal of Rock Mechanics & Mining Sciences,39,pp.975-989.



Shahrood University of Technology
Faculty of Earth science

Subject:

Effect of petrological factors in durability and
strength of igneous rocks
(case study of southeast iran coasts)

By:
Mahdi Amanian

Supervisor:
Dr.Hossein Mehdizade Shahre
Dr.Naser Hafezi Moghadas

Advisor :
Dr.Mohammad Reza Nikudel

2005